

KAJIAN PENERIMAAN RESAJET DAN ARAH TEGANGAN
INGATU SATUAN DI BAWAH TANAH DENGAN
GIRI RUGI DI BERPADA DAN
DILAKUKAN

DIREKTAR

Pelajar untuk menulis dalam bentuk makalah
Galak Diketahui antara Bidang Ilmu Pengetahuan Teknik
Institut Teknologi Batam.

(Ma)
PANTHERE BOY HARTAMA
NIM : 32130001
Program Studi Pangan Terintegrasi



INSTITUT TEKNOLOGI BATAM,
2005

**KAJIAN PENENTUAN BESAR DAN ARAH TEGANGAN
INSITU BATUAN DI BAWAH TANAH DENGAN
UJI REKAH HIDROLIK DAN
UJI EMISI AKUSTIK**

DISERTASI

Dikusut untuk memenuhi salah satu syarat mengupasrah
Gebar Doktor dalam Bidang Ilmu Pengetahuan Teknik
Di Institut Teknologi Bandung

Oleh

PANTJANITA NOVI HARTAMI

NIM : 321000029

Program Studi Rekayasa Pertambangan



INSTITUT TEKNOLOGI BANDUNG

2005

RINGKASAN

KAJIAN PENENTUAN BESAR DAN ARAH TEGANGAN INSTITI BATUAN DI BAWAH TANAH DENGAN UJI REKAH HIDROLIK DAN UJI EMISI AKUSTIK.

Oleh :

Parijasaeta Novi Hartanti

NIM : 521000029

Tegangan ini sangat diperlukan dalam penentuan kerusakan atau struktur bawah tanah lainnya, khususnya dikaitkan dengan konsolidasi. Penalaran ini pun juga suatu hasil tidak dapat digantikan sebagai dasar perencangan pada suatu kondisi. Perbedaan kondisi geologi daerah, tipe material dan peristiwa-peristiwa geologis yang terjadi membuat kondisi suatu daerah tidak dapat dimodelkan. Karena itu diperlukan suatu pengukuran tegangan ini untuk mendapatkan nilai yang lebih valid dan mewakili kondisi suatu daerah.

Dilakukan segala penelitian mengenai pengukuran tegangan ini di luar sana dilakukan. Namun, penelitian tersebut hanya terbatas pada penentuan tegangan ini dengan menggunakan beberapa metode, tetapi alih-alih korelasi antara metode yang digunakan. Pengukuran tegangan ini di Indonesia belum berkembang karena faktor mahalnya biaya perlengkapan pengukurannya, serta tidak praktis untuk daerah yang sulit.

Kegiatan penelitian terdiri dari eksperimental laboratorium yang mencakup pembuatan alat uji hidrolik dan uji labesterizan, kegiatan lipungian dan pemodelan numerik. Beberapa kegiatan merupakan kegiatan pertama yang dilaksanakan di Indonesia, yaitu :

1. Membuat perlengkapan uji teknik hidrolik dengan kapasitas poeller 25 MPa.
2. Menggabungkan emisi akustik untuk menentukan tegangan institi.

1. Membandingkan hasil uji tekan hidrolik dan uji emisi akustik.

Hipotesis awal penelitian ini adalah bahwa pengukuran tegangan inti dengan metode tekan hidrolik digunakan sebagai acuan, karena mengikuti kaidah teori elastisitas dan metode brittle fracture serta memperbaiki hasil dari sifat-sifat geologi, struktur geologi dan posisi. Hipotesis ketiga menyatakan bahwa besar tegangan inti yang diperoleh dari metode langsung (uji teknik hidrolik), yang disinyalir sebagai uji standar, dapat diwakili oleh uji teknik yang dalam hal ini adalah uji tekan hidrolik (uji emisi akustik). Hipotesis keempat menyatakan bahwa uji teknik hidrolik langsung dengan uji emisi akustik sangat dipengaruhi oleh waktu tangguh pengambilan sampel dan pengujian, mineralogi dan pre-existing crack pada batuan itu.

Pembatasan penelitian uji teknik hidrolik dengan bekerja sama dengan Pemabean Dusreh Lubutu Kunt Bondong (INKABA), pemabean Lubutu, Laboratorium Kontrol Departemen Teknik Fisika ITB untuk perakitan sistem akuisisi data, dan Laboratorium Mekanika Batuan Departemen Teknik Pertambangan ITB. Penelitian tekan hidrolik terdiri dari struktural puster, impreccional puster, *cone test*, reser-teku, periksa data elektronik dan kelempungan akut. Kapasitas puster mencapai 25 MPa.

Penelitian dilakukan di tambang mas batu pasir Pongkor di dua lokasi, yaitu di Cieng dan Pamusum. Hasil pengukuran tegangan inti dengan uji tekan hidrolik, uji emisi akustik dan pemodelan numerik di kedua lokasi dapat dilihat pada Tabel 1.

Dalam perkiraan, terdapat perbedaan hasil yang cukup besar antara uji emisi akustik (AE) dari uji tekan hidrolik (HP). Seperti disebutkan pada hipotesis awal, perbedaan tersebut diliaga karena pengaruh waktu tangguh. Penelitian dilakukan dengan melukiskan uji emisi plastik dengan waktu tangguh yang berbeda-beda sehingga diperoleh suatu grafik hubungan antara tegangan dan waktu tanggu-

Grafik ini digunakan sebagai pendekatan pada hasil uji erosi akhir. Penyelesaian terhadap hasil uji erosi akhir (AE koreksi) memperoleh hasil yang mendekati hasil uji ratah hidrolik (lihat Tabel 1). Tabel 1 menunjukkan tegangan arah utara (σ_u), tegangan arah timur (σ_e), tegangan vertikal (σ_v), tegangan arah utara - timur (σ_{ut}), tegangan arah timur - vertikal (σ_{et}) dan tegangan arah vertikal - timur (σ_{vt}).

Tabel 1. Komplasi tegangan in situ hasil pengujian dengan uji ratah hidrolik, dan uji erosi akhir.

Tegangan (MPa)	Curing			Penyelesaian		
	HF	AE	AE koreksi	HF	AE	AE koreksi
σ_u	3,62	23,17	3,04	2,49	10,81	4,14
σ_e	0,61	16,15	3,69	4,41	16,44	6,20
σ_v	3,88	11,67	2,77	4,50	19,87	4,03
σ_{ut}	-0,73	-2	-0,57	-0,55	-3,21	-0,8
σ_{et}	0,83	2,14	0,51	1,44	5,26	1,28
σ_{vt}	-0,79	0,57	0,13	-0,073	-1,97	-0,48

Pemodulan numerik dilakukan sebagai analisis hidrolik untuk mendapatkan gambaran distribusi tegangan di lokasi penelitian. Tegangan yang dimodelkan adalah tegangan sisi (virgin stress) dan tegangan terpanjat (induced stress) karena pengaruh teorowongan. Persealdoan dibuat dalam kondisi ideal, yaitu batuan disanggap homogen, isotrop dan kontinyu.

Nilai tegangan pada Tabel 1, menjadi faktor tegangan untuk perhitungan tegangan principal. Perhitungan nilai eigen dan vektor eigen dari tensi tersebut menghasilkan nilai tegangan seperti yang tercantum dalam Tabel 2.

Verifikasi arah tegangan dilakukan dengan mengacu pada analisis struktur geologi di lokasi pengujian. Hasilnya menunjukkan bahwa arah tegangan hasil uji ratah hidrolik sesuai dengan lokasi struktur geologi di daerah tersebut.

Tabel 2. Tegangan prinsipal hasil pengukuran dengan metode langsung dan metode tidak langsung di Cina dan Paneyanan

Tegangan Prinsipal (MPa)	Cina		Paneyanan	
	IP	AE Terikardal	HF	AE terikardal
σ_1	4,83 (n=180/480)	5,2 (n=200/613)	1,94 (n=90/43)	7,46 (n=160/328)
σ_2	3,95 (n=84/42)	3,9 (n=78/32)	3,22 (n=40/18)	4,17 (n=78/36)
σ_3	4,32 (n=248/111)	7,51 (n=253/65)	3,25 (n=17/7)	3,88 (n=16/4)

Dengan melihat hasil pengukuran tegangan inisial menggunakan uji relah hidrolik dan uji cemasi akustik di atas serta dibanding oleh permodelan numerik, maka dapat disimpulkan bahwa :

1. Perilaku relah hidrolik yang berlaku dibuat dalam penelitian ini dapat digunakan untuk pengujian dan aplikasi di lapangan dengan teknik packer mencapai 25 MPa.
2. Tegangan inisial hasil uji relah hidrolik dapat digunakan sebagai acuan perencanaan legangan inisial dalam penelitian ini. Hal ini dibuktung dengan nilai tegangan vertikal hasil permodelan numerik yang memperjelas nilai yang mendekati nilai tegangan vertikal uji relah hidrolik.
3. Besaran yang diperoleh dari metode langsung / uji relah hidrolik yang ditentukan sebagai uji standar dapat diwakili oleh uji indeks yang dalam hal ini metode tidak langsung cemasi akustik dengan menggunakan pendekatan empirik.
4. Pendekatan empirik yang dilakukan terhadap hasil uji cemasi akustik merupakan fungsi waktu tanggu yang sangat berpengaruh terhadap hasil uji.
5. Secara umum, besaran tegangan inisial hasil uji relah hidrolik dapat didekati dengan uji cemasi akustik, dengan pendekatan $\sigma_{in} = \frac{\sigma_{AE}}{f(t)}$, dengan σ_{in} adalah tegangan hasil uji relah hidrolik dalam arah yang sama dengan uji cemasi akustik, σ_{AE} adalah tegangan hasil uji cemasi akustik, dan $f(t)$ merupakan persamaan fungsi waktu tanggu untuk batuan tersebut.

6. Pendekatan yang diperlukan hanya berlaku pada daerah dan kondisi batuan yang sama. Hal ini adalah ditengok pada daerah Pasuruan yang mempunyai karakteristik batuan yang sama dengan di Ciamis.
7. Kombinasi metode pengukuran langsung dan metode pengukuran tidak langsung dapat dipertimbangkan di lapangan untuk menyiapkan nilai tegangan ini yang lebih representatif dengan mempertimbangkan pendekatan empiris di antara kedua metode tersebut. Dengan demikian dapat mengurangi jaraklah pengujian antara pengukuran langsung, namun hanya tetapi akurat.
8. Pengukuran tegangan ini tidak dapat dipertimbangkan dari struktur geologi di daerah posisikan. Verifikasi untuk tegangan ini hasil pengujian langsung pada struktu geologi dianjurkan terselar.

Alihmnya, dapat disimpulkan bahwa dari segi kohesi dan tensi, posisikan ini dapat dijadikan dasar perbaikan penilaian pengujian untuk mengukur tegangan ini dengan uji relah hidrelrik. Selain itu posisikan ini dibutuhkan dapat memberikan untuk referensi dalam testing metode dan prosedur penentuan tegangan ini dengan kombinasi metode langsung dan tidak langsung sehingga dapat ditengok untuk memastikan tegangan ini di suatu lokasi dengan hasil yang lebih akurat namun dengan biaya yang relatif murah.

ABSTRACT

STUDY OF ESTIMATION OF MAGNITUDE AND DIRECTION OF INSITU STRESS OF ROCK BY MEANS OF THE HYDRAULIC FRACTURING TEST AND THE ACOUSTIC EMISSION TEST

By

Pastjasa Nevi Hartani

NIM : 32186629

In-situ stress is one of the important parameters in tunnel design, especially in its stability. The theoretical approaches give relatively good results for some cases, but there are some conditions, like geological condition, material type, and activities of geology that different in each area, that make the approaches impracticable. However, insitu stress measurement is needed to obtained the results that more representative.

In many countries, the research about insitu stress measurement using many method of measurement already have developed, but there are no researches that studied correlation between the methods. In Indonesia, in-situ stress measurement is not popular yet. The problems so far have been associated with methodology availability and cost efficiency.

The research activities included the manufacturing of hydraulic fracturing apparatus, laboratory experimentation, field activities and numerical modeling. Some activities that the firstly research activities in Indonesia are :

1. Manufacturing of hydraulic fracturing apparatus with the packer capacity of 25 MPa.
2. Using acoustic emission method to estimate insitu stress.
3. Finding the empirical approaches between hydraulic fracturing method and acoustic emission method.

The hypotheses of research are: firstly, the *in situ* stress measurement by means of hydraulic fracturing can be used as standard, because the hydraulic fracturing method follows the elasticity theory, the brittle fracture theory, and accommodate the real condition. Secondly, the magnitude of *in situ* stress using hydraulic fracturing, as standard test, can be represented by means of the acoustic emission method, as index test. Thirdly, the acoustic emission method is very influenced by the time lagging between testing process and laboratory testing, seismology and pre-existing cracks of intact rock.

The hydraulic fracturing apparatus was manufactured in collaborative works between Bandung Rubber Industry (INKABA), Laboratory Control of Department of Physics Engineering, ITB for preparing data acquisition, and Laboratory of Geomechanics of Department of Mining Engineering, ITB. The apparatus include straddle packer, injection pump, zone test, inner tube, recording data and supporting apparatus.

The field tests were carried out in Pangkor underground gold mine at 2 locations, Caring and Pameyanan. Table 1 shows the results of measurement by means of hydraulic fracturing test, and acoustic emission test. The table shows stress in north direction (σ_x), stress in east direction (σ_y), vertical stress (σ_z), stress in north - east direction (τ_{xz}), stress in east - vertical direction (τ_{yz}) and stress in north - vertical direction (τ_{zx}).

Table 1. The compilation of *in situ* stress measurement by means of hydraulic fracturing test (HF) and acoustic emission tests (AE).

Stress (MPa)	Caring		Pameyanan			
	HF	AE	AE corrected	HF	AE	AE corrected
σ_x	3,62	21,17	3,04	2,49	14,43	4,14
σ_y	0,61	10,15	1,64	4,41	36,65	6,50
σ_z	7,10	11,63	2,77	4,50	19,87	4,81
τ_{xz}	-0,73	-2	-0,47	-0,35	-1,23	-0,8
τ_{yz}	0,13	3,14	0,51	1,44	5,29	1,29
τ_{zx}	-0,78	8,57	0,17	-0,023	-1,97	-0,81

The magnitude of *in situ* stress calculated using the hydraulic fracturing method and the acoustic emission method are different. As mentioned before, the acoustic emission test is very influenced by the time lagging between sample curing and laboratory testing. This hypothesis is proven by doing the acoustic emission tests in many samples with different time lagging. The test results were the same between time lagging and stress when the Kaiser effect appeared. The curve was used to correct *in situ* stress from the acoustic emission. The magnitude of the *in situ* stress using acoustic emission test after being corrected using the curve are closer to the one of that hydraulic fracturing tests.

Numerical modeling was performed as back analysis to obtain the state of stress in the research location. The stresses that were modeled are *virgin stress* and *reduced stress* because of excavation. The modeling are ideal, homogeneous, isotropic and continuous.

The *in situ* stresses, as shown in Table 1, are stress tensor to calculate principal stress by determine the Eigen vector and the Eigen value. Table 2 shows principal stresses in Cisang and Panayaman.

Table 2. Principal stresses obtained from direct method and indirect method in Cisang and Panayaman

Principal Stress (MPa)	Cisang		Panayaman	
	IP	AE Corrected	IP	AE Corrected
σ_1	4,83 (N180/45)	3,2 (N200/15)	3,94 (N090/45)	2,86 (N045/20)
σ_2	2,95 (N00/45)	1,9 (N00/25)	2,22 (N240/45)	1,17 (N230/60)
σ_3	0,52 (N260/75)	0,30 (N250/45)	2,25 (N115/7)	1,88 (N160/4)

The directions of *in situ* stress are verified by analyzing structural geology of location. The results shows that the principal stress direction (Table 2) is relatively in line with the analysis of geological structure.

Having analyzed the results of the hydraulic fracturing test, acoustic emission test and numerical modeling, it can therefore be concluded the following:

1. Hydraulic fracturing test apparatus have been successfully manufactured in this research with packer capacity of 25 MPa. This apparatus has also been used to estimate insitu stress in Pongkor.
2. Insitu stress using acoustic emission test can used as a standard method measurement. This is supported by vertical stress of numerical modeling that is closed with the one of that hydraulic fracturing test.
3. The magnitude of insitu stress using hydraulic fracturing, as standard test, can be represented by means of the acoustic emission method, as an index test, using empirical approach.
4. The empirical approaching to acoustic emission tests is a function of time lagging that is very affected in tests results.
5. Generally, the empirical approaching $\sigma_{AE} = \frac{\sigma_{HF}}{f(t)}$ can be used to estimate the insitu stress using acoustic emission test. σ_{HF} is insitu stress using hydraulic fracturing tests in the same direction with AE, σ_{AE} is insitu stress using acoustic emission test and $f(t)$ is function of time lagging for sample.

6. This empirical approaching only works in same location and same type of rock. This is proven with apply $f(t)$ curve in Penoyanan that have same rock type with Ciawi.
7. Estimation of insitu stress by means of combination of indirect and direct methods can be applied in field using the empirical approach, so it can minimize the use of direct method and the results are more representative.
8. The directions of insitu stress are verified by structural geology in location.

Contributions of this research in science and engineering are manufacturing of hydraulic fracturing test apparatus, giving new horizon that estimation of insitu stress using the direct method can be approached by indirect method, and finally, this research give recommendation to estimate insitu stress using combination of direct and indirect method with low cost but the results are more representative.

**KAJIAN PENENTUAN BESAR DAN ARAH TEGANGAN
INSITU BATUAN DI BAWAH TANAH DENGAN
UJI RAKAH HIDROLIK DAN
UJI EMISI AKUSTIK**

Oleh
Pantjawita Novi Hartani
NIM : 311000029

Program Studi Keekayana Penerbangan
Institut Teknologi Bandung

Merrytaju
Tia Pertiwi

Tanggal : Juli 2005

Ketua

Prof.Dr Ir. Andhyo S. Mangarwidiyasa

Anggota

Anggerya

Prof.Dr Ir. Made Astawa Rai

Dr Ir. Susumu Kuroda

PEDOMAN PENGGUNAAN DISERTASI

Disertasi Doktor yang tidak diperlakukannya terdaftar dan tersedia di Perpustakaan Institut Teknologi Bandung, dan terbuka untuk umum dengan ketentuan bahwa bukunya ada pada pengarang dengan sanggat nama HAKI yang berlaku di Institut Teknologi Bandung. Referensi kependidikan diperlakukan disertasi, tetapi pengalaman atau peningkatan hanya dapat dilakukan sejauh pengarang dan teman disertasi kebiasaan ilmiah untuk menyebutkan sumbernya.

Memperbaikinya atau menambahkannya sebagai atau selain disertasi haruslah sejauh Direktor Program Pascasarjana, Institut Teknologi Bandung.

*Dipersembahkan kepada Tuhan, bangsa, alam semesta, ibu pernegriku;
(atau) iburaya dan orang-orang tercinta*

Ucapan Terima Kasih

Penulis sangat berterima kasih kepada Prof. Dr. Ir. Andrey S. Mangarwidiyaya, sebagai Ketua Tim Penesor atau perbaikan dan naskahnya selama penelitian dan penulisan disertasi ini.

Penulis sangat berterima kasih kepada Prof. Dr. Ir. Made Astawa Rai, Anggota Tim Promotor atau sebagai perbaikan, koeforum, bimbingan, saran dan naskah dari awal penelitian hingga selesaiya penulisan disertasi ini.

Penulis juga berterima kasih yang sebesar-besarnya kepada Dr.Jr. Sumarno Kusumahesta sebagai anggota Tim Pembimbing atau perbaikan, bimbingan, saran, naskah serta konsultasi mengikuti kerajinan di setiap tahap penelitian maupun dalam penulisan disertasi ini. Penulis juga mengacapkan terima kasih atas koordinasi baik memberikan dana penelitiannya untuk penelitian ini.

Pada kesempatan ini penulis juga ingin menyampaikan terima kasih yang sebesar-besarnya kepada Dr. Ir. Budi Sulistio atau kesediamnya untuk memberikan arahan baik dalam pengajaran di lapangan sampai dalam permodelan skripsi serta meskiunya bagi penyusunan disertasi ini. Terima kasih juga penulis sampaikan kepada Dr. Ir. Ridho K. Watinresna atau kesediam bertindak dan memberikan pandangan serta masukan dalam penelitian ini.

Penulis juga berterima kasih kepada Prof. Kikuo Matsui dan Dr. Nakagawa dari Kyushu University Jepang, atas bantuan penelitian omisi skripsi dan bantuan emoney yang digunakan dalam penelitian ini.

Penulis berterima kasih kepada Universitas Trisakti yang memberikan kesempatan kepada Penulis untuk melanjutkan penelitian Program Doktor serta bantuan dana selama Penulis mengikuti penelitian ini. Terima kasih juga kepada Direktur Pendidikan Tinggi atas bantuan beasiswa BPPS yang diterima selama 7 semester.

Pemis juga menyampaikan banyak terima kasih kepada :

1. Dr. Ir. Eddy Agus Basuki dan Dr.Ir. Budi Sulistianto selaku Ketua dan Sekretaris Departemen Teknik Pertambangan.
2. Ir. Djendjeng Sisembola Ir. Iwan Iswan, Ir. Edi Kawandri dan Ir. Eko Wawan, Kunci Direksi dan Asisten Kunci Direksi Unit Bisnis Pemasangan Basa (UBPB) Pungkor PT. Anak Tambang yang telah berkontribusi nyatakan ikhtim penelitian serta memberikan bantuan finansial, pengoboran maupun fasilitas selama melaksanakan penelitian.
3. Staf PT. Anak Tambang UBPB Pungkor, khususnya Ir. Herian Sudarmaji, Ir. Iwan Darmi S, Ir. Ady Taufik, Ir. Dedi Setiawan, Ir. Eko Jati, semua staf eksplosi dan pengoboran serta staf lain yang namanya tidak dapat kami sebutkan satu per satu. Terima kasih atas semua bantuan dan insidental selama penelitian di lapangan.
4. Pimpinan dan staf Fakultas Teknologi Masa Universitas Trisakti khususnya Jurusan Teknik Pertambangan yang telah memberikan dukungan dalam penyelesaian Program Doktor isi
5. Ir. Dodi Gisilie, Kepala Riset dan Pengembangan Industri Karu Bandung (INKARA) berserta staf yang telah banyak memberi bantuan dalam penelitian dan pengembangan project.
6. Dr.Ir.Kurniayodo K, Dr.Ir. Parulian, berserta seluruh staf Laboratorium Kontrol Departemen Teknik Fisika ITB, termasuk Rainen dan Deny FT'95, Yusni, dan Dany yang telah banyak memberi bantuan dalam penelitian dan pengembangan electronic reading device.
7. Pimpinan URGE atas bantuan dana penelitian melalui Projek Penelitian DCRG URGE 2000.
8. Pimpinan Anki Foundation Glare 2001 atas bantuan dana penelitian melalui Penelitian Dr.Ir. Sutomo Kurniadiwita.
9. Bapak Sudibyo dan Iwan Sufyan, teknisi Laboratorium Geomechanika Departemen Teknik Pertambangan ITB, atas kontribusi dan bantuanya selama penelitian ini

10. Bapak Bapak Komang A, bapak Sri Harry, Bapak Dofit, dan Bapak Ganesha yang banyak membantu dalam penulisan komponen-komponen pendata.
11. Ir. Berlian D, teman seperjalan yang telah memberikan dukungan moral selama penulisan dan penyusunan disertasi ini.
12. Nahindu PW, Ganda MS, dan Ginting JK, Rathy H, M.Safraida S, Cendes HS, Dharma Sayoga, Beni MH, Sadja Gustia, Irene, Loba, Rifki H, Dwiung, Nyoman AA, Mirfa Y dan teman-teman di Laboratorium Geomechanika yang tidak dapat dihitungnya yang telah banyak memberikan dukungan baik moral maupun materiil selama penulisan dan penfisian disertasi.
13. Staf Departemen Teknik Pertambangan ITB yang telah banyak membantu dalam kelancaran penulisan ini.
14. Pemda sangat berterima kasih kepada keluarga, khususnya untuk ibu (pdt) yang telah banyak memberikan dukungan dan dorongan sebagaimana kepada penulis untuk menyelesaikan Program ini. Terima kasih setak doa dan kesabarannya.

Baftar Isi

Bab	Bahasan
RINGKASAN	i
ABSTRACT	vi
PEDOMAN PENGUNAAN DISERTASI	vi
PERUNTUKAN	xii
UCAPAN TERIMA KASIH	xiiii
DAFTAR ISI	xvi
DAFTAR GAMBAR	vii
DAFTAR TABEL	xviii
DAFTAR LAMPIRAN	xxv
I. PENDAHULUAN	1
1.1. Keadaan Pengelaman Tegangan Inti	1
1.2. Latar Belakang Penelitian	4
1.3. Rang Lingkup dan Batasan Penelitian	8
1.4. Hipotesis	8
1.5. Tujuan Penelitian	9
1.6. Metodologi Penelitian	9
II. LATAR BELAKANG TEORI	12
II.1. Tegangan Inti	12
II.2. Metode Rekab Hidrolik	14
II.3. Metode Emisi Akustik	21
III. GEDLOGI DAFAKAH PENELITIAN	29
III.1. Lokasi Kegiatan Lapangan	29
III.2. Kondisi Umum	29
III.3. Kondisi Batuan Daurah Pungkor	30
III.4. Geosa Daurah Pungkor	32

III.5. Geylogi Batuan Pengkor	33
III.6. Unit Utama Batuan Pengkor	37
IV. PERSIAPAN, PERANCANGAN DAN UJI COBA PERALATAN	43
IV.1. Persiapan Uji Rekah Hidrolik	43
IV.2. Persiapan Emisi Akustik	59
V. UJI RISAK HIDROLIK DI LAPANGAN	67
V.1. Prosedur Uji Rekah Hidrolik	68
V.2. Prosedur Penekanan Relaksasi di Dalam Lubang Bor	69
V.3. Mekanisme Uji Rekah Hidrolik	70
V.4. Pembacaan Data Uji Rekah Hidrolik	72
V.5. Lokasi Pengujian Rekah Hidrolik dan Perborosan Inti	79
V.6. Tegangan Inti Hasil Uji Rekah Hidrolik	87
VI. PENENTUAN KARAKTERISTIK BATUAN DAN UJI EMISI AKUSTIK DI LABORATORIUM	89
VI.1. Penentuan Karakteristik Batuan	89
VI.2. Pengujian Emisi Akustik di Laboratorium	91
VI.3. Data Emisi Akustik Contoh Batuan dari Ciung dan Pasayunan	98
VI.4. Tegangan Inti Hasil Uji Emisi Akustik	98
VII. PERMODELAN NUMERIK UNTUK PENENTUAN TEGANGAN INSITU	100
VII.1. Macam Metode Numerik	100
VII.2. Persodolan untuk Penentuan Tegangan Inti	102
VII.3. Persodolan Numerik Tahap I (Verginia Stress)	104
VII.4. Persodolan Numerik Tahap II (Inelastic Stress)	111
VIII. ANALISA HASIL UJI DAN PENENTUAN TEGANGAN INSITU ..	116
VIII.1. Silai Finik dan Disarik Batuan di Lokasi Penelitian	116

VIII.2. Sifat Mekanik	117
VIII.3. Perbaikan Hasil Pengujian	119
VIII.4. Pengujian untuk Mengukur Pengaruh Waktu Tunggu	123
VIII.5. Tegangan Terkendali Hasil Uji Esensi Akustik	128
VIII.6. Perhitungan Tegangan Prinsipal	130
VIII.7. Kajian Analisis Tegangan	138
VIII.8. Dasar Pendekatan Higiris	143
 IX. KESIMPULAN	145
 DAFTAR PUSTAKA	151
LAMPIRAN	158

Daftar Gambar

Gambar	Halaman
I.1. Schematic Aksi-Reaksi Tegangan Sebelum dan Sesudah Pengaliran Terowongan	5
I.2. Bagan Alir Penelitian	11
II.1. (a) Pengukuran Tegangan Vertikal pada Proyek Sipil dan Tambang; (b) Perbandingan Tegangan Horizontal terhadap Tegangan Vertikal Hasil Pengukuran (Eck & Brown, 1970)	13
II.2. Stress Teknik Rekab Hidrolik (Hansen & Lee, 1984)	15
II.3. Proses Uji rekab Hidrolik (Bosch & Brown, 1993)	16
II.4. Rekabua Longitudinal (Mizra, 1987)	19
II.5. Rekabua Transversal (Mizra, 1987)	20
II.6. Stress Rangkaian Pengujian Batu Akustik	23
II.7. Noise pada grafik emisi akustik hit v.s gaya (Hasil uji pada contoh batuan di Ciung)	27
II.8. Posisi Contoh Batuan Uji Emisi Akustik dalam Sistem Koordinat ONEUV	28
III.1. Lokasi Kuota Pertambangan UIHPT Pangkor	29
III.2. Peta Geologi Daerah Pangkor dan Sekitarnya	31
III.3. Peta Struktur Daerah Tambang Pangkor (Geologi, UNPAD, 2001)	33
III.4. Gambaran Bidang Diskontinu di Sepanjang Tepian Sungai MHL, Tambang Eman Pangkor	39
III.5. Gambaran Bidang Diskontinu di daerah Kubang Cileun, Pangkor	40
III.6. Gambaran Bidang Diskontinu di daerah Cigulu, Pangkor	41
III.7. Gambaran Bidang Diskontinu di daerah Ciung, Pangkor	42
IV.1. Sistem Air Rekab Hidrolik	44
IV.2. Strukture Packer	45
IV.3. Tap Sieb, Tsur Sieb, Bottom Sieb dan Inner Tube	46
IV.4. Impresiun Packer	47
IV.5. Karet Pengetak Rekabuan	47

IV.6.	Pompa Hidrolik Manual dan Elektrik	48
IV.7.	Slang Hidrolik dan Drum	49
IV.8.	Tangki Oli Hidrolik	49
IV.9.	Besi Penghantar dan Ilagiasnya.....	50
IV.10.	Skema Sistem Periksa Data Elektronik	51
IV.11.	Perekam Data Elektronik Dlogger-Q7	51
IV.12.	Perangkat <i>Novohole Caster</i>	52
IV.13.	Kebocoran Struktur Parker pada Kopling Besi dan Karet	53
IV.14.	Uji Coba Rekah Hidrolik di Laboratorium pada beton 1	54
IV.15.	Grafik Tekanan Uji terhadap Waktu pada Contoh Beton (Penelitian Secara Manual)	55
IV.16.	Pengaruh Penekanan Beton pada Uji Coba Rekah Hidrolik dengan Ultrasonic <i>Felicity</i> pada beton 2	56
IV.17.	Grafik Kelepasan Ultrasonik terhadap Tekanan Uji	57
IV.18.	Grafik Tekanan Uji terhadap waktu pada Beton (Penelitian Secara Manual)	57
IV.19.	Grafik tekanan Uji terhadap Waktu pada Pipa Buja (Penelitian dengan <i>Roading Device</i>)	58
IV.20.	Peralatan Pengujian Emisi Akustik	59
IV.21.	<i>Piezoelectric Transducer</i>	60
IV.22.	Preamplifier sinyal emisi akustik	61
IV.23.	Skema Pengujian Emisi Akustik	62
IV.24.	Peralatan Sinyal Emisi Akustik	66
V.1.	Lokasi Pengujian Rekah Hidrolik dan Pengambilan Contoh Beton untuk Pengujian Emisi Akustik	68
V.2.	Mekanisme Padaanya Beton yang Memiliki Rekah Hidrolik	71
V.3.	Contoh Grafik Tekanan - Waktu Hasil Pengujian Rekah Hidrolik pada Lubang Beton N 243 E-3 Panjangnya kedalamnya 815 cm	73
V.4.	Penentuan Shu-is Preman menggunakan Grafik d/MF - Tekanan 74	
V.5.	Penentuan Rasio Pengujian Pressure dengan Cara Superjelinti Antara Grafik Siklus Pertama dan Siklus Terakhir	75

V.6.	(a) Posisi Rekahan Transversal dalam Lubang Bor (b) Garis Rekahan Transversal pada Kartu Pintecat	76
V.7.	(a) Posisi Rekahan Longitudinal dalam Lubang Bor (b) Garis Rekahan Longitudinal pada Kartu Pintecat	76
V.8.	Contoh Garis Rekahan yang Belum Digabung	77
V.9.	Contoh Garis Rekahan yang Sudah Digabung	77
V.10.	Contoh Persempangan Grafik Tekanan terhadap Waktu	79
V.11.	Anal Pemborosan Inti untuk Uji Rekah Hidrolik 1 dan Pengembalian Contoh Batuan untuk Uji Emisi Akustik 1 di Ciung	81
V.12.	Stetoskop Tiga Lubang Bor Uji Rekah Hidrolik di Ciung	82
V.13.	Contoh Ilustrasi hasil dari Penilaian Rekahan Longitudinal (a) Gambaran 3 Dimensi; (b) Penampang Melintang Lubang Bor	83
V.14.	Contoh Ilustrasi Hasil Data Penilaian Rekahan Transversal (a) Gambaran 3 Dimensi; (b) Penampang Memanjang Lubang Bor	83
V.15.	Anal Pemborosan Inti untuk Uji Rekah Hidrolik 2 dan Pengembalian Contoh Batuan untuk Uji Emisi Akustik 2 di Parayasan	83
V.16.	Stetoskop Tiga Lubang Bor Uji Rekah Hidrolik di Parayasan	86
V.II.	Grafik Kelepasan Program Mistus 2001	95
V.II.	Penilaian Efek Kaiser Secara Grafis	96
V.II.	Contoh Grafik Hasil Pengujian Emisi Akustik pada Lubang Bor N 310 E/15, Ciung, Sirkus 2	97
V.II.	Contoh Grafik Hasil Pengujian Emisi Akustik pada Lubang Bor N 160 E/1, Parayasan, Sirkus 5	97
V.II.	Contoh Ilustrasi Anal Hasil Penilaian Uji Emisi Akustik	99
V.II.	Bagan Alir Perseleksi Nasional Tahap I	104
V.II.	Bagan Alir Perseleksi Nasional Tahap II	105
V.II.	Peta Topografi Daerah Ciung	106
V.II.	Peta Topografi Daerah Parayasan	107
V.II.	Kondisi Batas Model Tiga Dimensi Tahap I	108
V.II.	Kelaruan Model Tegangan Isotropa Tiga Dimensi Ciung	110
V.II.	Kelaruan Model Tegangan Isotropa Tiga Dimensi Parayasan	110
V.II.	Geometri dan Mesh Terwujudnya di Ciung	112

VII.9.	Geometri dan Mesh Terowongan di Pamoyanan	112
VII.10.	Konur Tegangan Vertikal Hasil Permodalan BEM One Region di Cilang	114
VII.11.	Konur Tegangan Vertikal Hasil Permodalan BEM One Region di Pamoyanan	115
VIEL.1.	Grafik Persentase Penambangan Nilai Tegangan Munculnya Rlik Kaiser terhadap Waktu Tenggi	126
VIEL.2.	Distribusi jarak antar fragmen batuan mylonite horisontal	127
VIEL.3.	Distribusi jarak antar fragmen batuan mylonite vertikal	129
VIEL.4.	Posisi α , β , γ yang Dinyatakan dalam Bentuk Vektor	135
VIEL.5.	Stressnet Tegangan Isotropi di Cilang	137
VIEL.6.	Stressnet Tegangan Isotropi di Pamoyanan	137
VIEL.7.	Plotting Hasil Uji Rokah Hidrolik pada Grafik Hoek dan Brown ..	139
VIEL.8.	Penggambaran Analis Tegangan pada Struktur Regional Pongkor ..	140
VIEL.9.	Penggambaran Analis Tegangan di Lokasi Pamboean	141
VIEL.10.	Stressnet Tegangan Isotropi Hasil Uji Rokah Hidrolik di Cilang dan Pamoyanan Terhadap Bidang Sisa	143

Bab II

Bab II

Tabel	Halaman
IV.1. Perubahan Cepat Rambut Gelombang Ultrasonik terhadap Perubahan Tekanan di Dalam Lubang pada Uji Rekak Hidrolik.....	56
V.1. Resonansi Lubang Bor di Trusmiling South Ciung	80
V.2. Kompilasi Data Pengujian Rambut Hidrolik di Ciung.....	82
V.3. Resonansi Lubang Bor di Panoyanan	84
V.4. Kompilasi Data Pengujian Rambut Hidrolik di Panoyanan	86
V.5. Tegangan Inisial Hasil Uji rekak Hidrolik di Ciung dan Panoyanan.....	88
VI.1. Sifat Fisik Batuan dan Batuan dari Ciung dan Panoyanan.....	90
VI.2. Cepat Rambut Gelombang Ultrasonik Cetek Batuan dari Ciung dan Panoyanan.....	93
VI.3. Hasil Uji Ketekan Uniaxial dan Resistensi pada Cetek Beton dan Cetek Batuan dari Ciung dan Panoyanan	92
VI.4. Aruh, Keringinan dan Nilai Tegangan pada Suntik Efek Knier Manci	98
VII.5. Tegangan Inisial Hasil Uji Efek Akustik di Ciung dan Panoyanan	99
VIII.1. Metode Numerik	102
VIII.2. Data Masukan Pemodelan Numerik	108
VIII.3. Tegangan Atas Hasil Pemodelan Numerik di Ciung dan Panoyanan	109
VIII.4. Tegangan Tergantung Hasil Pemodelan Numerik di Ciung dan Panoyanan	114
VIII.5. Klasifikasi Batuan Intak Menurut Kekakuan (Dense&Miller, 1968).....	117
VIII.6. Kriteria Batuan dari Brittleness Index-nya (Gehring, 1992).....	119
VIII.7. Kompilasi Tegangan Inisial Hasil Pengukuran dengan Uji Rekak Hidrolik, dan Uji Efek Akustik	119

VIII.4.	Tegangan Hasil Pengukuran Numerik di Lokasi Uji Rekoh Hidrolik di Ciung dan Pamoyanan	121
VIII.5.	Tegangan pada Sait Elast. Kaiser Mancil pada Pengujian Energi Akustik untuk Mengetahui Pengaruh Waktu Tenggaro	124
VIII.6.	Normalisasi Tegangan pada Sait Elast. Kaiser Mancil pada Pengujian Energi Akustik untuk Menggetahui Pengaruh Waktu Tenggaro	125
VIII.7.	Analisis Lajuang Bot dan Tegangan Tekaneksi Sait Elast Kaiser Mancil di Ciung	129
VIII.8.	Analisis Lajuang Bot dan Tegangan Tekaneksi Sait Elast Kaiser Mancil di Pamoyanan	130
VIII.9.	Kompilasi Tegangan Prinsipal Hasil Uji Rekoh Hidrolik dan Uji Energi Akustik Terkonfirmasi	130
VIII.10.	Tegangan Normal Maksimum dan Minimum pada Penampang Selatan - Utara	132
VIII.11.	Tegangan Normal dalam Penampang Das Dimensi Selatan - Utara di Ciung dan Pamoyanan	132
VIII.12.	Tegangan Normal Maksimum dan Minimum pada Penampang Barat - Timur	132
VIII.13.	Tegangan Normal dalam Penampang Das Dimensi Barat - Timur di Ciung dan Pamoyanan	133
VIII.14.	Tegangan Prinsipal Tiga Dimensi di Ciung dan Pamoyanan	138
VIII.15.	Kompilasi Tegangan Prinsipal Hasil Uji Rekoh Hidrolik dan Uji Energi Akustik Terkonfirmasi di Ciung dan Pamoyanan	136
IX.1.	Kompilasi Tegangan Instru Hasil Uji Rekoh Hidrolik dan Uji Energi Akustik	145
IX.2.	Tegangan Prinsipal Hasil Pengukuran dengan Metode Langsung, dan Metode Tidak Langsung di Ciung dan Pamoyanan	146

Baftar Lampiran

Lampiran	Halaman
A Gambar Teknik Podar, Top Soil, Test Soil dan Boston Soil	158
B Kronologi Uji Coba Peralatan	164
C Data Pengujian Sifat Fisik	174
D Data Pengujian Sifat Mekanik	184
E Data Pengujian Rekah Hidrolik	187
F Data Pengujian Unsur Alasuk	198
G Perilakuan Rekah dan Data Rekah	236
H Hasil Permodelan Numerik	241
I Prinsip Dasar Perhitungan Tegangan dalam Uji Rekah Hidrolik	248
J Perhitungan Tegangan Prinsipal	254
K Riwatasi Hidro	266

Bab I Pendahuluan

1.1 Kondisi Pengembangan Tegangan Listrik

Penggunaan bahan tanah seperti tenaga air untuk Pembangkit Listrik Tenaga Air (PLTA), subay, dan minyak bahan tanah merupakan struktur bahan tanah yang sedang dat akan berlangsung di Indonesia. Pemakaian tenaga air dan labih belum bahan tanah baik tenaga air apal walaupun tenaga bahan tanah sangat diperlukan untuk penyelesaian beberapa masalah di Indonesia, di antaranya energi, transportasi dan impor barang bahan.

Kebutuhan listrik di seluruh dunia di Indonesia merupakan mata permintaan yang saat ini. Ketersediaan air yang melimpah membuat penyelesaian air sebagai tenaga pembangkit listrik sangat banyak diperlukan. Hal ini menyebabkan meningkatnya kebutuhan untuk meriset struktur bahan tanah seperti tenaga air untuk PLTA. Saat ini beberapa PLTA yang beroperasi di Indonesia telah memanfaatkan struktur bahan tanah ini dalam kognisinya, antara lain PLTA Ciremai, PLTA Singkarsa, dan PLTA Teluk Bonapartus.

Struktur bahan tanah juga bisa menjadi alternatif penyelesaian masalah transportasi di perkotaan. Kereta api sebagai angkutan massa diketahui merupakan mengatasi berbagai masalah kemacetan di kota-kota besar. Dengan demikian, kebutuhan akan subay sebagai penyelesaian untuk transportasi massa menjadi hal yang perlu untuk dipikirkan.

Kekayasaan diri Indonesia yang bersaing dengan memproduksi beberapa permukaan antara lain mangga tempur (tidak ada guna labur). Banyak buah-buahan yang terletak pada lokasi yang berdekatan atau memaparkan kawasan buah singkong ataupun miliki sektor lain. Sebagaimana contoh tambang emas bahan tanah Pongkor milik PT Aneka Tambang terletak di dekat Kawasan Lindung Gunung Halimun. Ketika masih menggunakan, maka saat ini Pongkor menggunakan teknologi penyelesaian bahan tanah sebagai alternatif

penyelidikannya. Diharapkan kewenang hutan tindung dapat berfungsi dan pertambangan emas juga dapat dilakukan. Selain itu masih banyak tanah tanah lahan, tambang bawah tanah juga bisa menjadi alternatif jika tambang tambang terbuka sudah tidak ekonomis lagi. Beberapa ini adalah contoh beberapa tambang bawah tanah tambang batubara bawah tanah Ombilin milik PT. Tambang Batubara Bukit Asam, di Sumbu Lunto, Samarinda Barat, tambang batubara bawah tanah milik PT. Teja Bumi Sakti di Los Uloq, Kalimantan Timur, tambang emas bawah tanah Pongkor dan Cikidang, keduanya milik PT. Anaka Tambang di desa Pongkor dan Cikidang, dan tambang tembaga emas bawah tanah Poppo milik PT. Propekt Indonesia. Beberapa pengembangan dan peningkatan tambang bawah tanah bantuan juga sedang dilakukan oleh PT. Arutmin di Samarinda, PT. Widjaja Batuera, Kalimantan Selatan dan PT. Gunung Bayan Pratama di Kalimantan Timur.

Pembangunan pembangunan struktur bawah tanah sangat memerlukan pengetahuan yang sangat baik dalam menentukan kestabilannya. Kestabilan struktur bekali bawah tanah tidak hanya akan meningkatkan produktivitas tetapi juga meningkatkan keselamatan pekerja. Sebagai contoh, beberapa waktu lalu di sekitar tambang emas bawah tanah Pongkor, banyak penembang liar tanpa ijin (PTT) tewas tertimbun runtuhannya akibat penggalian secara sembarangan dan tidak memperhatikan kestabilan struktur bangunan bawah tanah (Kurniyo, 1999).

Masalah kerentilan struktur bawah tanah juga dapat disebabkan oleh tegangan in situ yang akibatnya dapat bervariasi, misal dari *slebbing* dan *overbreak* batuan di dinding terowongan bagian *rockburst*. Keadaan di Collinville Coal Company, Australia, pada tahun 1988 disebabkan oleh faktor tegangan yang relatif besar sehingga menyebabkan kerentilan atau. Secara umum itu, *rockburst* sering ditemukan pada tambang bawah tanah yang berada di kedalaman besar, seperti di Canadian Kirkland Lake District, tambang emas di South Africa, dan Idaho Coeur d'Alene District. Dalam pekerjaan sipil, masalah tegangan telah merumphalkan ketidakstabilan terowongan karena api dan jalan raya yang

memerlukan perangkaan tali yang seperti terwujud di Mont Blanc di Alpen (Goodman, 1989).

Dua kocokan-kocokan tersebut dapat dikatakan bahwa pengetahuan dan pemahaman faktor penyebab kocokan sangat membantu analisis perancangan lubang bukaan bawah tanah baik untuk penambangan maupun konstruksi siap. Hock dan Brown (1988) menyatakan bahwa ada empat hal penyebab ketidakstabilan lubang bukaan bawah tanah, yaitu: struktur geologi, tegangan laju, pelapisan, pengembangan (swelling) material dan air tanah.

Dua beban penyebab ketidakstabilitas kocokan, faktor tegangan laju menegang posisi sangat penting. Hargit (1988) mengatakan bahwa perananya pengaruh bawah tanah yang baik sangat mempengaruhi pemahaman dan pengetahuan tentangnya ini.

Pernyataan ini juga dibuktung oleh Goodman (1989) bahwa suatu strukur merancang struktur kompleks bawah tanah yang baik sangat memerlukan data kondisi tegangan laju. Sebagai contoh, pada saat perbaikan orientasi dari lubang bukaan akan lebih menguntungkan jika direncanakan pasjungnya tegak lurus dengan bidang tegangan prinsipal terbesar. Atau jika tegangan awalnya sangat tinggi, bentuk penampang (shape) lubang bukaan harus dipilih yang dapat mengurangi konversi energi.

Rai (1999) juga mengungkapkan bahwa dalam 2 dekade terakhir, pengukuran tegangan laju merupakan hal yang sangat penting dalam mekanika bahan, khususnya di Indonesia, karena besar dan anis tegangan yang diperlukan dari pengukuran ini dapat digunakan sebagai standar bagi ahli teknika bahan untuk memperoleh ketabilitan lubang bukaan bawah tanah dengan tingkat kepercayaan yang lebih baik.

Dalam bangunan pembangkit listrik bawah tanah (*underground power house*), pengetahuan tentang laju akan sangat membantu dalam desain dan

pembangunannya. Konstruksi rumah pembangkit listrik bawah tanah dapat terdiri dari berbagai tipe terowongan dengan berbagai fungsi yang saling berhubungan. Jika terjadi retak atau pada satu lubang bocor, maka retakan itu tidak boleh menyebar ke lubang lainnya lain. Karena retakan condong untuk berkembang tegak lurus dengan teprungan prinsip silinder, maka pengetahuan akan kondisi tegangan akan sangat diperlukan dalam penentuan posisi rumah pembangkit listrik bawah tanah untuk menghindari resiko.

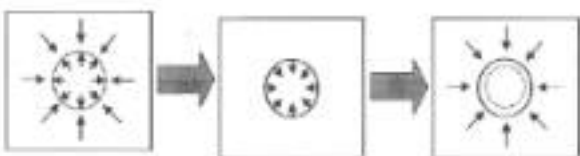
Dilansir oleh dengan menggunakan kondisi tegangan inisial di suatu daerah, maka desain dan pembangunan konstruksi bawah tanah dapat lebih ekonomis. Sebagaimana contoh, *pressure vessel* dan penarik pada rumah pembangkit listrik bawah tanah tidak perlu dipasang *longitudinal* jika tegangan axial yang bekerja lebih besar daripada tekanan air internal (Gosden, 1989).

Dari berbagai contoh tersebut dapat dikatakan bahwa tegangan laju ini mempunyai parameter dasar yang berhubungan dengan karakteristik massa batuan, dan pengalaman mengenai kondisi tegangan inisial di suatu daerah akan sangat diperlukan dalam kalkulasi konstruksi bawah tanah.

1.2. Latar Belakang Penelitian

Sebelum pengalaman struktur bawah tanah, massa batuan di alam mengalami tegangan yang disebut sebagai tegangan asli (*virgin stress*). Pengalaman yang dilakukan menyebabkan massa batuan tersebut mengalami perubahan distribusi tegangan untuk mencapai kesetimbangan baru. Jika tegangan yang terjadi akibat pengalaman melampaui ketahanan massa batuan maka akan terjadi keributan/tambang pada terowongan tersebut (Gambar 1.1).

Selain strukturnya geologi, perubahan tegangan tersebut juga sangat dipengaruhi oleh besar, arah, searah tegangan prinsip minimum dan maksimum serta tegangan aslinya (*virgin stress*). Kondisi ini menyebabkan perdebatan teoritis tidak selalu dapat digunakan.



Gambar 1.1. Schematic Aksi-Reaksi Tegangan Seboluan dan Sesadah Penggalan Icrowonggi (Hedevari, 1983)

Kepeluru untuk penugasan tegangan inisial membutuhkan meningkatnya upaya untuk mengembangkan pendek dan proses pengukuran tegangan inisial. Beberapa metode telah dikembangkan untuk mendapatkan prinsip pengukuran agar diperoleh hasil yang akurasi dan kondisi sebenarnya.

Pemantauan tegangan inisial dapat dilakukan secara langsung di lapangan ataupun tidak langsung di laboratorium. Banyak pengukuran tegangan inisial langsung di lapangan lebih representatif karena pengujian dilakukan pada kondisi yang sebenarnya. Tetapi keterbatasan metode ini adalah mahal dan tidak praktis dilakukan untuk daerah yang sulit dijangkau. Metode pengukuran sebenar tidak langsung di laboratorium lebih murah dan mudah, tetapi memerlukan koreksi agar dapat menutupi kondisi yang sebenarnya. Beberapa metode pengukuran tegangan inisial langsung di lapangan adalah metode Rosette deformasi, metode fotonik, metode overcarier dan metode nuklir hidrolik. Sementara itu pemantauan tegangan inisial secara tidak langsung di laboratorium dapat dilakukan dengan menggunakan metode cemasi alastrik (acoustic emission), metode Deformation Rate Analysis (DRA), metode Differential Strain Curve Analysis (DSCA) dan metode Acoustic Strain Relaxation (ASR).

Menurut Fairhurst (1968), salah satu metode yang dapat diandalkan untuk mengukur tegangan inisial pada kondisi sebenar, puluhan hingga ratusan meter, adalah metode relasi hidrolik. Namun karena biaya yang diperlukan,

maka metode emisi akustik dapat digunakan sebagai alternatif penggarisannya (Vatneki & Kataiyanu, 1994).

Metode rekor hidrolik menggunakan teknologi relatifan dan struktur geologi, serta dapat dilakukan sebelum keruangan digali. Sebagian metode emisi akustik menggunakan tegangan limas secara tidak langsung di laboratorium yang memerlukan teknik Kaiser. Menurut ASTM E 610-77, emisi akustik adalah massa fisiknya menularkan gelombang elastis frekuensi tinggi karena aliran pelepasan energi yang cepat dari atau atau lebih lambat pada saat material mengalami proses penekanan, sedangkan teknik Kaiser adalah emisi akustik yang terdeteksi pada saat penembusan mendekati atau melewati titik tegangan yang pernah dialami corak batuan.

Salah satu kelebihan metode ini adalah tingkat kepekaannya yang sangat tinggi sehingga pengaruh suara (noise) terukur dalam data emisi akustiknya. Hal itu tentunya menyulitkan perbaikan teknik Kaiser. Namun, kelebihan metode emisi akustik relatif mudah dan masuk, mempunyai fungsi lain yang mampu untuk mendekati relatifan dalam batuan baik asal terjadinya relatifan maupun lokasi relatifan.

Meskipun sejauh ini pendekatan dikonfirmasi untuk menentukan tegangan isotropa, namun tidak ada metode yang dapat diterapkan di semua batuan. Semua metode mempunyai kelemahan dan keterbatasan (Friedel & Thill, 1990). Seperti contoh, menurut Kramerdibeta (2000), metode pengukuran tegangan isotropi secara langsung & lipat yang ada sekarang seperti: overcoring, rekor hidrolik, dan flotasi, dapat memberi kondisi tegangan sulit pada proses pengukurannya, selain itu keterbatasan tersebut biaya, waktu dan tipe batuan. Sementara Holcomb dan Tenfel (1983) menyatakan bahwa selain emisi akustik, metode core yang lain seperti molinis karena regangan differensial dan analisis strain recovery tidak menyatakan tegangan mekanik hanya regangan, dan tegangan isotropi dipersink dengan model konservatif. Karena ita, untuk mengatasi beberapa kelemahan dalam satu metode, penentuan tegangan isotropi

pada suatu daerah sebaliknya dilakukan dengan menggunakan lebih dari satu metode. Difungsikan ketemahal dari satu metode akan dapat diantai oleh metode yang lain.

Metode pengakuan tentang benaranya tegangan isu ini yang bekerja pada suatu benar sangat dipelukai, hingga saat ini perkembangan penilaian dan metode pengakuan untuk pihak banyak masih dalam tahap belum berkenanng di Indonesia. Bahkan terbatasnya dengan hasil perumusan tentang isu di pengakuan bukan tuah. Serta relatif mudahnya biaya untuk peralatan dan pengakuan di lapangan merupakan salah satu sebab tidak berkembangnya pengakuan tegangan isu di Indonesia. Mengingat pentingnya posisinya tegangan isu dalam menciptakan tawaran, maka perlu diberikan kewajiban penilaian pengakuan tegangan isu yang bisa dibuktikan di Indonesia dengan biaya yang relatif lebih murah. Penilaian ini dimulai dengan pertimbangan peralatan yakni tidak sebagai unsur untuk melaksanakan pengakuan tegangan isu secara langsung di lapangan.

Biaya pengakuan lebih banyak merupakan salah satu kelebihan pengakuan tegangan isu secara tidak langsung di laboratorium. Namun, hasil pengakuan yang kurang memadai kondisi lapangan membuat pendekatan tegangan isu sebaiknya dilakukan dengan mempertimbangkan metode pengakuan langsung dan metode pengakuan tidak langsung.

Hasil pengakuan langsung dan pengakuan tidak langsung ini dikorelasikan sehingga diperoleh suatu hubungan empiris. Diperkirakan hubungan empiris ini dapat digunakan untuk penilaian tegangan isu pada daerah tersebut. Sehingga untuk penilaian tegangan isu selanjutnya hanya perlu melaksanakan pengakuan tegangan isu secara tidak langsung. Permodelan tersebut dilakukan sebagai analisis isu untuk mendapatkan gerbangnya kondisi tegangan di daerah penelitian.

Dengan penelitian ini diperoleh hasil pengakuan tegangan isu ini akan dapat menunjukkan sebagian besar dengan biaya pengakuan yang lebih murah.

1.3. Ruang Bagian dan batasan perhitungan

Penelitian ini ditujukan pada perhitungan besar dan untuk keperluan in situ yang dimulai dengan menggunakan metode relah hidrolik, dan metode cemasi akustik. Kesan pekerjaan yang akan dilakukan mencakup perhitungan atau relah hidrolik, eksperimental laboratorium, pengujian lapangan dan permodellan numerik.

Studi kawas lapangan dilakukan di tambang emas bukit tanah Proyek Bogor milik PT. Antam Tambang pada dua lokasi yaitu, di Ciung dan di Parayaman. Studi lapangan meliputi pengukuran tegangan in situ dengan menggunakan metode relah hidrolik, pengambilan data struktur geologi dan pengambilan contoh batuan yang diperlukan di laboratorium.

Metode pengukuran tegangan in situ secara tidak langsung dilakukan dengan menggunakan metode cemasi akustik. Uji cemasi akustik ini dilakukan dengan menggunakan peralatan cemasi akustik yang diperoleh dari Faculty of Mining Engineering and Mineral Science, Kyushu University, Jepang (Matsu, dkk, 2000), sedangkan uji relah hidrolik dilakukan dengan menggunakan peralatan yang dimiliki dan dibuat di Laboratorium Geomekanika, Departemen Teknik Pertambangan, ITB bekerjasama dengan Industri Karri Bandung (INKABA).

Permodellan numerik dilakukan untuk mendapatkan gambaran distribusi tegangan in situ dengan menggunakan *finite element method* (FEM) dan *boundary element method* (BEM).

1.4. Hipotesis

Penelitian ini mempunyai hipotesis sebagai berikut :

1. Pengukuran tegangan in situ dengan metode relah hidrolik digunakan sebagai referensi, karena mengikuti hasil tes elastisitas dan teori brittle fracture serta mengakomodasi kondisi alamiah baik geologi, struktur geologi dan peniti.

2. Besar yang diperoleh dari metode langsung / uji sekar hidrolik yang diisyaratkan sebagai uji standar dapat diwakili oleh uji indeks yang dalam hal ini metode tidak langsung untuk akurasi.
3. Bahwa metode tidak langsung dengan uji emisi akustik sangat dipengaruhi oleh waktu tunggu pengambilan contoh dan pengujian, riserskipl dan *crossing* erosi batu dan tanah.

1.5. Tujuan penelitian

Penelitian ini berujuan untuk:

1. Membuat peralatan uji hidrolik untuk mengukur tegangan insitu.
2. Melakukan pengukuran dan penentuan besar serta arah tegangan insitu dengan menggunakan metode langsung uji hidrolik, dan metode tak langsung emisi akustik.
3. Mengkorelasikan antara metode pengukuran langsung uji hidrolik dengan metode pengukuran tidak langsung.
4. Mengidentifikasi sifat pendekatan empiris yang mengakomodasi kedua pengukuran tegangan insitu secara langsung dan tidak langsung.
5. Memaksimalkan metode dan prosedur penentuan tegangan insitu dengan kombinasi metode langsung dan tidak langsung sehingga dapat dicapai arah memantulkan tegangan insitu di suatu lokasi.

1.6. Metodologi Penelitian

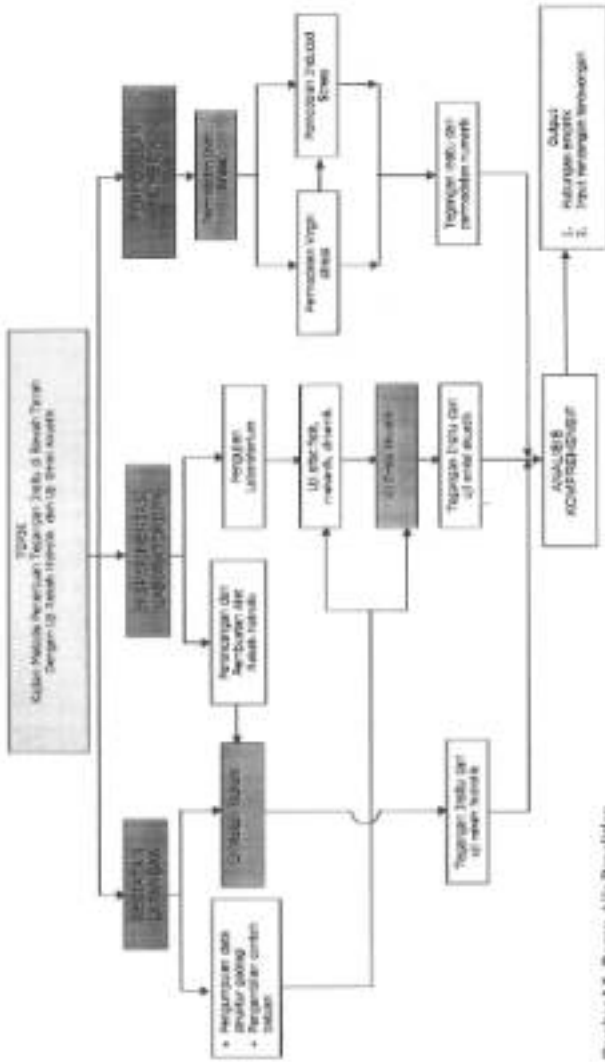
Berikut adalah metodologi penelitian yang dilakukan :

1. Studi pustaka.
2. Eksperimentasi laboratorium.
 - 2.1. Pembuatan peralatan uji hidrolik, perancangan dan pembuatan alat ini dilakukan dengan mitrafaham Perusahaan Daerah Industri Kim Basing (INKABA), perusahaan batu, Laboratorium Kontrol

Departemen Teknik Fisika ITB untuk penilaian sistem akhir ini dan serta Laboratorium Mekanika Batang Departemen Teknik Perbaikan ITB.

- 2.2. Pengujian sifat fisik, mekanik dan dinamik dilakukan untuk mengetahui sifat fisik, mekanik dan dinamik corot bahan dari Pongkor.
 - 2.3. Pengujian tensi akustik merupakan uji untuk menentukan tegangan tautan sebenarnya tidak langsung di laboratorium.
3. Pengujian lapangan
4. Kegiatan lapangan meliputi
 - 3.1. Penborongan isi, dilakukan untuk mempersiapkan lubang bor untuk uji relah hidrolik. Contoh isi batuan yang diperoleh dari penborongan isi digunakan untuk uji tensi akustik di laboratorium.
 - 3.2. Pengukuran data sekunder.
 - 3.3. Uji relah hidrolik, dilakukan untuk menentukan tegangan isi pada lapangan.
4. Permodelan numerik
Pemodelan numerik dilakukan untuk mendekati karakter distribusi tegangan isi pada daerah penelitian serta digunakan sebagai analisis bolak (back analysis)

Gambar 1.2 merupakan bagian alir penelitian yang dilakukan.



Cantur 1.2. Bagan Alir Penelitian

II.1. Tegangan Isitu

Pembelajaran tentang ketahanan terowongan yang biasa dilakukan adalah berdasarkan hasil pengujian di laboratorium dan dengan melakukan perhitungan secara teoritis. Secara teoritis tegangan vertikal pada kedalaman tertentu (x meter) adalah sama dengan besar per satuan massa dari batuan yang ada di atasnya, yang dapat dinyatakan dengan persamaan berikut.

$$\sigma_v = \rho g x \quad (II.1)$$

Keterangan :

ρ = densitas batuan (ton/m^3)

g = percepatan gravitasi (m/det^2)

Penelitian Block dan Brown (1980) mengemui tegangan isitu di beberapa lokasi batik tambang maupun sipil yang dilakukan dengan menggunakan beberapa metode pengukuran. Tegangan isitu menunjukkan bahwa besar tegangan vertikal dapat didekati dengan persamaan $\sigma_v = 0,027 \cdot z$ (Gambar II.1.a). Pendekatan ini cukup untuk tegangan horizontal lebih mif dibandingkan dengan tegangan vertikal, namun tegangan horizontal pada beberapa kondisi dapat dinyatakan dengan persamaan (II.2).

$$\sigma_h = k \cdot \sigma_v = k \cdot f \cdot z \quad (II.2)$$

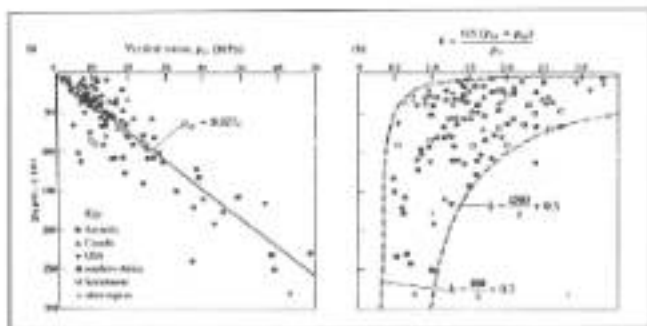
Keterangan :

f = ρg

k = perbandingan antara tegangan horizontal terhadap tegangan vertikal.

Terzaghi dan Richart (1952) menyatakan bahwa satuan beban gravitasi di mana tidak terjadi tegangan dalam arah lateral dan lantai batuan elastik, alias k tidak bergerak pada kedalaman tetapi dinyatakan sebagai $k = v/(1-v)$, dengan v = nisbah Poisson massa batuan. Dengan menggunakan pendekatan ini nilai tegangan horizontal yang diperlukan akan selalu lebih kecil daripada tegangan

vertikal. Hasil pengukuran ini yang telah dikutip oleh Hoek dan Brown tersebut memperjukkan bahwa nilai tegangan horizontal tidak adalah lebih kecil dari tegangan vertikalnya. Sehingga dapat dikatakan bahwa pendekatan ini terbukti tidak valid lagi.



Grafik II.1. (a) Pengukuran tegangan vertikal pada prysik zigil dan tanah : (b) Perbandingan tegangan horizontal terhadap tegangan vertikal hasil pengukuran (Hoek & Brown, 1978)

Pengukuran tegangan horizontal di beberapa negara memperjukkan bahwa nihil i sangat berrelasi dan condong tinggi pada kedalaman kurang dari 500 meter (lihat Grafik II.1.b). Dengan meningkatnya kedalaman, nilai ϵ_z akan menurun dan mendekati nilai satu (Hoek dan Brown, 1978; Hoegh, 1988).

Pendekatan teoritis tersebut hanya dapat memperkirakan tegangan inti karena pengaruh gravitasi saja, namun pengaruh tegangan tektonik dan tegangan sisa tidak dapat diperkirakan sesuai teoritis. Frekuensi diketahui bahwa sangat perlu untuk melakukan pengukuran tegangan inti, sehingga hasil yang diperoleh merupakan garisbusa kondisi tegangan inti yang sebenarnya.

Sebagai contoh, Hoegh (1988) melakukan pengukuran tegangan inti di daerah tanah liat Melles di Wasa, Timur Lake Superior, Ontario, Canada. Per sentase tegangan dikutip di lapisan Archean dengan tahan menentukan

dilansir oleh tanah besi serta untuk pemecahan tanah di kedalaman 600 meter (Bergert, 1988). Batu ini sangat stabil dan hanya terkena pengangkutan dan erosi. Dengan mempelajari kondisi geologi dan bidang diketahuinya sejauh, dapat dikatakan bahwa tegangan horizontal di batu ini cukup besar. Pengukuran tegangan ini juga sel CSIRO (the Commonwealth Scientific and Industrial Research Organisation) dan USBRM (United States Bureau of Mines) sejauh menunjukkan tegangan radikalnya relatif memperkuat vertikal.

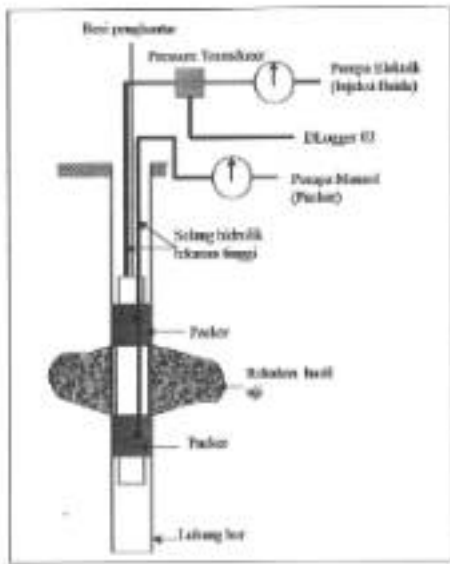
B.2. Metode Rekah hidrolik

Dalam teknik negara, penelitian dan metode pengukuran tegangan ini telah banyak berkembang. Empat metode pengukuran tegangan ini secara luas yang di lapangan yang diekransasi oleh International Society for Rock Mechanics (ISRM) adalah *flat jack*, *overcoring* dengan sel USBRM, *overcoring* dengan sel CSIRO dan sel hidrolik.

Dari keempat metode tersebut, metode overcoring dan metode sel hidrolik yang banyak digunakan. Dari segi persamaan, alat uji rekah hidrolik lebih sedikit dibandingkan dengan alat uji overcoring, sehingga untuk pengembangan persamaan di Indonesia, lebih memungkinkan untuk mengembangkan dan membuat alat uji rekah hidrolik.

B.2.1. Prinsip pengukuran metode rekah hidrolik

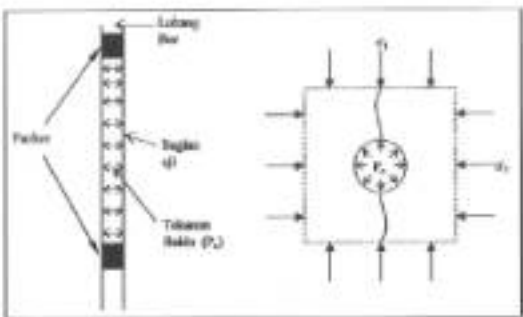
Pengukuran tegangan ini dilakukan pada batuan dengan metode rekah hidrolik dilakukan dengan cara memotong bagian kereta dari lubang besar (sekitar 0,5 m - 2,5 m) dengan menggunakan potong kereta kemudian mengajukan fluida (biasanya air atau oli) pada bagian tersebut dengan kecepatan tertentu, sekitar 0,1 MPa/det - 1 MPa/det hingga batuan mengalami rekah. Prinsip pengukuran tegangan ini dengan metode rekah hidrolik dapat dilihat pada Gambar B.2.



Gambar II.2. Skema teknik uji hidrostatik (modifikasi Harrison & Lee, 1994)

Tekanan fluida yang cukup besar akan menyebabkan tegangan tarik di sekitar lingkup bor. Ketika tegangan tariknya melebihi kekuatan tarik batuan, relaksasi akan terjadi dan berpropagasi tegak lurus lingkup bor dan sejajar dengan tegangan prinsipal mayor (σ_1), dan secara bersamaan, tekanan fluida akan turun (Gambar II.3).

Teknik uji hidrostatik pada mulanya dikembangkan untuk meningkatkan kapasitas produksi minyak atau gas di bawah tanah dengan jalan menaikkan sifat minyak atau gas dari reservoir menuju ke sifat bor dengan membentuk relaksasi. Tetapi sejak dilakukan pengembangan metode ini di laboratorium (Hansen & Fairhurst, 1967) dan percobaan lapangan oleh Von Schoenfeld (1970), maka metode ini banyak digunakan untuk mengukur tegangan inisial.



Gambar II.3. Proses uji seimbang hidrolik (Brady & Brown, 1994)

Pada awal perlindunganannya, penentuan tegangan isitu dengan uji relah hidrolik dilakukan pada lubang bor vertikal, sehingga tegangan yang diperoleh adalah tegangan horizontal maksimum dan minimum. Namun, para peneliti juga melakukan pengukuran tegangan isitu dengan uji relah hidrolik pada lubang bor vertikal. Berikut beberapa poin penting yang terkait dengan pengukuran tegangan isitu menggunakan metode relah hidrolik.

Ito, Kawahara dan Nishizawa (1997) melakukan pengukuran tegangan isitu dengan uji relah hidrolik di daerah dekat sumber genapi di Hyogoken. Pengukuran dilakukan pada lubang bor vertikal, dan hasilnya menunjukkan bahwa tegangan vertikal adalah tegangan prinsipal minimum.

Choi dan Shin (1997) menggunakan tegangan isitu hasil uji relah hidrolik untuk mengetahui *underground storage capacity* dan untuk terowongan salin di Korea. Pengukuran dilakukan tahun 1996 pada lubang bor vertikal untuk mendapatkan nilai tegangan vertikal, tegangan horizontal dan nilai k (perbandingan tegangan vertikal dan horizontal).

Ask dan Stephansen (2003) melakukan pengukuran tegangan di Bjorko Swedia pada tahun 1997 dengan menggunakan metode relah hidrolik pada kedalaman 300 m. Pengukuran dilakukan pada lubang bor vertikal dan hasil pengukuran menunjukkan bahwa tegangan horizontal maksimum mempunyai arah NW – SE.

Song, Choi dan Park (2003) melakukan pengukuran tegangan pada tahun 1999 untuk analisis ketebalan fasilitas penyimpanan minyak bawah tanah di Korea dengan menggunakan metode relah hidrolik dan overcoring. Uji relah hidrolik dilakukan pada lubang bor vertikal dan tegangan yang diperoleh adalah tegangan horizontal dan tegangan vertikal. Sedangkan dari metode overcoring diperoleh tegangan horizontal, tegangan vertikal dan tegangan prinsipal.

Li, An dan Guo (2003) mengukur tegangan di Nuozhadu Hydropower Station, di China dengan menggunakan metode relah hidrolik. Uji relah hidrolik dilakukan pada dua lubang bor vertikal, pada kedalaman sekitar 250 m. Hasil pengukuran menunjukkan tegangan horizontal maksimum sekitar 16 -13 MPa dengan arah NS – NNE.

Metode relah hidrolik juga digunakan oleh Cravero, Iacobino, dan Valcremo (2003) untuk mensentrasikan tegangan di kawasan insener di Italia. Pengukuran dilakukan pada lubang bor vertikal dan horizontal. Dari pengukuran diperoleh besaran dan arah tegangan prinsipal.

Haimov dan Lee (2003) juga melakukan pengukuran tegangan instan dengan uji relah hidrolik di Yucca Mountain, Nevada. Pengukuran dilakukan pada lubang bor vertikal. Tegangan yang diperoleh dari pengukuran adalah tegangan horizontal dan tegangan vertikal pada kedalaman 250 m.

Dalam perkembangannya, uji ini telah dikembangkan untuk lubang bor mining. Metode ini memberikan pola negatif untuk melakukan penentuan tegangan prinsipal dengan uji relah hidrolik. Perhitungan untuk penentuan tegangan instan pada

lubang bor miring diklasifikasikan pada perhitungan pada lubang bor vertikal (lihat Lampiran 1).

Uji relah hidrolik dalam penelitian ini dilakukan pada lubang bor miring yang dikembangkan oleh Mizota dkk (1987). Dalam analisa hasil uji relah hidrolik, Mizota dkk (1987) menggunakan sistem sumbu OMEV (Origin, North, East, Vertical) dan transformasi berpasangan.

II.2.2. Relahan yang Terbentuk

Meskipun secara teoritis, uji relah hidrolik akan menghasilkan relahan dengan arah sejajar lubang bor, namun kemungkinan adanya bidang eksorileus di lokasi pengujian dapat menyebabkan relahan yang terbentuk tidak sejajar dengan teori. Karena itu, secara garis besar, ukuran hasil pengujian relah hidrolik dapat dikategorikan menjadi 2, yaitu relahan yang sejajar lubang bor (longitudinal) dan memotong lubang bor (transversal).

II.2.2.1. Relahan yang sejajar dengan sumbu lubang bor (longitudinal)

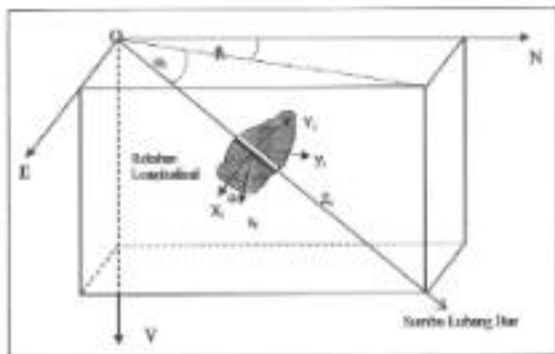
Gambar II.4 memperlihatkan relahan sejajar dengan sumbu lubang bor dalam kotak yang dibuat oleh sumbu OMEV. Dari gambar tersebut ditunjukkan bahwa sumbu koordinat lubang bor adalah OX,Y,Z, dan sumbu lubang bor bukan merupakan sumbu Z. Lubang bor ini mempunyai azimuth sebesar β dengan kemiringan (dip) α . Sumbu X mengarah ke bawah, sedangkan arah sumbu Y, horizontal. Kedua sumbu tersebut tegak lurus terhadap sumbu Z.

Relahan yang terbentuk menggunakan sistem sumbu OxyZ. Sumbu z relahan terletak pada bidang relahan dengan arah tegak lurus sumbu bor (sumbu Z), sebaliknya sumbu y, mempunyai arah yang tegak lurus dengan bidang relahan. Tegangan yang bekerja pada sumbu relahan adalah σ_x , σ_y , dan σ_{xy} . Jika sumbu z pada bidang relahan mempunyai arah sebesar δ dari sumbu X, maka tegangan yang bekerja pada relahan adalah :

$$\sigma_x = \sigma_3 \cos^2 \theta + \sigma_1 \sin^2 \theta + \sigma_{312} \sin 2\theta \quad (II.3)$$

$$\sigma_y = \sigma_3 \sin^2 \theta + \sigma_1 \cos^2 \theta - \sigma_{312} \sin 2\theta \quad (II.4)$$

$$\sigma_{xy} = 0.5 (\sigma_{32} - \sigma_{12}) \sin 2\theta + \sigma_{312} \cos 2\theta \quad (II.5)$$



Gambar II.4. Rakuh longitudinal (modifikasi Mizutadik, 1987)

Besarnya nilai σ_x dan σ_y yang menyebabkan tegangan maksimum dan tegangan minimum diperoleh dari data grafik pengujian rakuh hidrolik dan dapat dijabarkan sebagai berikut.

$$\sigma_x = 2 P_2 - P_1 \quad (II.6)$$

$$\sigma_y = P_1 \quad (II.7)$$

Diketahui σ_x dan σ_y adalah tegangan prinsipal suatu,

$$\sigma_{xy} = 0 \quad (II.8)$$

Pada sistem koordinat ONUV, tegangan σ_x , σ_y dan σ_{xy} dalam sistem koordinat XYZ dapat dituliskan sebagai transformasi dari komponen tegangan σ_1 , σ_2 , σ_3 , σ_{12} , σ_{23} , dan σ_{13} , dan dituliskan sebagai :

$$\begin{aligned} \sigma_x &= \sigma_3 \sin^2 \alpha_i \cos^2 \beta_i + \sigma_1 \sin^2 \alpha_i \sin^2 \beta_i + \sigma_2 \cos^2 \alpha_i + \\ &\quad \tau_{xy} \sin^2 \alpha_i \sin 2\beta_i - \tau_{yz} \sin 2\alpha_i \sin \beta_i - \tau_{xz} \sin 2\alpha_i \cos \beta_i \end{aligned} \quad (II.9)$$

$$\sigma_V = \sigma_0 \sin^2 \beta + \sigma_1 \cos^2 \beta - \tan \sin 2\beta, \quad (II.10)$$

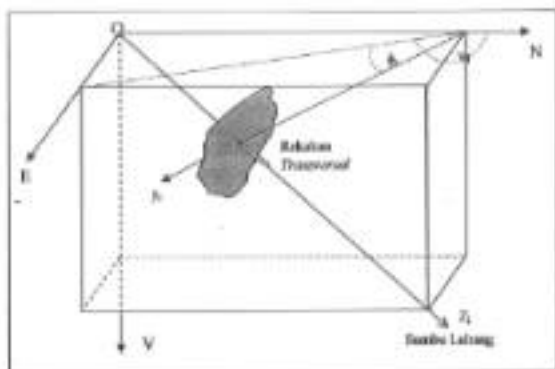
$$\begin{aligned} \sigma_{XY} &= -0.5 (\sigma_0 - \sigma_1) \sin \alpha \sin 2\beta + \sigma_0 \sin \alpha \cos 2\beta - \\ &\quad \tan \cos \alpha \cos \beta + \tan \cos \alpha \sin 2\beta \end{aligned} \quad (II.11)$$

II.2.2.2. Rekahan yang melintang sumbu lilitan hor (transversal)

Jika rekahan yang terbentuk adalah rekahan yang melintang sumbu lilitan hor, maka sistem koordinat yang digunakan adalah xyz dengan Z adalah sumbu lilitan hor. Seperti ditunjukkan pada gambar II.5, sumbu y, tegak lurus terhadap bidang rekahan serta mempunyai arah (trend) ψ dan kemiringan (pitch) ϕ .

Tegangan pada rekahan adalah σ_y yang merupakan tegangan normal bidang rekahan. Dengan demikian dapat diketahui besarnya tegangan ini adalah sama dengan tekanan pada pada rekahan sehingga,

$$\sigma_y = P_c \quad (II.12)$$



Gambar II.5. Rekahan transversal (modifikasi Minato,dk, 1987)

Tegangan σ_y ini juga dapat dihitung dari sistem tegangan pada koordinat ONFV dengan cara melakukan transformasi seperti berikut.

$$\begin{aligned} \alpha_1 = & \alpha_x \cos^2 \phi_i \cos^2 \psi_i + \alpha_y \cos^2 \phi_i \sin^2 \psi_i + \alpha_z \sin^2 \phi_i + \\ & \alpha_{xz} \cos^2 \phi_i \sin 2\psi_i + \alpha_{yz} \sin 2\phi_i \sin \psi_i + \alpha_{xy} \sin 2\phi_i \cos \psi_i \end{aligned} \quad (B.13)$$

II.3. Metode Emissi Akustik

Pemantauan tegangan intis secara tidak langsung di laboratorium dapat dilakukan dengan menggunakan beberapa metode, antara lain metode emisi akustik (AE), *Deformation Rate Analysis* (DRA), *Differential Strain Curve Analysis* (DSCA), dan *Acoustic Strain Relaxation* (ASR).

Dibandingkan dengan metode lainnya, metode emisi akustik lebih banyak digunakan oleh banyak peneliti untuk memantaukan tegangan intis. Metode ini cukup mudah dan relatif murah, selain itu metode oton yang lain seperti analisis kurva regresi differential dan *acoustic strain memory* tidak mengukur tegangan melalui bahan tegangan, dan tegangan intisnya diperoleh dengan metodi korelasif.

Moment ASTM E 610-77, emisi akustik adalah suatu fenomena menurunnya gelombang elastik frekuensi tinggi karena hilangnya pola-pola energi yang dapat dari satu atau lebih sumber pada suatu material mengalami proses pembebasan. Metode emisi akustik serupa dengan digunakan dalam pengujian perilaku material, pemantauan perkembangan reaksion, dan dalam uji rongga (creep). Untuk pemantauan tegangan intis, metode emisi akustik memanfaatkan fenomena yang disebut efek Kaiser (Kaiser, 1953), yaitu emisi akustik yang terdeteksi pada saat pembebasan mendekati atau melewati tingkat tegangan yang pernah dialami contoh batuan. Efek ini dikenal pada penemuan Kaiser pada material logam yang menyatakan bahwa logam mempunyai kesempatan untuk menyimpan tegangan maksimum yang pernah dialaminya. Untuk mendapatkan efek Kaiser yang terbaik adalah dengan eksperimen segerah di laboratorium di mana fenomena ini akan muncul.

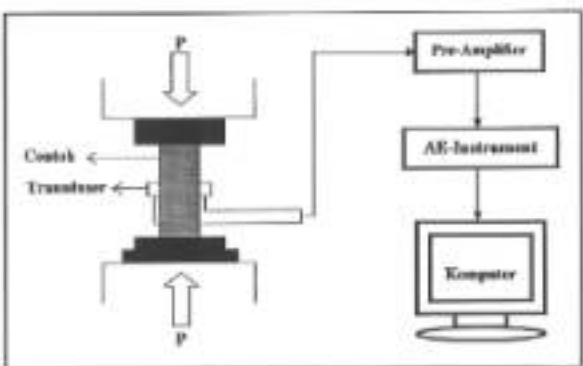
Kurita dan Fujii (1979) memanfaatkan lisosoma yang aktif pada batuan. Bahan maksimum yang pernah dialami ceklik batuan dapat dideteksi dengan menekan batuan sampai pada titik di mana terjadi kerusakan strukturnya yang substantif. Efek Kaiser yang diperoleh dari uji kuat tekan uniaxial (UCS) dapat menunjukkan tegangan yang pernah diterima batuan. Sols, dkk (1995) menyatakan bahwa hal ini dapat diinterpretasikan dengan perkembangnya makro-makro yang terbentuk pada kondisi tegangan sebelumnya.

Penelitian Jingyu, Kangding dan Ronggen (1995) menunjukkan bahwa pada saat kurva dibentuk kerobekan pada awalnya aktivitas erosi akustik terlihat lemah dan kemudian meningkat secara cepat pada bahan makro-makro yang pernah diterimanya yang dinyatakan sebagai efek Kaiser. Beberapa penelitian menunjukkan jika contoh batuan diberi tekanan secara siklik, maka efek Kaiser tidak akan muncul jika proses tersebut berlakunya berulang di bawah tegangan yang pernah diterimanya.

II.3.1. Prinsip pengujian metode erosi akustik

Secara umum erosi akustik berhubungan dengan energi gelombang elastik yang timbul karena mekanisme pembentukan, penyusunan, dan multiplikasi rekuhan, proses friksi selaras peningkatan dan pembakaran rekuhan, transformasi-fasa, propagasi rekuhan mikro, deformasi material, tomobolan, dan pemadaman. Gelombang elastik inti yang dinyatakan sebagai aktivitas erosi akustik. Gelombang yang dibuatkan oleh mekanisme-mekanisme tersebut akan saling bersuperposisi sehingga dapat terdeteksi.

Contoh batuan diberi tekanan uniaxial secara siklik. Gelombang akustik yang dikonsilkan pada pengujian akan dideteksi dan ditengkap oleh transduser piezoelectric yang dimimpulkan pada contoh batuan. Transduser ini berfungsi untuk mengubah sinyal mekanik menjadi sinyal listrik. Selanjutnya oleh pre-amplifier, sinyal ini diperkuat kerusakan diolah dengan instrument erosi akustik dan selanjutnya dibaca oleh program komputer (Gambar II.6).



Gambar II.6. Sketsa rangkaian pengujian emisi akustik. (modifikasi Li dan Noshland, 1993)

II.3.2. Faktor yang mempengaruhi munculnya efek Kaiser

Meski Masyuz dan Hattori (1992) menemui tegangan dalam batuan yang muncul dalam efek Kaiser dapat dipengaruhi oleh beberapa faktor seperti berikut yaitu: waktu, air dan zisa. Pengaruh variabel-variabel tersebut tercipta menjadi penting karena penemuan tegangan ini yang diceritakan pada efek Kaiser berhubungan dengan batuan yang di-cure di lapangan, dibawa ke laboratorium, dipreparesi, kremadian bahan dingi. Dengan demikian ada tiga bagian yakni pengambilan sampel hingga pengujian dilakukan.

Sejauh ini telah mendapati efek Kaiser pada geosatelite sejak tahun 1970 dan mendeskripsikan faktor-faktor yang mempengaruhi munculnya tegangan batuan di bawah kondisi pembentukan uniaksial (Kanagawa, dkk., 1976; Kuriha & Fujii, 1979; Higuchi & Crawford, 1987; Seto dkk., 1999, 1997, & 1995; Helecomb, 1993; Utagawa dkk., 1995).

H.3.2.1. Perubahan sifat fisik batuan

Kreuz dan Fujii (1979) menyajikan bahwa kisititas air merupakan faktor penting dalam lautanya dengan zonasiannya Efek Kaiser. Hal ini ditunjukkan oleh corak granit yang direndah air selama abadi yang menyajikan corak akustik menurun pada daerah distriknya, di bawah tegangan maksimum yang pernah dialaminya.

Yoshikawa dan Magi (1981) memperlajai pengaruh air dan zodi pada corak andesit. Dari pengujian diperlukti kisititas batu tidak ada pengaruh air dan zodi pada numeri tegangan. Bayne (1981) juga melakukan hal yang sama pada corak dolomit, andesit, arca aktif dan reka granit yang telah dipanaskan di oven 115°C selama dua hari. Hasilnya menunjukkan bahwa aktivitas corak akustik hanya terpengaruh sedikit.

H.3.2.2. Jenis batuan dan zonasi pembenturan unikrial

Kasagawa, dkk (1976) memperkirakan tegangan yang pernah dialami batuan dengan menggunakan efek Kaiser dan dibandingkan dengan hasil dari metode overcoring. Hasilnya mensuguhkan batu tegangan yang diperlukan dari efek Kaiser berhubungan dengan tegangan maksimum yang pernah diterima massa batuan selama urut geologi yang lama daripada tegangan inisial saat ini.

Sundergeld dan Estey (1981) mempertanyakan kebenaran dan signifikansi efek Kaiser dalam pembenturan unikrial batuan. Dari posisi tersebut disimpulkan bahwa selama waktu pembenturan corak granit Westerly, aktivitas corak akustik didekati dengan baik pada tingkat tegangan di bawah tingkat tegangan histogramnya.

Houghson dan Cawfod (1980) melaporkan keberadaan efek Kaiser di bawah kondisi pembenturan unikrial pada material amphibole, andesit, gneiss, granit, limestone, dolomite, kaersie, relict dan batupasir.

Jingga, Kangding dan Rongguan (1995) menaruhkan bahwa tipe batuan sangat mempengaruhi aktivitas emisi akarik. Untuk batuan dengan batuan kasar, seperti batuan granit, efek Kaiser tidak dapat terlihat dengan jelas, sementara untuk batuan berbatir batu seperti pasir, granit, *basaltose* dan *maficrete*, efek Kaiser terlihat dengan jelas.

B.1.2.3. drak pendebutan

Michibata, dkk (1985) mempelajari pengaruh tegangan prinsipal dalam arah berbeda terhadap emisi akarik efek Kaiser. Studi ini menunjukkan bahwa pada umumnya efek Kaiser pada arah arah tidak dipengaruhi oleh tegangan dalam arah yang lain, dan bahwa tegangan sebaliknya pada contoh jorok dapat ditemukan dengan rasio: efek Kaiser dengan tingkat konsisten 2 %.

Walters dan Soltani (1985) berhasil memimpulkan aktivitas emisi akarik dari batuan batu yang dibebani dengan menggunakan contoh dari labung batu dalam arah utara - selatan dan timur - barat.

B.1.2.4. Tekanan penampatan (Confining Pressure)

Hofcomb (1983) mempelajari pesentase efek Kaiser pada contoh granit Westerly pada kondisi triaksial. Dia menunjukkan bahwa pada saat tekanan penampatan meringkat, behan yang diperlukan untuk memimpulkan efek Kaiser juga meringkat.

Hasty dkk (1985) melokasi pengujian pada contoh sitader di bawah kondisi perbaungan triaksial yang berbeda untuk meminimalkan beberapa macam koadisi tegangan. Hasilnya menunjukkan efek Kaiser minimal pada tingkat tekanan penampatan dan behan akhir maksimum. Houghson dan Crawford (1987) mempelajari pengaruh tekanan penampatan terhadap efek Kaiser pada contoh batupasir llerca dan hasilnya sama dengan Hofcomb (1983).

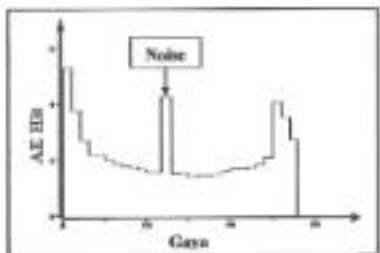
6.1.2.5. Waktu tanggu

Waktu tanggu merupakan hal yang sangat penting dalam pengujian emisi akustik karena sejak batas diamobil dari massa bahan, bantuan dicantikkan berupa bantuan tersebut dapat meninggalkan sebuah pradefinisi keruhu dilakukan agar mendapatkan estimasi tingkatnya sebaiknya.

Sejauh ini penelitian positif mengenai hal ini, setara lain Goedman (1963) menyatakan efek Kaiser pada kontak latipair dan keruangan diperoleh dalam beberapa jam, sementara Yoshikawa dan Mogi (1981) bisa memperoleh efek Kaiser dari 1 – 5 hari. Boyce (1981) juga mendekati tegangan sekitarnya antara 3 hari. Kurita dan Fujii (1979) menyatakan bahwa rata-rata bisa mendekati adanya efek Kaiser setelah periode 1 bulan. Sedangkan Michihiko dan (1988) menunjukkan bahwa estimasi tegangan awal menggunakan efek Kaiser pada massa bahan condong melahap sejauh dengan waktu tanggu setelah pembebasan. Begitu pula Yoshikawa dan Mogi (1989) mengemukakan bahwa efek Kaiser sensasi keruh pada saat waktu tangguannya meningkat.

6.1.2.6. Suara

Salah satu kendala dan masalah dalam metode emisi akustik adalah tumbuhan noise yang menyebabkan sulitnya penilaian aktivitas emisi akustik. Noise merupakan sinyal yang terdeteksi yang mengganggu eksperimentasi dan bekerja pada frekuensi rendah, sementara emisi akustik sendiri berada pada frekuensi antara 100 – 300 kHz. Yang termasuk sumber noise akustik adalah noise elektrik dan elektromagnetik seperti radio, transmisi radio dan navigasi serta petir. Alih-alih dalam posisi mesia tekan, gesekan pelet posision dengan cangkok bantuan, posisi kabel tali yang bergoyang juga bisa memproduksikan noise (Gambar II.7).



Gambar II.7. Noise pada grafik emisi akustik hit v.a gaya (hasil uji pada contoh batuan di Ciung)

Peningkatan pulsa akustik selama periode atau siklik terhubung dengan perkembangan rekaman dalam contoh batuan. Goodhue (1963) menyatakan bahwa proses yang terjadi di dalam batuan juga menyebabkan noise yang dikenal sebagai rock noise.

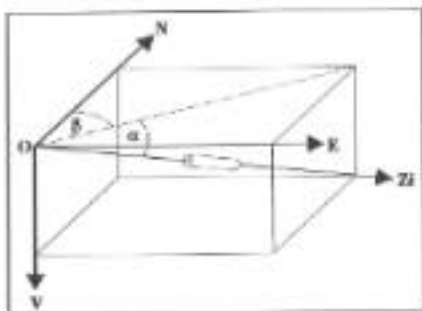
II.3.3. Prinsip dasar perhitungan tegangan dalam metode emisi akustik

Sistem koordinat yang digunakan sebagai dasar perhitungan adalah sistem koordinat ONEV (Origin, North, East, Vertical), dengan Z_e adalah arah lurang bor (Gambar II.8). Dari Gambar II.8 dapat dilihat bahwa dalam pengujian emisi akustik, contoh batuan akan ditekan searah sumbu lurang bor Z_e yang membentuk kemiringan α dan arah β . Tegangan yang diperoleh pada pengujian merupakan tegangan searah lurang bor (σ_{33}). Nilai σ_{33} ini adalah tegangan pada saat efek Kaiser mencapai. Dengan demikian, tegangan ini merupakan hasil transformasi dari komponen tegangan dalam sumbu ONEV, sehingga akan didapatkan persamaan sebagai berikut.

$$\sigma_{33} = \sigma_{11}\cos^2\alpha\cos^2\beta_i + \sigma_{22}\cos^2\alpha\sin^2\beta_i + \sigma_{33}\sin^2\alpha_i + \tau_{13}\cos^2\alpha_i\sin2\beta_i + \tau_{23}\sin2\alpha\sin\beta_i + \tau_{33}\sin^2\alpha\cos\beta_i. \quad (II.14)$$

$$\sigma_{33} = \sigma_{11}. \quad (II.15)$$

σ_{11} adalah tegangan pada saat efek Kaiser mencapai (Gambar II.8).



Gambar II.8. Posisi contoh batuan uji emisi akustik dalam sistem koordinat ONUV (modifikasi Miura, dkk, 1987)

Berdasarkan permasalahan (II.12), seperti halnya pada uji rock爆破, untuk mencapaikan torsi tegangan diperlukan solusi uji uji seimbang dengan posisi contoh yang berbeda (Hokamah, 1993).

Bab III Geologi dan Penelitian

III.1. Lokasi Kegiatan Lapangan

Lokasi Unit Bisnis Perambangan Emas (UBPE) Pongkor, PT Antam Tbk terdapat di desa Gunung Pongkor seputar di Sungai Desa Nagged Kecamatan Nagged Kaligung Bogor Propinsi Jawa Barat. Letak ini berjarak sekitar 55 km ke arah barat dari Kota Madya Bogor dan sekitar 130 km ke arah barat daya Jakarta. Pongkor merupakan kawasan Pertambangan sebesar 6147 Ha (No. KW 98 PP 0118/2000), sebagian KP Eksploitasi sekitar 3070 Ha (No. KW 06 PP 0127 B / Ibu)



Gambar III.1. Lokasi Kawasan Pertambangan UBPE Pongkor (dokumen Departemen Eksploitasi, UBPE Pongkor)

III.2. Kondisi Umum

Sumber garis besar gambaran bantik batu dari Pongkor merupakan pegunungan dan perbukit yang membentuk akibat proses vulkanik. Diambil Pongkor merupakan pilar batuan gamping yang menonjol dari bantik ke bawah yang khasanya sekitar 30 km - 40 km dan merupakan pilar gamping api yang masih aktif dari perambahan gamping api merupakan sumber magmatik pegunungan

yang relatif berlief dengan ketinggian 500 m – 2200 m diatas permukaan laut, dan umurnya masih tetap pada prima.

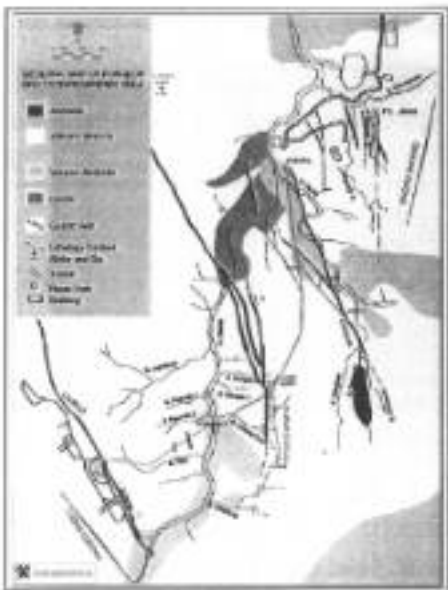
Topografi daerah Pangkor dan sekitarnya merupakan area daerah perbukit dengan pasang bukit mulai tinggi dan agak mendatar, mempunyai sudut lereng antara 20° – 40° dengan komposisi 15% daerah datar rata-rata, 60% daerah berbukit berbukit, dan 25% daerah berbukit bergunung. Pada daerah ini mengalir dua sungai utama yaitu Sungai Cikasiki dan Sungai Cigulu yang terdapat di sebelah timur dan utara lokasi penambangan.

III.3. Kondisi Batuan Daerah Pangkor

Paparan mengenai geologi dan batuan daerah Pangkor pada disertasi ini didapatkan pada hasil penelitian seorang PT. Asaka Tambang UPN PGRI Pangkor dan Jurusan Geologi Universitas Padjadjanan Bandung pada tahun 2001 dengan judul penelitian Studi Sistematis Geologi Daerah Pangkor dan Sekitaranya serta disertasi Dugnew, ITB (2005).

Secara keseluruhan Pangkor dan sekitarnya tersusun dari batuan gunung api piasklastik bersifat andesitik sampai desitik yang dapat dikomposisikan ke dalam satuan batuan tufa breksi, aglomerat, andesit, breksi andesitik dan basalt (Gambar III.2).

Satuan batuan tufa breksi merupakan dibagian selatan terdiri di sepanjang Sungai Cikasiki. Satuan ini ditemui dan terpotong oleh anak sungai yang mengandung emas. Satuan batuan tufa breksi tersusun disusun oleh tufa, tufi lapili, tufi breksi, afionemat, dan sisiyan lempung. Tufa breksi berwarna abu-abu kehijauan, manis, klastik dengan sifat sedang sampai jekuk. Fragmenanya subangular berukuran kerikil-pebblic dengan komposisi 75 % tufa breksi dan sisa-sisa sit hitam dan lempung silika. Dalam batuan ini terdapat sisiyan andesit lava dan breksi polistik. Umurnya batuan terlapukan sempurna dipersialkan dan dengan polipsikan menurut senar dengan kedalaman.



Gambar 11.2. Peta geologi daerah Pangkor dan sekitarnya (dokumen Departemen Eksplorasi, LBBP Pangkor)

Bonus bila seorang hasilah berwara gilang langsung dia dibela hujung, terbukti hasilah langsung, pada dan ketika dia yaitu orangnya tidak mengelami sakit. Tetapi ini tidak diakui di dalam *Ganatra Puspita*, *Narayana*, dan *Cygnus*.

Batuan batu andesit merupakan hasil ekstrusi dalam bentuk aliran lava atau gunung berapi di dalam lahan vulkanik. Batuan ini dikenal dengan warnanya yang gelap, tekstur yang kasar, dan sedikit atau tidak mengandung sulfat.

Batuan dasar adalah massa ekstraktif dalam bentuk aliase lava. Ciri batuan dasar adalah berwarna abu-abu dengan bintik-bintik berwarna putih yang terselar agak membentuk pola hitam dan sedikit atau tidak mengalami ulahas.

III.4. Gensis Batuan Pangkor

Van Heegele (1949) menilai Jawa Barat memiliki 5 zon yaitu, zona Deltasi-Remah Pantai Jakarta, Zona Bandung, Zona Bogor, Zona Pegunungan Bayah dan Zona Pegunungan Selatan. Posisi tambang emas Pangkor terletak di bantaran Zona Bandung berbatasan dengan Pegunungan Kabuh Bayah, sehingga diperkirakan yang menjadi batuan dasarnya adalah formasi-formasi yang terdapat di Pegunungan Bayah. Batuan Pangkor yang merupakan arsitratik kuarsa dan emas diperkirakan berasal dari formasi Cleopatra yang membentuk jalur di bagian tengah Pegunungan Bayah. Menurut Soeria-Atrudja dkk (1994) Formasi ini diperkirakan terjadi karena pergerakan lempeng Indo-Australia pada konglomerat Eurasia yang terjadi pada periode Neogen.

Proses pembentukan emas di daerah Gunung Pangkor adalah proses pembentukan emas epitermal sulfida rendah. Mineralisasi emas dan perak di Gunung Pangkor ditemukan pada batuan yang dominan oleh aglomerat beku polimik, tufa batik dan lava andesit. Penelitian mengenai indikator emas di Pangkor menyatakan bahwa cedangan bijih emas (Au-Ag) dalam konsentrasi tinggi di Pangkor lahir yang bersifat epitermal maupun intrusifnya berkait dengan peristiwa vulkanik (Milesi, dkk, 1999). Endapan epitermal emas-perak ini terletak pada basar magnetik Sunda-Banda. Menurut Carlile dkk (1994) dalam disertasi Dugnew (2008) dikatakan bahwa basar ini terbentuk oleh aktivitas magmatisme akibat pergerakan lempeng Indo-Australia pada konglomerat Eurasia yang terjadi berturut-turut sejak Palogen, Oligosen, Oligosen Akhir – Miozen Awal, Miosen Tengah-Pleosen, hingga Kuarter.

Dugnew (1994) juga menyatakan bahwa letusan magma yang berulang kali di Pangkor menciptakan letusan phreatomagmatic, yaitu letusan yang terjadi karena

bahan magma yang hampir mencapai pemukaan berupa pasir batuik tanah dan mengakibatkan retak pada batuan di sekitarnya. Dalam letusan ini material magma dan frimenit batuan tersebut akan berterbangan dan mengendap kembali di permukaan. Peristiwa ini terjadi pada jaman Miocene Akhir – Pliosen, Sembal Atmadja (1994). Setelah aktivitas letusan diperkirakan terjadi pengangkutan dan deformasi tektonik yang mengakibatkan batuan ini pada lajuannya pergi menuju arau, yang terjadi pada jaman Miocene Akhir – Pliosen Menurut Milesi, dkk (1999), pada jaman Pliosen pasahan arau mengakibatkan laju yang terbatas akibat aktivitas tektonik tumbuh ketebalan dini oleh arau yang menghasilkan laju bijih arau di Pangkor dengan nilai 2 - 8 meter dan viendri dengan ketebalan 2 - 20 cm.

Setelah proses tawar-tawar arau diperkirakan terjadi vulkanisme akhir di Pangkor berupa pengertian arau pada silika lebur yang menghasilkan dasar dan akar arau aktivitas hidrotermal yang menghujilas kelebihan hidrotermal yang diberi oleh silika (Kuster, Basuki dkk, 1994).

BLS. Gedagi Daerah Pangkor

BLS.1. Sistem tegangan

BLS.1.1. Tegangan regional

Daerah Pangkor berada dalam struktur Blok Barisan yang bergerak ke Utara (ada jaman Paleosolikum) sesuai dengan arah pergerakan Blok Gondwana (yang sekarangnya telah menjadi Blok India dan Blok Australia). Pergerakan ini dicirikan dengan adanya pola-pola sesar transform yang berarah utara-selatan, serupa dengan lempeng samudra Hindia mempunyai pola strukturnya Barat Daya – Timur Laut. Hal ini menunjukkan bahwa arah tegangan prinsipal maksimum (σ_1) regional pulau Jawa adalah utara-selatan.

III.3.1.2. Tegangan daerah Pangkor

Bermakna ekspansi Formasi Bojongsari sebagai proses di daerah Pangkor dipengaruhi oleh Pola struktur Sumatra (barat laut – tenggara) dan Pola struktur Mentaya (timur laut – barat daya). Tegangan pada Formasi Bojongsari yang melahirkan Formasi Cimesug dan pembentukan gunung api juga berorientasi pada kedua pola struktur tersebut yang benerilah relatif utara-selatan. Kedua struktur tersebut terbentuk berurutan dengan proses sedimentasi yang terjadi pada Formasi Bojongsari.

III.3.2. Struktur geologi

III.3.2.1. Struktur geologi utara daerah Pangkor

Masruqi Utung dan Wimardono (1975) pola struktur yang berkembang di Jawa Barat umumnya mengikuti pola Sumatra yaitu barat laut – tenggara. Selanjutnya Hermawan (1999) menyatakan bahwa daerah Barisan Selatan, khususnya Kubah Bayah merupakan pertemuan Garis-garis Jawa dan Rakit Borobudur sehingga terjadi beberapa deviasi strukturnya. Kubah Bayah sendiri telah mengalami dua kali periode tektonik yaitu pada jaman Irta-Miocen dan Plio-Pleistosen. Periode pertama menyebabkan terjadinya struktur sesar dan liputan tenusnya di bagian tengah dan utara Pulau Jawa sehingga menyebabkan terbentuknya lubuk yang disertai dengan penuukan. Pada periode tektonik kedua, tekanan gaya ke arah utara makis besar dan menyebabkan terbentuknya lubuk dan sesar pada Kompleks Bayah.

Katili dan Koekoemadina (1967) menyebutkan bahwa pada jalur erupsi tungah pada Barisan Selatan telah terbentuk pola dengan arah utara-selatan. Pola ini berhubungan dengan pembentukan lubuk yang menunjang dengan sumbu barat laut – tenggara yang disebutkan oleh gaya vertikal. Hal ini terbentuk dengan akibat urut hijrah yang merupakan hasil pengaruh tektonik *extensional fracture* dengan arah utara-selatan.

Dusun Pongkor dan sekitarnya telah mengalami perbaikan yang cukup intensif. Hal ini terlihat dari struktur rumah yang cukup kompleks dengan ukuran yang cukup rapi. Di dusun Pongkor terdapat sejumlah struktur rumah sasana lainnya Gherulit, Sese Cireusa, Sese Ciheling, Sese Cikurau, Sese Cibitung, Sese Cipatu, Sese Tengkor, Sese Cisang, Sese Gunung Singa, dan Sese Teluk Wica (Gambar III.3).



Gambar III.3. Peta desa di dalam turbin Pongkor (Gorontalo, UMPAD, 2001)

Dalam kajian Ilia Geologi Urip dan Pengkor, juga disebutkan bahwa pada umumnya, sesar yang terdapat di Pengkor adalah sesar mesin dan sesar normal dan secara garis besar ada dua jalinan sesar utama yaitu :

- Sesar oblong barat laut – selatan tenggara, sesar ini tegak lurus dengan arah tegangan prinsipal dan berhubungan dengan urut-urut di Cigdua, Kubang Ciamis, dan Ciung. Untuk sesar Ciung, terdapat juga sistem tegangan yang searah sesar.
- Sesar utara timur laut – selatan barat daya, sesar ini searah dengan tegangan prinsipal dan terkait dengan areal Cikariki dan Ciung.

Selain kedua jalinan sesar utama, terdapat sesar berarah utara – selatan yang terbentuk adalah ketika sesar utama tersebut dan terdapat dengan urut Puri Jawa. Pada pergerakan ketika memperlakukan arah utama sejajar dengan pergerakan urut dan bidang perlakuan batuan, yang umurnya terdiri kuarsa, lempung mangan okida, pirit, dan limonit.

Jika dilihat dengan teori Griffith, tegangan prinsipal di daerah ini searah searah dengan rilakhan turik yang dalam hal ini searah sesar utamanya yang berarah Utara – Selatan. Kajian struktur dan tegangan di daerah ini menyatakan bahwa arah tegangan pada daerah ini pada umumnya berarah antara barat laut – tenggara dan timur laut – barat daya. Hal ini cukup sesuai dengan teori Griffith meskipun terdapat deviasi dari Utara – Selatan yang kemungkinan disebabkan oleh struktur lokasinya.

III.5.2.2. Struktur geologi daerah penelitian

Pengukuran tegangan imitu dilakukan di lokasi Ciung dan Pamoyanan. Jika melihat Peta struktur daerah Pengkor pada Gambar III.3 menunjukkan bahwa daerah penelitian terkait dengan sesar Cigdua, sesar Ciung, dan sesar Cikariki.

Lokasi pengujian di Pamoyanan dipengaruhi oleh Sesar Cigdua. Sesar Cigdua merupakan kejadian sangat Cigdua. Sifat tegangan yang terjadi adalah

tegangan tekton dan tarik dengan nilai gerakannya adalah. Tegangan prinsipalnya berada atas batas laut - selatan kegara. Dari eksplorasi struktur dianalisa bahwa pengaruh aktif area Cigude adalah mendekat dengan bidang senar N 315⁰E / 75⁰.

Lokasi pengajuan di Ciung merupakan salah satu Ciung dari area Cikaniki. Sesar Ciung merupakan lokasi anak Sungai Cikaniki. Pada sesar ini ditemukan dua pola sistem tegangan, yaitu tegangan tekton berasal batas laut - tengah hingga batas laut - selatan hingga daya dan tegangan trik berasal batas laut tengah. Kedua pola sistem tegangan ini mengindikasikan bahwa area Ciung mempunyai dua komponen arah genik, yaitu lateral dan normal. Hasil rekonstruksi struktur mengindikasikan bahwa bahwa pengaruh aktif sesar Ciung adalah sesar normal dengan bidang senar N 315⁰E / 56⁰.

Sesar Cikaniki merupakan lokasi aktivitas magmatik Cikaniki yang berada timur laut - barat daya. Sistem tegangan yang terjadi menunjukkan sistem iringan tekton dengan tegangan prinsipalnya berasal arah senar timur laut - selatan hingga daya. Analisa struktur menyimpulkan bahwa jenis sesar Cikaniki adalah sesar mendekat dengan bidang sesar N 207⁰E / 78⁰.

Gambar III.4 sampai III.7 merupakan deretan dari bidang diskontinu di sekitar lokasi penelitian di Pangkor. Gambar III.4 merupakan gambaran bidang diskontinu di sepanjang tembangan MIII. (Mine Heritage). Selanjutnya Gambar III.5 dan Gambar III.6 menyajikan gambaran bidang diskontinu di daerah Cigude dan Kabang Cicau yang berdekatan dengan lokasi pengakuan di Paroymahan, sedangkan Gambar III.7 menggambarkan kondisi bidang diskontinu di Ciung.

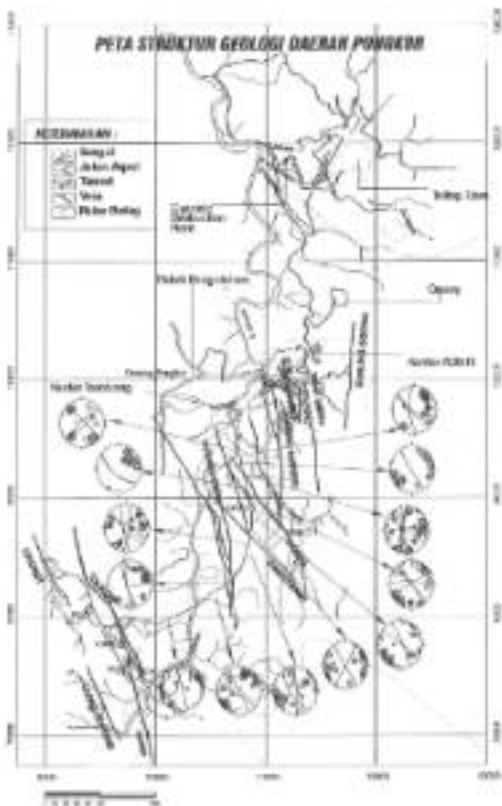
III.6. Urat Esensi Utama Pangkor

Dari data eksplorasi dan penelitian, obekan bijih cuan Pangkor mencakup dalam 10 lokasi, antara lain Cigude Utama, Cigude Timur, Pasir Jawa, Kabang Cicau,

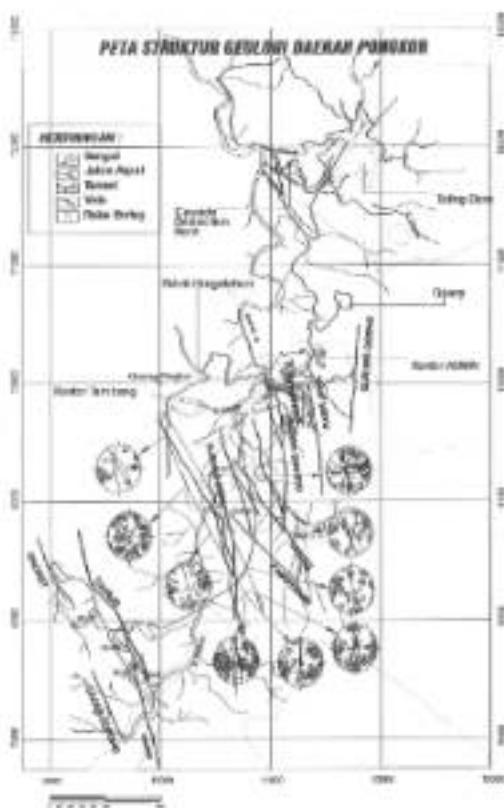
Ciamis, Cadas Copong, Gunung Goeng, Cimahi, Pasuruan dan Gedung Handak. Menurut laporan *Eritansari Cadangan Bahan Tambang Esar Panglima per 1 Juli 2002*, penyebaran sasi eksperifitikum pada sisi paralel dengan arah sumbu Barat Laut – Tenggara dan Utara – Selatan. Ketebalan sasi bervariasi antara 0,8 meter sampai 24 meter dengan kemiringan atau relatif tegak antara 55° sampai 90° ke dua arah, yaitu :

- ke arah Timur Laut di bagian Barat, meliputi Kabung Ciamis, Ciamis, Cadas Copong dan Pasuruan.
- ke arah Barat Daya di bagian Timur, meliputi Cigede Utara, Cigudeg Timur, Pasir Jawa, Gunung Goeng, Ciremeh dan Gedung Handak.

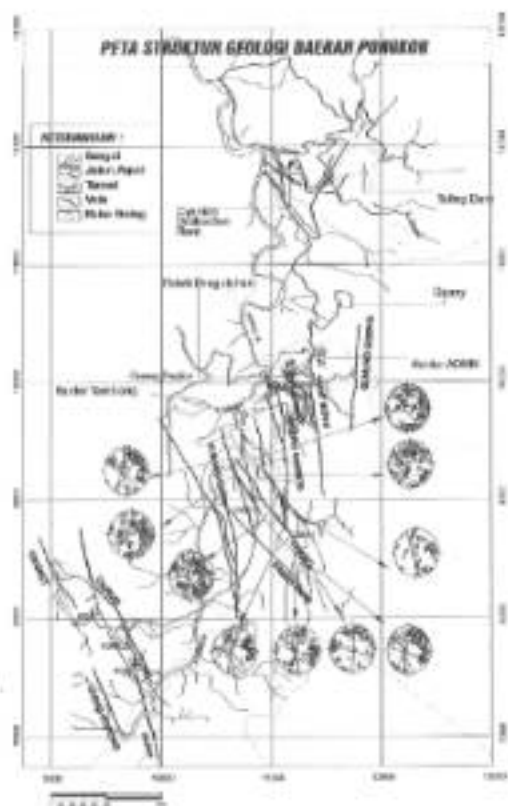
Pada pertengahan tahun 2002 telah ditemukan lagi sasi laik di Ciamis yang relatif lebih kecil yang terdapat pada level 570. Sebagian cadangan bijih sasi Pangkor terletak di kawasan Taman Nasional Gunung Halimun, sehingga sejak saat telah diperlukan sistem pemantauan bawah tanah. Unit besar yang telah ditembus adalah Cigudeg, Kabung Ciamis dan Ciamis. Pada tahun 2002 mulai ditembus sasi Pasuruan, dan pada tahun 2003 telah dilakukan persiapan pembuatan portal untuk menembus unit Gedung Handak.



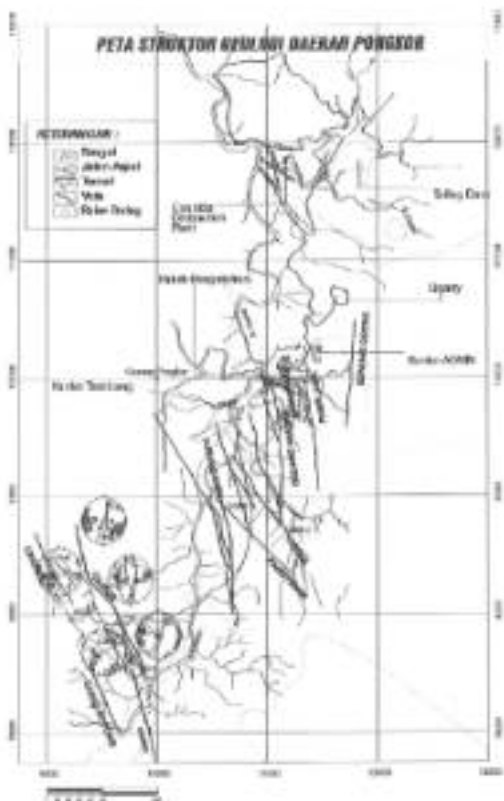
Gambar II.4 Gantulan bahan dilorongnya & sepanjang kerongkongan MHL berlangsung atau Pongkor (modifikasi: Pongkor dan Geologi UIN PAD 2001)



Gambar III.3. Ciri-ciri halang dilikannya di daerah Kalong-Ciam Pengkor (modifikasi Pengkor dan Goroagi LNPAD 2001)



Gambar III.5. Gambaran banting difersiatnya di daerah Cipata Pongkor (modified Pengkar dan Gading UNPAD 2003).



Gambar III.7. Gambaran bahan dasarannya di daerah Cagar Pongkor (modified from Pongkor dan Geologi UNPAD 2001)

IV.1. Peralatan Uji Rekab hidrolik

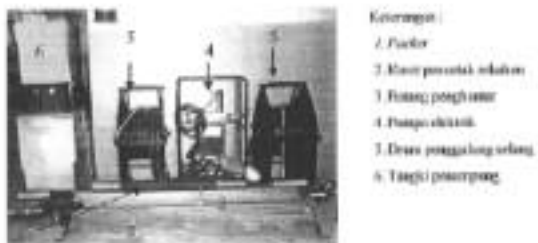
IV.1.1. Perancangan

Alat rekab hidrolik yang dimenging dan dibuat meliputi *stockile packer, impression packer, steel seat, liner tube, perlem, data elektronik dan kelengkapan alat* (lihat Gambar IV.1, Kurniadi, dkk 2003). Perancangan dan pembuatan alat rekab hidrolik disesuaikan dengan teknik buku dan kondisi di Indonesia dengan beberapa saran sebagai berikut:

1. Kapasitas tekanan *stockile packer* hingga saat ini mencapai 25 MPa.
2. Bentuk *steel seat* yang asalnya bulat berdiameter tetapi diubah menjadi kerucut dalam spayx mendekatas bujuk aliran fluida yang lebih cepat pada saat penekanan fluida ke dinding kantong bor.
3. Kopling das karet yang digunakan di dalam *stockile packer* dan *impression packer* dimenging sebaiknya rupa sehingga jika terjadi kerusakan pada karet, maka bagian kopling masih bisa dipergunakan untuk *perlem packer* tersebut. Dengan kata lain kopling dapat diatur sang adingga dapat mengherat bahan yang diketahui.
4. Sistem pencetakan ukuran dengan *infrared packer* das kartu pencetak ukuran mutlak digantikan dengan *borhole camera*. Hal ini untuk menghindari tersingguknya karet pencetak ukuran pada kantong bor. Dengan *borhole camera* ukur waktu yang diperlukan untuk persiapan lebih cepat, hasil yang diperoleh juga lebih detail dan tajis.
5. Posisi pompa, tangki, selang, dan sistem sistem data yang terpisah disusun agar penyeputan alat dapat lebih praktis, mudah diatur smuai dengan kondisi ditemui pengajuan dan kantong ringan.
6. Sistem persiapan menggunakan pompa elektrik agar aliran oli lebih kontinyu dan stabil dibandingkan jika menggunakan pompa manual.

7. Sistem analisis data menggunakan peralatan data elektronik sehingga data dapat terkamung dalam komputer untuk selanjutnya dapat diolah dan dianalisis. Selain data numeriknya, grafik pengujian juga dapat langsung terlihat pada saat pengujian.
8. Biaya yang dikeluarkan untuk satu buah straddle packer adalah sekitar 4 juta rupiah. Ini jauh lebih murah jika dibandingkan dengan membeli dari luar negeri. Seluruh perbandingan, perbedaan satu buah packer dari Australia atau Jepang adalah sekitar 15 juta - 20 juta rupiah.

Pembuatnya atau alat hidrolik miliknya Perusahaan Daerah Industri Kabupaten Bandung (INKABA), penambahnya bahan, Laboratorium Kontrol Departemen Teknik Pada ITB untuk penilaian sistem akhirnya data, dan Laboratorium Mekanika Batuan Departemen Teknik Pertambangan ITB.



Gambar IV.1. Sistem alat rerah hidrolik

IV.1.1.1 Straddle Packer

Straddle packer merupakan alat yang digunakan untuk menyelat di singkong batu pada saat uji rilah hidrolik dilakukan. Straddle packer terdiri dari dua bagian, yaitu kopling dan karet (Gambar IV.2). Kopling terdiri dari sambungan yang separang 130 mm, yang masing-masing dipotong di kedua ujung karet. Sedangkan karet memiliki panjang 450 mm yang terdiri dari 3 bagian

(Lampiran A), yaitu bagian straddle packer yang paling dalam merupakan karet yang harus terbatas lapisan oli, lapisan berikutnya adalah 3 sisiang lapisan kawat baja yang disambungkan pada karet dalam, sedangkan bagian luar merupakan lapisan karet. Diameternya dalam dan luar straddle packer masing-masing adalah 25 mm dan 37 mm.

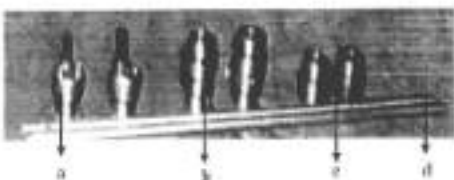


Gambar IV.2. Straddle packer

Pada awal penelitian, straddle packer hanya mampu menahan tekanan oli hidrolik 3 MPa. Kondisional, hasil kerja sama dengan INKAIRI kinerja packer tersebut memang diperbaiki hingga seara bertahap mampu mencapai tekanan 5 MPa, 10 MPa, 12 MPa dan 22 MPa. Hingga saat ini straddle packer yang berhasil dibuat telah mampu menahan tekanan hingga 25 MPa. Permasalahan yang paling kritis dan kinerja straddle packer ini adalah lokasi ikat dari karet dengan kleplong besi. Kronologis pengujian kinerja straddle packer dapat dilihat pada Lampiran B. Kinerja packer mulai benar ditenggelam hingga straddle packer mampu menahan tekanan yang lebih tinggi.

IV.1.1.2. Top Sab, Test Sab, Bottom Sab dan bauer Tuber

Top sab, test sab, bottom sab dan Bauer tube terbuat dari stainless steel (Gambar IV.3) yang berfungsi untuk menghubungkan straddle packer.



Gambar IV.3. Top sub, test sub, bottom sub dan inner tube

Top sub (Gambar IV.3.a) digunakan untuk menutup bagian atas straddle packer. Pada top sub terdapat 2 buah saluran yang masing-masing terhubung dengan poros hidrolik. Satu saluran digunakan untuk mengembangkan straddle packer, sedangkan saluran lain digunakan untuk oli tekanan uji. Panjang top sub 63 mm dengan diameter 57 mm. Test sub (Gambar IV.3.b) mempunyai 4 buah lubang dengan diameter 10 mm yang berfungsi untuk mengisipakukkan oli hidrolik bertekanan tinggi yang akan dipanduh untuk merekukkan batang. Panjang test sub 100 mm. Bottom sub (Gambar IV.3.c) digunakan untuk menutup lubang straddle packer bagian bawah. Bottom sub mempunyai panjang 63 mm dan diameter 57 mm. Inner tube (Gambar IV.3.d) digunakan untuk mengalirkan oli hidrolik uji dari poros hidrolik hingga test sub. Panjang inner tube adalah 850 mm dengan diameter dalam 10 mm dan diameter luar 18 mm. Gambar teknis rangkap packer; top sub, test sub dan bottom sub dapat dilihat di Lampiran A.

IV.1.1.3 Impression Packer

Impression packer digunakan sebagai media untuk penekanan karet pencetak rekalhan (lihat Gambar IV.4). Impression packer terdiri dari dua bagian, yaitu kopling besi (mengilang - man) dan karet. Kopling besi terbuat dari stainless steel sepanjang 20 cm, yang masing-masing akan dipasang di kedua sisi karet, dan panjangnya karet adalah 110 cm. Gambar IV.4.a menunjukkan impression packer sebelum diselubungi oleh karet pencetak rekalhan, sedangkan Gambar IV.4.b. menunjukkan impression packer yang telah diselubungi karet pencetak rekalhan dan siap untuk digunakan.



Gambar IV.4. Impresion postur

IV.1.1.4 Karet Pencetak Rekahan

Karet pencetak rekahan adalah karet yang digunakan untuk memotek rekahan sebelum dan sejak pengujian (Gambar IV.5). Karet ini difitkan pada *impresion postur* dengan menggunakan isolasi dan kawat. Ditemui karet pencetak rekahan lebih 15 cm dan tebal 2-3 mm serta berwarna hitam cokelat. Gambar IV.5.a menunjukkan karet pencetak rekahan sebelum digunakan untuk memotek rekahan dalam lingkar ber, sedangkan Gambar IV.5.b adalah karet pencetak rekahan yang belum digunakan.



Gambar IV.5. Karet pencetak rekahan

IV.1.1.5 Pompa Hidrolik

Untuk pengujian rekahan hidrolik diperlukan 2 pompa hidrolik, masing-masing digunakan untuk memberikan tekanan pada *straddle postur* dan untuk

memberikan ukuran uji. Pompa yang digunakan untuk memberikan tekanan pada strukturnya pnyder adalah pompa hidrolik manual dengan kapasitas 70 MPa (Gambar IV.6.b). Sedangkan pompa untuk ukuran uji menggunakan pompa hidrolik elektrik dengan kapasitas 70 MPa (Gambar IV.6.a). Penggunaan pompa elektrik dimaksudkan sebagai upaya agar aliran oli lebih kontinyu dan stabil. Hal ini diperlukan untuk mempermudah dan penyalahgunaan yang lebih valid.



Gambar IV.6. Pompa hidrolik manual dan elektrik

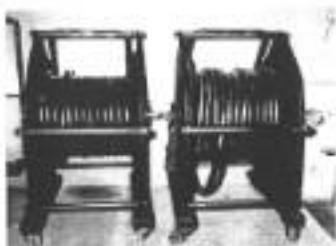
IV.1.1.6. Selang Hidrolik dan Duan

Selang hidrolik yang digunakan berdiameter ½ inci dengan ketebalan ringgit sekitar 70 MPa (1000 psi). Panjang selang hidrolik adalah 30 meter untuk masing-masing pasang hidrolik. Selang ini dipasang pada duan yang terbuat dari besi dan berfungsi sebagai tempat penampungan kabut sehingga tidak kocot (lihat Gambar IV.7) dan dapat meningkatkan efisiensi waktu pengujian. Duan penghubung selang hidrolik ini juga merupakan bagian dari perancangan sistem alat uji hidrolik.

IV.1.1.7. Tangki Oli Hidrolik

Tangki oli hidrolik dengan kapasitas sekitar 25 liter digunakan sebagai wadah oli tambahan untuk uji cairan hidrolik karena kapasitas tangki pompa hanya 4 liter

(Gambar IV.8). Tangki oli hidrolik ini dihubungkan ke pompa hidrolik dengan menggunakan selang.



Gambar IV.7. Selang hidrolik dan drum



Gambar IV.8. Tangki oli hidrolik

IV.1.1.8. Besi Penghantar

Besi penghantar berfungsi sebagai penghantar baik *straddle packer* maupun *impression packer* ke dalam lubang ber (Gambar IV.9). Penghantar tersebut dari lubang besi dengan pemasangan berbentuk kotak dan digantung setiap 1 meter

sebanyak 21 buah. Untuk menyambungkannya digunakan pengunci banpas beru dan pasak.

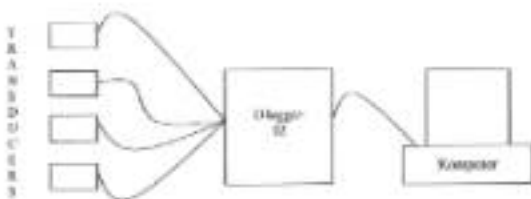


Gambar IV.9. Besi pengukur dan bagian nya.

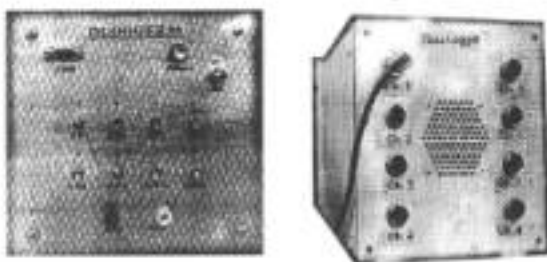
IV.1.1.9. Perkaman Data Elektronik

DLogger-02 adalah piranti untuk merekam hasil pengukuran berbasis sinyal analog, yang data hasil rekamannya memungkinkan pengolahan lebih lanjut berbasis komputer (dalam lagging). Untuk mengantisipasi berbagai kondisi seperti ketidakstabilan listrik di tempat bawah tanah, ketidakstabilan komputer dan peralatan yang mempunyai basis sensor berbeda, DLogger-02 dilengkapi dengan lingkup parameter yang bisa antara lain jenis sinyal keluaran sensor, besar sinyal keluaran sensor dan frekuensi sampling pengukuran. Dengan lingkup yang luas tersebut memungkinkan DLogger-02 dapat disusulkan untuk aplikasi lapangan bagi rekayasa pertambangan. Selain untuk pengukuran tegangan listrik, DLogger-02 dapat juga digunakan untuk pengukuran modulus deformasi batuan dengan menggunakan Goodwin jack. DLogger-02 dilengkapi dengan software aplikasi DLogger-02.

Skema sistem DLogger-02 dapat dilihat pada Gambar IV.10. Sistem ini terdiri dari tiga komponen utama, yaitu transducer, D-Logger #2 dan komputer. DLogger-02 mempunyai 8 kand yang dapat menerima sinyal dari transducer antara lain 5 kand untuk *presssure transducer* dan *shaft gage* elektronik, 2 kand untuk LVDT dan 1 kand dilengkapi untuk *potentiometer*. Gambar IV.11. adalah foto sistem perkamen data elektronik.



Gambar IV.10. Skema sistem perakur data elektronik



Gambar IV.11. Perakur data elektronik Dlogger-02

IV.1.1.3. Borhole Camera

Fungsi borhole camera mirip dengan kartu pencetak rekaman, yaitu digunakan untuk merekam rekaman dalam lubang bor. Bisa sebelum naungan sesudah prosesnya nihil hidrolik. Dibandingkan dengan kartu pencetak sekedar, hasil rekaman borhole camera lebih jelas dan mengantiki risiko kejepitanya pucker nihil kartu pencetak rekaman yang tergeleng. Hasil rekaman borhole camera dapat langsung ditransfer ke komputer untuk diolah lebih lanjut. Gambar IV.12 menunjukkan perangkat borhole camera.



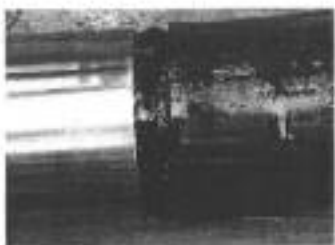
Gambar IV.12. Perangkat borehole tester

Borehole tester yang digunakan merupakan penemu Nakagawa (2002), saat itu mahasiswa program doktor dari Kyushu University, Jepang, yang sebelumnya digunakan untuk kepentingan riset ini sebagai tujuan uji ada kehandalan atau tidak pada aplikasi terhadap bahan bahan tanah.

IV.1.2 Pengujian Kinerja Peralatan Rekab Hidrolik di Laboratorium

IV.1.2.1 Uji kebocoran dan kinerja straddle packer

Pengujian ini diperlukan untuk mengetahui kebocoran dan kerusakan straddle packer dalam menerima tekanan. Di samping itu juga untuk mengetahui bagaimana straddle packer dalam menyekat lembaga ber. Uji dilakukan pada pipa besi berdiameter 40 mm. Straddle packer tunggal ditetapkan ke dalam pipa besi tersebut, kemudian diberi tekanan oli. Tekanan oli tersebut ditambah hingga terjadi penurunan tekanan karena terjadi kebocoran packer pada bagian ketinggalan besi dan kanan. Gambar IV.13, menunjukkan sambungan pada straddle packer yang terlepas. Kronologis uji kebocoran dan kinerja straddle packer suatu langkah dapat dilihat pada Lampiran II.



Gambar IV.13. Kebocoran silinder pasir pada kopling besi dan kartu

IV.1.2.2. Uji imprezisori pasir dan kartu pencetak rekahan

Pengujian ini dilakukan untuk mengetahui ketumpatan imprezisori pasir dan kartu pencetak untuk mengetahui rekahan. Hasil pengujian menunjukkan bahwa kartu pencetak telah berfungsi. Namun ada beberapa hal yang perlu diperhatikan antara lain penempatan kartu pencetak pada imprezisori pasir harus disiapkan sebaik mungkin untuk memhindari tergantungnya kartu pencetak yang dapat menyebabkan pasir terkunci dan tidak bisa dilepas dari lubang. Lampiran B memajukan proses pengujian kinerja kartu pencetak.

IV.1.2.3. Uji kinerja proses data elektronik.

Proses data elektronik dibuat oleh Laboratorium Departemen Teknik Fisika ITB. Alat ini diuji coba di Laboratorium Mekanika Batuan Departemen Teknik Pertambangan ITB. Pengujian dilakukan dengan menggunakan alat gugur elektronik dan penarik simulasi. Pengujian dilakukan berulang dan tinggi didapatkan hasil yang diinginkan. Kesiologis pengujian kinerja proses data elektronik dapat dilihat pada Lampiran B.

IV.1.3. Uji Coba Rendah Hidrolik pada Blok Beton di Laboratorium

Uji coba rendah hidrolik di laboratorium dilakukan pada blok beton. Uji coba ini bertujuan untuk melihat apakah bagian-bagian perlakuan yang dibuat dapat berfungsi dengan benar. Jika tidak akan dilakukan perlakuan tersebut tetapi sebaliknya bagian tersebut dapat berfungsi.

Uji coba rendah hidrolik dilakukan dalam skala laboratorium yaitu pada 4 buah contoh blok beton yang dicetak dengan lubang di bagian tengahnya. Blok beton berdimensi $50 \text{ cm} \times 50 \text{ cm} \times 160 \text{ cm}$. Tiga buah beton mempunyai ukuran lubang di tengah sebesar 6 cm dan 1 buah beton mempunyai ukuran lubang tengah 6,4 cm. Komposisi wasser : pasir : kerikil adalah sebesar 1 : 3 : 2.

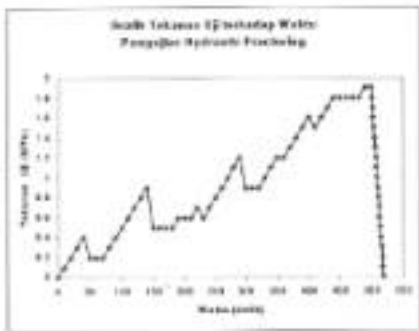
Selama pengujian, diberikan perintah untuk kecepatan gelombang ultrasukses untuk mengamati reaksi yang terjadi pada beton akibat perlakuan. Beton 1 dan beton 2 dibuat pada saat yang bersamaan dan material yang sama, begitu pula beton 3 dan beton 4 juga dibuat sama tapi materialnya berbeda dengan beton 1 dan 2.



Gambar IV.14. Uji Coba rendah hidrolik di laboratorium pada beton 1

Pengujian menunjukkan bahwa beton 1 pada ketika tekanan straddle prakira sebesar 5 MPa. Hal ini dapat diketahui dari kelarutan air dari reaksi yang terjadi pada beton sebelum tekanan uji diberikan.

Dari hasil pengujian relah hidrolik pada beton 2, didapatkan data seperti tergambar pada Gambar IV.15. Pada pengujian beton 2, seluruh bahan diletakkan dan memberikan tekanan 0,00625 MPa di atas beton. Penumbuhan tekanan ini dimaksudkan untuk memberikan bebas vertikal sehingga relahan yang terjadi bisa secara langsung dikaitkan dengan laju uji. Setelah terjadi relahan pada beton pada tekanan puncak (P_u) = 1,9 MPa, tekanan oli hidrolik turun menjadi nol.



Gambar IV.15. Grafik tekanan uji relahan waktu pada corak beton (Penumbuhan secara manual)

Untuk mengamati pecahan beton pada saat penekanan, dilakukan pengukuran kecepatan perambatan gelombang ultrasuksesik, yang tujuannya adalah untuk memahami bahwa beton pecah karena tekanan uji dan bukan karena tekanan pendorong. Karena diameter lubang uji pada beton 6 cm, ini berarti bahwa dengan jari-jari lubang 3 cm, maka titik pengukuran kecepatan perambatan gelombang ultrasuksesik diletakkan 3 cm di atas lubang uji. Ini dimaksudkan untuk menghindari posisi relahan yang diperkirakan terjadi di posisi lubang bor.

Setelah terjadi relahan pada beton dengan tekanan puncak 1,9 MPa, tekanan oli hidrolik turun menjadi nol karena oli keluar pada dinding bor beton. Hasil pengukuran kecepatan rambat gelombang ultrasuksesik dapat dilihat pada tabel IV.1.

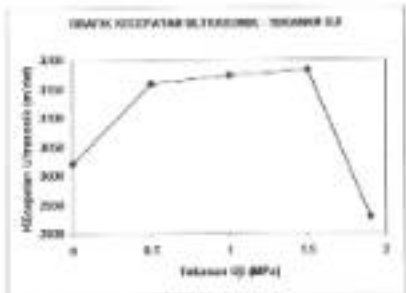


Gambar IV.16. Pengujian pembebasan beton pada uji coba reakali hidrolik dengan gelombang ultronik velocity pada beton 2.

Dapat dilihat pada tabel IV.1 bahwa pada saat tekanan uji masih rendah, terjadi pada konstruksi kelepasan gelombang ultronik. Ketika tekanan uji mencapai 1,9 MPa, terjadi retakan yang ditandai dengan adanya keruangan tekanan uji. Berkenaan dengan namanya tekanan uji, kelepasan gelombang ultronik tersebut yang disebabkan karena terjadinya retakan dalam beton. Hal ini membuktikan bahwa beton masih peletah karena tekanan uji dan belum keruangan tekanan *yield*.

Tabel IV.1. Perubahan kelepasan sifat gelombang ultronik terhadap perubahan tekanan di dalam lubang pada uji reakali hidrolik

Tekanan Uji (MPa)	Kelepasan, Vp (m/s)	Keterangan
0	3021.11	
0.5	3158.56	Retakan pertama terjadi pada saat tekanan uji
1.0	3172.59	gelombang , sehingga kelepasan meningkat
1.5	3182.69	
1.9	2929.12	Beton pecah



Gambar IV.17. Grafik kelempatan ultronik – tekanan uji

Pengujian selanjutnya dilakukan menggunakan peralatan data elektronik untuk mengeliminasi apakah ada kesalahan saat berfungsi. Grafik IV.18 menunjukkan pengujian pada tekanan 3. Terlihat bahwa pada tekanan sekitar 2.3 MPa beton pecah dan tekanan turun. Pada kondisi ini pengujian tidak bisa dilanjutkan lagi sehingga selanjutnya karbonasi keluar dari sisi-sisi beton.

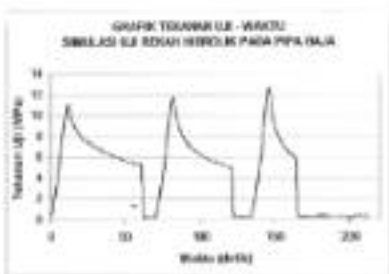


Gambar IV.18. Grafik tekanan uji – waktu pada beton (pengujian secara manual)

Untuk mengeliminasi apakah permasalahan data elektronik dapat diterapkan pada uji reaktif hidrolik, maka dicoba metode menggunakan uji reaktif hidrolik pada pipa buka berdiameter 60 mm. Uji dilakukan dengan menggunakan struktur packer ke-

dalam pipa baja, keradaan struktural jauh lebih tahan terhadap tekanan tertentu untuk menekan pipa baja. Setelah pipa baja tidak tahan, keradaan uji dilepaskan dan dicatat dengan perakitan dan elektrosik. Untuk meminimalkan perubahan bentuk, ukuran struktural pada saat dilakukan perakitan agar tekanan uji tidak sehingga disebutkan tekanan puncak (breakdown pressure) seperti Gambar IV.19.

Uji dilengkapi 3 kali untuk memvalidasikan nilai dalam uji teknik hidrolik dan sekaligus untuk memantau bahwa perakitan dan elektrosik dan tekanan presur tersebut masih berfungsi. Selama proses uji teknik hidrolik, data tekanan uji terus dicatat oleh perakitan data dikumpulkan dan hasilnya dapat dilihat pada Gambar IV.19. Grafik yang diperoleh mendekati grafik hasil uji teknik hidrolik seperti pada Gambar II.16 yang menggunakan ukuran pasah (breakdown pressure), tekanan perutungan selatan (safe in pressure) dan tekanan pembukaan selatan (opening pressure).



Gambar IV.19. Grafik tekanan uji – waktu pada pipa baja (penituan dengan perakitan dan elektrosik)

IV.2. Penelitian Enzim Akustik

IV.2.1. Persiapan Penelitian

Pengujian enzim akustik dilakukan di Laboratorium Gasemekanika, Departemen Teknik Pertambangan ITS. Penelitian dalam pengujian enzim akustik ini terdiri dari beberapa bagian yang akan dijelaskan berikut.

IV.2.1.1. Perangkat uji enzim akustik

Perangkat uji enzim akustik merupakan desain dari Kyushu University, Jepang. Perangkat uji ini adalah dari perangkat hasil dari perangkat kerja MISTRAS 2001. Gambar IV.20 menunjukkan rangkaian pengujian akustik enzim di laboratorium.



Gambar IV.20. Penelitian pengujian enzim akustik.

IV.2.1.1.1. Perangkat komputer

Komputer yang dapat digunakan dalam pengujian enzim akustik ini harus mempunyai spesifikasi minimal: 8048n/13 MHz CPU, RAM 4 MB, free-space hardisk 250 MB, diskdrive 1,44 MB, VGA card 1 MB, monitor VGA, mouse dan 2 serial port. Komputer ini diperlengkapi pula dengan stabilizer yang berfungsi untuk

metabolik yang berjalan. Pengukur kenaikan dan turunannya terdiri dari komponen cisternal dan intramural, yang meliputi beberapa bagian.

IV.2.1.1.2. ADSP-32/16 board dan kipas pendingin turboladen

ADSP-32/16 Board mempunyai 2 channel per board. Pengukur kenaikan MISTRAS 2001 dianalisa dengan menggunakan ADSP board dan kipas pendingin turboladen pada slot yang tersedia di motherboard computer.

IV.2.1.1.3. Sensor osmosi akustik

Sensor osmosi akustik ini bisa diolah sebagai transduser piezoelectric dan berfungsi untuk mengubah energi mekanik yang diberi oleh gelombang elastik menjadi sinyal listrik (Gambar IV.21).



Gambar IV.21. Transduser Piezoelectric

Elemen aktif dalam transduser merupakan piringan dari material piezoelectric, yaitu suatu material yang mampu mengubah deformasi mekanik menjadi sinyal listrik. Piringan ini terdiri dari hidang kontak dari logam pada kedua sisinya dan

dilapisi dengan silinder logam untuk menyerap interferensi elektromagnetik. Sensor emisi akustik yang banyak digunakan merupakan piezoelectric berasistik yang terbuat dari kristal tanah dan zircon yang dikampur dengan material lain. Sensor emisi akustik yang dimiliki atau dua buah dengan ukuran besar dan kecil yang masing-masing berdiameter 17,50 mm dan tinggi 17,25 mm serta berdiameter 4,00 mm dan tinggi 4,05 mm.

Sensor diletakkan di tengah-tengah contoh batuan (Gambar IV.21) dan ditutupi dengan sepotong *contact paste*. Agar sensor dapat memerlukan pada contoh batuan dengan baik, maka titik dimana sensor akan ditempel harus dimaksimalkan dan dibersihkan dahulu. Dengan kesikian gelombang emisi akustik yang timbul tetapi dapat ditangkap dan diteruskan oleh sensor.

IV.2.1.1.4. Pre-amplifier sensor akustik

Tersusun di dalamnya adalah kabel penghubung pre-amplifier dan komputer. Pre-amplifier ini berfungsi untuk memperkuat sinyal yang diperoleh dari sensor emisi akustik sehingga bisa dibaca oleh komputer. Pre-amplifier pada output dari *pulse gain* 40 dB dan input diisi pada single input.



Gambar IV.22. Pre-amplifier sensor emisi akustik

IV.2.1.2. Mesin uji tekan uniaksial

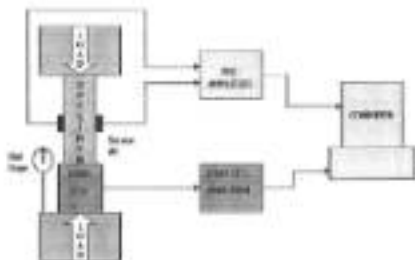
Mesin uji tekan yang digunakan adalah mesin uji tekas 'Control' Cet 250C yang mampu menampung beban maksimum 1500 kN (lihat Gambar IV.20).

IV.2.1.3. Load cell 300 kN dan pre-amplifier load cell

Load cell berfungsi untuk memtransfer data gaya dari mesin uji sehingga dapat dibaca komputer. Data yang diberikan oleh load cell dipercantik oleh pre-amplifier load cell kemudian diteruskan ke komputer. Load cell yang digunakan adalah Control E 300 / II dengan kapasitas 300 kN (lihat Gambar IV.20).

IV.2.2. Sistem Pengujian Data

Dalam Gambar IV.23, data yang diporeleh dari pengujian erosi akustik terdiri dari 2 bagian yang berbeda, yaitu data tegangan dan data erosi akustik.



Gambar IV.23. Skema pengujian erosi akustik

IV.2.2.1. Data Tegangan

Pada uji pengujian erosi akustik, contoh batuan mengalami proses penekanan oleh mesin uji tekan. Beberapa tekanan yang diterima oleh contoh batuan

diketahui oleh load cell kromatik diperlukan oleh amplifier load cell dan dibaca oleh komputer. Aliran data dapat dilihat pada Gambar IV.23.

IV.2.2.2. Data emisi akustik

Data emisi akustik yang terbaca oleh sensor emisi akustik selama proses pengujian akan diperlakukan oleh pre-amplifier emisi akustik dan selanjutnya dibaca oleh komputer yang sama. Skema aliran data emisi akustik dapat dilihat dari Gambar IV.23.

IV.2.3. Setting perangkat emisi akustik

Selain digunakan dalam pengujian emisi akustik, perangkat buat MISTRAS 2001 harus disetting sebelumnya rupa sehingga memperoleh data yang dihasilkan sesuai yang diungkapkan serta memudahkan penggunaannya. Berikut adalah beberapa menu atau setting program yang bisa digunakan dalam aktivitas data emisi akustik.

IV.2.3.1. *Channel Setting*

Merupakan bagian yang sangat penting dalam mengatur channel dan sensor yang digunakan. Emisi Akustik threshold, Peak Definition Time (PDT), Hit Definition Time (HDT) dan *Hit Lockout Time* (HLT) adalah variabel-variabel dalam proses pengukuran misalnya kontrol sinyal emisi akustik yang dihasilkan yang bisa diatur dan disesuaikan dengan jenis material yang akan diuji.

PDT, HDT, dan HLT adalah parameter waktu dalam proses pengukuran sinyal yang nilainya bergantung kepada jenis material yang akan diuji. Untuk material kempesit dan non logam PDT = 20 – 50, HDT 100 – 200 dan HLT 100.

IV.2.3.2. Signal Processing

Proses ini merupakan gelombang selama pengujian dan membutuhkan beberapa parameter sebelum terhadap menggunakan noise pada saat pengujian berlangsung. *Sample rate, filter, pre-trigger* serta *pengujian hit* adalah skrip yang merupakan variabel yang mengontrol bentuk gelombang selama proses pengujian.

Sample rate adalah laju A/DSP board mampu mengikap gelombang per detik. *Filter* menetapkan batasan dalam mencerahkan gelombang akustik dari noise. *Pre-Trigger* mengacu kepada lama waktu perekaman data sebelum mencapai titik trigger (titik di mana threshold diterapkan). Sesekali *hit pengujian hit* berhubungan dengan akustik gelombang.

IV.2.3.3. Data Setting

Data setting memberikan kemudahan untuk memilih data untuk parameter-parameter yang akan dimulai dan ditampilkan. *Hit setting dan time driven data* adalah parameter yang dapat diatur dalam *data setting*.

Hit setting berhubungan dengan variabel *hit critis* skrip yang akan direkam selama pengujian, seperti amplitudo, energi, durasi, cosine, inkrement serial waktu pengujian. Selanjutnya *time driven data* mengontrol faktor-faktor perlakuan data selama pengujian.

IV.2.3.4. Parametric Setting

Parametric setting digunakan untuk mengontrol skala tegangan listrik yang diskrit pada *input parametric*, seperti gress atau tegangan yang bisa ditampilkan dalam besaran kN untuk gaya, namun MPa atau psi untuk tegangan. Skala parametrik yang digunakan pada program ini adalah dengan menetapkan nilai nilai yang disebut sebagai *multipier* dan *offset*. Beberapa rasio-rasio yang digunakan dalam mencapai *multipier* dan *offset*:

Nilai yang ditampilkan	= (volume yang diukur x Multiplikator) + Offset	(IV-1)
Multiplikator	= $\{L1 - L2\} / \{V1 - V2\}$	(IV-2)
Offset	= $\{V1 . L2 - V2 . L1\} / \{V1 - V2\}$	(IV-3)

Dengan L adalah lebar dan V adalah volume.

IV.2.3.5. Graph Scoring

Data yang diperoleh dari uji emisi akustik dapat ditampilkan dalam bentuk grafik yang bisa ditampilkan 12 grafik dalam satu layar. Penulisan dan tampilan dalam masing-masing grafik dapat ditarik pada grafik setiap.

IV.2.3.6. Test Scoring

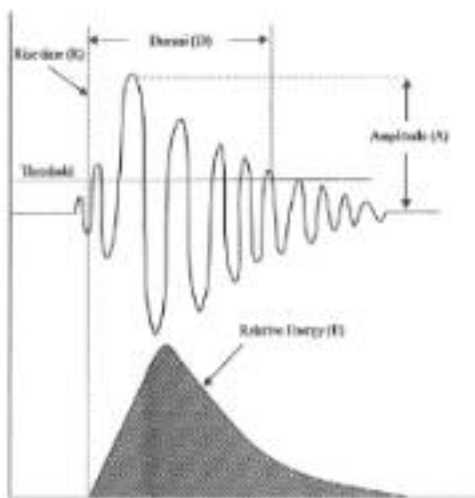
Test scoring mengacu teknik data pengujian. Agar data yang diperoleh terlihat dalam hasilnya maka harus menggunakan metode dan pola test scoring. Selain itu data yang terkoleksi dapat diambil ketika selesai pengujian selesai dilakukan dengan menggunakan respon dan.

IV.2.4. Parameter Sinyal

Sinyal yang terjadi pada pengujian emisi akustik merupakan parameter-parameter yang harus digunakan. Berikut adalah parameter sinyal emisi akustik (Gambar IV. 24).

1. Amplitudo, merupakan tingkat puncak tertinggi yang dicapai gelombang emisi akustik. Mengelola parameter yang sangat penting karena berhubungan langsung dengan besarnya sumber emisi.
2. Cossus (N) adalah threshold yang memotong gelombang emisi akustik.
3. Masa, merupakan jumlah energi atau jumlah total aktivitas emisi akustik.
4. Durasi, adalah waktu yang dibutuhkan dari perpotongan gelombang emisi akustik yang pertama hingga yang terakhir. Parameter ini bergantung pada besarnya sumber dan dapat digunakan untuk mensyaratkan noise.

5. *Rise time (R)*, adalah waktu yang diperlukan dari perpotongan threshold pertama terhadap puncak sinyal.



Gambar IV.24. Parameter sinyal emisi akustik

Kegiatan lapangan di tanah yang bersifat tanah Pengkor maupun perkerahan ini, pengambilan contoh laji batuan, uji rekah hidrolik dan pengumpulan data sebaiknya. Perkerahan ini dilakukan untuk menyiapkan lahan bor yang akan digunakan untuk uji rekah hidrolik. Sedangkan contoh laji batuan dari lahan bor tersebut akan digunakan untuk pengujian di laboratorium seperti parameter sifat fisik, mekanik dan sifat akustik.

Uji rekah hidrolik menggunakan lahan bor berdiameter ± 60 mm dengan 3 sifat perkerahan yang berbeda. Pengujian ini dilakukan dengan menggunakan alat uji rekah hidrolik yang dibuat dan dibuat dalam penelitian ini.

Pembentukan lokasi pengujian dilakukan pada beberapa pertimbangan, antara lain :

1. Kondisi topografi dan struktur geologi di daerah pengujian, termasuk posisi air. Posisi topografi dan struktur geologi tersebut dapat dijadikan dasar untuk memperkirakan kemungkinan adanya tepeugian prinsipal yang ada di daerah penelitian. Dengan demikian dimaksudkan agar area lahan bor yang akan dibuat searah dengan perkiraan tegangan statisnya dan tegak lurus tegangan minimalnya, sehingga diperlukan rekuhan yang terbaik untuk pengujian adalah rekuhan longitudinal.
2. Jika memungkinkan lebih distansikan antar ketiga lahan bor yang dibuat untuk uji rekah hidrolik dapat memberikan hasil sistem sarinya yang saling tegak lurus atau dapat mencapai pada satu titik pengujian.

Uji rekah hidrolik di tanah yang bersifat tanah Pengkor dilakukan di dua lokasi yang berbeda (Gambar V.1), yaitu di Transmig South Canggung (lokasi rekuhan hidrolik I) dan di Pamayanan (lokasi rekuhan hidrolik II).



Gambar V.1. Lokasi pengujian relak hidrolik dan pengujian cekung bantuan untuk pengujian untuk skripsi

V.1. Prosedur Uji Relak Hidrolik

1. Posisi pengujian dibentuk dengan mencari bagian lahan tanah yang rata atau merupakan bekas lahan yang relatif solid. Karena ini dapat dipertimbangkan bahwa hasil pengujian dari implanasi pada tanah juga dengan berbeda satuan.
2. Tekanan elasti hidrolik diberikan pada struktur jauh, tetapi diingatlah bahwa tekanan ini tidak dengan baik. Selama pengujian teknik struktural jauh harus lebih tinggi dan teknik elasti hidrolik untuk menanggulangi keberadaan.

3. Penahanan tekanan terhadap waktu dianalisa dengan alat penekan data elektronik.
4. Tekanan oli hidrolik dimulai seiring koefisien turasti terjadi relaksasi pada batuan yang ditandai dengan perubahan tekanan seiring cepat. Tekanan pelepas ini adalah sebagai *breakdown pressure* (P_b - lihat Gambar V.2).
5. Pada saat terjadi perambatan tekanan, perambatan tersebut diberikan untuk mendapatkan *Settlement pressure* (P_s - lihat Gambar V.2).
6. Jika grafik tekanan uji terhadap waktu tidak stabil, lepaskan kembali tekanan oli hidrolik agar makrobat yang sudah terbentuk, tercepat kembali.
Proses ini pada batir 4 sampai batir 6 merupakan siklus pertama.
7. Perambatan oli hidrolik pada interval uji diulangi hingga relaksasi yang telah ada terbalik kembali, hal ini dimaksudkan untuk menurunkan tekanan yang melalui tekanan yang merambat makrobat tutup. Tekanan ini disebut sebagai *resounding pressure* (P_r - lihat Gambar V.2).
8. Setelah makrobat terbalik, tekanan oli hidrolik akan turun dengan cepat dan benturan perambatan untuk mendapatkan P_s .
9. Jika sudah stabil, tekanan oli hidrolik dilepaskan kembali.
Proses pada batir 7 sampai batir 9 merupakan siklus kedua.
10. Agar hasil relaksasi dapat terakom, sebaiknya jumlah siklus lebih dari lima kali.

V.2. Prosedur Perekaman Relaksasi di Dalam Lubang Bor

V.2.1. Prosedur perekaman relaksasi dengan uji inspeksi packer

1. *Inspeksi packer* ditandai dengan tanda panah yang memajukan atau keluar dari dalam lubang bor. Densikan juga ditandai bagian atas dan bawah *inspeksi packer* serta posisi titik yang akan diuji.
2. *Inspeksi packer* dimasukkan ke dalam lubang bor hingga dacab yang akhir ditarik, kemudian dipertikas posisi bagian atas dan bawah packer tidak berubah.

3. *Impresi pucker* dikembangkan pada tekanan tertentu (sekitar 3 MPa) selama 15 menit untuk mendapatkan orientasi arah relaksasi.
4. Arah *impresi pucker* dianalisa pada saat proses penekanan (jika posisi *pucker* masih tersedia pada akhir).
5. Setelah proses penekanan selesai, tekanan oli hidrolik dilepaskan dan *impresi pucker* ditutup kembali sehingga bisa.
6. Di penekanan, temperatur *impresi pucker* senada untuk pada waktu penekanan. Untuk ruang yang terbatas.

V.2.2. Prosedur perakaman relaksasi dengan borehole camera

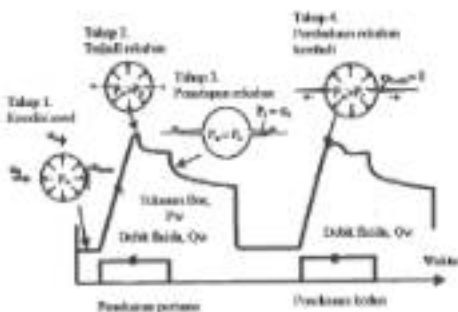
1. Setiap lubang pengamatan borehole camera ditandai dengan membentuk titik pada ruang ruang tertentu. Diperlukan juga posisi atau dan bewahnya.
2. Borehole camera dimasukkan ke dalam lubang horisontal dengan posisi bagian atas dan bagian bawahnya tidak berubah.
3. Pada kedudukan yang dinginkan, lubang pengamatan borehole camera diputar sejauh yang dinginkan, kemudian data lubang bonya direkam dan posisi ruang dan arah putarannya dicatat.

V.3. Mekanisme Uji Relaksasi Hidrolik

Seperi diketahui, teknik pengukuran tegangan ini itu secara langsung dengan metode relaksasi hidrolik memerlukan relaksasi yang terbentuk karena proses penekanan hidrolik yang terjadi tepat lama tegangan prinsip minimum. Seluruh penekanan, tegangan di dalam batuan bersifat dalam koordinasi setimbang (Gambar V.2, tahap 1). Selama pengujian terjadi aliran oli hidrolik (Q_w) dan ketika terjadi penekanan, tekanan oli hidrolik akan meningkat dan menciptakan dinding lubang horisontal menuju hingga dinding lubang horisontal pecah pada bagian yang mempunyai kuat tahan paling lemah, kesadaran oli hidrolik akan masuk ke dalam lubang dan mengisi relaksasi yang terbentuk karena penekanan (Gambar V.2, tahap 2). Tekanan pecah inilah yang disebut sebagai *breakdown pressure* (P_b).

Sementara untuk batas pasir, tekanan oli hidrolik pada lubang bor akan menurun dengan tajam karena perjalanan sejauh yang tidak stabil dan oli hidrolik mengisi ruang yang terbentuk tersebut. Sekanjutnya injeksi oli hidrolik diberikan dan alirananya ditutup dengan menutup katup pompa. Kondisi pompa diblokir tetapi dalam keadaan tersebut hingga oli hidrolik mencapai ruang yang terbentuk.

Pada saat ruang yang sedih belum penuh, tekanan minyak konstan dan disebut dengan *saturation pressure* (P_s) seperti yang terlihat pada Gambar V.2, tahap 3. Ruang yang terbentuk dalam proses ini akan tetap dalam kondisi tersebut tetapi druknya oleh tekanan oli hidrolik dalam interval waktu yang masih ada karena tekanan tidak diberikan lagi. Selanjutnya katup pompa dibuka kembali untuk membebaskan ruang yang sebelumnya tekanan turun hingga nol dan siklus pertama pengisian selesai.



Gambar V.2. Mekanisme pemisah batuan dalam metode retakan hidrolik.

Pada lubang bor vertikal, diameternya tegangan vertikal adalah tegangan maksimum dan risiko yang terbentuk juga lalu tegangan maksimum. Dengan demikian, lubang retakan yang terbentuk merupakan bidang normal dari tegangan horizontal minimum (σ_3), dan arahnya sama dengan tegangan horizontal maksimum (σ_1). Karena P_s bekerja pada bidang retakan yang terjadi, maka besarnya nilai P_s sama dengan tegangan horizontal minimum.

Selain siklus pertama akhir, siklus kedua dimulai untuk mendapatkan nilai *resisting pressure* (P_r). Pada siklus ini, sebaliknya sedikit terbentuk, sehingga bentuk tanah minyak di dinding labang ber zona dengan set. Objek hidrolik disajikankan kembali seperti siklus sebelumnya, dan tekanan akhir kembalinya meningkat hingga cukup tinggi untuk membentuk kembalinya sebalik yang telah terbentuk. Ketika sebalik mulai terbentuk dan bertambahnya pusing, tekanan akan turun dengan cepat karena objek hidrolik mundur ke dalam sebaliknya (Gambar V.2, step 4). Tekanan pada saat kembalinya kurva mulai berubah dicatat dengan *resisting pressure* (P_r). Selain beberapa saat, penempatan diteruskan kembali untuk mendapatkan tekanan *that is*.

Siklus-siklus selanjutnya dilakukan dengan cara yang sama untuk memperoleh sebalik yang bisa diketahui dengan menggunakan sarehole zat-zat atau *impression pointer*.

V.4. Pendekatan Data Uji Rokak Hidrolik

V.4.1. Kurva tekanan terhadap waktu

Dalam satu kali pengujian rokak hidrolik dilakukan tujuh siklus penekanan agar sebalik yang terbentuk cukup terlihat untuk direkam dengan berbantuan camera maupun dicatat dengan *impression pointer*. Data yang diperoleh dari uji rokak hidrolik adalah data tekanan uji dan waktu pengujian yang langsung dicatat secara elektrik oleh *Dlogger-02* selama uji berlangsung. Rekaman data ini kemudian diplot dalam bentuk grafik tekanan pengujian terhadap waktu, seperti contoh pada Gambar V.3. Nilai *breakdown pressure* (P_b), *soft-in pressure* (P_s), dan *resisting pressure* (P_r) dapat ditentukan dari gambar tersebut.

V.4.2. Penentuan nilai *Breakdown Pressure* (P_b)

Breakdown pressure (P_b) adalah tekanan pada saat batuan pecah. Biasanya *breakdown pressure* merupakan tekanan tertinggi yang terjadi pada siklus pertama

yang menandakan bahwa relahas telah terjadi. Tekanan ini adalah ditentukan dari grafik tekanan uji terhadap waktu, yaitu tekanan puncak pada sifat pertama pengujian (Gambar V.3).



Gambar V.3. Contoh grafik tekanan terhadap waktu hasil pengujian relah hidrolik pada lubang bat N 240^b E / 5, Pascoyanan, kintalaman 815cm.

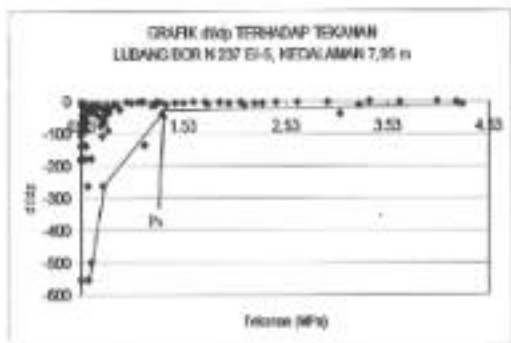
Namun, apabila dalam pengujian tekanan tertinggi tidak terletak pada siklus pertama, maka harus dilakukan superposisi grafik untuk siklus yang mengandung nilai tekanan tertinggi dan grafik siklus pertama. *Breakdown pressure* merupakan tekanan yang terjadi pada sifat yang mempunyai kontrigen lebih besar pada saat tekanan nol.

V.4.3. Penentuan Shut-in Pressure (P_s)

Shut-in Pressure (P_s) adalah tekanan penampang relahas yang diperlukan agar relahas tetap terbuka tanpa mencebuh relahas. Dari grafik tekanan uji terhadap waktu, tekanan ini dapat ditentukan secara langsung yaitu pada titik belok saat tekanan melebihi taraan dengan cepat dan saat tekanan mulai kocokan (Gambar V.2). Tetapi penentuan titik belok ini sangat relatif dan berbeda-beda. Beberapa peneliti seperti Groneweld dan Kry (1981, 1982), Zoback dan Haines (1982), Mc Lennan dan Roegiers (1981), Doe dan Hinsfeld (1981), dan Mizota (1987) mengusulkan

sehingga macam cara penentuan *shut-in pressure*. Pada intinya, penentuan tersebut berusaha untuk mendapatkan titik bolok secara lebih akurat.

Cara penentuan yang dipakai dalam penelitian ini adalah dengan menggunakan kurva tekanan terhadap volume (dP/dV) seperti dapat dilihat pada (Gambar V.4), kemudian membuat grafik drdp terhadap ukuran, sehingga diperoleh kurva kuadrangennya. Dari kurva tersebut dibuat garis yang memotong kurva kuadrangennya dari titik-titik hasil penarikan. Titik bolok pertama adalah nilai P_1 .



Gambar V.4. Penentuan *shut-in pressure* (P_1) menggunakan grafik drdp terhadap tekanan

V.4.4. Penentuan *Resounding Pressure* (P_r)

Resounding Pressure (P_r) adalah tekanan yang diperlukan setok mesinika ketika seukuran. Ria ditentukan secara langsung, tekanan ini merupakan tekanan pasok pada seukuran setelah seukuran di mana *breakdown pressure* terjadi (Gambar V.5). Namun, seperti halnya *shut-in pressure*, ada beberapa pendapat dalam penentuan *resounding pressure* ini.

Persentase responsi pustaka dalam penelitian ini dibanding dengan menggunakan superposisi grafik pada saat tekanan mulai naik pada siklus di mana 9% respon dengan siklus terakhir penelitian. Pada responnya tidak dianalisa ini jadi perbaikan antara kedua grafik tersebut (Gambar V.3).



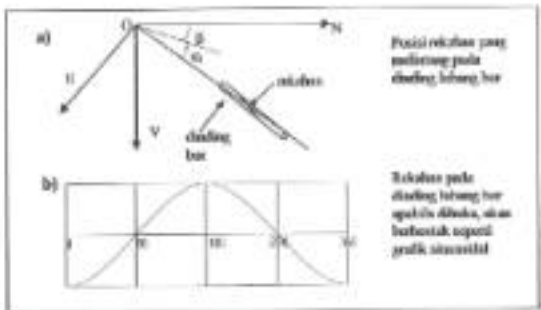
Gambar V.3. Persentase P. dengan cara superposisi antara grafik akhir pertama dan siklus terakhir

V.4.5. Penilaian Rokitasus Hasil Pengujian

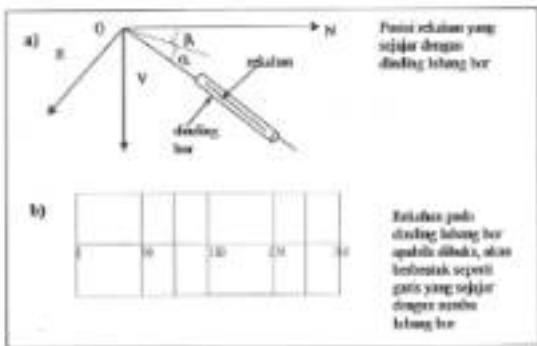
Sejati tidak dapatkan sebaliknya, teknik yang infestasi karena itu tidak hidup dapat dibuktikan menggunakan aspirasi puster atau borboris cemerlang.

V.4.5.1. Penilaian teknik dengan Injeksian Puster

Penilaian teknik dengan menggunakan aspirasi puster dilakukan dengan memotong karet pusterak yang telah ditumbuhi puster atau tanah keruhnya. Sebuah karet pusterak tersebut dibuka dan dipotong garis-garis teknik tekniknya, maka akan terlihat pusteran minyak teknik tersebut merupakan seperti Gambar V.6 dan untuk teknik lainnya juga sepeti pada Gambar V.7.



Gambar V.6. a). Posisi relahan transversal di dalam lantang bar; b). Gambar relahan transversal pada karet persentil.

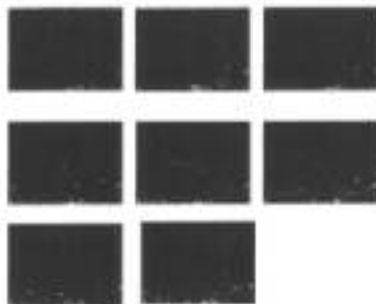


Gambar V.7. a). Posisi relahan longitudinal di dalam lantang bar; b). Gambar relahan longitudinal pada karet persentil.

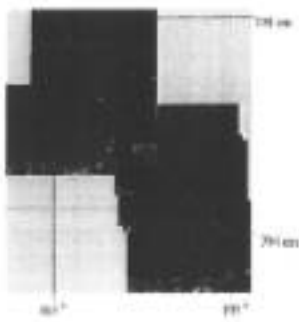
F.4.3.2. Pembacaan relahan dengan Stereohole camera

Selain dengan inspeksi pekerja, relahan dapat dilihat dengan menggunakan stereohole camera. Gambar yang terdapat oleh stereohole camera merupakan gambaran dinding lantang bar yang terkunci dalam sebuah karet. Untuk

memerlukan orientasi relatifnya, gambar tersebut harus diolah dengan program komputer. Pengolahan gambar dilakukan dengan membagi gambar bagian ke dalam Gambar V.8 merupakan contoh hasil pengolahan gambar berobjek. Potongan potongan gambar hasil triangulasi tersebut harus diolah dan diungkap sehingga menghasilkan gambar relatif. (Gambar V.9)



Gambar V.8. Contoh beberapa gambar relatif yang belum digabung.



Gambar V.9. Gambar makro yang sudah digabung.

V.4.5.1. Penentuan orientasi rekahan

Setidaknya pengetahuan rekahan diperoleh untuk utuh, baik dari impresi pekerja maupun dari borehole caranya, maka langkah selanjutnya adalah menentukan orientasi rekahannya. Pada rekahan transversal, orientasi rekahan digunakan untuk menentukan arah normal bidang rekahan sehingga diperoleh arah (η) dan kemiringan (ϕ) normal dari bidang rekahan tersebut. Sedangkan pada rekahan longitudinal, orientasi rekahan digunakan untuk memperoleh θ , yaitu sudut yang dibentuk oleh bidang rekahan dengan sumbu yang tegak lurus terhadap sumbu horisontal mengarah ke bawah.

Gambar V.6.b. menunjukkan bahwa pada rekahan transversal, jika dilihat laluang bor tersebut dibuka maka gambaran yang diperoleh menyerupai grafik sinusoidal. Dari grafik tersebut dapat ditentukan kemiringan serta arah rekahan relatif sehadap laluang bor. Dengan menggunakan alat ukur, orientasi rekahannya dari rekahan tersebut laluang bor dapat ditentukan. Sedangkan bila rekahan yang terbentuk adalah rekahan longitudinal arah rekahan yang terbentuk adalah sama dengan arah sumbu laluang bor (Gambar V.7.b), dan kemiringannya ditentukan dengan menghitung sudut rekahan tersebut sehadap laluang bor.

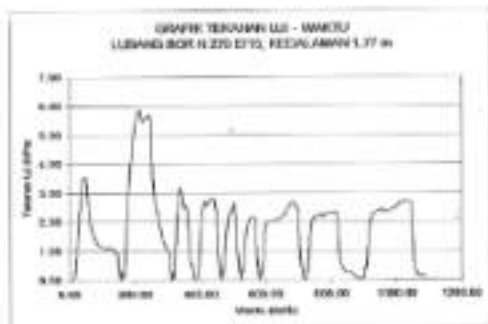
V.4.6. Data grafik tekanan terhadap waktu

Seperi telah diulas pada sebelumnya, data yang diperoleh dari pengujian rekahan tidakik adalah data grafik tekanan uji terhadap waktu pengujian. Secara teoritis, grafik ideal pengujian adalah seperti yang terlihat pada gambar V.1, dimana nilai tekanan tertinggi diperoleh pada siklus pertama, yaitu pada saat batu masih pecah.

Namun, dalam penelitian ini ada beberapa grafik yang menunjukkan pernyimpangan dari kondisi tersebut. Dalam beberapa grafik pengujian, diperoleh tekanan tertinggi tidak terjadi pada siklus pertama, misalnya pada Gambar V.10. Kemungkinan hal ini disebabkan karena strukturnya pasir tidak menyekat dengan baik. Jika strukturnya pasir tidak menyekat dingding laluang bor dengan baik, maka

pada saat pelepasan bisa terjadi resapan oli keluar dari interval uji. Jika ini yang terjadi, maka tekanan uji akan turun belum ketika batas pelepasan, namun karena oli yang resapan keluar dari interval uji. Hal lain yang dapat terjadi adalah bahwa dinding lubang dalam kerystimatu tidak terlepas dari kebonceng *pre-existing cracks*, sehingga tentunya oli akan masuk ke dalam celah-celah tersebut hingga perlu sebentar menunggu dinding lubang berbentuknya matik yang diketahui.

Jika kebonceng tersebut terjadi pada siklus pertama, maka pada siklus tersebut batas batas pelepasan, namun tekanan masih turun. Pada siklus selanjutnya di mana tekanan maksimum dicapai, maka dapat disimpulkan bahwa pada siklus tersebut terjadi *breakdown pressure*.



Gambar V.10. Contoh penyimpangan grafik tekanan – waktu

V.5. Lokasi Pengujian Rekab Hidrolik dan Pendorong Ini

V.5.1. Trussing South Ciung

Lokasi pengujian rekab hidrolik I terletak di Trussing South Ciung. Pengujian dilakukan di Level 500 pada kedalaman sekitar 290 meter. Di Trussing South Ciung dilakukan pemborong ini sebanyak 7 buah lubang dengan ukur yang berbeda. Tabel V.1. menunjukkan koordinat lubang bor di lokasi Ciung.

Uji rekal hidrolik 1 dilakukan pada 3 lubang bor dengan kedalaman penjoran 20 meter dan mempunyai 3 arah yaitu, N 310° E / 15; N 230° E / 15 dan N 235° E / 15. Sedangkan contoh batuan yang digunakan untuk uji ensisi akustik ditentukan dengan 4 lubang bor lain yaitu, N 310° E / 0; N 270° E / 0; N 235° E / 0 dan vertikal. Gambar V.11, menunjukkan posisi dan arah posisinya yang dilakukan, sedangkan Gambar V.12 adalah sistem set yang menggambarkan posisi 3 lubang bor.

Tabel V.1. Resumé lubang bor di Tsunming South Chang

No. Lubang Bor	Arah	Koordinat			Panjang Lubang bor (m)	Keterangan
		X	Y	Z		
1	N 310 E / 15	9662.396	7996.747	517.5	28	Uji HF & contoh AE
2	N 310 E / 0	9662.396	7996.747	518.3	3	Contoh AE
3	N 270 E / 15	9666.894	8012.679	518.2	28	Uji HF & contoh AE
4	N 270 E / 0	9666.894	8012.679	517.5	3	Contoh AE
5	N 235 E / 15	9662.370	8021.854	518.7	28	Uji HF & contoh AE
6	N 235 E / 0	9662.370	8021.854	518.2	3	Contoh AE
7	Vertikal	9671.812	8011.388	520.3	3	Contoh AE

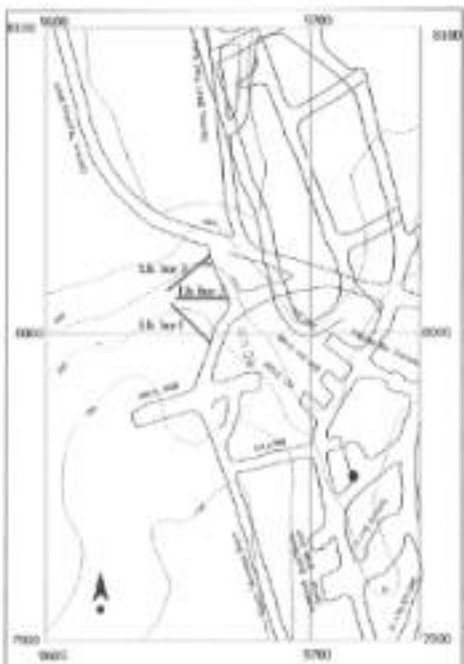
Keterangan: HF = soal hidrolik

AE = ensisi akustik

Dalam satu lubang bor, dilakukan pengujian rekal hidrolik pada 4 kedalaman yang berbeda. Namun pada lubang bor yang ke-3 (N 235 E / 15) hanya bisa dilakukan satu kali pengujian pada kedalaman 1,7 meter saja karena impression pader terkunci dan tetenggal di dalam lubang bor sehingga menghalangi pengujian pada posisi selanjutnya pada lubang bor yang sama.

Data-data yang diperoleh dari uji rekal hidrolik merupakan ukuran grafik tekanan air hidrolik terhadap waktu selama pengujian dan atau erosiensi rekalau-

yang diperoleh dari uji seismik pada dua buah lokasi ini menurut Tabel V.2 memberikan hasil kompleks data uji relak hidrolik di Ciung



Gambar V.11. Analisis pendekatan untuk uji relak hidrolik 1 dan pengaruhnya terhadap batas untuk uji relak hidrolik 1 di Ciung (sumber: Dwi Ekaputra 1997; Pengkar)

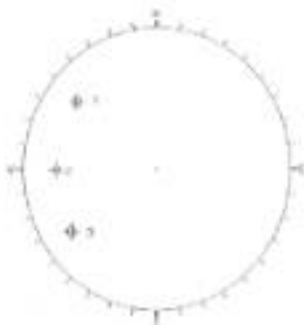


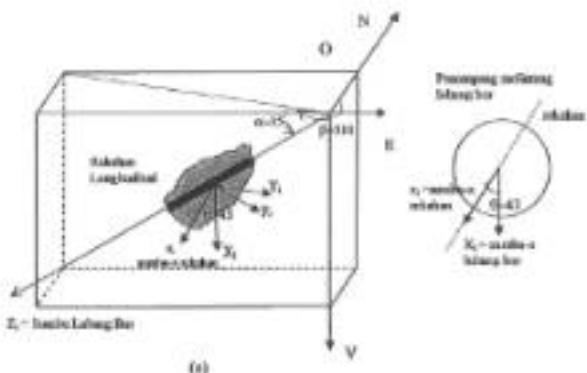
Tabella V.12. Stimoni prima 3 infusori forti: storia botanica di C. sangu

Tabel V-2. Keterkaitan data siswa pada Indeks Akademik Siswa (Sekolahku, 2016, 2017)

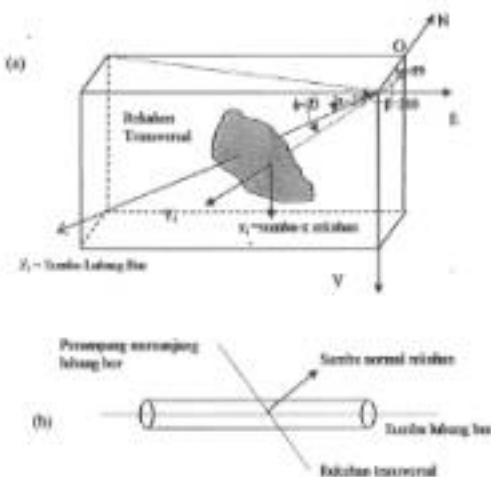
Latitude Besi	Kedalaman m (m)	Orientasi Lubang Besi		Pada dasar Jenis Rekayasa		Orientasi Lubang			Toleransi Terikat (MPa)		
		a	b	E/T	R/A	S ₁	S ₂	S ₃	F ₁	F ₂	F ₃
1	1.0	15	100	T	B	-	25	20.1	0.10	1.30	1.60
	4.2	15	100	L	B	41.5	-	-	2.57	1.80	1.85
	7.7	15	100	T	B	-	3	117	4.30	1.30	1.30
	9.8	15	100	-	B	-	-	-	18.1	-	-
2	1.7	15	250	T	B	-	20	90	5.87	1.15	1.90
	3.9	15	250	T	B	-	33	90	4.57	0.97	2.25
	11.0	15	250	L	B	26.3	-	-	4.88	1.40	2.00
	11.5	15	250	-	B	-	-	-	4.11	0.12	2.04
3	1.7	15	250	T	B	-	35	240	4.97	1.15	1.90

卷之三

- | | |
|---|--|
| <ol style="list-style-type: none"> 1. - Relativer Impulsivität 2. - Relativer Anomie 3. - Relativer Armut 4. - Relativer Elternmissbehandlung 5. - Elternloser Zustand 6. - Elternloser Zustand 7. - Elternloser Zustand 8. - Elternloser Zustand | <ol style="list-style-type: none"> a. - soziale Isolation/sozialer Abstand b. - sozialer Abstand c. - sozialer Abstand/sozialer Elternmissbehandlung d. - sozialer Abstand/sozialer Elternmissbehandlung e. - sozialer Abstand/sozialer Elternmissbehandlung f. - sozialer Abstand/sozialer Elternmissbehandlung g. - sozialer Abstand/sozialer Elternmissbehandlung h. - sozialer Abstand/sozialer Elternmissbehandlung |
|---|--|



Gambar V.13. Contoh ilustrasi hasil data pembuatan relahan longitudinal
 (a) gambaran 3 dimensi; (b) penampang melintang lobang bor



Gambar V.14. Contoh ilustrasi hasil data pembuatan relahan transversal
 (a) gambaran 3 dimensi; (b) penampang melintang lobang bor

V.5.2. Pasoyasan

Lokasi uji sekitar tidak jauh. It berada di antara vein Cigata dan vein Kubung Cincu yaitu, di Pasoyasan. Seperti halnya di di Tremiring South Ciampi, di Pasoyasan juga dilakukan penboran inti sebanyak 7 buah lubang dengan arah yang berbeda (Tabel V.2). Pengujian dilakukan pada kedalaman sekitar 275 m.

Tiga lubang ber digunakan untuk uji rilah hidrolik yaitu, N 160 E / -1; N 243 E / -5 dan N 247 E / -4 dan contoh batuan untuk uji erosi akustik diperoleh dari ketiga lubang bar tersebut di atas ditambah dengan lubang bar lain yaitu, N 160 E /10; N 243 E /10, N 247 E /10 dan vertikal. Gambar V.15 menunjukkan posisi dan arah penboran di Pasoyasan, sedangkan Gambar V.16 adalah sektor yang menggambarkan posisi 3 lubang bar uji rilah hidrolik.

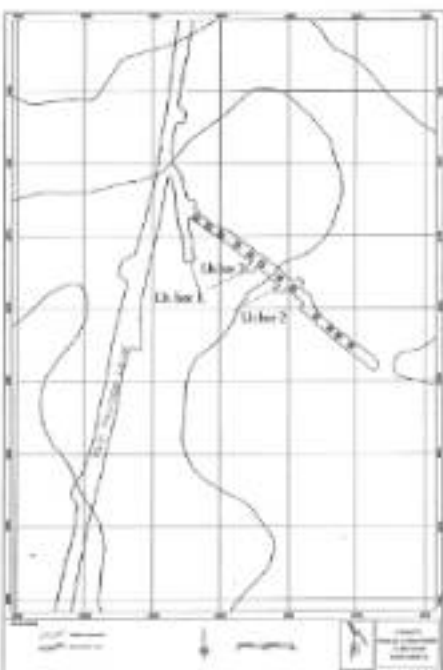
Tabel V.3. Rencana Lubang bor di Pasoyasan

No. Lubang bor	Arah	Koordinat			Panjang lubang bor (m)	Keterangan
		X	Y	Z		
1	N 160 E / -1	10865,977	8619,929	508,851	30	Uji HF & contoh AE
2	N 160 E / 10	10865,977	8619,929	508,521	3	Contoh AE
3	N 243 E / -5	10884,882	8616,541	509,319	30	Uji HF & contoh AE
4	N 243 E / 10	10884,887	8616,541	509,019	3	Contoh AE
5	N 247 E / -4	10883,289	8613,427	508,312	30	Uji HF & contoh AE
6	N 247 E / 10	10885,289	8613,427	507,815	3	Contoh AE
7	Vertikal				3	Contoh AE

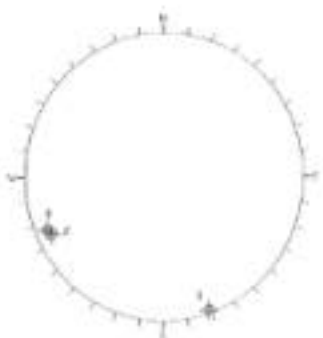
Keterangan : HF = rilah hidrolik
AE = erosi akustik

Seperti halnya uji rilah hidrolik di Ciampi, di Pasoyasan dilakukan juga beberapa uji rilah hidrolik dalam satu lubang bor. Pengambilan data di Pasoyasan juga dilakukan secara elektronik dan menggunakan teknologi grafik.

sebarluas apj - sekitar. Data ciri-ciri nikah di Pamayangan sebagiannya dibanding dengan menggunakan bantuan catatan. Tabel V.1 menggambarkan hasil kumpulan data apj nikah individu di Pamayangan.



Gambar V.13. Area perikanan atau area apj nikah hadap 2 dan pengambilan cekungan batang sungai apj emas sistrut 2 di Pamayangan (modifikasi Dep Elektropon UHPE Pongkor)



Grafis V.16. Skematis posisi titik-titik horisontal bidirik di Purwoyanan

Tabel V.4 Kumpulan data ciri ukur bidirik di Purwoyanan
(Salurman, dkk, 2004)

Lokasi Titik	Elevasi Titik (m)	Orientasi Lataang Titik		Pola dan Jenis Relasi		Orientasi Bidirik			Tolakan Terdiri (%)		
		a	b	L/T	E/A	n	s	w	r ₁	r ₂	r ₃
1	118	-4	109	T	B	-	-	26	3.32	2.00	2.90
	119	-4	109	L	B	32	-	-	1.13	3.71	2.10
	119.07	-4	109	L	B	33	-	-	3.25	2.66	2.50
	119.02	-4	109	L	B	33	-	-	4.40	2.66	2.20
2	1.90	-3	249	T	B	-	39	133	2.94	2.46	1.80
	1.15	-3	248	T	B	-	21	15	6.88	3.00	2.90
	0.45	-3	245	T	B	-	51	213	5.66	3.00	1.80
	0.26	-3	245	L	B	43	-	-	3.02	2.30	2.00
3	1.15	-4	147	T	B	-	42	81	3.78	1.07	1.80
	0.90	-4	147	T	B	-	41	81	4.21	2.37	2.90
	0.95	-4	147	T	B	-	40	21	4.24	1.40	1.80
	0.80	-4	147	L	B	71	-	-	2.03	1.66	1.80

V.6. Tegangan Isotita Hasil Uji Rekah Hidrolik

Persentase tegangan isotita hasil uji rekah hidrolik dikalkulasikan menggunakan persamaan II.3 hingga persamaan II.13 dalam Bab II. Data-data yang digunakan adalah data yang diperoleh dari profil tekanan uji - osakta (P_1 , P_2 dan P_3) dan data rekahan (orientasi rekahan). Data rekahan yang digunakan merupakan kombinasi dari rekahan yang diperoleh dalam uji rekah hidrolik. Hal yang harus dipertimbangkan dalam pemilihan kombinasi rekahan adalah bahwa kombinasi yang dipilih sedapat mungkin memberikan pengujian di tiga arah batu yang berbeda; sejepel rekahan longitudinal atau mengikuti tiga permutasi dan setiap rekahan transversal mengikuti satu permutasi rekahan tersebut. Memerlukan Minato (1987) untuk menentukan besarnya tegangan isotita diperlukan minimal 7 persentase yang diperoleh dari kombinasi rekahan-rekahan tersebut. Dari permutasi tersebut akan diperoleh nilai tegangan σ_{11} , σ_{22} , σ_{33} , τ_{12} , τ_{23} , dan τ_{13} yang merupakan tegangan pada arah sejajar, tirus, vertikal, sejajar-lurus, tirus-vertikal dan vertikal-sejajar.

Dengan menggunakan rekahan longitudinal dan rekahan transversal, dan dengan melakukan perkalian matrik berikut:

$$[\Pi] = [A] \times [\sigma] \quad (V.1)$$

dengan matriks $[\Pi]$ adalah matriks $n \times 1$ dan matriks $[A]$ adalah matriks $n \times 6$, serta $[\sigma]$ adalah vektor dengan matriks 6×1 , maka untuk mencari nilai matriks $[\sigma]$ diperlukan tahapan sebagai berikut.

$$[\sigma] = \begin{bmatrix} \sigma_1 \\ \sigma_2 \\ \sigma_3 \\ \tau_{12} \\ \tau_{23} \\ \tau_{13} \end{bmatrix} = [[A]]^T [[A]]^{-1} \times [[A]]^T \times [\Pi] \quad (V.2)$$

Tabel V.5 merupakan nilai tegangan σ_{11} , σ_{22} , σ_{33} , τ_{12} , τ_{23} , dan τ_{13} di Canggung dan Prameyangan sebagai hasil uji rekah hidrolik.

Tabel V.5. Tegangan isotrop hasil uji relah hidrolik di Ciung dan Pamekasan

Tegangan (MPa)	Lokasi	
	Ciung	Pamekasan
σ_{11}	3,62	2,49
σ_{22}	0,61	4,81
σ_{33}	1,88	4,50
σ_{12}	-0,77	-0,55
σ_{13}	0,83	1,44
σ_{23}	-0,79	-0,823

Bab VI Penentuan Karakteristik Batuan dan Uji Karini Alatrik di Laboratorium

VI.1. Penentuan Karakteristik Batuan

Pengujian untuk penentuan karakteristik batuan yang dilakukan di laboratorium adalah sifat fisik dan sifat mekanik batuan. Contoh batuan hasil pengboran ini baik dari lokasi Ciung maupun Pamoyanan dibawa ke laboratorium Geomekanika Departemen Teknik Pertambangan ITB untuk dilakukan pengujian sifat fisik, dinamik, dan mekanik. Selain uruhup contoh batuan, pengujian juga akan dilakukan pada contoh batuan yang dibuat di laboratorium.

VI.1.1. Sifat Fisik

Sifat fisik yang diagai dalam penelitian ini adalah bobot isi, kandungan air, derajat kejernihan, porositas dan resistivitas. Hasil pengujian sifat fisik batuan dan batuan dari Ciung dan Pamoyanan dapat dilihat pada Tabel VI.1.

VI.1.2. Sifat Dinamik

Uji sifat dinamik memanfaatkan cepat lambat gelombang ultrasonik dalam batuan. Jika batuan mempunyai porositas yang besar maka cepat lambat gelombangnya kurang. Karena pengaruh media penghartanya cukup besar, maka agar hasil pengujian lebih akurat, bidang kontak antara transducer dan contoh batuan dimulihkan rupet dan tidak memberiak rugga udara. Untuk mengatasi masalah ini, digunakan vaselin sehingga transducer berukuran besar-besaran mencapai pada contoh batuan.

Sifat dinamik batuan ditentukan dengan pengujian cepat lambat gelombang ultrasonik (ultrasonic velocity) dalam contoh batuan dengan alat PUNDIT (portable ultrasonic non destructive test). Uji ini dilakukan sebanyak tiga kali tekan triakisial. Tabel VI.2 menunjukkan data kecepatan cahaya gelombang hasil uji ultrasonik di Ciung dan Pamoyanan. Data cepat lambat gelombang contoh

beton yang diuji mempunyai perbedaan yang kecil (tidak signifikan). Hal ini menunjukkan bahwa contoh batuan tersebut relatif sebagus.

Tabel VI.1. Sifat fisik beton dan batuan dari Ciung dan Pamoyanan

No.	Contoh Uji	Bentitas (kg/cm ²)	Kadar Air (%)	Porositas (%)	Void Ratio (%)
BETON					
1	Beton 1 dan 2	1,67	6,61	0,28	0,28
2	Beton 3 dan 4	1,79	10,65	0,32	0,37
BATUAN CIUNG					
1	N 310 E / 8	2,28	0,41	0,11	0,18
2	N 270 E / 8	2,24	1,99	0,14	0,16
3	N 235 E / 8	2,18	0,67	0,14	0,16
4	Ventilal	2,29	0,65	0,11	0,13
5	N 310 E / 15	2,28	1,47	0,11	0,13
6	N 270 E / 15	2,32	0,34	0,12	0,13
7	N 235 E / 15	2,37	0,79	0,11	0,12
BATUAN PAMOYANAN					
1	N 160 E / -1	2,1	1,21	0,16	0,28
2	N 243 E / -3	2,13	0,77	0,15	0,18
3	N 247 E / -4	2,18	1,31	0,15	0,18
4	Ventilal	2,19	2,54	0,14	0,18
5	N 160 E / 10	2,19	4,28	0,13	0,18
6	N 243 E / 10	2,21	1,42	0,11	0,13
7	N 247 E / 10	2,06	3,18	0,14	0,16

Tabel VI.2. Cepat massa gelombang ultrasonik contoh batuan Ciung dan Pamoyanan

CIUNG		PAMOYANAN	
Lubang Bor	Kecapatan Ultrasonik (m/det)	Lubang Bor	Kecapatan Ultrasonik (m/det)
N 310 E / 15	4968	N 160 E / -1	3990
N 310 E / H	4029	N 160 E / 10	4700
Ventilal	4235	Ventilal	4220
N 270 E / 15	4975	N 243 E / -3	4112
N 270 E / H	4543	N 243 E / 10	4930
N 235 E / 15	3930	N 247 E / -4	3744
N 235 E / H	4327	N 247 E / 10	4402

VI.1.3. Sifat Mekanik.

Pengujian yang dilakukan untuk menentukan sifat mekanik batuan adalah pengujian kuat tekan uniaxial, uji triakial, dan uji Brazilian. Dalam penelitian ini uji kuat tekan uniaxial harus dilakukan sebelum uji erosi akustik. Sebaliknya untuk mengetahui kuat triakial, uji iri dilakukan untuk mendapatkan batas elastik rata-rata sehingga perhitungan tegangan dalam uji erosi akustik masih berada pada daerah elastisnya.

VI.1.3.1. Kuat Tekan Uniaxial

Dari uji kuat tekan uniaxial dengan mesin tekan 'Control' Cat 250C yang mempunyai ketepatan 1300 kN (Garber IV.20) akan diperoleh kurva tegangan-tegangan. Sifat mekanik yang di dapat dari pengujian ini adalah kuat tekan uniaxial, batas elastik, Modulus Young dan nisih Poisson. Hasil uji kuat tekan uniaxial beton dan contoh batuan dari Cinaq dan Pasayutin dapat dilihat pada Tabel VI.3.

VI.1.3.2. Uji Brazilian

Uji Brazilian merupakan uji tukik tekong yang untuk menentukan kuat tukik suatu contoh batuan. Geribah batuan yang digunakan berbentuk silinder dengan panjang silinder biasanya lebih kecil dari diameternya (Beeger & Cook, 1971) yaitu tinggi : diameter = 0,5. Uji Brazilian dilakukan pada contoh beton dan contoh batuan dengan hasil seperti pada Tabel VI.3.

VI.2. Pengujian Erosi Akustik di Laboratorium

Uji erosi akustik merupakan pengujian untuk menentukan tegangan isostatik tinggi. Pada saat contoh batuan diambil dari massa batuan, terjadi proses perleburan tegangan (stres relam). Namun contoh batuan tersebut masih

mengimpin rincian teperangan (area memory) yang pernah diketahui yang dapat dibangkitkan kembali dengan uji erosi akustik. Uji dilakukan dengan memberikan beban secara siklik pada contoh batuan dan diperlakukan dengan erosi akustik. Pembelahan dilakukan dalam 7 siklus yang berulang tergantung dari kelembaban batuan pada masing-masing lubang bor.

Tabel VI.3. Hasil uji kuat tekan unikasi dan uji Brazilian pada contoh batuan dan contoh batuan dari Cimang dan Pamoyanan

No	Contoh	Kuat Tekan Unikasi (MPa)	Modulus Young (MPa)	Nisbah Poisson	Kuat Tariik (MPa)	Brittleness Index
BETON						
1	Beton 1 dan 2	11.12	2691	0.25	1.32	8.42
2	Beton 3 dan 4	9.24	1664	0.35	0.65	14.22
BATUAN CIMEROG						
1	N 310 E / 15	29.34	5910	0.23	4.97	3.90
2	N 270 E / 15	36.75	12587	0.34	4.11	13.81
3	N 235 E / 15	32.27	5957	0.29	3.88	8.32
4	Vertikal	29.89	10627	0.12	4.91	6.09
5	N 310 E / 10	37.12	6816	0.21	4.8	7.58
6	N 229 E / 10	-43.84	8069	0.33	3.28	8.37
7	N 235 E / 10	26.88	5390	0.13	3.37	7.98
BATUAN PAMOYANAN						
1	N 160 E / 1	39.75	10948	0.26	5.37	10.87
2	N 243 E / -3	54.52	13620	0.25	6.43	8.48
3	N 243 E / -4	34.77	6170	0.25	6.05	5.74
4	Vertikal	31.48	7202	0.27	6.36	5.26
5	N 160 E / 10	38.47	5336	0.23	8.79	3.47
6	N 243 E / 10	39.56	10996	0.23	4.72	8.38
7	N 247 E / 10	34.91	5617	0.24	5.18	6.74

VI.2.1. Prosedur pengujian erosi akustik

Prosedur pengujian erosi akustik terdiri dari beberapa tahapan yang meliputi persiapan contoh batuan, persiapan peralatan, persiapan program komputer bingka kalibrasi. Berikut adalah urutan prosedur pengujian.

1. Contoh uji dipersiapkan dan diperiksa apakah memenuhi persyaratan dimana sebagai contoh uji ($L/D = 2$).

2. Perintas pemakaian kering transducer-costek dan penempelan transducer :
 - 2.1. Costek batas diperlakukan cakok, kerudung pemakaian tempat memperolehnya transducer dilakukan dengan menggunakan likir besi. Usahanlah lalu perintas yang rata sama dengan lalu perintas transducer yang dipasang.
 - 2.2. Selidir dipasangkan, contact paste dibekas dan diantarkan pada permukaan kostek dengan menggunakan sikkot, kerudung transducer dikomporkan sebagai contact paste masih rata.
 - 2.3. Costek batas dipastikan dari cakok untuk dilenturkan pada mesin teknik.
3. Perekatan costek di mesin teknik.
 - 3.1. Costek batas dicatkan tepat dengan warna telur, kerudung mesin teknik dituliskan.
 - 3.2. Costek batas dipastikan telah mencapai puas pelat penekuk sin dengan sempurna.
 - 3.4. Mesin dimulai pada saat pelat penekuk sedih tidak dapat digerakkan.
4. Periproses uji tensi skotik.
 - 4.1. Penolong yang akan digunakan dalam pengujian tensi skotik diperiapkan dan disusun seperti Gambar IV.39.
 - 4.2. Ann listrik disambungkan ke komputer dan load cell amplifier, kerudung sebaiknya dituliskan.
 - 4.3. Kalibrasi alat dilakukan dengan mengatur Channel Signal Processing Parameter setiap
 - 4.4. Kalibrasi juga buku feedback dilakukan agar yang tampil di komputer sesuai dengan nilai tegangan yang dilihat costek batas. Kalibrasi dilakukan setiap kali peresahan. Cara mengkalibrasi dengan memberikan nilai multiplier dan offset. Analisis diberikan nilai multiplier = 1 dan offset = 0. Mesin teknik dituliskan dan nilai tegangan yang terbaca pada pressure gauge (1.) dan tegangan yang terbaca pada Metres 2001 (V) diatur sehingga minimal 4 tingkat tegangan, kerudung mesin teknik dituliskan. Nilai Multiplier dan Offset

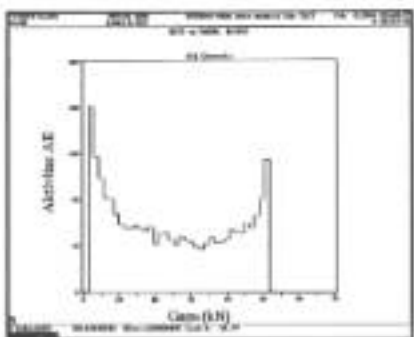
ditutup, kompas disusun ke dalam posisi tetap. Penelitian dilanjut untuk memastikan nilai besarnya *loadcell* dan *Micro 2001* telah sama.

- 4.5. *Autoset* pada menu *menu diskalkas*.
5. *Akuisisi data*
 - 5.1. Format dan directory penyimpanan file data dan file gambar pada menu directory setting diatur.
 - 5.2. Tombol F9 ditekan, kompas nama file dituliskan dan tombol Ok diklik sampai muncul tampilan grafik.
 - 5.3. Bacaan tegangan pada komputer dipastikan telah sama dengan bacaan tegangan pada *pressure gauge*.
 - 5.4. Tombol enter pada keyboard komputer diklik bersamaan dengan menyentuhkan motor mesin kuat tekan.
 - 5.5. Penelitian dilakukan dengan pula tingkat turunan yang tidak melintasi batas elastik costrich.
 - 5.6. Mesin tekan dimatikan bersamaan dengan menekan tombol F9.
 - 5.7. Tekanan dibebaskan dengan kecepatan sama dengan kecepatan pembebaan sampai tekanan kembali ke 0.
 - 5.8. Penelitian dilanjut minimal 3 kali dengan tingkat penelitian meningkat pada pembebaan selanjutnya.
6. *Mc-Ripley data*
 - 6.1. Tombol F10 diklik, kompas nama file yang akan *display* dipilih dan tombol ok diklik.
 - 6.2. Setelah *mc-ripley* data, grafik yang akan diajukan dipilih dan diperbesar dengan mengaktifkan zoom dan menggesekkan tombol kunci pada mouse. Lalu tombol F5 ditekan.
 - 6.3. Tombol F10 ditekan untuk keluar dari menu *ripley*.

VI.2.2. Data Uji Kesi si Akustik

Data yang dibutuhkan dari uji emisi akustik berupa grafik-grafik dan dimensi yang menyatakan hubungan antara beban terhadap *crush*, beban terhadap *hit*, beban terhadap *crumple*, *hit* terhadap waktu, dan lain-lain. Numeri yang digunakan dalam

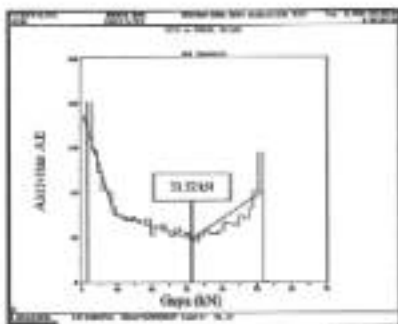
analisis tegangan irisan adalah grafik bahan (bN) dan jumlah aktifitas sinyal emisi akustik (Ms), seperti contoh grafik pada Gambar VI.1.



Gambar VI.1. Grafik keluaran program Misten 2001

Dari grafik-grafik yang ada, dapat dilihat bahwa pada awal pembelahan, aktivitas emisi akustik terjadi sangat tinggi dan cenderung menurun dengan naiknya tingkat pembelahan. Tingginya aktivitas emisi akustik di awal pembelahan ini bisa disebabkan oleh banyaknya kerusakan karena getaran akibat tekan yang cukup kuat, posisi kabel yang tidak stabil dan karena tidak stabilnya tegangan listrik yang digunakan.

Jika dilihat dengan kurva Boyce dan dengan mengabaikan aktivitas emisi akustik pada awal pembelahan, maka sebagian besar data emisi akustik (Lampiran V) menunjukkan bahwa kurva mengikuti pola Boyce tipe IV. Hal ini ditunjukkan dari kurva emisi akustik yang rata-rata hanya mempunyai dua kembung yang menggarukas fase penurunan sekitar dan propagasi sekitar stabil (Gambar VI.2). Karena pengujian tidak dilakukan hingga batas pelepas, maka fase runtuh tidak terlihat.



Gambar VI.2. Pembacaan efek Kaiser secara grafis

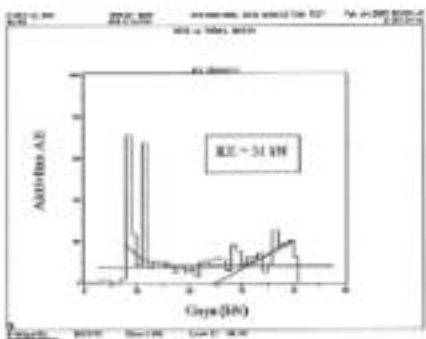
VI.2.3. Pembacaan Efek Kaiser

Peningkatan aktivitas emisi akustik dalam uji emisi akustik yang mengindikasikan tegangan yang pernah diterimanya disebut dengan efek Kaiser. Beberapa metode klasik untuk menentukan posisi efek Kaiser secara tepat. Pada saat ini metode yang digunakan untuk pembacaan efek kaiser dilakukan secara grafis. Biasanya tegangan pada saat efek Kaiser mencapai diperoleh dari titik keterlengungan kurva pada saat terjadi kenaikan aktivitas emisi akustik. Namun bisa juga dilakukan dengan mencari titik potong antara dua buah garis kemiringan.

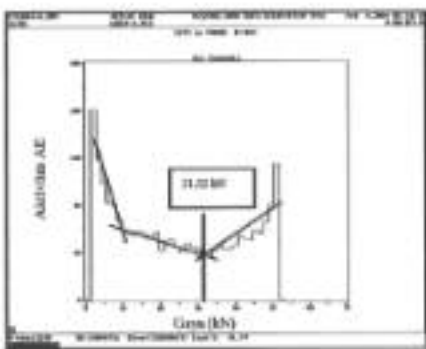
VI.2.4. Analisis Data Pengujian Emisi Akustik

Dari pengujian emisi akustik, akan diperoleh data-data antara lain air, beban (tekanan), waktu, energi dan lain-lain. Data yang diperoleh dari pengujian tersebut berupa grafik-grafik, yang selanjutnya bisa diolah terlebih dahulu, misalnya grafik AA terhadap beban, air terhadap waktu, energi terhadap waktu dan lain-lain.

Gambar VI.3 dan Gambar VI.4 adalah salah satu contoh grafik hasil pengujian emisi akustik yang berupa grafik seismik bawah dan Air emisi akustik dari corong batuan yang diambil dari Canggung dan Pasuruan.



Gambar VI.3. Grafik hasil uji emisi akustik pada lubang bor N 310°12' 15' Canggung, Sektor 2



Gambar VI.4. Grafik hasil uji emisi akustik pada lubang bor N 169°E 5'-1 Pasuruan, Sektor 5

Dalam penentuan tegangan isitu, grafik yang berperan penting adalah grafik frekuensi akustik terhadap pembelahan. Dari grafik ini akan diperoleh beberapa hal antara lain tegangan pada saat efek Kaiser maxcul yang berarti menunjukkan apakah contoh batuan tersebut masih mempunyai akurasi memory.

VI.3. Data Emisi Akustik Contoh Batuan dari Ciung dan Pamoyanan

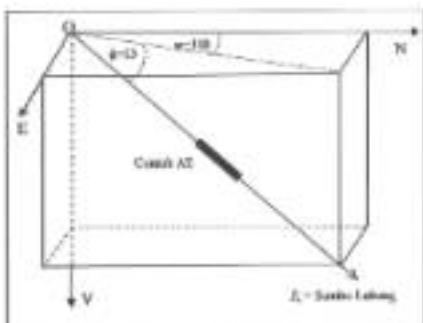
Pengujian emisi akustik contoh batuan Ciung dilakukan terhadap 35 contoh batuan yang diambil dari 7 buah lokasi ber dengan arah yang berbeda. Sedangkan uji emisi akustik pada contoh batuan dari Pamoyanan dilakukan pada 48 contoh batuan. Tabel VI.4 berikut ini menunjukkan hasil uji emisi akustik di Ciung dan Pamoyanan.

Tabel VI.4. Arah dan konsistensi lokasi ber serta tegangan pada saat efek Kaiser maxcul (Fitriani, 2004; Rizal, dkk, 2004)

Lokasi Ber	CIUNG			PAMOYANAN		
	Konsistensi (%)	Arah (%)	$\alpha_s = \text{KE}$ (MPa)	Konsistensi (%)	Arah (%)	$\alpha_s = \text{KE}$ (MPa)
1	15	310	38,01	1	160	19,97
2	0	310	18,71	10	160	21,24
3	15	270	13,02	3	243	21,93
4	0	270	17,78	10	243	21,64
5	15	235	13,77	4	247	23,75
6	0	235	14,84	18	247	20,60
7	92	8	11,66	90	0	19,38

VI.4. Tegangan Isitu Hasil Uji Emisi Akustik

Perhitungan tegangan isitu dengan metode emisi akustik dilakukan dengan menggunakan persamaan (II.47) dan (II.48) pada Bab II. Data yang dipunakan adalah data tegangan pada saat efek Kaiser maxcul seperti yang ditunjukkan dalam Tabel VI.4.



Gambar VI.5. Contoh ilustrasi arah hasil perhitungan uji cuci akustik

Tabel VI.5 merupakan hasil perhitungan tegangan ini ini dengan menggunakan uji cuci akustik di Cireng dan Panoyanan.

Tabel VI.5. Tegangan ini ini hasil uji cuci akustik di Cireng dan Panoyanan

Tegangan (MPa)	Lokasi	
	Cireng	Panoyanan
σ_3	21,17	16,83
σ_2	16,15	26,44
σ_1	11,63	19,87
σ_{33}	-2,00	-3,25
σ_{22}	2,14	5,20
σ_{11}	8,57	-1,97

Bab VII Perseleksian Numerik untuk Pencahayaan Tegangan Isotipu

Metode numerik merupakan salah satu alternatif dalam penyelesaian masalah matematika yang berhubungan dengan realitas bahan. Metode ini adalah berkembang dengan cepat selama tiga dekade terakhir sejalan dengan berkembangnya teknologi komputer. Sebelum perkembangnya teknologi komputer, masalah-masalah yang berkaitan dengan struktur dan kuantitas bahan dimulai hanya berdandam *rule of thumb*, bantuan empirik, metode analitis, metode observasi, model fisik dan prosedur *trial and error*.

Rule of thumb biasanya berdasarkan pengalaman ciptaan sebelumnya dan hasil sebelumnya sederang average serta pada dasarnya bisa diterapkan pada kondisi yang hampir sama (Boer, dkk, 1999). Karena itu, banyak masalah dapat terjadi jika kondisi yang dihadapi saat ini berbeda dengan kondisi sebelumnya. Prosedur *trial and error* adalah dengan mencoba memasukkan nilai tertentu, kemudian program dieksekusi. Jika hasil yang diperoleh tidak sesuai, maka dicoba untuk memasukkan nilai tersebut lagi. Dengan demikian, prosedur ini menjadi sangat tidak ekonomis dan bisa membutuhkan waktu yang sangat lama.

Berdasarkan hal itu, untuk menghasilkan penyelesaian masalah yang lebih efektif dengan hasil yang mempunyai tingkat kepresisian lebih tinggi maka metode numerik harus dikombinasikan dengan observasi dan pengukuran lapangan serta digabungkan dengan metode analitis.

VII. Macam Metode Numerik

Banyak metode yang digunakan dalam menyelesaikan masalah dengan perseleksian numerik adalah Metode Elemen Hingga (*Finite Element Method*); Metode Elemen Batas (*Boundary Element Method*) dan Metode Elemen Diskret (*Discrete Element Method*). Berikut penjelasan untuk metode elemen hingga dan metode elemen batas yang digunakan dalam penelitian ini.

VII.1.1. Metode Elemen Hingga (*Finite Element Method*)

Metode ini merupakan metode yang paling populer dan telah diaglikanakan pada sejauh ini untuk pada bidang yang berbeda. Biasanya metode ini digunakan untuk menyelesaikan masalah bahan - deformasi (load - deformation).

Pada dasarnya, metode ini membagi benda menjadi elemen-elemen yang lebih kecil dengan bentuk segitiga atau segiempat dalam kasus dua dimensi atau tetragonal dan kotak pada kasus tiga dimensi. Elemen-elemen itu tetap terhubung pada titik (node) di antara-simbol elemen. Semakin banyak jumlah elemen yang digunakan, semakin bagus hasil aproksimasinya. Perpindahan dibatasi pada titik, sedangkan tegangan dibatasi pada sumbu sumbu titik di dalam elemen. Setiap elemen dapat mempunyai sifat fisik dan sifat mekanik yang berbeda.

Kekurangan metode ini adalah memerlukan data yang detail khususnya pada problem tiga dimensi dan perhitungan sukar, dan dalam eksekusinya program ini memerlukan waktu yang lama. Kelebihan metode ini adalah sangat populer di kalangan ahli geoteknik, fleksibel dan dapat menangani semua tipe pembentukan, konstruksi dan pemantauan perayangan.

VII.1.2. Metode Elemen Batas (*Boundary Element Method*)

Dibandingkan dengan metode elemen hingga, metode ini kurang fleksibel, tidak cukup mudah untuk dipahami dan memerlukan tingkat pengetahuan matematika yang cukup kompleks.

Dalam metode elemen batas, bagian yang diambil adalah perbatasan benda atau massa bahan yang dibagi ke dalam bagian-bagian yang lebih kecil. Untuk kasus dua dimensi, elemennya berbentuk garis (line element), sedangkan untuk kasus tiga dimensi, diperlukan elemen bidang. Data yang diperlukan relatif sedikit, namun menjadi lebih rumit jika terdapat material yang berbeda. Di samping itu jika ada sejumlah kaitan dengan sifat fisik dan mekanik yang berbeda maka data

yang harus disajikan menjadi lebih kompleks. Metode elemen batas sangat efisien untuk material yang homogen, dan elastik linear.

VII.2. Permodellan untuk Penentuan Tegangan Isotita

Permodellan numerik yang dilakukan dalam penelitian ini bertujuan untuk menelusuri bentuk dan nilai tegangan aktif (sigma stress) dan tegangan tetangga (neighbour stress) pada bahan penelitian, yang keterdapatannya dibandingkan dengan hasil dari uji coba hidrolik dan uji erosi akustik. Selain itu, distribusi tegangan & ukuran dimensi penelitian juga akan dapat dilihat dengan permodellan numerik ini.

Tabel VII.1. Metode numerik

METODE	KELIMAHAN	KEKURANGAN
Metode Elemen Hingga (Finite Element Method)	<ul style="list-style-type: none"> • Fleksibel • Dapat menangani serupa spe penelitian • Bisa digunakan dalam penyelesaian masalah bahan - deformasi 	<ul style="list-style-type: none"> • Memerlukan data yang cukup kompleks • Butuh dalam perhitungan waktu • Memerlukan waktu lama dalam eksekusi program
Metode Elemen Batas (Boundary Element Method)	<ul style="list-style-type: none"> • Data cukup sederhana • Sangat efisien untuk material yang homogen dan elastik linear • Lebih efektif untuk program tiga dimensi 	<ul style="list-style-type: none"> • Kurang fleksibel • Memerlukan perhitungan matematika yang kompleks • Cukup rumit jika terdapat material berbeda
Metode Elemen Diskret (Discrete Element Method)	<ul style="list-style-type: none"> • Efektif untuk memodelkan bidang diskontinu 	<ul style="list-style-type: none"> • Waktu untuk perhitungan sangat lama • Butuh waktu dalam pemulihian data

Dengan mempertimbangkan kelebihan dan kekurangnya dari masing-masing metode, maka digunakan metode elemen hingga untuk memodelkan tegangan aktif dan untuk elemen batas untuk memodelkan tegangan tetangga.

Permodellan numerik dalam penelitian ini dibagi menjadi 2 tahap permodellan.

1. Permodellan Tahap I. Merupakan permodellan untuk penentuan tegangan awal (virgin stress) yang menggunakan distribusi tegangan inisial sebelum dilakukan pengujian. Metode yang digunakan dalam tahap ini adalah metode elemen hingga (FEM).

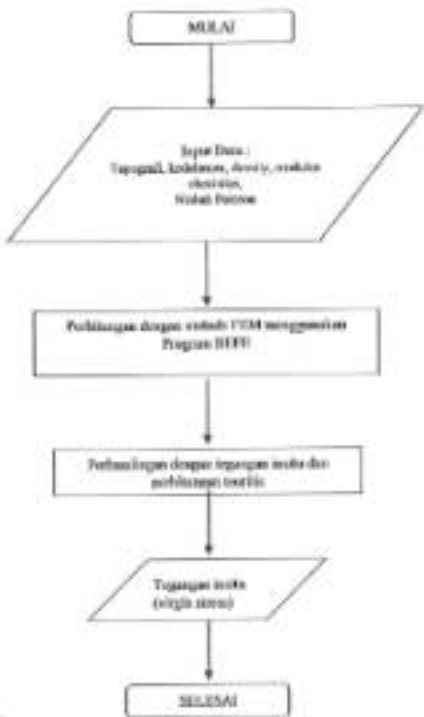
Pada permodellan ini, dasar statika merupakan data topografi dan posisi tanah. Metode hingga dipilih karena cukup fleksibel. Meskipun cukup rumit dalam perbaikan mesh, namun karena model hanya berfokuskan kondisi topografi dasar tersebut, maka mesh yang dibuat juga akan cukup sederhana. Selain itu pendekatan yang dilakukan juga tidak memerlukan hanya dipengaruhi oleh lapangan batuan penstiap di atasnya.

2. Permodellan tahap II dilakukan sebagai analisis bantik (back analysis) dan untuk mendapatkan distribusi tegangan inisial karena pengaruh pengukuran. Input yang digunakan adalah nilai tegangan awal yang diperoleh dari hasil pengukuran tegangan inisial menggunakan nji rekah hidrolik di lokasi pengukuran. Pada tahap ini digunakan metode elemen hingga (BEM).

Karena untuk mendapatkan tegangan tergantung menentukan garis batas model yang cukup nimut, maka akan lebih efisien jika digunakan metode elemen hingga karena pengembangannya menjadi juga menjadi lebih sederhana. Selain itu metode ini digunakan karena lebih efisien untuk memodelkan tiga dimensi.

Program yang digunakan dalam permodellan numerik tegangan inisial ini adalah program BEFE (Beer, 1999). Program ini digunakan karena kemampuannya untuk memodelkan secara tiga dimensi. Selain itu, program ini juga dapat dipadukan dengan metode elemen hingga (FEM) maupun elemen hancur (BEM).

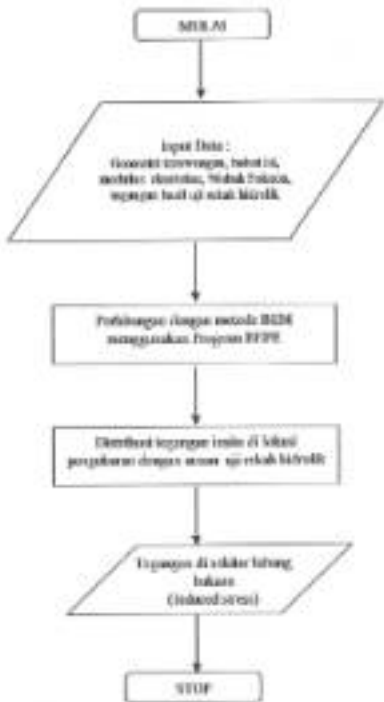
Gambar VII.1. dan Gambar VII. 2 adalah bagian alir permodellan numerik untuk model singkir stress (tahap I) dan memodelkan inisial stress (tahap II) yang dilakukan.



Gambar VII.1. Bagian alir permoderas numerik tahap I

VII.3. Permoderas Numerik untuk Penentuan Virgie Stress (Tahap I)

Permoderas numerik virgie stress dikembangkan untuk memperkirakan bentuk dan arah tegangan intis yang terjadi pada saat ini di dalam massa batuan sebelum adanya prosesnya aktivitas penggalian.



Gambar VE.2. Bagan alir prosedur numerik tahap II

Perseleksian dilakukan pada dua lokasi penelitian di tanah yang sama berasal tanah Pongkor, paitu di Ciung dan Pasayoran. Pada lokasi tersebut juga telah dilakukan pengukuran terhadap hasil dengan uji rekab hidrolik dan uji analisis akhir.

VII.3.1. Input Permodelan

Input yang digunakan dalam permodelan adalah topografi daerah penelitian, kondisi lahan dan kondisi pertambahan, bobot lahan, resiliensi ekosistem dan resiliensi Pohon.

VII.3.1.1. Topografi daerah penelitian area

Topografi yang dimodellkan adalah topografi di area lokasi penelitian dengan lahan wilayah yang dimodellkan adalah 980 m x 980 m (0,05 km²) untuk Ciung dan 816 m x 816 m (0,0225 km²) untuk Penyu-penyu. Gambar VII.3 dan Gambar VII.4, merupakan gambaran peta lahan daerah yang akan dimodelkan.



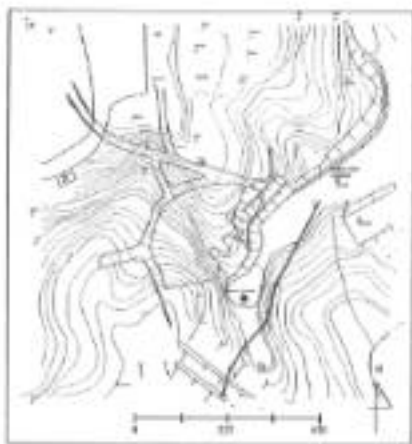
Gambar VII.3. Peta topografi daerah Ciung

VII.2.1. Input Persebatas

Input yang digunakan dalam pemodelan adalah topografi daerah penelitian, koefisien batas dan koefisien貫通率, bobot ini, maaf dan rata-rata dari nilai Poisson.

VII.2.2. Topografi dan posisi titik

Topografi yang dimodelkan adalah topografi di atas lokasi penelitian dengan laju wira-wira yang dimodelkan adalah $900 \text{ m} \times 900 \text{ m}$ ($0,81 \text{ km}^2$) untuk Caring dan $850 \text{ m} \times 850 \text{ m}$ ($0,7225 \text{ km}^2$) untuk Panuyaean. Gambar VII.3 dan Gambar VII.4 merupakan gambaran peta kawasan daerah yang akan dimodelkan:



Gambar VII.3 Peta topografi daerah Caring

Penggambaran mesh dilakukan dengan membagi topografi tiga dimensi ke dalam daerah tersebut menjadi elemen-elemen sejajar yang lebih kecil. Penggambaran mesh dilakukan dari elevasi 0 m hingga elevasi tertinggi dalam wilayah yang dimodelkan. Kelebatan mesh semakin kecil ke arah persekutuan.



Gambar VII.4. Peta topografi daerah Panayaman

VII.3.1.2. Sifat fisik dan mekanik material

Dalam permodelan tegangan aktif ini kondisi massa batuan dianggap homogen, elastik dan isotrop. Data yang menjadi masukan bagi permodelan dapat dilihat dalam Tabel VII.2 berikut ini.

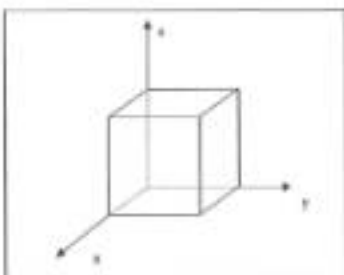
Tabel VII.2. Data parameter permodellen numerik

SIFAT MATERIAL	LOKASI	
	CHEUNG	PAMOYANAN
Bobot si (ton/m ³)	2,270	2,179
Modulus Elastisitas (MPa)	6180	5500
Nisbah Poisson	0,25	0,21

VII.3.1.7. Kondisi Batas Atas dan Kondisi Penyebaran

Kondisi batas yang digunakan dalam permodellen dapat dilihat pada Gambar VII.5 yaitu sebagai berikut:

- pada bidang x-z dimanfaatkan tidak terjadi perpindahan horizontal ke arah y.
- pada bidang y-z dimanfaatkan tidak terjadi perpindahan horizontal ke arah x.
- pada bidang x-y dimanfaatkan tidak terjadi perpindahan vertikal ke arah -z.



Gambar VII.5. Kondisi batas model tiga dimensi

Permodellen tahap 1 ini menggunakan kondisi penyebaran gravitasi yang bergantung pada bobot si dan topografi daerah model.

VII.3.2. Keberas Model

Hasil kolom proses perhitungan dari Program BEFE adalah tegangan, buk tegangan normal, geser maupun tegangan prinsipalnya. Dengan menggunakan transformasi tegangan, maka akan diperoleh tegangan dalam arah OXIV seperti tertera pada Tabel VII.3. Tabel tersebut merupakan hasil permodulan Tahap 1 di antara Cincin dan Panoyanan yang menggunakan keduai tegangan arah di daerah tersebut.

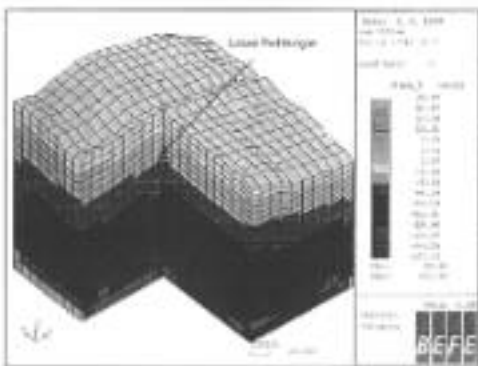
Tabel VII.3. Tegangan arah hasil permodulan numerik di Cincin dan Panoyanan

Tegangan (MPa)	Cincin	Panoyanan
σ_x	2,13	1,21
σ_y	1,92	1,34
σ_z	6,48	4,47
τ_{xy}	0,0643	0,0669
τ_{xz}	-0,32	-0,482
τ_{yz}	-0,15	-0,237

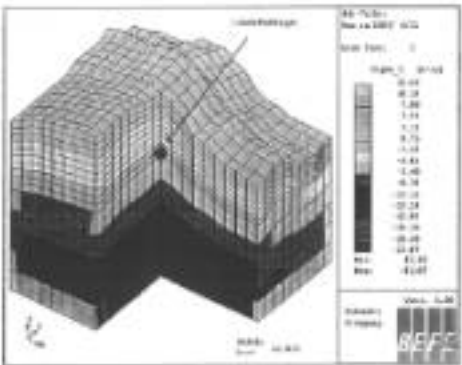
Catatan :

Dalam Program BEFE, hasil tegangan akan untuk segitif, sehingga tegangan tidak positif. Tegangan dalam Tabel VII.3 telah dicantumkan menjadi tegangan tidak positif dan tegangan tidak segitif.

Grafik VII.6 dan Grafik VII.7 menunjukkan kontur tegangan pada arah sumbu-Z (tegangan vertikal) di Cincin dan Panoyanan.



Giunto VII.6. Modello tridimensionale della Diorito di Giung



Giunto VII.7. Modello tridimensionale della Diorito di Parreysson

VII.4. Permodelas Numerik Untuk Penetrasi Induced Stress (Tahap II)

Permodelas numerik tahap II digunakan sebagai analisis selanjutnya untuk mendapatkan gambaran mengenai distribusi tegangan di daerah penelitian akibat penggalian. Hasil permodelas tersebut ini merupakan gambaran distribusi tegangan di lokasi penggalian uji rekoh hidrolik.

Permodelasan tegangan menggunakan metode elemen batas (boundary element method) tiga dimensi dengan model BEM one region, dimana tidak terdapat bidang diskontinuitas

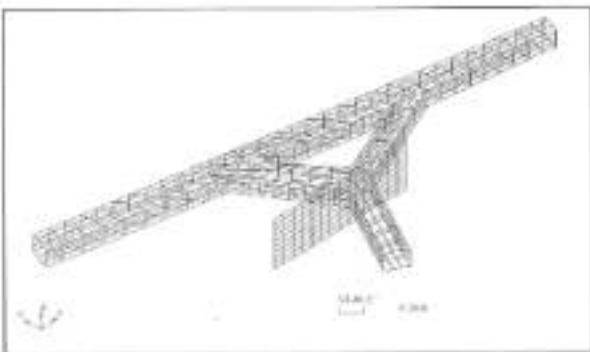
VII.4.1. Input Permodelas

Mesulan yang digunakan dalam permodelasan tegangan menggunakan adalah geometri kerowongan tiga dimensi, koordinat penelitian, bebatu ini, modulus elastisitas dan resistansi Poisson

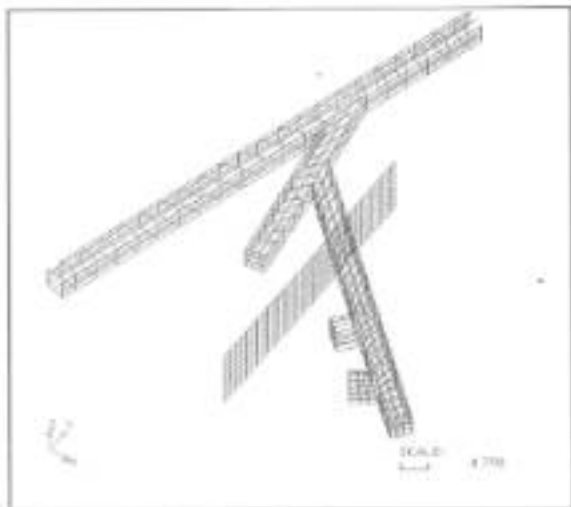
VII.4.1.1. Geometri model

Permodelas dimulai dengan pembuatan mesh dengan memodelkan geometri kerowongan di lokasi penelitian. Dimensi kerowongan dalam model adalah lebar 4 meter dan tinggi sekitar 4,3 meter. Penampang kerowongan berbentuk rpadu lada. Kerowongan yang digambarkan terdiri dari drift dan kerowongan mesaurus yang tersusun berdasarkan Main Boundary (MBL).

Pada penggambaran kerowongan yang mesaurus, digunakan dasar infinite boundary element di ujung kerowongannya. Element dasar ini merupakan buktas kerowongan tersebut merupakan kerowongan yang sangat panjang dan mesaurus. Gambar VII.8 dan Gambar VII.9 adalah mesh dari kerowongan di Carang dan Pemayungan.



Gambar VII.8. Geometri das awah tanowongan di Cilang



Gambar VII.9. Geometri das awah tanowongan di Pacoyanan

VII.4.1.2. Data uji frikti dan sebaran batuan

Model clonen batu yang digunakan adalah model DEM one region dengan asumsi kondisi massa batuan homogen, elastik dan isotrop. Seperti halnya model tegangan awal, model tegangan terenggan juga menggunakan data manusia dalam Tabel VII.2.

VII.4.1.3. Konduksi posisikanan dan tegangan awal

Kondisi perbataman adalah *excavation* (penggalian) di sepanjang terowongan yang dimodelkan. Data manusia untuk tegangan awal (virgin stress) merupakan data yang diperoleh dari uji reakta hidrolik (Tabel V.5). Data tersebut ditransformasi kelebihan dahulu dari sumbu ONE/V ke sumbu x, y, z dalam model.

VII.4.2. Kekurangan Model

Hasil kerancuan model perhitungan merupakan garisbutir tegangan di permukaan terowongan. Untuk mengelusai tegangan dalam massa batuan di sekitar terowongan, maka dibuat clonen *doway* di daerah yang ingin diketahui kondisi tegangan tersebut. Holeseri *doway* ini hanya membantu mengegarutkan hasil perhitungan di daerah yang dinginkan dan tidak memperbaiki hasil proses.

Pada model di Cierug dan Panoyanan, clonen *doway* dibuat pada massa batuan di lokasi tempat dilakukan uji reakta hidrolik dan uji erosi akustik. Lokasi pengujian satu-satu di atas 3 kali jari-jari. Tabel VII.4 berikut ini adalah tegangan hasil permodelan di lokasi pengujian reakta hidrolik.

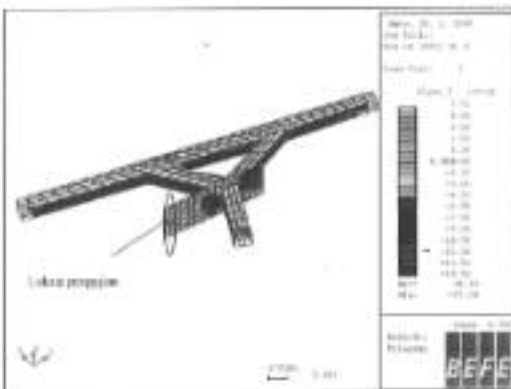
Gambaran distribusi tegangan di sekitar terowongan dan di dalam clonen *doway* dapat dilihat pada Gambar VII.10 dan Gambar VII.11.

Tabel VII.4. Tegangan sejauh ini pada permukaan sement di Cang dan Puncakmu.

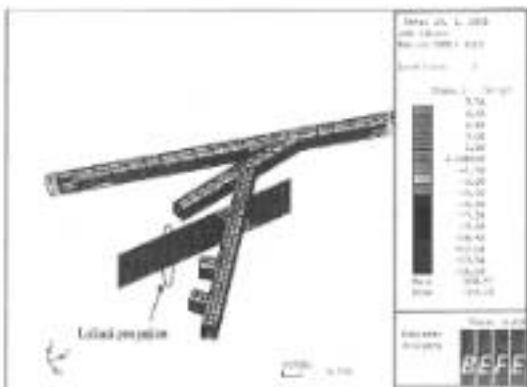
Tegangan (MPa)	Cang	Puncakmu
σ_3	3,99	3,38
σ_2	4,38	4,28
σ_1	1,77	4,32
σ_{12}	0,52	-0,74
σ_{13}	1,01	1,22
σ_{23}	-0,41	-0,68

Catatan:

Diketahui Pegangan BEM, node tegangan nilai akhir negatif, adangan tegangan nilai positif. Tegangan dalam Tabel VII.4 adalah diperoleh secara sejauh nilai positif dan sejauh nilai negatif.



Gambar VII.11. Rancangan distribusi tegangan sejauh ini pada permukaan DEM atau region di daerah Canggu.



Gambar VII.11. Kegiatan di dalam ruang geologi stratal berisi permodelan BGM dan regresi di daerah Pamekasan

VIII.1. Sifat Fisik dan Dinamik Batuan di Lokasi Pasirilitan

Uji sifat fisik dilakukan untuk menentukan bobot isi air, porositas, dan kadar air. Sifat fisik batuan dapat mempengaruhi perlakuan batuan tersebut jika dikoneksi pada uji tertentu. Sebagai contoh, kelepasan ranah gelombang dalam batuan dipengaruhi oleh porositas batuan tersebut. Batuan dengan porositas tinggi memiliki mempunyai ruang kosong yang lebih banyak dibandingkan yang berporositas rendah, sehingga pasibilitas gelombang akustik terhadap karakter gelombang akan melalui ruang yang berbeda. Makar, pada batuan yang berporositas tinggi, adanya korelasikan gelombang akustik yang diberikan (berdasarkan proses fisik selama penelitian dan pembuatan rekatuan, propagasi relaksasi nuklon, deflomasi material, tumbukan, dan peradutan) tidak diterima dengan baik oleh sensor erosi akustik.

Hasil pengujian sifat fisik, batuan dari lokasi Ciung dan Pamoyongan mempunyai bobot isi berkisar $2,2 \text{ ton/m}^3$ dan porositasnya sekitar 0,13 % – 0,15 %. Meskipun porositas batuan Ciung dan Pamoyongan hampir sama, namun rongga batuan di Pamoyongan lebih banyak dilihat oleh air dibandingkan dengan di Ciung. Hal ini dapat dilihat dari perhitungan kadar air di Ciung nis-nis berasal di bawah 1 % sedangkan kadar air di lokasi Pamoyongan lebih tinggi dibanding di Ciung, yaitu rata-ratanya di atas 1 %.

Uji sifat dinamik menunjukkan dapat ranah gelombang ultrasonik dalam batuan. Jika batuan mempunyai porositas yang besar maka dapat memberi gelombangnya kecil. Karena peranlah media penghantarnya cukup besar, maka ags hasil pengujian lebih akurat, tidak keruak antara transducer dan contoh batuan dimanfaatkan risip dan tidak membentuk rongga oksigen. Untuk mengatasinya mungkin ini, digunakan vaselin sehingga transducer besar-besar meskipun pada contoh batuan.

Data cepat rancang georobong contoh batuan yang dianalisis memperlihatkan perbedaan yang kecil (tidak signifikan). Hal ini menunjukkan bahwa contoh batuan tersebut relatif seragam.

VIII.2. Silsilah Mekanik

Hasil uji kuat tekan uniaxial contoh batuan menggunakan bantalan beton di lokasi pengujian Ciung dan Pasirwana memperlihatkan kuat tekan berkisar antara 26 MPa – 39 MPa dan modulus elastisitas antara 5 GPa – 13 GPa. Menurut Deere dan Miller (1968) berdasarkan hasil telukannya, batuan dengan kuat tekan berkisar 26 MPa – 55 MPa termasuk dalam kategori D (*Low Strength*) yaitu batuan dengan kekuatan yang rendah (lihat Tabel VIII.1)

Tabel VIII.1. Klasifikasi batuan intak menurut kekuatan (Deere & Miller, 1968)

Kelua	Deskripsi	Kuat Tekan Uniaxial (MPa)	Deskripsi Batuan
A	Very high strength	> 220	Batu pasir, abu-abu besar batuan kali, batuan metamorfik kuat, batu pasir, shale keras, majoritas bentonit, dolomit
B	High strength	110 – 220	Bahan, batupasir dan batu kapur kuarsa, batuan metamorfik
C	Medium strength	55 – 110	Batuan kuarsa dan bentonit kuarsa, batu kapur, batuan metamorfik
D	Low strength	21 – 55	Batuan kuarsa dan bentonit kuarsa, batu kapur, lempung, batuan terlapukan
E	Very low strength	< 21	

Kuat tekan uniaxial contoh batuan dipengaruhi oleh faktor internal (density, kadar air, porositas dan void ratio) dan faktor eksternal (perbedangan tinggi dan diameter contoh batuan, gesekan antara pelet penekan dan contoh batuan, luas permukaan, dan suhu ruang). Faktor internal seperti density, kadar air, porositas dan void ratio sangat mempengaruhi kuat tekan uniaxial dari contoh batuan. Density semakin besar akan meningkatkan nilai kuat tekannya, sedangkan

kuat tekan akan semakin kecil dengan meningkatnya kadar air, porositas dan void ratio contoh batuan.

Contoh batuan dari Ciung dan Pasayaman mempunyai density dan porositas yang hampir sama, sedangkan kadar air di Pasayaman lebih tinggi. Sesuai teori kuat tekan di Pasayaman lebih kecil dibanding di Ciung, meskipun hasil pengujian menunjukkan bahwa kuat tekan batuan di Pasayaman lebih tinggi. Dengan memperhatikan hal ini penulis merasa bahwa kuat tekan batuan di Pasayaman tidak sebaiknya perpanjangan contoh batuan bisa menjadi penyebab mengapa kuat tekan batuan di Ciung lebih kecil.

Dalam penelitian ini uji kuat tekan triaxial harus dilakukan sebelum uji erosi akustik. Selain untuk mengetahui kuat tekannya, uji ini dimaksudkan untuk mendapatkan bukti elastik rata-rata sehingga perbedaan tegangan dalam uji erosi akustik masih berada pada daerah elastisitas.

Selain uji kuat tekan triaxial, dilakukan pula uji kuat tuntuk tak langsung Brinellan. Hasil uji ini berupa nilai kuat tuntuk tak langsung yang bisa dibandingkan dengan nilai kuat tuntuk langsung di lapangan yang diperoleh dari uji relasi hidrolik.

Nilai kuat tekan dan kuat tuntuk batuan bisa dibandingkan yang disebut dengan nilai brittleness index yang menyatakan ke-brittleness satuan (rock angularity). Semakin tinggi nilai brittleness index semakin brittle batuan tersebut dan semakin kecil kemungkinan untuk menahan tekanan.

Hasil pengujian contoh batuan dari Ciung dan Pasayaman menunjukkan brittleness index contoh batuan satu-satu berkisar di bawah 9. Hanya ada 2 batang batu yang menunjukkan brittleness index di atas 9. Menurut criteria brittleness index Gehring (1992) seperti pada Tabel VIII.2 , batuan di kedua tempat tersebut dapat dikatakan sebagai batuan yang anggert.

Tabel VIII.2. Kriteria batas dari brittleness index (Ciching, 1992)

<i>Brittleness Index</i>	Kriteria
< 9	rough
9 - 15	normal
> 15	brittle.

VIII.3. Perbaikan Hasil Pengujian

Dari pengujian tegangan dengan menggunakan uji rintik hidrolik, uji sumi akustik dan dari perbedaan numerik tegangan ini, dapat diketahui nilai tegangan ini di Chung dan Panseyan untuk masing-masing metode. Tabel VIII.3 berikut ini merupakan komplisi nilai tegangan yang diperoleh dalam arah Utara, Timur, Vertikal beserta tegangan genetis. Tegangan hasil pengukuran tersebut akan membentuk tensor tegangan yang akan digunakan sebagai perhitungan tegangan prinsipal.

Tabel VIII.3. Kompleksi tegangan ini di hasil pengujian dengan uji rintik hidrolik dan uji sumi akustik.

Tegangan (MPa)	Chung		Panseyan	
	HV	AE	HV	AE
σ_x	3,62	21,17	2,49	16,10
σ_y	0,81	16,15	1,41	26,41
σ_z	3,18	11,63	4,5	9,37
σ_{xz}	-0,73	-2	0,55	-1,25
σ_{yz}	0,12	2,14	1,44	3,28
σ_{xy}	0,39	0,57	-0,023	-1,97

Dalam Tabel VIII.3 terlihat bahwa ketepatan perbedaan nilai tegangan di antara metode langsung dan metode tidak langsung. Perbedaan tersebut dapat terlihat pada nilai tegangan ini di hasil uji cuci akustik.

Pada dasarnya metode rintik hidrolik merupakan metode pengukuran score langsung di laporan. Diharapkan tegangan yang dihasilkan dapat

mewakili kondisi sebenarnya yang ditemui oleh manusia batu akhirnya yang bekerja di datanya antara lain adalah gaya tekanan, gaya akhir kehadiran bidang dikontra, bendis terpangsi, gravitasi, erosi dan sebagainya. Karena itu, hipotesis awal menyatakan bahwa nilai tegangan yang diperoleh dari uji relah hidrolik diametral bisa mendekati kebenaran.

Permodellan numerik terdiri dari dua bagian. Pada bagian pertama permodellan numerik memodelkan tegangan sifil (*sigle stress*). Permodellan ini hanya menggunakan nilai tegangan yang bekerja pada sumbu titik dalam suatu batu akhirnya gravitasi dan kondisi pemakaman bawah tanah. Hasil permodellan numerik bagian pertama menggunakan distribusi tegangan sifil di daerah pengukuran sebelum ada aktivitas penggalian.

Pada permodellan numerik tahap I, nilai tegangan horisontal yang diperoleh dari permodellan numerik lebih besar dibandingkan dengan hasil pengukuran dengan uji relah hidrolik dan uji corasi aktif. Kondisi ini bisa disebabkan bahwa pada permodellan tegangan sifil berlaku kondisi *lateral constraint* yang tidak memungkinkan bekerjanya gaya-gaya lateral pada permodellan. Sebaliknya, pada kondisi sebenarnya gaya-gaya lateral ini cukup berpengaruh.

Permodellan numerik tahap II dilakukan untuk mengestimasi distribusi tegangan di seluruh lokasi penggalian karena adanya aktivitas penggalian. Input model ini merupakan tegangan yang diperoleh dari hasil pengukuran dengan uji relah hidrolik yang telah ditransformasikan ke dalam sumbu x, y, z. Tabel VIII.4 berikut ini merupakan nilai tegangan yang diperoleh dari permodellan numerik di lokasi uji relah hidrolik. Dari tabel tersebut terlihat bahwa tegangan vertikal dan tegangan arah timur yang diperoleh oleh permodellan strip dengan hasil uji relah hidrolik.

Tabel VII.4. Tegangan hasil pemodelan numerik di lokasi uji erosi hidrolik di Ciung dan Pasirayanan

Tegangan (MPa)	Ciung	Pasirayanan
σ_3	3,99	3,36
σ_1	0,54	4,38
σ_2	3,77	4,12
τ_{31}	-0,52	-0,74
τ_{32}	1,01	1,22
τ_{21}	-0,43	-0,68

Pengakuan tegangan pada kedua lokasi pengujian menunjukkan bahwa hasil erosi akustik sangat jauh berbeda dibandingkan dengan hasil pengujian mikro hidrolik, pemodelan numerik dan perhitungan sebagaimana vertikal secara kesatuan. Pada dasarnya erosi akustik merupakan ukuran pergerakan dari sedimen-rekahan mikro yang ada di dalam batuan. Pada saat tegangan yang diberikan melebihi tegangan yang pernah dialaminya, maka akan terjadi perberikan rekahan mikro batu yang menyebabkan meningkatnya aktivitas erosi akustiknya yang menunjukkan tegangan yang pernah dialaminya.

Banyak faktor yang mempengaruhi hasil uji erosi akustik, di antaranya adalah:

a. Kondisi contoh batuan

Kondisi contoh batuan dapat mempengaruhi perambatan gelombang. Selain bentuk, ukuran, dan ketebalan contoh, yang dapat digolongkan dalam kondisi contoh batuan antara lain klasifikasi permodelan kontak: antara contoh batuan dan tessader atau akustik yang relatif kuat. Permodelan kontak yang kuat dapat mengurangi energi yang ditransmisikan ke tessader sehingga mengurangi akustik pengukuran.

b. Laju perdebuhan

Hasil uji erosi akustik akan lebih akurat jika laju perdebuhan yang diberikan konstan. Untuk itu dalam pengujian diperlukan serupa control untuk mengawasi laju perdebuhan. Dalam pengujian ini laju perdebuhan

dilakukan secara manual sehingga tidak dapat dipastikan apakah bahan yang konstan atau tidak. Kandili isi menyebabkan barang akhirnya hasil uji coba ini bocor.

c. Median kontak

Pengujian pengetahuan sifat-sifat ke transducer akan sangat membantu jika antara contoh batu dan transducer diberi suatu media kontak (cairan pemisah) untuk memastikan pengalaman udara yang ada. Jika dimana transducer dengan bahan dilindungi tanpa kontak (terhadap rongga udara), maka muatan yang ditransmisikan akan berkurang, sehingga tidak mampu mendekati nilai transducer. Ketika itu dimana transducer dimanfaatkan secara nyata untuk mengurangi rongga udara. Dalam penelitian ini digunakan seracan pasta khasus untuk memperlebar transducer ke permukaan contoh.

d. Posisi transducer

Agar rekalan mikro yang terbentuk dapat tertangkap dengan baik oleh transducer, maka dimanfaatkan kedua transducer diletakkan lebih dekat terhadap lokasi rekalan mikro yang akan terjadi. Posisi yang dimanfaatkan adalah kedua transducer terletak pada satu garis datar sis yang berjalan dan di tengah-tengah contoh. Dengan posisi dalam satu garis lalu maka transducer dapat mendekripsi sifat-sifat dalam jarak yang terdekat dan efek Kaiser yang mencol lebih jelas terlihat dalam grafik aktivitasnya akustik.

e. Getaran

Getaran mesin tekan yang digunakan dalam pengujian ini sangat besar sehingga meritimbangkan ketepatan yang cukup besar. Getaran tersebut sangat mempengaruhi hasil yang didapatkan karena efek Kaiser yang terjadi tidak dapat terlihat dengan jelas. Untuk menegali ini perlu menggunakan filter yang sesuai pada pre-amplifier dan perspektif bandpass.

f. Waktu tunggu

Waktu tunggu adalah waktu yang dibutuhkan untuk diambil dan dibangun batu bata yang dilakukan oleh ahli akustik. Penelitian Nakamura dkk. (2003) di tambang Kamaishi, Jepang, menunjukkan bahwa pengujian ahli akustik yang dilakukan 5 hari adalah pengambilan contoh batu yang menghasilkan nilai tegangan ini yang berbeda jauh dibandingkan dengan pengujian yang dilakukan 60 hari adalah pengambilan contoh batu.

Dari beberapa faktor yang mempengaruhi hasil uji emisi akustik tersebut, faktor (a) hingga faktor (c) merupakan faktor yang berkorelasi dengan nilai pengujian, sedangkan faktor waktu tunggu merupakan faktor yang berkorelasi langsung dengan kualitas batu. Sebagian batu memiliki karakteristik yang berbeda dan akan menggunakan waktu tunggu yang berbeda pula. Karena itu penting dilakukan pengujian ahli akustik untuk waktu tunggu yang berbeda-beda untuk mendapatkan karakteristik pengaruh waktu tunggu pada batu di lokasi pengujian.

VIII.4. Pengujian untuk mengetahui pengaruh waktu tunggu

Untuk mengetahui pengaruh waktu tunggu terhadap uji emisi akustik pada batu tel batu, maka dilakukan uji emisi akustik dengan waktu tunggu yang berbeda-beda, yaitu waktu tunggu 2, 5, 14, 30, 45 hari. Contoh batuambil dari lokasi pengujian Cilang dengan arah batang batu N 341° E / 1°. Hasil pengujian emisi akustik pada contoh batu tersebut dengan waktu tunggu yang diketahui dapat dilihat pada Tabel VIII.5. Dalam tabel tersebut ditunjukkan bahwa nilai efek Kaiser rata-rata mencapai setelah siklus 1. Nilai intisir yang dicantum sebagai nilai tegangan yang disusun oleh batuan.

Nilai tegangan pada saat efek Kaiser mencapai digambarkan dalam sebuah grafik terhadap waktu tenggaranya. Agar grafik tersebut dapat digunakan sebagai koreksi, maka nilai tegangan pada saat efek Kaiser manusia dimotifasikan dengan membaginya dengan nilai tegangan pada waktu tunggu 2 hari. Penilaian waktu

tegangan 2 hari ini didasarkan pada pertimbangan bahwa waktu tangga 2 hari merupakan waktu tangga yang paling cepat dan paling mudah dilakukan untuk mengambil cermin batuan di lapangan dan membawanya ke laboratorium untuk pengujian emisi akustik. Hasil normalisasi tegangan lantai pengujian dapat dilihat pada tabel VIII.6, sedangkan Gambar VIII.1 menunjukkan grafik normalisasi tegangan terhadap waktu tangga.

Tabel VIII.5. Tegangan pada saat efek Kaiser manual pada pengujian emisi akustik untuk mengikuti pengaruh waktu tangga

Waktu tangga (hari)	Nilai tegangan maksimum KU-Cratch Batuan (MPa)							
	skala 1	skala 2	skala 3	skala 4	skala 5	skala 6	skala 7	skala 8
2			4,06					
4					3,88		3,83	
5			3,55			3,19		
7		1,98			4,18			
10	8,68	8,88		6,96	8,39		7,58	
14					8,4			
30			10,21	9,32				
45			11,35					

Data pengujian pada waktu tangga 140 hari, diperoleh dari pengujian crak akustik di Cianjur. Dari grafik tersebut ditarik regresi yang menghubungkan antara waktu tangga dan tegangan pada saat efek Kaiser manual. Terlihat bahwa pengaruh waktu tangga mengikuti persamaan logaritmik sebagai berikut :

$$y = 95,599 \ln(x) - 33,207 \quad (\text{VIII.15})$$

Keterangan :

- y = Persentase perbaikan tegangan maksimum efek Kaiser waktu tangga x hari dengan tegangan maksimum efek Kaiser waktu tangga 2 hari
- x = waktu tangga

Tabel VIII.6. Normalisasi tegangan pada saat efek Kaiser mencapai pada pengujian emisi akustik untuk mengetahui pergeseran waktu tanggu

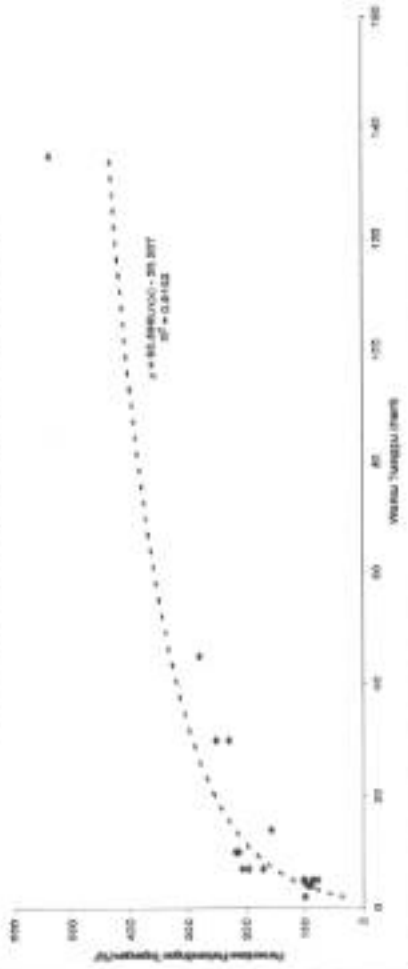
Waktu tanggu (hari)	Persentase Perbaikan Tegangan pada Cetakan Batuan (%)							
	silika 1	silika 2	silika 3	silika 4	silika 5	silika 6	silika 7	silika 8
2			60,00					
4					91,53		89,41	
5			87,44			78,37		
		100,49			102,96			
7			77,43	206,63		106,55		
10	212,81	218,23						
14					137,64			
30			251,48	229,58				
45			299,56					

Pengujian untuk mengetahui pengaruh waktu tanggu ini memperjukkan bahwa *stress memory* untuk batuan tufo berkuat relatif singkat. Untuk mengetahui berapa lama *stress memory* tufo berkuat masih terdapat, maka dilakukan transformasi tegangan hasil uji nikah hidrolik ke angka hor N 343 B / I². Untuk pergecakas kandulah, tegangan sampai waktu tanggu 5 hari dibandingkan dengan tegangan tegangan awal yang diperoleh dari uji nikah hidrolik. Dari hasil transformasi tegangan awal dari uji nikah hidrolik diperoleh hasil sebesar 3,73 MPa. Hal ini menunjukkan nilai yang diperoleh dari uji emisi akustik hingga waktu tanggu 5 hari.

Sampai waktu tanggu 5 hari, efek Kaiser mencapai pada saat cetakan batuan diberi tegangan sebesar 3,18 MPa sampai 4,19 MPa. Dari persentase terhadap waktu tanggu 2 hari terlihat bahwa tegangan pada saat efek Kaiser mencapai risiko berkuat 100 %. Ini berarti bahwa bisa dikatakan sampai waktu tanggu 5 hari, tegangan yang disampaikannya masih merupakan *stress memory*-nya.

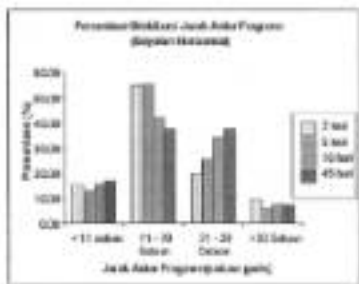
Pada waktu tanggu lebih dari 5 hari, efek Kaiser mencapai pada tegangan yang semakin lama semakin tinggi. Dari persentase terhadap nilai tegangan pada waktu tanggu 2 hari diperoleh hasil lebih besar dari 100 %. Persentase ini semakin lama semakin besar hingga bisa mencapai 400 %.

Grafik persentase pemeringan Tegangan Tantang Waktu Tinggi

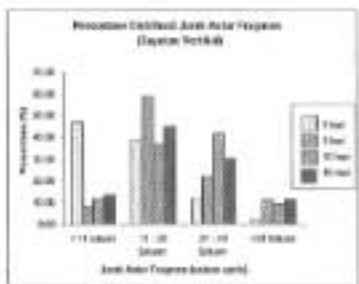


Grafik VIII.1. Grafik persentase pemeringan tegangan tinggi waktu tinggi

Untuk mengetahui proses yang terjadi dalam ceket batuan karena aji emisi akustik, maka dilakukan analisa seyatan tipis pada kontek batuan sedangkan dilakukan aji emisi akustik. Analisa ini dilakukan untuk ceket dengan waktu tunggu 1, 5, 10 dan 45 hari. Se�atan tipis dilakukan secara vertikal dan horizontal. Foto tersebut menunjukkan bahwa jarak antar fragmen berubah dengan berpasrahnya waktu tunggu. Untuk melihat distribusi jarak antar fragmen, maka dibuat grafik distribusi jarak terhadap hasil persepectanya. Gambar VII.2 dan Gambar VII.3 menunjukkan distribusi jarak untuk se�atan tipis horizontal dan vertikal.



Gambar VII.2. Distribusi jarak antar fragmen batuan se�atan horizontal



Gambar VII.3. Distribusi jarak antar fragmen batuan se�atan vertikal

Dari kedua gambar tersebut dapat dilihat bahwa terjadi korelasi antara peningkatan jarak antar fragmen dengan meningkatnya waktu tanggu. Untuk sayatan horizontal (Gambar VIII.2) sebagi jarak < 11 satuan dan jarak $11 - 20$ didominasi oleh contoh dengan waktu tanggu 2 – 3 hari. Sedangkan untuk jarak antar batu yang lebih besar, yaitu $21 - 30$ satuan dan > 30 satuan, waktu tanggu 10 hari dan 45 hari merupakan persentase lebih besar.

Hasil sayatan tipis secara vertikal menunjukkan korelasi yang terbatas lebih jauh (Gambar VIII.1). Semakin besar waktu tanggu, maka persentase untuk jarak yang lebih besar akan semakin besar. Secara berurutan dapat dikatakan bahwa pada jarak fragmen < 11 satuan, waktu tanggu 2 hari mempunyai persentase paling besar, kemudian pada jarak fragmen $11 - 20$ satuan, persentase terbesar dikontrol oleh waktu tanggu 5 hari. Untuk jarak fragmen $21 - 30$ satuan, ciri-ciri dengan waktu tanggu 10 hari mempunyai distribusi paling besar, sedangkan jarak fragmen > 31 satuan dikontrol oleh contoh batuan dengan waktu tanggu 45 hari.

Peningkatan jarak antar fragmen dalam contoh batuan tersebut dapat menyebabkan naiknya tegangan pada saat metakrisis muncul. Dengan semakin bertambahnya waktu tanggu, maka akan terjadi proses relaksasi pada contoh batuan karena terbebaskan dari tegangan pada saat benda dalam massa batuan. Proses relaksasi tersebut menyebabkan jarak antar fragmen semakin lama semakin besar dengan bertambahnya waktu. Semakin besar jarak antar fragmen, maka tegangan yang dibutuhkan untuk membuat relaksasi milik batu akan lebih besar. Sedangkan saat perkembangan nihilitas milik batu tersebut merupakan saat munculnya efek Kaiser. Hal ini menjelaskan proses berlangsung besarnya tegangan pada saat efek Kaiser muncul dengan bertambahnya waktu tanggu.

VIII.5. Tegangan terkorelasi hasil uji emisi akustik

Sesudah diperoleh grafik kresek (Gambar VIII.1) untuk batuan milik beku di daerah Pongkor, hasil uji emisi akustik akan dikorelasi dengan menggunakan grafik ini.

VIII.5.1. Koreksi tegangan instan hasil emisi akustik di Ciung

Rata-rata prnggian emisi akustik di daerah Ciung dikelola antar waktu 100 – 150 hari. Dari grafik terlihat bahwa pada hari ke 100 – 150, normalisasi tegangannya menjadi lebih dari 400 %. Dengan menggunakan grafik koreksi ini, maka tegangan pada saat efek Kaiser maxcul akan dikoreksi sehingga menjadi seperti tercantum dalam Tabel VIII.7.

Tabel VIII.7. Analah lahang ber das tegangan terkoreksi saat efek Kaiser maxcul di Ciung (Hutauruk, 2004)

Lahan Ber	Tegangan saat Efek Kaiser Maxcul (MPa)	
	Selisih Koreksi	Selisih Koreksi
N 310 E / 15	30,01	4,36
N 310 E / 0	19,21	4,57
N 290 E / 15	11,02	2,10
N 270 E / 0	17,78	4,23
N 235 E / 15	15,79	3,35
N 235 E / 0	14,84	3,53
Volatil	11,08	2,38

VIII.5.2. Koreksi tegangan instan hasil emisi akustik di Pamoyanan

Grafik koreksi yang diperoleh merupakan grafik yang dibuat untuk batuan tuf breksi di Tmerring South Ciung, Ponorogo. Dari hasil pengujian tegangan, uji sifat tipis, uji sifat fisik dan uji mekanik memperlihatkan bahwa kandungan batuan di Pamoyanan sama dengan batuan Ciung yaitu tuf breksi yang mempunyai sifat fisik dan UCS yang hampir sama (Tabel V.5 dan Tabel V.6). Dengan pertimbangan bahwa batuan mempunyai karakteristik batuan yang sama, maka grafik koreksi ini digunakan untuk memperbaiki hasil dari Pamoyanan.

Uji emisi skutik contoh batuan Pamoyanan dilakukan antar waktu 80 – 100 hari setelah pengambilan contoh. Jika menggunakan pada grafik koreksi, maka normalisasi tegangannya mencapai nilai sekitar 400 %. Setelah dikoreksi, tegangan saat efek Kaiser maxcul dapat dilihat pada Tabel VIII.8.

Tabel VIII.8. Anisit labang batu dan tegangan terkonksi saat efek Konservasi di Pasayuan (Ibu, dkk, 2004)

Labang Batu	Tegangan saat Efek Konservasi (MPa)	
	Sebelum Koreksi	Sesudah Koreksi
N 110 E / 1	19,21	4,51
N 110 E / 10	21,24	5,22
N 140 E / 5	21,31	5,39
N 210 E / 10	21,36	5,17
N 247 E / 4	23,21	5,84
N 247 E / 10	29,48	5,66
Vertikal	14,88	4,68

VIII.6. Perhitungan Tegangan Principal

Setelah dilakukan koreksi terhadap hasil uji cuci akhirik, maka akan terjadi perbedaan tegangan dalam arah Utara, Timur, Vertikal dan tegangan geseknya. Tabel VIII.9 berikut ini adalah koreksinya tegangan setelah hasil uji cuci akhirik dikonfirmasi.

Tabel VIII.9. Koreksionali tegangan iniitu hasil pengukuran setelah koreksi hasil cuci akhirik.

Tegangan (MPa)	Cangg			Pasayuan		
	HF	AE	AE korreksi	HF	AE	AE korreksi
0 ₀	3,62	21,77	5,08	2,80	16,85	4,31
0 ₉₀	0,61	16,35	3,84	4,41	26,44	6,50
0 ₄₅	3,88	11,87	2,77	4,3	19,87	4,88
90 ₀	-0,73	-2	-0,67	-3,55	-1,21	-0,8
90 ₉₀	0,81	2,14	0,51	1,44	3,20	1,21
90 ₄₅	-0,79	0,57	0,13	-0,073	-1,97	-4,08

Setelah dikoreksi, hasil uji cuci akhirik terlihat lebih mendekati nilai tegangan hasil uji rekab hidrolik. Hal ini membuktikan bahwa waktu muagu memengaruhi permasalahan yang sangat penting dalam uji cuci akhirik. Nilai tegangan dalam Tabel VIII.9 tersebut akan digunakan untuk perhitungan tegangan principal di lokasi penelitian.

VIII.6.1. Penentuan Tegangan Isotrof Dua Dimensi

Penggambaran tegangan isotrof dua dimensi dilakukan untuk melihat besar dan arah tegangan dalam mata penampang dua dimensi. Dalam kasus ini, tegangan akan digambarkan dalam posisi yang 2 dimensi arah selatan-sutara dan barat-timur. Maka transformasi tegangan yang digunakan pada bidang 2 dimensi adalah,

$$\begin{bmatrix} \sigma_x \\ \sigma_y \\ \tau_{xy} \end{bmatrix} = \begin{bmatrix} \cos^2\theta & \sin^2\theta & \sin 2\theta \\ \sin^2\theta & \cos^2\theta & -\sin 2\theta \\ \frac{1}{2}\sin 2\theta & \frac{1}{2}\sin 2\theta & \cos 2\theta \end{bmatrix} \times \begin{bmatrix} \sigma_x \\ \sigma_y \\ \tau_{xy} \end{bmatrix} \quad (\text{VIII.1})$$

Tegangan yang dicari merupakan tegangan normal maksimum dan tegangan normal minimum pada posisiang dua dimensi (σ_{\max} dan σ_{\min}). Tegangan ini diperoleh jika nilai tegangan genapnya sama dengan nol ($\epsilon_0 = 0$). Sedangkan nol adalah suatu perpotongan antara sumbu x – y dengan sumbu prinsip.

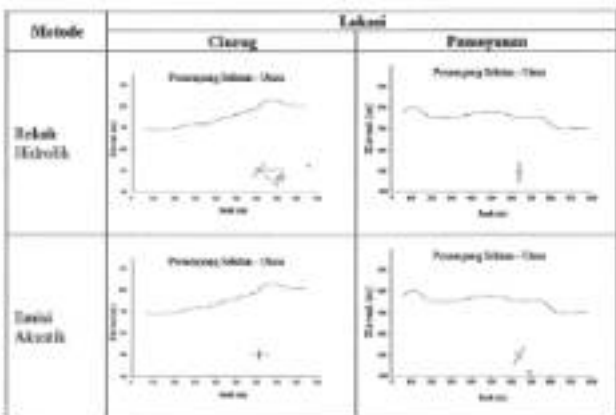
Untuk menentukan tegangan pada posisiang selatan – utara, perhitungan dilakukan dengan menggunakan komponen tegangan σ_x , σ_y , dan τ_{xy} sebagai σ_x , σ_y , τ_{xy} . Sedangkan pada posisiang barat – timur, perhitungan tegangan menggunakan komponen tegangan σ_x , σ_y , dan τ_{xy} sebagai σ_x , σ_y , dan τ_{xy} .

Tabel VIII.10 dan Tabel VIII.12 merupakan hasil transformasi tegangan yang diperoleh dari uji rekoh hidrolik, uji minyak akustik dan dari permodellan numerik untuk arah selatan – utara dan barat – timur. Sudut 0 digunakan untuk menggambarkan inggris normal maksimum yang bekerja dalam posisiang tegangan selatan-sutara dan barat-timur. Tabel VIII.11 dan Tabel VIII.13 merupakan gambaran secara visual tegangan isotrof yang bekerja pada bidang dalam posisiang arah selatan – utara dan barat – timur yang diperoleh dari uji rekoh hidrolik, uji minyak akustik dan permodellan numerik.

Tabel VIII.10. Tegangan normal maksimum dan minimum pada arah relatif - sumbu di Ciung dan Pasoyanan

Tegangan (MPa)	Ciung		Pasoyanan	
	HF	AE	HF	AE
α_x^*	2,95	3,05	2,49	3,9
α_y^*	6,55	7,76	4,50	5,12
α_{xy}^*	0	0	0	0
$B(\%)$	49	3	0,65	26

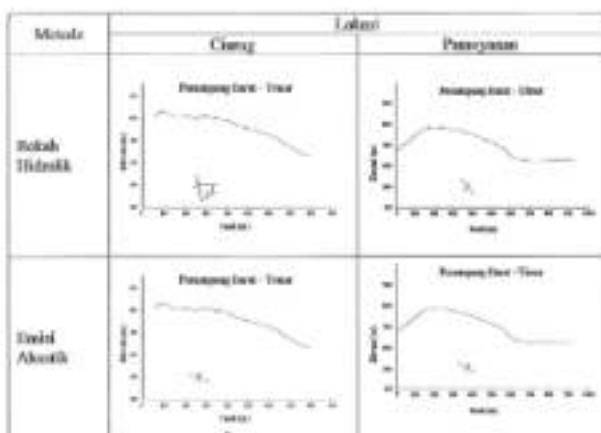
Tabel VIII.11. Tegangan normal dalam penampang dua dimensi untuk Sifat-sifat - sumbu di Ciung dan Pasoyanan



Tabel VIII.12. Tegangan normal maksimum dan minimum pada arah bentuk - sumbu di Ciung dan Pasoyanan

Tegangan	Ciung		Pasoyanan	
	HF	AE	HF	AE
α_x^*	4,08	3,84	3,89	7,21
α_y^*	0,41	2,77	3,01	4,18
α_{xy}^*	0	0	0	0
$B(\%)$	77	22	46	29

Tabel VIII.13. Tegangan normal dalam perempang dua dimensi untuk Bust-Tensir di Ciung dan Panayukan



Tegangan pada perempang tersebut menggambarkan kondisi tegangan isotropi yang bekerja pada lokasi tukik iji. Sumbu puting menunjukkan tegangan normal maksimum dan sumbu pendek mensajikan tegangan normal minimum. Sumbu 0 menunjukkan sumbu tegangan normal maksimum atau minimum, yang merupakan perpotongan sebesar 0 dari sumbu-x. Sebagai contoh, pada perempang bust-tensir di Ciung dengan uji rolok hidrolik, sumbu tegangan normal maksimumnya berpada 76° dari sumbu x untuk jarak jauh jauh.

VIII.6.2. Penentuan Tegangan Isotropi Tiga Dimensi

Penentuan tegangan prinsipil dilakukan dengan menggunakan tensor tegangan. Dalam kasus pengujian dengan metode rolok hidrolik dan Emisi Akustik, maka komponen tensor tegangan tersebut ditentukan dari hasil pengujian rolok hidrolik dan emisi akustik sehingga diperoleh tensor sebagai berikut :

$$\begin{bmatrix} \sigma_x & \tau_{yx} & \tau_{zx} \\ \tau_{xy} & \sigma_y & \tau_{zy} \\ \tau_{xz} & \tau_{yz} & \sigma_z \end{bmatrix} = \begin{bmatrix} \sigma_x & \tau_{yx} & \tau_{zx} \\ \tau_{yv} & \sigma_y & \tau_{zy} \\ \tau_{zv} & \tau_{yz} & \sigma_z \end{bmatrix} \quad (\text{VIII.2})$$

Dapat dikatakan bahwa $\sigma_x, \sigma_y, \sigma_z$ merupakan tegangan yang bekerja pada arah sumbu Utara, Timur dan Vertikal. Sedangkan $\tau_{yx}, \tau_{zy}, \tau_{xz}$, adalah tegangan geser yang bekerja pada bidang yang dibentuk oleh dua sumbu yaitu Utara-Timur, Timur-Vertikal, dan Utara-Vertikal. Tegangan prinsipal tiga dimensi diberikan dengan menggunakan persamaan nilai Eigen dari vektor Eigen dari tensor tegangan tersebut dengan menggunakan penyelesaian persamaan matriks sebagai berikut.

$$|\sigma[\alpha] - [\lambda][\alpha]| = 0 \quad (\text{VIII.3})$$

Keterangan :

α = tegangan yang dicari,

$[1]$ = matrik identitas, dan

$[\alpha]$ = vektor eigen yang nilainya tidak sama dengan nol

$[\lambda]$ = tenstor tegangan

Dengan menganggap $[\alpha][1] - [\lambda][\alpha]$ merupakan matrik B, maka

$$[\alpha] = \begin{bmatrix} \sigma - \sigma_x & -\tau_{yx} & -\tau_{zx} \\ -\tau_{xy} & \sigma - \sigma_y & -\tau_{zy} \\ -\tau_{xz} & -\tau_{yz} & \sigma - \sigma_z \end{bmatrix} \quad (\text{VIII.4})$$

$$[\alpha][\alpha] - [\lambda][\alpha] = 0 \quad (\text{VIII.5})$$

sehingga

$$[\alpha] - [\lambda][\alpha]^{-1}[0] \quad (\text{VIII.6})$$

Agar $[\alpha]$ tidak sama dengan nol, maka $[\alpha][1] - [\lambda][\alpha]$ harus tidak mempunyai invers, sehingga determinananya harus sama dengan nol.

$$\det([\alpha][1] - [\lambda][\alpha]) = \det[B] = 0 \quad (\text{VIII.7})$$

Persamaan determinan tersebut akan menghasilkan persamaan pangkat tiga sebagai berikut :

$$\alpha^3 + a\alpha^2 + b\alpha + c = 0 \quad (\text{VIII.8})$$

Pembahasan persamaan paagkat tiga tersebut akan menghasilkan nilai σ_1 , σ_2 , σ_3 yang merupakan nilai Eigen yang memenuhi ketiga prinsipalnya. Arah tegangan prinsipal dapat ditentukan dengan mencari vektor Eigen dari masing-masing nilai Eigennya menggunakan kisi-kisi arah dari tegangan prinsipalnya (Gambar VII.4) dengan menyelidiki persamaan sifat-sifat seperti di bawah ini :

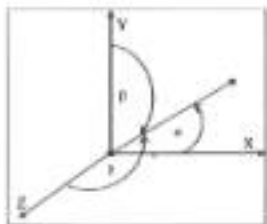
$$l(\sigma_x \sigma_1) + m(\tau_{xy}) + n(\tau_{xz}) = 0 \quad (\text{VIII.9})$$

$$l(\sigma_y \sigma_2) + m(\sigma_y \sigma_3) + n(\tau_{yz}) = 0 \quad (\text{VIII.10})$$

$$l(\sigma_z \sigma_3) + m(\tau_{yz}) + n(\sigma_x \sigma_2) = 0 \quad (\text{VIII.11})$$

Persamaan tersebut akan menghitung nilai l , m , n yang merupakan cos α , cos β , dan cos γ . Satu hal yang harus diperhatikan, karena ketiga tegangan tersebut adalah tegak lurus, maka :

$$l^2 + m^2 + n^2 = 1 \quad (\text{VIII.12})$$



Gambar VIII.4. Posisi α , β , γ yang digambarkan dalam suatu vektor

Arah kemiringan dan kemiringan tegangan ini yang bekerja dapat ditentukan dengan menggunakan rumus sebagai berikut.

$$\text{Arah kemiringan} = \tan^{-1} \left(\frac{m}{l} \right) \quad (\text{VIII.13})$$

Kemiringan

$$\approx \cos^{-1} 0.99^2$$

(VIII.14)

Berdasarkan pengukuran tersebut kondisi tegangan ini pada tiga dimensi di Ciung dan Panoyuman adalah seperti yang tercantum dalam Tabel VIII.14.

Tabel VIII.14. Tegangan Prinsipal Tiga Dimensi di Ciung dan Panoyuman

Tegangan Prinsipal (MPa)	Ciung		Panoyuman	
	HF	AE	HF	AE
σ_1	4,83 (0,158/0,46)	21,17 (0,698/0,71)	3,94 (0,099/0,45)	30,18 (0,4108/0,78)
σ_2	3,95 (0,087/0,71)	16,14 (0,6007/0,7)	3,22 (0,0234/0,41)	16,98 (0,4178/0,63)
σ_3	0,32 (0,008/0,11)	9,32 (0,2331/0,02)	2,25 (0,176/0,7)	11,79 (0,316/0,18)

Selanjutnya dilakukan koreksi terhadap hasil pengujian nilai akustik, tabel VIII.14 berikut merupakan komplisi akhir dari tegangan ini pada menggunakan metode langsung dan metode titik langsung serta permoderasi numerik.

Tabel VIII.15. Komplisi tegangan prinsipal hasil pengujian nilai hidrolik, nilai akustik terkoreksi di Ciung dan Panoyuman

Tegangan Prinsipal (MPa)	Ciung		Panoyuman	
	HF	AE Terkoreksi	HF	AE terkoreksi
σ_1	4,83 (0,158/0,46)	5,2 (0,2003/0,71)	3,94 (0,099/0,45)	7,46 (0,4108/0,78)
σ_2	3,95 (0,087/0,71)	3,9 (0,2007/0,7)	3,22 (0,0234/0,41)	4,17 (0,4178/0,63)
σ_3	0,32 (0,008/0,11)	2,33 (0,2331/0,02)	2,25 (0,176/0,7)	3,88 (0,316/0,18)

Gambungan tegangan tersebut dalam sistemot dapat dilihat pada Gambar VIII.5 untuk kondisi Ciung dan Gambar VIII.6 untuk lokasi Panoyuman.

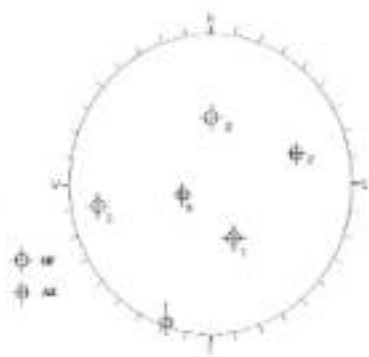


Grafico VIII.5. Sternocleidomastoid di Cing.

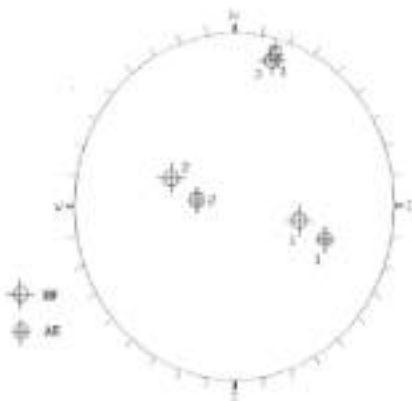


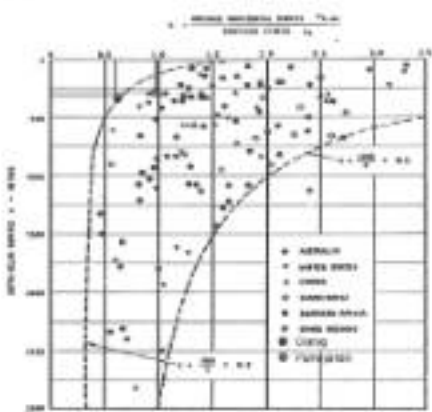
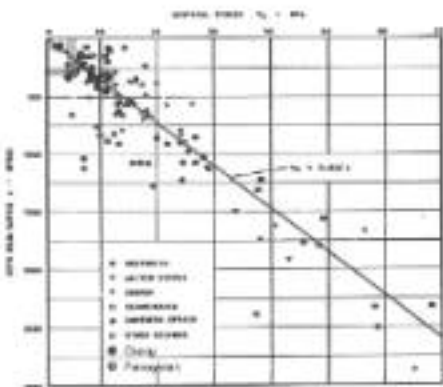
Grafico VIII.6. Sternocleidomastoid di Pectoralis.

Jika dibandingkan dengan pengakuran tegangan ini di beberapa lokasi oleh Heck dan Brown, maka plotting hasil pengukuran tegangan ini di hasil uji uji hidrolik pada grafik Heck dan Brown (Gambar VIII.3) dapat dilihat dalam Gambar VIII.7. Pada garis tersebut terdapat bahwa hasil pengakuran tegangan ini di dalam penelitian ini berada dalam range hasil pengukuran Heck dan Brown pada beberapa lokasi. Gambar VIII.7.a menunjukkan bahwa tegangan vertikal yang diperoleh terhadap kedalaman yaitu 3,08 MPa pada kedalaman 290 m untuk Ciung dan 4,5 MPa pada kedalaman 275 m untuk Pamoyanan. Pada Gambar VIII.7.b. menggambarkan nilai k hasil pengujian terhadap kedalaman. Nilai k untuk Ciung adalah 0,58 dan untuk Pamoyanan 0,69.

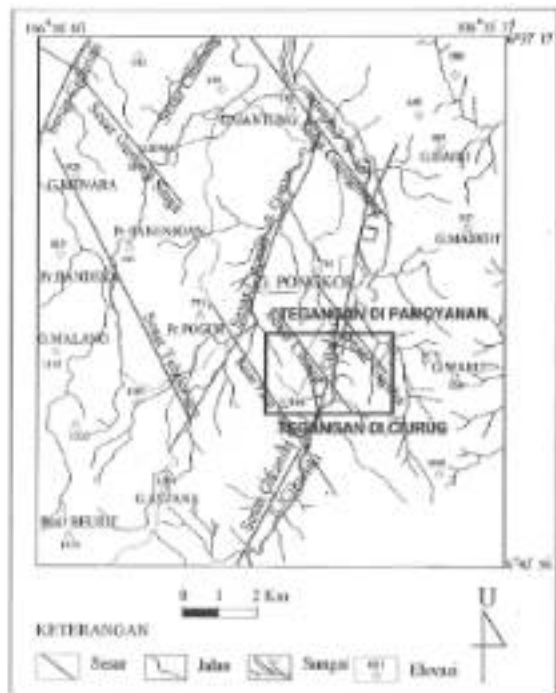
VIII.7. Kajian Arah Tegangan Isotro

Arah tegangan isotro hasil uji diverifikasi melalui studi struktur geologi di lokasi pengukuran dan juga dengan menggunakananya terhadap kajian genetis arah tegangan hasil pemilihan sektor PT Anak Tambang UIRPI Pangkor dan Jurusan Geologi Universitas Padjadjaran (2001). Jika arah tegangan isotro hasil uji uji hidrolik digambarkan dalam peta struktur tanah yang ada Pangkor, maka akan diperoleh gambaran seperti pada Gambar VIII.8 dan Gambar VIII.9.

Lokasi pengakuran di Ciung dipengaruhi oleh sesar Ciung yang berarah barat laut – tenggara (N 315 E / 75) dan berpotongan dengan sesar Cikaniki yang berarah Utara Timur Laut – Selatan Barat Daya (N 207 E/ 26). Uji uji hidrolik menunjukkan tegangan principal isotro di Ciung dengan arah barat laut – tenggara seperti yang tampak pada Gambar VIII.8. Lokasi pengujian di Ciung berjarak sekitar 150 meter dari sesej Ciung sedangkan dari sesej Cikaniki sekitar 500 meter, sehingga dapat dikatakan bahwa tegangan yang terukur lebih dipengaruhi oleh sesar Ciung. Kajian struktur pada sub sub III.5.2.2 menjelaskan bahwa posisi daerah Ciung berada tegangan dalam kisaran arah barat laut – tenggara hingga timur laut – barat daya.



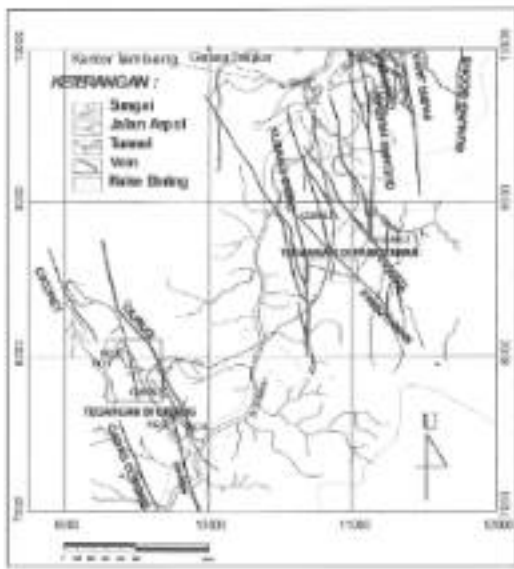
Grafik VIII.2. Plotting hasil uji statis hidrolik pada grafik Heek dan Brown.



Gambar VIII.8 Pengaruh arah tegangan pada struktur regional Pongkor

Seperi ditunjukkan pada Gambar VIII.8 (dalam kotak) adanya arah Cikariki yang berada di antara arah seniur Cipadu dan seniur Pasir Pogok imoting oleh seniur Ciung sehingga terjadi pergeseran relatif pada seniur Cikariki. Pergeseran relatif ini membagi seniur Cikariki menjadi dua bagian yaitu bagian I dan bagian II. Dapat dikatakan tegangan prinsip antara hasil uji rutin hidrolik yaitu H 15B E seuai dengan arah pergeseran seniur Cikariki.

Lokasi pengaliran di Pamayanan berada di utara sungai Cigudeg, sekitar 4 km arah Kalsang Ciawi yang berarah N 330 E / 30 dan arah Pamayanan yang berarah N 145 E / 83 (lihat Gambar VIII.9). Pada Gambar VIII.9 ini terlihat bahwa pengaliran tegangan arah di dalam Pamayanan berarah memungkinkan arah N 90 E / 45. Batuan kapur struktur gelang (sub bahan BII.5.2.2) dihubungkan melalui tegangan prinsip sejajar di selatan utara Cikandit adalah membedakannya dengan arah Cikandit dan tegak lurus dengan arah Cigudeg. Uji masih berlaku di Pamayanan menunjukkan arah tegangan prinsip sejajar yang berarah N 90 E dan arah tersebut (lihat Gambar VIII.8).

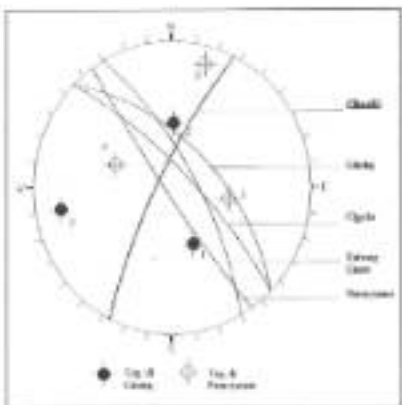


Gambar VIII.9 Penggambaran arah tegangan di lokasi pengaliran.

Kajian penulis diatas Pangkor mengatakan bahwa sesar stena adalah sesar Cikaniki. Aktivitas vulkanik yang terjadi pada Janus Misien Akhir - Pioner menyediakan terjadinya penggulungan dan deformasi tektonik yang mengakibatkan prosesesse dan manifestasi sesar baru. Teori Griffith menyatakan bahwa retakan batu akan berlangsung terbatas tegak lurus terhadap retakan yang telah ada. Fenomena ini ditunjukkan dengan munculnya sesar-sesar baru, seperti sesar Ciung dan sesar Ciguba yang hampir tegak lurus dengan sesar Cikaniki. Pada Janus Pioner, putuh dan sesar baru tersebut terdiri dari mineralisasi prima mineralisasi sehingga menjadi batuan bijih stena di Pangkor antara lain unit Ciung, unit Kubang Cicur, unit Panoyasan, unit Ciguba dkk.

Aktivitas tektonik dan proses mineralisasi saat itu bisa menyebabkan benturan diantara tegangan di daerah tersebut, sehingga menjadi hampir sejajar dengan unit-unit di Pangkor. Struktur mineralisasi tidak terdapat lagi perisikan tektonik besar yang mengubah strukturnya sebaliknya. Sehingga tegangan yang berada tidak banyak berubah hingga sekarang. Lokasi pengukuran tegangan ini di Panoyasan berada sekitar 30 meter dari unit Panoyasan. Dapat dikatakan bahwa arah tegangan ini yang tenang (N 99 E) dipengaruhi oleh unit Panoyasan.

Gambar VIII,19 berikut ini menunjukkan arah tegangan ini di pangkor dengan uji reka hidrolik di lokasi pengukuran terhadap bidang sesar. Bidang yang tergambar dalam sketsa tersebut merupakan bidang sesar stena Cikaniki dan bidang-bidang sesar yang menjadi unit conn-superfici unit Ciguba, unit Panoyasan, unit Kubang Cicur, dan unit Ciung. Tegangan ini di uji rekoh hidrolik di Ciung dan Panoyasan diperbaiki dalam sirisel. * untuk uji di Panoyasan dan + untuk uji di Ciung. Angka 1, 2, dan 3 menunjukkan tegangan prinsipal maksimum, intermediet dan minimum. Tampak dalam gambar bahwa arah tegangan di Ciung dan di Panoyasan mendekati orientasi utar dan hampir tegak lurus terhadap sesar utama, yaitu sesar Cikaniki.



Gambar VIII.13. Stabilitas tegangan maksimal uji sekitar bahan-bahan di Cuci dan Pencuci dan rasio daya hidang sasis

VIII.6. Uji dan Pendekatan Empiris

Dari beberapa pengujian yang dilakukan, hasil uji sekitar bahan-bahan yang diberi ini sebagai uji standar, dapat dilihat dengan uji rasio sikait sebagai uji **adhesive** dengan metode dan pendekatan terhadap sasis tangganya. Pengujian menunjukkan bahwa hasil uji sekitar bahan-bahan berbanding terbalik dengan batunya sebesar tinggi, sehingga dapat dikonfirmasi:

$$\sigma_{\text{adhesive}} = \frac{1}{f(\theta)}$$

Dengan karena menggunakan pendekatan parameter waktu tanggu, maka uji sekitar bahan-bahan dapat didefinisikan dengan pendekatan empiris sebagai berikut:

$$\sigma_{\text{adhesive}} = \frac{\theta^2 \cdot g}{f(\theta)}$$

Ketemuang:

Keterangan :

- α_{uj} = tegangan hasil uji rekuh bidolik pada arah yang sama dengan arah tegangan uji emisi akustik
- α_{ar} = tegangan hasil uji emisi akustik
- $f(t)$ = fungsi waktu tunggu untuk jenis batuan tertentu pada daerah terestris
- t = waktu tunggu dari pengeluaran hingga pengujian emisi akustik

Dalam penelitian ini, fungsi waktu tunggu yang diperlukan untuk batuan tulih bidolik di daerah Praigkor adalah $f(t) = 93.299 \cdot \ln(t) - 33.297$ dengan t) merupakan persamaan perbandingan tegangan maksimum cik. Kaiser dengan waktu tunggu x hari terhadap tegangan maksimum cik. Kaiser dengan waktu tunggu 2 hari

Perspektif ini dapat digunakan untuk memantulkan tegangan inisial pada tekton yang sama dan jenis batuan yang sama. Jika kondisi batuan berbeda, maka harus ditentukan fungsi waktu tungganya secara dengan jenis batuan tersebut.

Bab IX Kesimpulan

Penelitian diolah dengan membandingkan penilaian pengukuran tegangan imbu menggunakan metode relatif hidrolik. Selesanjarnya penilaian ini dipandang untuk menentukan tegangan imbu dengan metode lungsinan nikah hidrolik di tanah yang berada di dalam tanah tanah Pougher di dua lokasi, yaitu di Cireng dan Pamayanan. Kondisi batuan di kedua lokasi mempunyai karakteristik yang sama, yaitu bobot ini $2,17 - 2,27 \text{ ton/m}^3$, kuat tekan uniaxial sekitar $26-50 \text{ MPa}$, modulus elastisitas $5000 - 8000 \text{ MPa}$, dan nisbah Poisson 0,25. Hasil pengukuran tegangan imbu dengan metode relatif hidrolik di kedua lokasi dapat dilihat pada Tabel IX.1.

Tabel IX.1. Komparasi tegangan imbu hasil pengujian dengan uji nikah hidrolik dan uji erosi akustik.

Tegangan (MPa)	Cireng			Pamayanan		
	RH	AE	AE haruskil	RH	AE	AE haruskil
σ_b	3,62	31,17	3,04	2,49	16,33	4,14
σ_t	0,61	16,13	3,84	4,41	26,44	6,50
σ_c	1,08	11,03	2,77	4,50	19,07	4,33
σ_{ek}	-0,73	-2	-0,67	-0,55	-5,25	-0,8
σ_{ek}	0,83	2,14	0,51	1,44	5,30	1,38
σ_{ek}	-0,79	0,53	0,43	-0,023	-1,97	-0,48

Uji erosi akustik di laboratorium dilakukan untuk menentukan tegangan imbu dengan metode tidak lungsinan. Hipotesis awal yang dituliskan bahwa hasil uji erosi akustik dipengaruhi oleh waktu tanggu yang digunakan dengan melakukan pengujian erosi akustik dengan waktu tanggu yang berbeda-beda menggunakan contoh batuan dari Cireng. Hasil pengujian menunjukkan antara pendekatan empiris yang dapat diterapkan pada hasil uji erosi akustik sesuai dengan waktu tangganya. Setelah dibuktikan pendekatan dengan grafik pengaruh waktu tanggu, hasil uji erosi akustik mendekati hasil uji nikah hidrolik (lihat Tabel IX.1). Dengan karakteristik batuan yang sama, pendekatan ini diterapkan pada hasil uji erosi akustik di Pamayanan. Hasilnya juga memperjelaskan nilai yang mendekati uji nikah hidrolik.

Permodelan numerik dilakukan sebagai analisis batik untuk mendapatkan kondisi distribusi tegangan di lokasi penelitian. Tegangan yang dimodellkan adalah tegangan mili (sigma stress) dan tegangan kerangka (frame stress) karena pengaruh keruangan. Permodelan dibuat dalam kondisi ideal, yaitu batok dianggap homogen, isotrop dan kontinyu.

Tegangan hasil pengukuran pada Tabel IX.1 merupakan tensor tegangan untuk perhitungan tegangan prinsipal di lokasi pengujian dengan menggunakan nilai Eigen dan vektor Eigen tensor tersebut. Tegangan prinsipal hasil perhitungan dapat dilihat pada Table IX.2.

Tabel IX.2. Tegangan prinsipal hasil pengukuran dengan metode langsung dan metode tidak langsung di Ciaring dan Pasayuan.

Tegangan Prinsipal (MPa)	Ciaring		Pasayuan	
	HIF	AE Terkorreksi	HIF	AE terkorreksi
σ_1	4,83 (0,587/86)	5,2 (0,588/11)	5,91 (0,997/45)	5,48 (0,991/78)
σ_2	3,91 (0,403/42)	3,9 (0,400/25)	3,22 (0,294/40)	4,11 (0,731/47)
σ_3	0,33 (0,260/11)	2,53 (0,233/46)	2,25 (0,176/7)	3,88 (0,144/4)

Kajian struktur geologi yang telah dilakukan oleh Puskor digunakan untuk memverifikasi analisis tegangan prinsipal hasil pengukuran. Hasilnya menunjukkan bahwa kajian struktur tersebut mendukung analisis tegangan prinsipal hasil uji relatif hidrolik.

Berdasarkan hipotesis yang menjadi dasar penelitian ini dan dengan melihat pengujian analisa dan kajian hasil pengukuran, maka dapat ditarik kesimpulan sebagai berikut.

1. Penelitian teknik hidrolik yang berhasil dibuat dalam penelitian ini dapat digunakan untuk pengujian dan aplikasi di lapangan dengan kebutuhan perekor mencapai 25 MPa.
2. Tegangan intitu hasil uji relatif hidrolik dapat digunakan sebagai acuan perekaman tegangan intitu dalam penelitian ini. Hal ini diketahui dengan

Pemodelan numerik dilakukan untuk mendapatkan kondisi distribusi tegangan di lokasi penelitian. Tegangan yang dimodelkan adalah tegangan axial (sigma axial) dan tegangan tangensial (sigma shear) karena permasalahan konvergen. Permodelan dibuat dalam kondisi ideal, yaitu batuan dianggap homogen, isotrop dan kontinu.

Tegangan hasil pengukuran pada Tabel IX.1, merupakan bahan bantuan untuk perhitungan tegangan prinsipal di lokasi pengujian dengan memastikan nilai Eigen dan vektor Eigen teksur tersebut. Tegangan prinsipal hasil perhitungan dapat dilihat pada Tabel IX.2.

Tabel IX.2. Tegangan prinsipal hasil pengukuran dengan metode langsung dan metode tidak langsung di Ciamig dan Parroyanan.

Tegangan Prinsipal (MPa)	Ciamig		Parroyanan	
	HF	AE Terkorelasi	HF	AE terkorelasi
σ_1	4,63 (0,988±0,06)	3,2 (0,980±0,1)	3,43 (0,992±0,05)	3,46 (0,983±0,05)
σ_2	2,95 (0,980±0,2)	1,9 (0,982±0,1)	3,22 (0,984±0,04)	4,17 (0,794±0,2)
σ_3	0,32 (0,988±0,1)	2,33 (0,973±0,07)	2,25 (0,976±0,1)	3,88 (0,986±0,1)

Kajian struktur geologi yang telah dilakukan oleh Pengker digunakan untuk memverifikasi arah tegangan prinsipal hasil pengukuran. Hasilnya menunjukkan bahwa kajian struktur tersebut menunjukkan arah tegangan prinsipal hasil uji coba hidrolik.

Bila suatu hipotesis yang menjadi dasar penelitian ini dan dengan melihat pengujian, analisis dan kajian hasil pengukuran, maka dapat ditarik kesimpulan sebagai berikut.

1. Posisi titik hidrolik yang berhasil dibuat dalam penelitian ini dapat digunakan untuk perpaduan dan aplikasi di lapangan dengan ketebalan paket mencapai 25MPa.
2. Tegangan intisit batu uji relok hidrolik dapat digunakan sebagai sumber penentuan tegangan intisit dalam penelitian ini. Hal ini dibuktikan dengan

- nilai tegangan vertikal hasil permodulasi numerik yang memperjukau nilai yang mendekati nilai tegangan vertikal uji rekat hidrolik.
3. Bocoran yang diperoleh dari metode longgar / uji rekat hidrolik yang diolahnya sebagai uji standar dapat diwakili oleh uji indeks yang dalam hal ini metode tidak langsung memiliki akurasi dengan menggunakan pendekatan empirik.
 4. Pendekatan empirik yang dilakukan terhadap hasil uji omisi akustik merupakan fungsi waktu tangga yang sangat berpengaruh terhadap hasil uji.
 5. Secara umum, berasarkan tegangan hasil hasil uji rekat hidrolik dapat didekati dengan uji omisi akustik dengan pendekatan $\sigma_{\text{av}} = \frac{\sigma_{\text{st}}}{f(t)}$, dengan $f(t)$ adalah fungsi waktu tangga untuk batuan tersebut.
 6. Pendekatan yang diperoleh hanya berlaku pada daerah dan kondisi batuan yang sama. Hal ini salah ditunjukkan pada daerah Parayakan yang mempunyai karakteristik batuan yang sama dengan di Cireng.
 7. Kombinasi metode pengukuran langsung dan metode pengukuran tidak langsung dapat dipelajari di lapangan untuk mendapatkan nilai tegangan inti yang lebih representatif dengan memperbaiki pendekatan empirik di antara kedua metode tersebut. Dengan demikian dapat mengantangi jumlah pengujian metode pengukuran langsung, namun hasilnya tetap akurat.
 8. Pengukuran tegangan inti tidak dapat dipisahkan dari analisa struktur geologi di daerah penelitian. Verifikasi arah tegangan inti hasil pengujian mengacu pada struktur geologi daerah tersebut.

Keluaran dari penelitian ini mempunyai manfaat dari segi keilmuan dan terapan.

Dari segi keilmuan, penelitian ini mempunyai manfaat :

1. Mengembangkan pengetahuan mengenai pengukuran tegangan inti tiga dimensi, khususnya di Indonesia, dengan menggunakan gabungan antara metode pengukuran langsung (uji rekat hidrolik) dan metode pengukuran tidak langsung (uji omisi akustik).

2. Membandingkan bahwa kedua metode tersebut dapat dikorelasikan
3. Menformulasikan pengaruh waktu tangguh contoh batuan dalam uji erosi akustik ke dalam suatu bentuk grafik antara waktu tangguh contoh batuan dengan efek Kaiser yang maksimal.
4. Mengembangkan pengujian pada pendekatan empirik tersebut pada hasil uji erosi akustik sejajarannya pada batuan yang sama dan lokasi yang sama.

Dari segi posisipan dan praktis, penelitian ini mempunyai kontribusi sebagai berikut:

1. Penelitian uji teknik hidrolik berhasil dilakukan dengan biaya yang masih lebih murah daripada mendidik dari luar negeri. Penelitian ini telah dapat digunakan untuk menentukan tegangan intis pada metadiorit.
2. Hasil pengukuran tegangan intis yang diperoleh dalam penelitian ini dapat digunakan oleh PT. Antika Tambang UEPPE Pengkor untuk perencanaan terowongan dan legatan bawah tanah lainnya.
3. PT. Antika Tambang UEPPE Pengkor dapat melaksanakan penemuan tegangan intis di lokasi lain di daerah Pengkor yang mempunyai kondisi batuan yang sama dengan kondisi batuan dalam penelitian ini dengan memerlukan pendekatan empiris uji erosi akustik.

Dari uji teknik hidrolik dan uji erosi akustik yang telah dilakukan baik di laboratorium dan lapangan ada beberapa hal yang perlu diperhatikan, yaitu :

1. Persiapan teknik hidrolik perlu dilengkapi dan diperbaiki, khususnya peningkatan kapasitas pompa, sehingga dapat digunakan pada batuan yang lebih keras, dan perbaikan alat periksa data elektronik sehingga mampu merekam volume cairan yang digunakan. Di samping itu berikut adalah hal-hal yang perlu diperbaiki selanjutnya dengan penelitian :

a. Lubang bor

Lubang bor yang telah dipersiapkan untuk uji teknik hidrolik sebaiknya diperbesar (reaming) dahulu sebelum digunakan untuk pengujian.

b. *Straddle packer*

Bagian yang paling berasal dari *straddle packer* adalah bagian kopling busi. Dalam beberapa kali penggunaan (≥ 5 kali) cenderung untuk buceh pada bagian koplingsnya. Diketahui itu pada diperbaiki sistem kopling dan konstruksinya serta peringkatkan kelestanjaan perbaikannya.

c. *Impression packer* dan karet pencairan

Karet pencairan selalu cenderung tergantung, dan untuk memperkecil resiko tergantungnya karet pencairan akhirnya disarankan untuk menggunakan karet dan kait sebagai perikatan untuk mengikat karet pada *impression packer*. Selain itu, agar proses pencetakan tidak dilebih oli yang berada di dalam lubang horisontalnya dibersihkan dahulu.

d. Perekam dan elektronik

Perekam data elektronik harus diletakkan di tempat yang stabil dan sebelah digunakan harus dikalibrasi dahulu untuk menyematkan nilai tekanan antara perekam data dan *pressure gauge*.

e. Busi penghantar

Busi penghantar perlu diperbaiki dengan sklarin yang sejauh dan sistem pengacian yang lebih praktis sehingga mempermudah pemantauan.

f. Penyambungan bagian sub-sub

Dalam merangkai *packer* dan bagian-bagiannya, penggunaan *O-ring* dan seal tape sangat penting untuk menegaklik kelestanjaan.

g. Pompa

Meskipun tidak membedakan model, namun akan lebih baik jika untuk teknologi *straddle* dan *impression* *packer* juga digunakan pompa elektrik, sehingga aliran oli hidrolik lebih kontinyu dan stabil.

h. Penggunaan air dan oli habut

Campuran oli habut dan air dengan perbandingan 1 : 25 dihampon meski memiliki sifat seperti oli, dan bayangan lebih rendah daripada menggunakan oli sebenarnya. Disarankan untuk menghindangkan penutupan porosian relas hidrolik dengan menggunakan air.

1. *Borehole Camera*

Diajukan untuk menggunakan borehole camera sebagai alternatif pengamatan impression packer dalam melihat posisi rekat dan perapatan.

2. Uji rilah hidrolik dan uji emisi sifatik

Pada penelitian pada dasarnya, Silitadi (2002) menemukan bahwa efek Kaiser tidak muncul pada batuan piroklastik dari Pengkor. Karena itu, dalam menggunakan metode pengukuran langsung dan metode pengukuran tidak langsung harus memperhatikan mengenai bentuk batuan di lokasi pengukuran. Uji emisi sifatik tidak berlaku pada batuan piroklastik, sehingga uji rilah hidrolik sebaiknya tidak dilakukan pada batuan dengan jenis batuan piroklastik.

3. Penelitian ini bisa dikembangkan dan dikaitkan dengan penelitian lainnya, seperti :

- Penelitian mengenai uji emisi sifatik pada batuan tan dengan jenis batuan yang berbeda-beda.
- Penelitian untuk memerlukan karakteristik material dari hasil uji rilah hidrolik, yang sangat bergantung pada bidang ilmu teknik sipil.
- Dalam bidang teknik pertambangan, penelitian bisa diconduktif untuk mempelajari grafik hasil uji rilah hidrolik untuk menentukan dinamika relaksasi yang terjadi dalam hubungannya dengan kriminopon batuan untuk mengalirkan fluida.

Bahan Pustaka

1. Alavi Seyed, A.S. (1987), The Influence of Subsurface Conditions on Hydraulic Fracturing Induced Fractures in Deep Rocks. Proc. 1st Japan - USA Symp. on Fracture Mechanics Approach, Hydraulic Fracture and Geothermal Energy. Sendai Japan, dalam Whitsaker,B.N, Singh, R.N, Saa, G. (1992) *Rock Fracture Mechanics, Principles, Design and Applications: Development in Geotechnical Engineering*, 71, Elsevier, Amsterdam.
2. Ask, D dan Stephansson, O. (2003), Hydraulic Rock Stress Measurement in The Björkfjöle Metamorphic Igneous Structure, Lake Mälaren, Sweden. *Proc. of 3rd Int'l Symp. on Rock Stress*, RS Kusamatsu'03, 4-6 November, Kusamatsu, Jepang.
3. ASTM E 610-77, dalam Knobbehuis, S. (2000), *Review on The Use of Acoustic Emission Method for In-situ Stress Determination*. In collaboration between Dept of Mining Engineering, ITB, Indonesia dan Dept. of Earth Resources and Mining Engineering, Kyushu University, Japan.
4. Basuki A., Suminagata D.A., dan Simbolela D. (1994), The Gunung Pangit Gold Silver Deposit, West Java. *Journal of Geochemical Exploration*, Vol. 50 No. 1-3, Elsevier, Amsterdam, 371 - 391.
5. Baumgartner, J dan Zoback, M.D. (1989), Interpretation on Hydraulic Fracturing PREDRET - Time Records Using Interaction Analysis Methods. *Int. J. Rock Mech. Min. Sci. and Geotech. Abstr.*, 26, 661-669.
6. Beer, G., BHP, CSS. (1999), *User's and Reference Manual, Computer Software and Services International*. Austria. Website : <http://www.eis.tu.graz.ac.at/b>
7. Bouwens, H.W Van.(1949), *The Geology of Indonesia*. The Hague Martinus Nijhoff, Vol. 1A.
8. Bieniawski Z.T. (1961), *Stability Concepts of Brute Fracture Propagation in Rock*. Engineering, Geology.
9. Bieniawski, Z.T. (1984), *Rock Mechanics Design in Mining and Tunneling*, A.A. Balkema, Rotterdam.
10. Boyce, G.M., McCaig W.M, dan Kooser R. (1981), Acoustic Emission Signatures of Various Rock Types in Unconfined Compression. ASTM STP, dalam Friendel, M.J., TMILRE. (1989). U.S. Bureau of Mines Research on the Kaiser Effect for Determining Stress in Rock. *Journal of Acoustic Emission*, Vol.12, No.3/4, 877-889.
11. Brady, B.H, dan Brown, E.T. (1993), *Rock Mechanics for Underground Mining*. George Allen dan Unwin (Publishers) Ltd, Park Lane, London.
12. Badavari, S. (1983), *Rock Mechanics in Mining Practice*. The South African Institute of Mining and Metallurgy Monograph Series MS.
13. Cerfie, M. (1994), Magmatic Arc and Associated Gold and Copper Mineralization in Indonesia. *Journal of Geochemical Exploration*, Vol. 50 Nos. 1-3, Elsevier, Amsterdam, 91 - 142.
14. Choi, S.O, dan Shin, H.S. (1997), Application of In-situ Stresses Measured by Hydraulic Fracturing to a Tunnel Design in Korea. *Proc. of the Int'l Symp. on Rock Stress*, 7-10 Oktober, Kusamatsu, Jepang.

13. Hardy, H.R.J., Zhang,D, dan Zelisko,J.C. (1989), Recent Studies the Kaiser Effect in Geologic Material. *Proc. of 4-th Conference on Acoustic Emission/Micromechanic Activity in Geologic Structure and Materials*, The Pennsylvania State University, 23-24 Oct., 1985, Trans Tech Publication, Clausthal, West Germany, 27 - 55.
14. Hartani, P.N.; Kramadibowo, S., Rai M.A.; dan K. Matsui. (2004), *Sosial Akustik Sebagai Metode Alternatif Penentuan Tegangan Intern Sifat Tidak Langsung*. Seminar Perkimpungan Aksi Pertambangan Indonesia (PIRKHAPI), Palembang
15. Hartani, P.N.; (2004), Determination of True Dissensional In-situ Stress by Means of Acoustic Emission Method in Pongkor Underground Gold Mine, Bogor, Indonesia. *Proc. of International Mining Studies Conference*, Brisbane, Australia.
16. Herget, U. (1988), *Stresses in Rock*. A.A. Balkema, Rotterdam.
17. Hickman S. H., dan Zoback M. D. *Interpretation of Hydraulic Fracturing Pressure – True Data for In-situ Stress Determination*. US Geological Survey, California, 103 – 146.
18. Heck, E., dan Brown, E.T. (1980), *Underground Excavations in Rock*. The Institution of Mining and Metallurgy, London.
19. Heck, E., Kaiser, P.K., dan Brudzinski, W.F. (1995), *Support of Underground Excavations in Hard Rock*. Rotterdam, Balkema.
20. Holcomb,D.J. (1993), General Theory of the Kaiser Effect. *Int. J. Rock Mech. Sci. and Geomech. Disc.*, Vol. 10, No. 7, 929 – 935.
21. Holcomb,D.J. (1993), Observation of the Kaiser Effect under Multiaxial Stress State : Implication for its use in Determining In-situ Stress. *Geophysical Research Letters*, Vol.20, No.19, 2199-2222
22. Holcomb,D.J dan Taaffe,L.W. (1981), Acoustic Emissions During Deformation of Jointed Rock. *Proc. of 3-ed Conference on Acoustic Emission/Micromechanic Activity in Geologic Structure and Materials*, The Pennsylvania State University, 5 – 7 Oct., Trans Tech Publication, Clausthal, West Germany, 37 – 44.
23. Hoboorn, dan D.J, Martin, R.J. (1985), Determining Peak Stress History Using Acoustic Emission. *Proc. of 26-th US Symposium on Rock Mechanics*, Rapid City, SD, 26-28 Juni, 715 – 722.
24. Hobbs, M.E. dan Willis,D.G. (1957), Mechanics of Hydraulic Fracturing. Trans AIME 210, hal. 153 – 163, dalam Whitaker,R.H, Singh, R.N, Sun, G. (1992) *Rock Fracture Mechanics: Principle, Design and Application*. Development in Geotechnical Engineering, 71, Elsevier, Amsterdam.
25. Hughes, D.R.; dan Crawford, A.M. (1987), Kaiser Effect Gridding : The Influence of Confining Stress on Its Response. *Proc. of 6-th Int. Congr. on Rock Mech.*, 2, 981 – 985.
26. Hudson, J.A. dan Harrison, J.P. (2000), *Engineering Rock Mechanics : An Introduction to The Principles*. Pergamon.
27. Ibjijima, Y. dan Roegiani, J.C. (1983), Fracture Initiation and Breakdown Pressure – Are They Similar ? . *Proc. 24-th US Symp. on Rock Mechanics*, C.C. Mathewson (Ed), Texas, A and M Univ, 761 – 772.

48. Ito, Koseishi dan Nishizawa, (1997), Stress Measurements by The Hydraulic Fracturing in the 1995 Hyogoken-nada Earthquake Source Region. Proc of the Int. Symp on Rock Stress, 7-10 October, Kumamoto, Japan.
49. Johnson, D.B. dan Cook, N.G.W. (1978), *An Analysis of Measured Value for the State of Stress in the Earth's Crust*. Int. Rep. Lawrence Berkeley Laboratory and Univ. of California, LBL-7071, dalam Jaeger, G. (1988) *Stress in Rock*, A.A. Balkema, Rotterdam.
50. Jaeger J.C. dan Cook N.G.W. (1979), *Fundamentals of Rock Mechanics*, 3rd Edition, Chapman and Hall.
51. Jengen,D. Kanagawa, W. dan Raegena,JL. (1995), *In-situ Stress Determination of Great Depth by Using Acoustic Emission Technique*. Rock Mechanics, Dusseau and Schmid (eds), Balkema, Rotterdam, 243 - 250.
52. Jenkins, A.R. (1983), *Rock Mechanics*, 2nd ed., Trans Tech Publication, USA, 13.
53. Kanagawa, T; Hayashi, M; dan Nakai, H. (1976), Estimation of Spatial Geostress Components in Rock Samples Using the Kaiser Effect of Acoustic Emission. Proc of the 3rd Acoustic Emission Symposium, Tokyo, Japan.
54. Karafikis, M.G. (1986), A Critical Review of Fracture to Hydraulic Fracturing Stress Measurement. Proc. SEM Spring Conf on Engg. Mech., hal. 141 - 147, dalam Whitaker, B.N., Singh, R.N., Sun, G. (1992) *Rock Fracture Mechanics, Principles, Design and Applications*. Development in Geotechnical Engineering, 71, Elsevier, Amsterdam.
55. Kirsch, G. (1896), Die Theorie Der Elastizität und die Bedeutung der Festigkeitslehre. Velt. Ver. Deut. Ing., 42, hal 797 - 807, dalam Hock, E. dan Brown, E.T. (1980) *Underground Fractures in Rock*. The Institution of Mining and Metallurgy, London.
56. Koekoekdium, R.P. (1962), *The Geology and Oil Possibility of Northern West Java*. Departemen Geologi ITB, dalam Geologi UNPAD, PT. Andika Tambang, (2001) Studi Sistematis Geologi Daerah Pengerok dan Sekitarnya. Pengerok
57. Komarayn, S (1999). *Ketidaksamaan Struktur Teromongan pada Batuan Lembah di Area Tambang Batubara Bawakaraeng Ombila Sawah Lembe, Samarinda Barat*. Disertasi Dokter, ITB.
58. Kurita, dan Fujii, N. (1979), Stress Memory of Crystalline Rocks in Acoustic Emission. *Geophysical Research Letters*, Vol.6, No.1, 9 - 12.
59. Kramadibrata, S. (2000), *Review on The Use of Acoustic Emission Method for In-situ Stress Determination*. In collaboration between Dept of Mining Engineering, ITB, Indonesia and Dept of Earth Resources and Mining Engineering, Kyushu University, Japan.
60. Kramadibrata, S. (2003), *Study of Estimation of Initial In-situ Stress using Acoustic Emission Method with cored rock samples for the purpose of mitigating stability of underground mines and tunnels*. Research Report of Amhi, ITB, Bandung.
61. Kramadibrata, S; Novi, Parjantis; Rai, M.A; Sulianto, H.; Watimena, R.K.; Matsui, K.; (2004), Determination of Three Dimensional In-Situ Stress Regime Using Hydraulic Fracturing and Acoustic Emission Methods. Proc of ARMS 2004, Kyoto, Japan.

62. Komaditama, S.; Novi, Puspitasari, Riri, M.A.; Solistiani, B.; Matmi, K.; Nakagawa, H. dan Gunilie, D. (2003), Development of Hydraulic Fracturing Test Apparatus in Indonesia. *Proc. of 3rd International Symposium on Rock Stress*, RS Kumamoto'03, Kumamoto, Japan.
63. Lee, M.Y. dan Hairison, R.C. (2003), Hydraulic Fracturing Stress Measurements at Yucca Mountain, Nevada. *Proc. of 3rd Inter. Symp. on Rock Stress*, RS Kumamoto'03, 4-6 November, Kumamoto, Jepang.
64. Li, C. dan Nordin, E. (1993), Experimental Verification of The Kaiser Effect in Rock. *Rock Mechanics and Rock Engineering*, Vol. 26, No. 4, 333 - 351.
65. Li, H. An, Q. dan Gao, Q. (2003), In-situ Stress Measurement by Hydraulic Fracturing and Hydraulic Jacking Experiment at Nouchida Hydro-power Station, China. *Proc. of 3rd Inter. Symp. on Rock Stress*, RS Kumamoto'03, 4-6 November, Kumamoto, Jepang.
66. Moninger, M. dan Hassel, F.P. (1992), *Application of Kaiser Effect to Measure In-situ Stress in Underground Mine*. Rock Mechanics, Tilation and Waveform (eds), Balkema, Rotterdam, 979 - 987.
67. Moninger, M., Hassel, F.P. dan Hardy,J.R. Jr. (1992), Maximum Cumulative Method: A Technique to Estimate Kaiser Effect Load from Acoustic Emission Data. *Journal of Acoustic Emission*, Vol. 10, No. 3/4, 61 - 65.
68. Morii, H., Sato, T., Sagihara, K., dan Nakamura, N. (1997), Comparison of the results of Stress Measurements Determined by Various Methods. *Proc. of the Inter. Symp. on Rock Stress*, Kumamoto, Japan, Oktober, 45-100.
69. McLennan, J.D. dan Rogers, J.C. (1982), Do Instantaneous Shot-in Pressure Accurately Represent the Minimum Principal Stress. *Proc. Workshop Hydraulic Fracture Stress Measurement*, Open File Report E2-1075, 01 - 207.
70. Milne, J.P., Marcus, E., Saito, T., Sosnigdak, M., Leroy, J., Baily, L. (1999), Pangkor (West Java Indonesia) : a Placer Supergene-enriched Epithermal Au-Ag-(Mn) Deposit. *Afroasiatic Deposits* 24, 131 - 149.
71. Michibiro, K., Hata, T., Fujisawa dan H. Yabuoka. (1988), *Estimation of In-situ Stress in Fissure Rock by Acoustic Emission*. Zairyo.
72. Minata,Y., Sano,O., Ogino,S., dan Kataki,H. (1987), Three Dimensional Stress Determination by Hydraulic Fracturing for Underground Excavation Design. *Int. J. Rock Mech. Min. Sci. and Geotech. Abstr.*, Vol 24, No. 1, 15 - 29.
73. Mogi, K. (1962), Study of Elastic Shock Caused by The Fracture of Heterogeneous Materials and Its Relation to Earthquake Phenomena. *Bulletin of Earthquake*, Tokyo University, Julian Friedel, M.J. Thill,J.R. (1989) U.S. Bureau of Mines research on the Kaiser Effect for Determining Stress in Rock. *Journal of Acoustic Emission*, Vol.12, No.3/4 , S73-S79.
74. Nega, D.O. (2003), *Model Pengukuran Stress - Peran Supergen Pada Evolusi Spesies Pipa Gunung*. Jurnal Skripsi. Diktori Dektor, ITB.
75. Nordin, E. dan Li, C. (1990), *Acoustic Emission and the Kaiser Effect in Rock Materials*. Rock Mechanics Contributions and Challenges, Iahsanid dan Johnson (eds), Balkema, Rotterdam. ISBN 90 6391 1238, 1043 - 1056.
76. Oertel, L. dan Davis, W.L. (1967), *Rock Mechanics and The Design of Structures in Rocks*. John Wiley and Sons, Inc. 420 - 425.

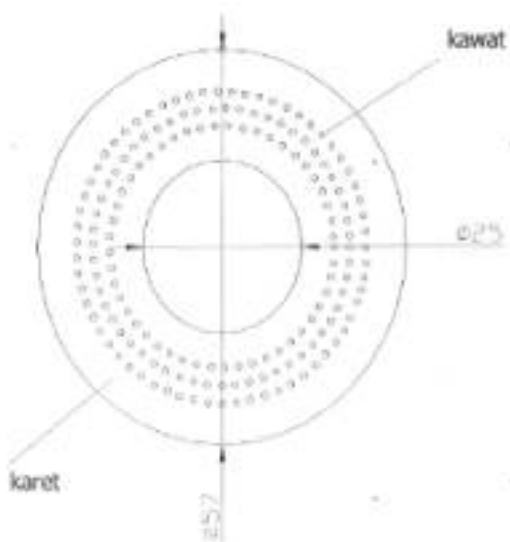
77. Pandit, G.N., Beer, G. dan William, J.R. (1990), *Numerical Methods in Rock Mechanics*. John Wiley and Sons.
78. Physical Acoustic Corporation. (1995), *Mistral 2001 AENCP-J2/J6 User's Manual*, Princeton, New Jersey.
79. PT. Anak Tambang, UBPH Pongkor. (2002), *Ketemu Cadangan Biji Tambang Samar Pongkor per 1 Juli 2002*. Pongkor.
80. Rai, M.A. (1999), On the Assessment of Tunnel Stability and Role of Field Measurements in Ombilin Underground Coal Mine, West Sumatra. *Proc. of The '99 Japan-Korea Joint Symposium on Rock Engineering*, K. Matsui and H. Shirasaki (eds), Fukuoka, Japan.
81. Rai, M.A.; Hestens, P.N., Kraanlibauta, S., Salistanto, H., Matsui, K., Saderman, H. dan Taufik, A.; (2004), *Application Of Acoustic Emission Method To Determine In-situ Stress At Pongkoran Pongkor Underground Gold Mine, Indonesia*. International Workshop on Earth Science and Technology, Kyushu University.
82. Sam, O. (1981), Technical Note : A Note on the Sources of Acoustic Emissions Associated with Subcritical Crack Growth. *Int. J. Rock Mech Min. Sci. and Geomech. Abstr.*, Vol.18, 259 - 263.
83. Sardis, G.N. (1961), *Stress Concentration Around Holes*. Pergamon, London. dalam Brady, B.H. dan Brown, E.T. (1993) *Rock Mechanics for Underground Mining*. George Allen and Unwin (Publishers) Ltd, Park Lane, London.
84. Schenck, R.V. (1970), An Experimental Study of Open Hole Hydraulic Fracturing as a Stress Measurement Method with Particular Emphasis on Field Test. Technical Report MRD-3-70, University of Minnesota, Minneapolis, dalam Whittaker, J.N., Singh, R.K., Sun, G. (1992) *Rock Fracture Mechanics: Principles, Ductile and Brittle Fracture*. Development in Geotechnical Engineering, 71, Elsevier, Amsterdam.
85. Seto, M., Nag, D.K., dan Vutukuri, V.S. (1999), In-situ Rock Stress Measurement from Rock Cores Using the Acoustic Emission Method and Deformation Rate Analysis. *Geotechnical and Geological Engineering*, 17, 1 - 26.
86. Seto, M., Utagawa, M., Katayama, K., dan Kiyama, T. (1997), Application of Acoustic Emission Technique to Determination of In-Situ Stress: Environmental and Safety Concern in Underground Construction. Lee, Yung dan Chang (eds), Balkema, Rotterdam, 691 - 696.
87. Seto, M.; Utagawa, M. dan Katayama, K. (1995), Application of Acoustic Emission technique to Determination of In-situ Stresses in Mines. *Proc. of 26th Int. Conf. Safety in Mining Research Institute*, Vol. 4, Central Mining Institute, Katowice, Poland, 95 - 109.
88. Soeria Atmadja, R. (1994), Tertiary Magmatic Belts in Java, *Journal of Southeast Asian Earth Sciences*, Pergamon Press Ltd, Great Britain, Vol.9, No.1 / 2, hal. 13-27, dalam Neary, D.G. (2005). *Model Pengaruh Esensi - Peran Superpon Pada Evolusinya Epitermal Tipe Untai Pongkor, Jawa Barat*. Disertasi Doktor, ITB.
89. Sondergeld, C.H. dan Estey, J.H. (1981), Acoustic Emission Study of Microfracturing during the Cyclic Loading of Westerly Granite. *J. Geophys. Res.*, V 86, 2915 - 2924.

90. Song, W.K.; Choi, S.O.; dan Park, C. (2003), Comparison of In-situ Stress Measured by Hydro-fracturing and Overcoring Method. Proc. of 7th Int. Symp. on Rock Stress, RS Kumanote'03, 4-6 November, Kumanote, Japan.
91. Sulistiano, B.; Hartani P.N.; Rai, M.A.; Kramadibrata, S.; Matsui, K.; Siswanto, M.S.; Sudarmaji, H. dan Taufik, A. (2004). *In-situ Stress Measurements in Pangkor Underground Gold Mine, West Java, Indonesia*. International Workshop on Earth Science and Technology, Kyushu University.
92. Sulistiano, B.; Novi, Pantjaitan; Rai, M.A.; Kramadibrata, S.; Matsui, K.; Nakagawa, H.; Siswanto, I.D.; Jere, E. dan Rissoo. (2003). Determination of In-situ Stress Using Hydraulic Fracturing Method at Pangkor Underground Gold Mine, West Java, Indonesia. Proc. of 7th International Symposium On Rock Stress, RS Kumanote'03, Kumanote, Japan.
93. Terzaghi,K. dan Richart,F.E. (1952). Stresses in Rock About Cavities. Geotechnique, 3, hal 57– 90, dalam Hoek, E. dan Brown, R.T. (1980). *Underground Excavations in Rock. The Initiation of Mining and Metallurgy*, London.
94. Utung, dan Wismadarmo. (1975). *Di dalam Laporan Studi Statistik Geologi Dasar Pangkor dan Sekitaranya*. Geologi UNPAD, PT. Aneka Tambang, 309.
95. Udagawa,M., Soto, M., dan Katayama, K. (1997). Determination of In-situ Stress Using DRA and AE Techniques. *Environmental and Safety Control in Underground Construction*, Lee, Vang dan Chung (eds), Balkema, Rotterdam, 785 – 795.
96. Von Josef, Keiser. (1953). *Ermittelung und folgerungen aus der Messung von Spannungen bei Ziegbauversuch mit metallischen Werkzeugen*. Ausbildung für das Eisenbahnwesen Gruppe E, Nr. 1335, hal.3, dalam Kramadibrata, S. (2000) *Review on The Use of Acoustic Emission Method for In-situ Stress Determination*. In collaboration between Dept of Mining Engineering, ITB, Indonesia dan Dept of Earth Resources and Mining Engineering, Kyushu University, Japan.
97. Vasakuri, V.S., dan Katayama, K. (1994). *Introduction to Rock Mechanics*. Industrial Publishing dan Consulting Inc., Tokyo.
98. Whittaker,B.N., Singh, R.N., dan Sun, G. (1992). *Rock Fracture Mechanics. Principles, Design and Application Development in Geotechnical Engineering*. 71, Elsevier, Amsterdam.
99. Yoshikawa, S. dan Mori, K. (1981). *A New Method for Estimation of the Crustal Stress from Cored Rock Samples. Laboratory Study in The Case of Uniaxial Compression*. Tectonophysics.
100. Zoback, M.D., dan Heintz (eds). (1982). *Workshop on Hydraulic Fracturing Stress Measurements*. Vol. 1, Menlo Park, California, 181 – 207.
101. Zoback, M.D., dan Pollard, D.D. (1978). Hydraulic Fracture Propagation and the Interpretation of Pressure – Time Records for In-situ Stress Determinations. Proc. 10th Mining US Symp. On Rock Mech., 14 – 22, dalam Whittaker,B.N., Singh, R.N., Sun, G. (1992). *Rock Fracture Mechanics. Principles, Design and Application Development in Geotechnical Engineering*. 71, Elsevier, Amsterdam.

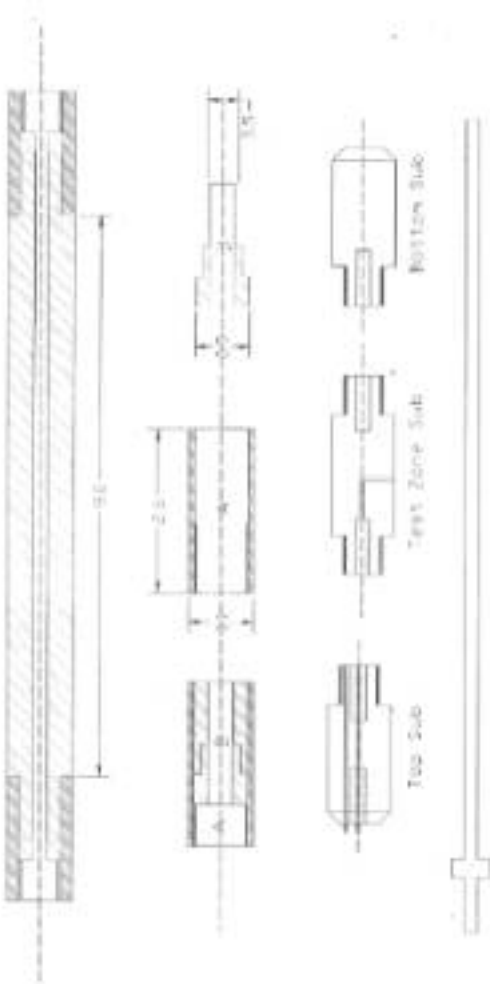
LAMPIRAN A

**Gambar Teknik Packer, Tops Sub, Test Sub
dan Bottom Sub**

Lampiran A. Gambar Teknik Persintan Uji Rekah Hidrolik

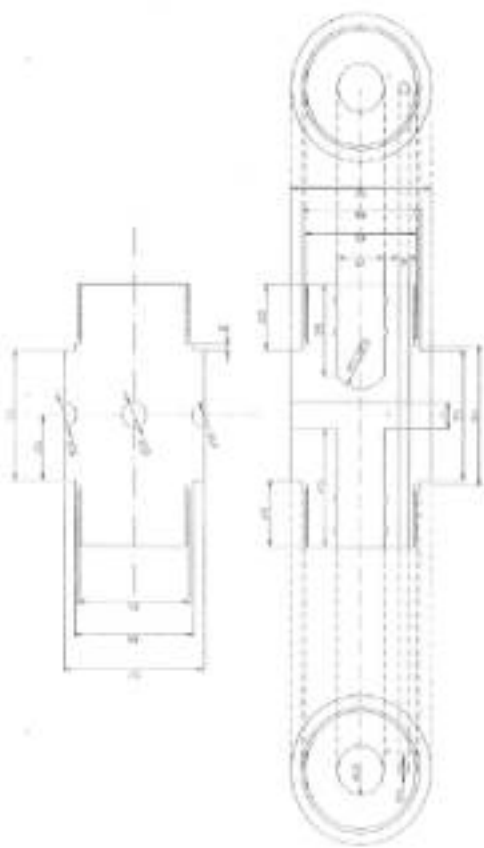


Gambar A.1. Penampang sejajar peker

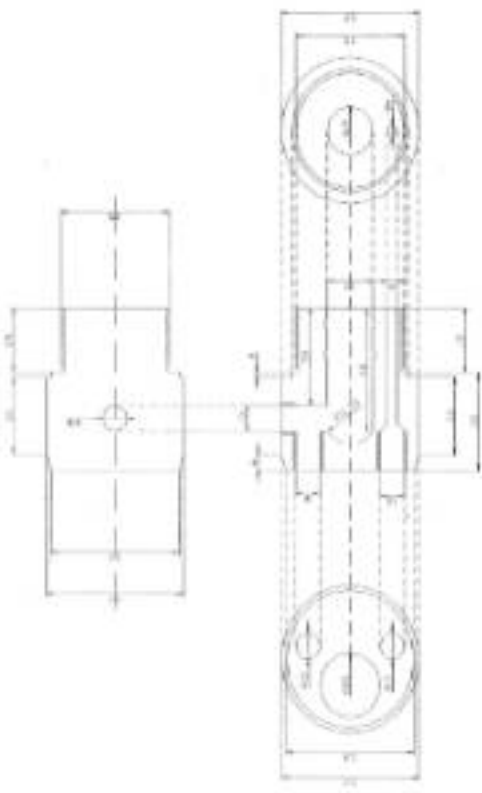


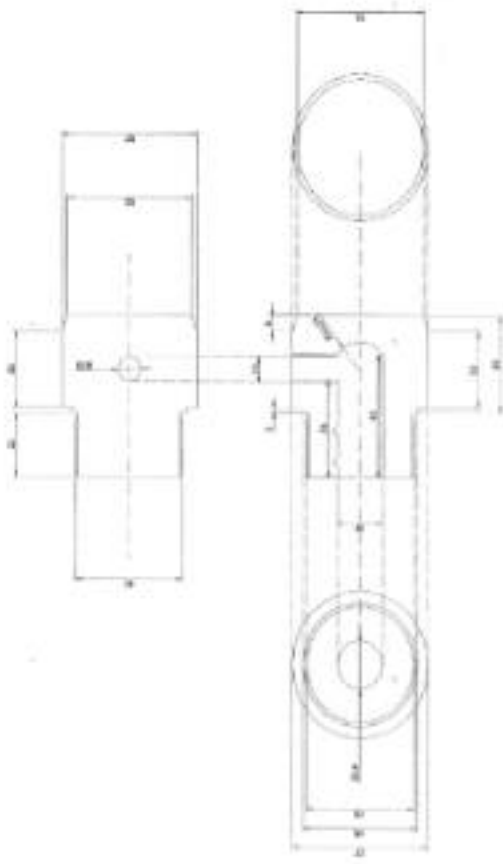
Gambar A.2. Pemantauan menggunakan punkter

Gitter A.3, Tern 300



Gambar A.4. Top sub





Osnabrück A. S. Bildtafel 14

LAMPIRAN B
Kronologis Uji Coba Peralatan

Lampiran II. Kronologis Uji Coba Peralatan

B.1. Uji Kebocoran dan Kinerja Straddle Packer

Tabel B.1. Kronologis pengujian straddle packer

NO	TANGGAL	JENIS PENGUJIAN	BASE, PENGUKURAN	PEMBAHASAN
1.	02-11-03	Pengujian kebocoran packer tanggul pada silinder hidraulik	<ul style="list-style-type: none"> - Pengujian dilakukan pada tebing batu, dengan menggunakan alat gagang untuk memperbaiki defleksion lateral karang - Terjadi kebocoran pada bagian tengahnya karang di tebing 	<p>Pengujian kebocoran :</p> <ul style="list-style-type: none"> - Alat uji karang dan bahan silinder masih tidak diberi perlakuan perakat. <p>Peralatan yang dibutuhkan :</p> <ul style="list-style-type: none"> - Packer dapat berfungsi dengan memberikan perbaikan atas kerang dan bahan silinder masih
2.	13-11-03	Pengujian kebocoran packer tanggul pada silinder hidraulik	<ul style="list-style-type: none"> - Pengujian dilakukan pada tebing batu, dengan menggunakan alat gagang untuk memperbaiki defleksion lateral karang - Tidak terjadi kebocoran pada bagian tengahnya karang di tebing 	<p>Catatan :</p> <ul style="list-style-type: none"> - pada tekanan 2 MPa terjadi defleksi lateral karang yang cukup besar, sehingga pengujian dibentuk untuk menghindari perbaikan pada karang
3.	27-11-03	Pengujian kebocoran packer tanggul pada tanah berpasir	<ul style="list-style-type: none"> - packer sedikit berbusa namun tidak dengan banyak - Pada tekanan packer 3 MPa, tekanan tanah yang disebabkan oleh kebocoran air pada tebing lokal di tebing stabil masih nihil 	<p>Pengujian kebocoran :</p> <ul style="list-style-type: none"> - Oli ini memiliki pada tanah berpasir karena fibreglass tersebut belum dibersih dengan perakat. - Saluran uji tidak memiliki titik air atau drainase dengan hasil yang tidak bisa digunakan lagi. <p>Peralatan yang dibutuhkan :</p> <ul style="list-style-type: none"> - bagian tembok dinding dengan perakat - pada perbaikan packer berlantai,

NO	TANGGAL	JENIS PENGUJIAN	BASIS PENGUJIAN	PENJELASAN
				Hasil terakur tidak dikenal
4.	29-11-00	Pengujian lokasi paket tanggul pada batang ber 60 mm	<ul style="list-style-type: none"> - paket nihil berada sejajar dengan batang dan tidak menjalurkan ali - Paket lokasi 12MPa, ukuran tanah yang diambilkan tidak sama dengan tanah pada paket menggunakan alat stainless steel 	<p>Penyebab :</p> <ul style="list-style-type: none"> a. Paket tidak sempurna sejajar lokasi > 12 MPa karena : <ul style="list-style-type: none"> a. Batang tanah ber yang digunakan. b. Paket yang digunakan merupakan paket batang periksa, sehingga konsep ilmu batang batang tanah ber yang masih terlalu jauh. b. Perbedaan paket sebagaimana dilakukan tanpa dilengkapi bantalan paket <p>Saran :</p> <ul style="list-style-type: none"> - Perbaikan paket sebagaimana dilakukan tanpa dilengkapi bantalan paket
5	20-01-01	Pengujian lokasi paket tanggul pada batang ber 60 mm	<ul style="list-style-type: none"> - paket nihil berada sejajar dengan batang dan tidak menjalurkan ali - Paket lokasi 22 MPa, ukuran tanah yang diambilkan tidak sama dengan tanah pada paket menggunakan alat stainless steel <p>Catatan :</p> <ul style="list-style-type: none"> - Paket pengujian ini dilakukan pada gerakan tanah volume ali yang belum yang akhir digunakan untuk memperbaiki sandaran eksistensi paket 	<p>Penyebab :</p> <ul style="list-style-type: none"> a. Batang lokasi tanah yang digunakan b. Konsep ilmu tak tentu tanah dan konsep teknik yang menggunakan teknik perbaikan tanah eksistensi <p>Perbaikan :</p> <ul style="list-style-type: none"> - memperbaiki tanah eksistensi, test tanah, dan konsep teknik menggunakan teknik perbaikan tanah eksistensi

3.2. Uji Impresion Pucker dan Karet Penetrasi Relahan

Tabel D.2. Kronologis pengujian impresion pucker

NO	TANGGAL	JENIS PENGUJIAN	RASMI PENGUJIAN	PEMBERITAHUAN
1.	18-12-02	Pengujian Impresion Factor pada batan 1	- laju penetrasi relahan tidak bisa mengetahui relahan dengan baik.	Pengerak : <ul style="list-style-type: none"> - Karet pensilai untuk catatan Perubahan yang dilakukan : <ul style="list-style-type: none"> - Mengganti komposit laju pensilai.
2.	09-01-03	Pengujian Impresion Factor pada batan 1	- Karet pensilai relahan tidak bisa , untuk mengetahui relahan pada batan 1	Karet mempunyai sifat-sifat relahan pada tekanan 3 MPa dan waktu penetrasi 15 menit
3.	19-01-03	Pengujian Impresion Factor pada pipa	- Karet pucker tidak berhasil ke bentuk semula	- Uji ini dilakukan untuk mengetahui apakah karet pensilai mempunyai keterbatasan jika direkam pada presision yang relatif tidak ada relahan. <ul style="list-style-type: none"> - Uji dilakukan pada pipa tajuk berdiameter 60 mm, dengan tekanan 3 MPa dan waktu waktu 15 menit
4	07-03	Pengujian Impresion factor pada batan 3	- Karet pucker tidak mengetahui relahan pada batan 1 <ul style="list-style-type: none"> - tetapi berhasil membuat jalinan pada dan pengambilan pucker 	- Tekanan pucker 3 MPa dan waktu penetrasi 15 menit. <ul style="list-style-type: none"> - Factor dan laju penetrasi tidak bisa diketahui dari jalinan tetapi - Factor diketahui dari jalinan tetapi dengan menggunakan diagram tidak baik. Pengerak : <ul style="list-style-type: none"> - karet pensilai, teknik tidak strategi menggunakan pada relahan di dalam tetes
5	07-03	Pengujian Impresion factor pada batan 3	- teknik pucker dicapai 2 tajuk 2 MPa dan waktu	Pengerak : <ul style="list-style-type: none"> - karet pensilai tidak

NO	TANGGAL	JENIS PENGUJIAN	HASIL PENGUJIAN	PENJELASAN
			<p>positif 10 maci. Negatif tidak 14 m terdiri komponen pekerja dan karet perekat tidak bisa diolah karena terikat</p>	<p>terikat tidak pada pada arahnya hasil yang diinginkan dan menyebabkan pekerja tidak bisa tidak bisa diketahui</p> <p>Penyebab masalah :</p> <ul style="list-style-type: none"> - pertama-tama disusul dengan menggunakan dengan teknik, tipe pekerja tidak bisa diolah karena - Kondisi digunakan karet dan rumput. Sangat rumit terikat pekerja tetap tidak bisaolah. - Akhirnya botol dicipati untuk menghindar dari pekerja

B.3. Uji Relah Haluslik di Laboratorium

Tabel B.3. Kronologis pengujian relah hidrolik di laboratorium

NO	TANGGAL	JENIS PENGUJIAN	BHASUH PENGUJIAN	PEMBAHASAN
1.	18-12-08	Pengujian HF pada Batas I	<ul style="list-style-type: none"> - Terjadi keruangan air antara pengembang dan pasir. - Oil yang ukurannya rata-rata 10mm dengan pengembang pasir buat kelebur melalui sel-sel ruang liher dari dan lobang pada pasir pasir. - Batas maksimum kelebur maks 	<p>Percobaan :</p> <ul style="list-style-type: none"> - hasil dimotor antara liher oil dan liher pada batas maksimum besar (0.5 mm) - analisa yang digunakan terbatas <p>Pertukar pasir yang dilakukan :</p> <ul style="list-style-type: none"> - liher oil bagian buat dipertukar - Mengganti struktur dengan yang lebih besar.
2.	09-01-09	Pengujian HF pada Batas I	<ul style="list-style-type: none"> - pasir adalah berpasir, menyebut dengan halok - top soil, test soil, bottom soil dan sisa-sisa sedi pasir berfungsi - batas pertah batas rata-rata ap, matikan dan telitian pasir sebesar 1 MPa 	<p>Percobaan :</p> <ul style="list-style-type: none"> - menggunakan yang digunakan pada percobaan I - memperbaiki teknik yang salah besar ($1 \text{ dia} = 2 \text{ MPa}$), sehingga kelebur kelebur ap tidak terbaca. - Karena ketahanan teknik ap tidak terbaca, maka teknik pasir dilakukan hingga 2 MPa, - menyatakan bahwa pasir batas rata-rata besar untuk sampel batas I, sehingga batas pecah tidak teknik pasir <p>Pertukaran :</p> <ul style="list-style-type: none"> - menggunakan menggunakan dan menggunakan yang menggunakan atau perbaikan teknik hasil - Untuk teknik ap : $1 \text{ dia} = 0.1 \text{ MPa}$ - Data teknik pasir

NO	TANGGAL	JENIS PENGUJIAN	HASIL PENGUJIAN	PERIMBAHASAN
3.	16-01-01	Pengujian HF pada beton 2	<ul style="list-style-type: none"> - puker sifat beton 2 merupakan dengan baik - top sifat, tutu sifat, bottom sifat dan inter sifat untuk berfungsi - beton puker pada tekanan ej 2 MPa dan ukuran puker 4.8 MPa 	<ul style="list-style-type: none"> - Metrikum sifatnya bagus dan sudah berfungsi dengan baik, meskipun pada pengujian ini ada satu faktor yang pada pembacaan devanya yang masih didiklatkan secara manual. - Hal ini menyebabkan data tidak terlalu dengan baik - Perbaikan dapat dilakukan dengan mengandenggah teknis perbaikan data atau di menggunakan komputer
4.	01-02	Pengujian HF pada beton 3	<ul style="list-style-type: none"> - Puker masih cocokpada dengan baik,bagus 3 MPa - Ketika puker dibentuk dan ukuran ej tidak diperbaiki 	<ul style="list-style-type: none"> - Data teknis hasilnya tidak dapat dihitung pada komputer
5.	06-02	Pengujian HF pada beton 4	<ul style="list-style-type: none"> - Puker sifatnya merupakan dengan baik,bagus 3 MPa - Tekanan puker dibentuk dan ukuran ej tidak diperbaiki 	<ul style="list-style-type: none"> - Data teknis hasilnya sebaik pada di lapisan, tetapi belum masih pasah
6.	23-09-02	Pengujian HF pada beton 1 yang masih pasah. Beton diketahui dengan menggunakan ding.	<ul style="list-style-type: none"> - Puker merupakan dengan baik,pada tekanan 3 MPa - Tekanan ej tidak diperbaiki - ej HF tidak bisa dibentuk karena ej memang tidak bentuk,bentuknya tidak mirip dengan yang seharusnya 	<ul style="list-style-type: none"> - Pada pengujian ini, digunakan reading device teknis komputer.
7.	23-09-02	Pengujian HF pada beton 2 yang telah pasah. Beton diketahui dengan menggunakan ding.	<ul style="list-style-type: none"> - Puker merupakan dengan baik,pada tekanan 3 MPa - Tekanan ej tidak diperbaiki - Seperti pada beton 1, ej HF tidak bisa 	<ul style="list-style-type: none"> - Pada pengujian ini, digunakan reading device teknis komputer. - Dapat dilihat bahwa menggunakan plyn juga sebagai arisan

NO	TANGGAL	JENIS PENGUJIAN	HASIL PENGUJIAN	PEMBAHASAN
			<p>Grafik kurva dilakukan ketika bentuk bahan masih relatif yang masih terbatas sebagiannya.</p>	ambil uji CF
3	27/09/02	Pengujian IP pada ppa kaja	<ul style="list-style-type: none"> - Toleransi pada sistem kerfi (1,3 MPa) - Handling device bisa menahan uji dengan sangat baik 	<ul style="list-style-type: none"> - Grafik IP dikupas dengan memotong bagian pada pppa ukuran uji (Gambar uji dapat dilihat pada lampiran)

R.4. Uji Kinerja Periksa Data Elektronik

Tabel R.4. Kronologis pengujian kinerja periksa data elektronik

NO	TANGGAL	JENIS PENGUJIAN	BASIS PENGUJIAN	PENEMUAN
1.	Maret 02	Uji coba reading device dengan dataga elektronik	- Reading device belum dapat membaca data	- Ketengah irisan roda masih pada komponen Blaggo - Karena tidak dimaksud connector yang dipertaruh, maka dibuat tahanan connector dan sistem roda - Dihapuskan motor dan connector di Gledok dan Harmoni Jakarta
2.	April 02	Uji coba reading device dengan dataga elektronik dan LVDT	- Reading device sudah dapat membaca data dari datalog	- Blaggo belum bisa membaca data karena tidak ada connector pada sistem roda pada sistem program dilayani untuk perekam transducer
3.	Mei 02	Uji coba reading device dengan pressure transducer dimana hasil teknik	- Reading device sudah dapat membaca pressure transducer, kapasitas 10 MPa, tetapi belum bisa untuk pressure transducer 100 MPa	- Hasil ini diambilkan ketika banting bantingan pengontrol sinyal untuk pressure transducer 100 MPa
4.	Mei 02	Uji coba reading device dengan pressure transducer yang dipersiapkan pada pompa hidraulik manual	- Reading device sudah dapat membaca informasi dengan memasang pressure transducer 10 MPa pada pompa manual	- Software Blaggo yang dapat membaca grafik tekanan
5.	Juni 02	Uji coba reading device dengan pressure transducer 100 MPa pada sistem hidraulik	- Pressure transducer 100 MPa masih terbuka, masih sinyalnya masih terbuka juga	- Sinyal sinyal tersebut pernah pada solusi dan pengontrol sinyal
6.	September 02	Uji coba reading device dengan pressure transducer	- Pressure transducer - 100 MPa masih mampu membaca sinyal	- Didapatkan perbaikan pada sinyal

NO	TANGGAL	JENIS PENGULIHAN	RASMI PENGULIHAN	PEMBAHASAN
		100 MB pada posisi atas	reading device langsung baik	
7	September 2002	Uji reading device pada bawah	- Preset interface: 100 MB pada posisi atas	- Akurasi dikatakan ej reading device pada ej III
8	September 2002	Uji reading device pada posisi ej III di dalam banting hor 60 mm	- Diaggr mtk mencocok ej dengan baik	- belum salah posisi mengapa tetapi preset dan peningkatan reflektor tidak diperlukan karena otak banting hor tidak dapat membedakan ej Afferent's frequency semaran langsung.

LAMPIRAN C

Data Pengujian Sifat Fisik

Lampiran C. Data Pengujian Silat Pada:

No Contoh	Pendek (mm)	Spiral Gravity Apparatus	True	Kadar Air (%)	Diameter Kesetaraan (%)	Parasite (%)	Vari Rata (%)
<i>Lahan Raya 8,210 K/6</i>							
1	3.19	3.09	3.16	3.09	3.11	6.40	6.51
2	3.28	3.30	3.15	3.20	3.20	5.50	5.57
2	3.27	2.18	2.17	2.18	2.18	1.21	7.96
2	2.25	2.18	2.16	2.18	2.18	1.14	7.46
4	3.23	3.16	3.14	3.19	3.12	3.23	3.61
6	3.28	3.16	3.16	3.16	3.16	3.69	3.68
7	3.13	2.13	2.12	2.13	2.12	1.04	8.73
<i>Lahan Raya 8,279 K/6</i>							
1	3.0	3.09	2.16	3.10	3.17	8.20	7.77
2	3.29	2.28	2.15	2.33	2.44	8.31	7.43
3	3.23	3.10	3.16	3.21	3.02	8.77	7.34
4	3.43	2.41	2.48	2.42	2.39	8.66	7.95
5	3.13	2.19	2.17	2.19	2.16	8.79	8.21
6	3.98	1.97	2.18	1.97	2.09	8.54	8.49
7	3.14	2.16	2.41	2.16	2.15	1.24	8.26
8	1.96	1.93	2.15	1.95	2.01	8.93	8.23
9	3.23	2.27	2.43	2.27	2.05	9.52	6.35
<i>Lahan Raya 8,338 K/6</i>							
1	3.21	2.23	2.11	3.21	3.06	8.22	4.15
							7.65
							0.26
							0.31

No	Chemical	Density (g/cm ³)	Wetting	Brinell	Appress	Fract.	Kinetic-Shear (%)	Bamboo Kolmogorov (%)	Primitiv (%)	Vibration Ratio (%)
1	2.24	2.23	2.11	2.22	2.39	0.23	2.34	4.02	0.13	0.11
2	2.31	2.29	2.40	2.59	2.39	0.33	4.32	11.86	0.11	0.13
3	2.28	2.28	2.24	2.28	2.52	0.33	4.14	5.85	0.08	0.10
4	2.65	2.51	2.72	2.51	3.86	0.61	6.71	6.56	0.23	0.18
5	2.08	2.04	2.18	2.04	2.97	0.38	5.11	3.78	0.21	0.26
6	2.35	2.33	2.43	2.33	2.60	0.28	4.31	10.23	0.10	0.11
7	2.12	2.12	2.47	2.23	2.70	0.52	2.95	5.52	0.14	0.16
8	2.38	2.29	2.42	2.39	3.84	0.62	5.86	11.48	0.15	0.15
10	1.79	1.77	2.03	1.77	2.69	0.43	7.63	7.26	0.26	0.26
11	2.28	2.23	2.16	2.23	3.66	0.62	6.82	7.69	0.18	0.18
Laboring Rate, standard										
1	2.12	2.10	2.13	2.10	2.73	0.25	6.71	5.13	0.23	0.26
2	2.18	2.17	2.17	2.17	3.41	0.43	4.58	10.00	0.10	0.11
3	2.33	2.29	2.38	2.29	2.41	0.42	5.26	10.11	0.26	0.11
4	2.24	2.23	2.15	2.23	2.69	0.47	4.23	11.11	0.10	0.11
5	2.34	2.33	2.63	2.32	2.91	0.63	6.60	10.00	0.20	0.21
6	2.21	2.16	2.44	2.23	3.08	0.57	6.19	9.26	0.14	0.17
7	2.49	2.47	2.56	2.67	2.71	0.65	3.55	24.14	0.26	0.11
8	2.43	2.40	2.57	2.40	2.71	0.71	4.82	11.09	0.11	0.11
9	2.36	2.34	2.33	2.34	2.56	0.69	4.48	11.43	0.16	0.11
Laboring Rate, 9.216X/15.8										
1	2.48	2.54	2.67	2.66	3.68	0.71	1.61	69.67	0.24	0.04
2	2.57	2.57	2.87	2.91	3.67	0.77	2.47	23.60	0.26	0.07
3	2.72	2.71	2.81	2.71	3.46	0.68	4.20	11.11	0.10	0.11
4	2.45	2.44	2.63	2.54	3.48	0.68	4.12	11.11	0.10	0.11
5	1.88	1.88	2.06	1.88	2.50	0.47	9.72	4.84	0.18	0.20

No.	Centrif	Density (g/cm ³)	Kinetic	Specific Gravity	Rader Air (%)	Densit Kojenbach	Porevolu (%)	Volum Heia
1	2.11	2.06	2.15	2.01	2.41	1.24	9.78	11.89
2	2.17	2.16	2.11	2.11	2.69	1.22	9.78	11.82
3	2.21	2.20	2.23	2.23	2.22	2.23	5.96	6.20
4	2.24	2.23	2.17	2.23	2.19	8.71	6.11	6.22
5	2.43	2.41	2.35	2.41	2.41	2.75	8.97	8.94
6	2.37	2.34	2.30	2.30	2.35	2.76	8.92	8.75
7	2.06	2.05	1.99	2.05	2.45	9.61	8.28	8.18
12	2.12	2.24	2.16	2.21	2.54	1.00	4.48	6.38
<i>Laboratory No. 9-3790 R/138</i>								
1	2.41	2.29	2.57	2.39	2.59	3.03	7.49	11.11
2	2.18	2.17	2.22	2.17	2.57	2.55	7.15	10.50
3	2.18	2.16	2.17	2.16	2.53	1.00	4.92	8.47
4	2.19	2.19	2.18	2.09	2.58	3.54	8.99	10.08
5	2.18	2.17	2.19	2.17	2.59	8.52	7.05	8.05
6	2.41	2.38	2.48	2.39	2.45	9.03	5.93	8.21
7	2.41	2.44	2.54	2.44	2.73	3.99	4.27	13.51
8	2.28	2.39	2.34	2.31	2.57	9.66	6.31	7.01
9	2.16	2.15	2.12	2.15	2.19	6.65	7.95	8.26
10	2.61	2.60	2.67	2.69	2.79	6.43	7.66	8.13
11	2.58	2.55	2.62	2.55	2.75	9.23	7.58	8.07
12	2.37	2.39	2.48	2.39	2.68	9.48	9.98	9.22
<i>Laboratory No. 9-3790 R/145</i>								
1	2.22	2.11	2.61	2.31	2.77	9.84	4.67	8.76
2	2.38	2.31	2.66	2.71	2.61	1.23	4.25	20.22
3	2.35	2.35	2.64	2.65	2.57	6.64	3.55	12.50
4	2.47	2.45	2.54	2.55	2.68	8.74	1.90	20.60

C.2. Penyajian

No	Bentuk (gr/cm ³)	Specific Gravity	Kadar Air (%)	Densitas Kujungan (%)	Pemasan (%)	Void Ratio (%)
Castish	Natural	Kering	Jenah	Asli	Jenah	Kujungan (%)
1	2.48	2.45	2.45	2.45	2.17	5.90
2	2.42	2.40	2.52	2.40	2.74	5.93
3	2.30	2.27	2.42	2.27	2.89	5.18
4	2.27	2.26	2.42	2.26	2.55	5.48
5	2.21	2.24	2.45	2.36	2.61	5.76
10	2.37	2.38	2.46	2.38	2.83	5.80
11	2.26	2.24	2.17	2.24	3.28	5.82

No	Bentuk (gr/cm ³)	Specific Gravity	Kadar Air (%)	Densitas Kujungan (%)	Pemasan (%)	Void Ratio (%)
Castish	Natural	Kering	Jenah	Asli	Jenah	Kujungan (%)
1	2.08	2.04 ^a	2.06 ^a	2.06 ^a	2.61 ^a	6.69
2	2.079	2.046	2.25 ^b	2.06 ^a	2.93 ^b	5.62
3	2.089	2.058	2.319	2.09 ^b	3.81	4.80
4	2.091	2.018	2.221	2.03 ^b	2.86 ^b	4.03
5	2.163	2.084	2.347	2.04 ^b	3.90 ^b	5.74
6	2.121	2.104	2.291	2.14 ^b	2.90	5.29
7	2.163	2.168	2.393	2.11 ^b	3.60	5.11
8	2.271	2.241	2.726	2.64	3.70	5.92
9	2.369	2.347	2.646	2.47	3.66	6.87
10	2.379	2.378	2.638	2.39	3.81	6.87

No	Centrif	Density (g/cm ³)	Kinetic	Spatial Gradient	Tree	Axil	Jenn	Kader Air (%)	Benzyl	Chlorophen	Paracetam	Valid Ratio
	Name	Normal	Length	Apparent	Tree	Axil	Jenn	(%)	(%)	(%)	(%)	
1	2.115	2.078	2.456	2.078	2.517	1.758	3.972	10.148	13.097	0.189	0.230	0.453
2	2.217	2.212	2.348	2.212	2.364	1.034	6.197	17.647	0.537	0.159	0.231	0.453
3	2.217	2.198	2.242	2.198	2.622	2.215	8.000	27.941	0.572	0.159	0.231	0.453
4	2.076	2.026	2.212	2.026	2.260	2.510	8.266	27.143	0.600	0.225	0.231	0.453
5	2.111	2.088	2.271	2.089	2.562	1.265	8.918	13.834	0.586	0.228	0.231	0.453
6	2.249	2.227	2.396	2.227	2.587	0.932	8.248	15.686	0.339	0.152	0.231	0.453
Lathang Bar H 243 E -4												
1	2.081	2.061	2.162	2.061	2.392	6.371	6.793	8.488	0.139	0.181	0.225	0.453
2	2.919	2.892	2.194	2.892	3.497	0.952	10.148	0.931	0.262	0.272	0.269	0.453
3	2.945	2.854	2.232	2.054	2.518	6.473	9.789	6.819	0.168	0.269	0.269	0.453
4	2.028	2.024	2.274	2.024	2.511	0.738	9.801	7.162	0.208	0.211	0.211	0.453
5	2.960	2.851	2.154	1.931	2.473	1.170	11.181	12.465	0.217	0.277	0.269	0.453
6	2.911	2.892	2.139	1.992	2.490	0.935	9.801	9.419	0.187	0.265	0.269	0.453
7	2.115	2.089	2.272	2.102	2.634	0.753	7.028	15.338	0.152	0.127	0.127	0.453
8	2.179	2.151	2.216	2.122	2.567	0.679	7.452	0.275	0.169	0.111	0.111	0.453
9	2.139	2.126	2.298	2.138	2.599	0.479	7.911	5.970	0.168	0.210	0.225	0.453
10	2.141	2.116	2.202	2.118	2.594	1.068	8.661	12.729	0.187	0.225	0.225	0.453
11	2.387	2.381	2.368	2.381	2.693	0.217	3.798	8.714	0.187	0.166	0.166	0.453
12	2.287	2.282	2.378	2.282	2.561	0.211	3.619	8.556	0.099	0.098	0.098	0.453
13	2.099	2.071	2.242	2.071	2.464	1.077	7.611	13.898	0.158	0.188	0.188	0.453
14	2.166	2.155	2.472	2.152	2.634	0.061	3.721	13.238	0.122	0.141	0.141	0.453
15	2.879	2.868	2.167	1.965	2.439	0.662	0.199	6.894	0.201	0.231	0.231	0.453
16	2.123	2.107	2.252	2.117	2.464	1.220	8.874	17.762	0.147	0.159	0.159	0.453
17	2.251	2.251	2.366	2.253	2.551	0.048	3.600	13.687	0.277	0.165	0.165	0.453
18	2.171	2.196	2.398	2.166	2.541	0.747	4.541	14.519	0.191	0.151	0.151	0.453

Row Number	Benthic (gravelly)		Specific Gravity		Kaiser Air (%)		Benthic Kofman's (%)		Permeation (%)		Void Ratio (%)	
	Coarse	Fine	Wet	Dry	Ast	Jenih	Kofman's	(%)	Permeation	(%)	Void Ratio (%)	(%)
Lithology B 247 T / 4												
1	2.034	2.023	2.190	2.027	2.420	1.771	2.002	26.926	3.167	0.161	0.261	
2	1.929	1.813	2.108	1.613	2.535	2.617	16.169	8.434	3.164	0.281		
3	1.899	1.541	2.143	1.661	2.611	2.611	16.381	8.611	3.103	0.253		
4	1.953	1.946	2.151	1.665	2.645	2.553	16.487	8.523	3.104	0.237		
5	2.125	2.141	2.213	2.141	2.292	2.838	3.44	19.294	2.174	0.211		
6	2.112	2.187	2.466	2.287	2.591	3.086	3.18	21.429	2.117	0.155		
7	2.192	2.268	2.459	2.305	2.615	2.960	4.202	22.877	2.059	0.159		
8	2.218	2.318	2.471	2.318	2.818	3.018	6.13	16.161	2.123	0.138		
9	2.352	2.317	2.364	2.313	2.615	2.774	6.852	18.624	2.145	0.178		
10	2.099	2.046	2.251	2.049	2.474	2.729	10.028	21.175	2.109	0.254		
11	2.011	1.968	2.190	1.968	2.511	2.729	11.308	24.998	2.123	0.286		
12	2.377	2.375	2.328	2.195	2.526	2.732	6.433	28.020	2.165	0.164		
13	2.163	2.287	2.360	2.287	2.418	2.777	2.218	24.138	2.274	0.079		
14	2.409	2.186	2.472	2.386	2.613	2.672	3.664	26.667	2.367	0.061		
15	2.245	2.274	2.318	2.274	2.616	2.489	3.74	12.373	2.084	0.081		
Lithology Bc - verste												
1	2.219	2.117	2.259	2.117	2.684	4.634	7.171	68.558	0.153	0.179		
2	2.242	2.232	2.273	2.213	2.697	3.370	2.910	43.823	0.166	0.071		
3	1.746	1.132	1.981	1.112	2.351	1.981	16.089	15.028	3.373	0.181		
4	2.423	2.287	2.452	2.387	2.533	2.612	2.722	75.913	2.063	0.061		
5	2.114	2.657	2.379	2.657	2.613	2.778	16.340	26.856	2.113	0.170		
6	2.244	2.202	2.316	2.206	2.647	2.643	5.543	41.657	0.113	0.128		
7	2.184	2.132	2.214	2.113	2.605	2.481	5.224	43.636	0.111	0.124		

No	Constit	Density (g/cm ³)	Keriting	Asphalt	Apparent	True	Zucker Asph (%)	Benzene Keriting/hore (%)	Paraffin (%)	Vaseline (%)	Resin (%)
1	2.211	2.164	2.177	2.164	2.473	2.201	4.913	44.84	0.07	0.129	0.129
2	2.254	2.140	2.114	2.140	2.572	2.241	8.169	63.425	0.172	0.212	0.172
10	2.066	2.043	2.161	2.063	2.297	2.115	7.237	26.091	0.143	0.154	0.154
11	2.221	2.181	2.167	2.181	2.459	2.171	9.782	34.091	0.126	0.164	0.164
12	2.294	2.166	2.153	2.200	2.412	2.580	3.175	48.000	0.971	0.076	0.076
Lokasi Batu N.100 E./J.00											
1	2.079	2.151	2.154	2.101	2.386	2.375	3.069	37.486	0.101	0.114	0.114
2	2.273	2.181	2.292	2.193	2.431	2.297	5.000	47.946	0.109	0.123	0.123
3	2.178	2.158	2.270	2.154	2.675	2.054	3.348	26.455	0.113	0.136	0.136
4	2.057	2.068	2.068	2.066	2.342	2.033	15.869	68.671	0.201	0.264	0.264
5	2.072	2.054	2.110	2.054	2.394	2.291	8.049	7.420	0.170	0.147	0.172
6	2.165	2.153	2.199	2.153	2.472	2.472	7.864	81.667	0.163	0.190	0.190
7	2.040	1.922	2.101	1.922	2.542	2.210	5.234	54.518	0.178	0.217	0.217
8	2.047	2.113	2.197	2.055	2.186	2.180	4.054	63.636	0.281	0.299	0.299
9	2.194	2.178	2.443	2.258	2.637	2.396	4.395	48.839	0.114	0.128	0.128
10	2.054	2.188	2.473	2.269	2.672	2.012	3.582	31.724	0.081	0.098	0.098
11	2.149	2.106	2.066	2.066	2.497	2.457	9.792	88.546	0.195	0.246	0.246
12	2.261	2.198	2.293	2.086	2.611	2.873	3.461	83.759	0.197	0.265	0.265
13	2.151	2.196	2.179	2.280	2.618	3.715	3.901	48.451	0.269	0.698	0.698
14	2.244	2.112	2.186	2.112	2.316	2.615	3.337	48.317	0.274	0.090	0.090
Lokasi Batu N.342 E./J.18											
1	2.450	2.418	2.448	2.419	2.557	2.514	1.819	21.539	0.560	0.048	0.048
2	2.241	2.232	2.238	2.223	2.487	2.376	4.745	12.795	0.106	0.118	0.118
3	2.237	2.158	2.311	2.238	2.634	2.848	3.226	26.851	0.577	0.079	0.079

No.	Crustal	Density (g/cm ³)	Wetting	Janish	Ayres	Sigmar	Krogh	Zoster Atr. (%)	Borehole Kozeny	Borehole Darcy (%)	Porefrac. (%)	Vad. Ratio
4	2.328	2.339	2.292	2.268	2.523	2.270	2.489	25.48	20.31	0.093	0.143	
5	2.329	2.358	2.398	2.216	2.637	2.016	6.16	89.61	0.143	0.143	0.143	
6	2.116	2.176	2.197	2.076	2.771	2.215	6.72	27.77	0.127	0.127	0.127	
7	2.106	2.066	2.181	2.046	2.944	2.941	6.96	48.61	0.124	0.124	0.124	
8	2.187	2.086	2.348	2.080	2.478	2.794	7.45	18.93	0.148	0.148	0.148	
9	2.221	2.216	2.508	2.210	2.454	2.820	4.50	1.11	0.999	0.119	0.119	
10	2.144	2.032	2.275	2.113	2.224	2.220	4.72	18.23	0.101	0.12	0.12	
11	2.094	2.021	2.143	2.031	2.412	2.627	8.62	45.71	0.162	0.162	0.162	
12	2.173	2.111	2.375	2.115	2.517	2.397	7.99	8.29	0.160	0.160	0.160	
13	2.162	2.128	2.232	2.129	2.754	3.620	4.32	12.82	0.101	0.125	0.125	
Lithology: N=247 E=148												
1	2.667	2.168	2.321	2.162	2.514	4.554	7.42	64.85	0.153	0.160	0.160	
2	2.466	2.164	2.526	2.344	2.867	3.528	1.28	85.85	0.144	0.144	0.144	
3	2.027	2.008	2.208	2.000	2.242	3.251	5.40	23.90	0.101	0.121	0.121	
4	1.689	1.878	2.384	1.879	2.162	3.818	8.97	68.80	0.161	0.197	0.197	
5	2.015	1.866	2.353	1.865	2.284	7.97	9.84	87.80	0.194	0.223	0.223	
6	2.613	1.824	2.102	1.824	2.862	4.61	9.21	69.93	0.173	0.216	0.216	
7	2.113	2.698	2.219	2.059	2.423	2.61	7.73	35.71	0.151	0.178	0.178	
8	2.169	2.698	2.148	2.098	2.234	2.58	4.58	54.28	0.166	0.198	0.198	
9	2.168	2.193	2.223	2.185	2.387	3.11	5.68	54.93	0.14	0.173	0.173	
10	2.104	2.052	2.148	2.053	2.371	2.449	4.57	53.53	0.128	0.16	0.16	
11	2.059	1.960	2.126	1.960	2.302	2.412	8.50	63.63	0.107	0.209	0.209	
12	2.110	2.066	2.169	2.068	2.299	1.639	4.80	24.16	0.109	0.177	0.177	
13	1.971	1.820	2.267	1.920	2.260	2.159	7.962	27.11	0.154	0.182	0.182	
14	2.062	1.687	2.144	2.057	2.279	6.269	4.73	4.35	0.164	0.188	0.188	

No	Density (g/cm ³)	Specific Gravity	Water Abs (%)	Voids						
Contoh	Natural	Rocking	Brinell	Apparent	True	Astil	Jessch	Kojetuhan	Persentase (%)	Ratio (%)
15	2.194	2.149	2.249	2.349	2.280	1.652	4.020	23.284	0.249	0.120
16	1.977	1.888	2.031	1.888	2.219	4.772	16.229	66.266	0.160	0.239
17	1.926	1.848	2.027	1.848	2.211	5.148	9.646	52.666	0.179	0.218
18	2.017	1.871	2.122	1.970	2.312	2.384	7.734	51.906	0.152	0.179

LAMPIRAN D
Data Pengujian Sifat Mekanik

Lampiran D Data Pengujian Sifat Melaralkan

D.1. Curing

No	Lokasi Bar	Rasio Tekan Unitensiil (MPa)	Modulus Young (MPa)	Nilaiuk Puhua
1	N 340 E / 11			
-	Cetek 1	23,29	5181	0,34
-	Cetek 2	38,25	7757	0,32
-	Cetek 3	21,48	5177	0,27
-	Cetek 4	26,83	6523	0,36
-	Cetek 5	34,14	4101	0,37
2	N 284 E / 15			
-	Cetek 1	32,06	8881	0,38
-	Cetek 2	33,48	7200	0,39
-	Cetek 3	38,31	1301	0,49
-	Cetek 4	34,8	6260	0,31
3	N 235 E / 13			
-	Cetek 1	41,87	11060	0,29
-	Cetek 2	38,48	10416	0,37
-	Cetek 3	36,85	6301	0,18
-	Cetek 4	38,71	10220	0,36
4	Vertikal			
-	Cetek 1	37,29	11363	0,17
-	Cetek 2	30,67	3009	0,33
-	Cetek 3	34,58	9382	0,13
5	N 316 E / 12			
-	Cetek 1	73,30	17547	0,26
-	Cetek 2	56,57	9256	0,13
-	Cetek 3	57,86	3839	0,36
6	N 296 E / 12			
-	Cetek 1	43,13	8729	0,33
-	Cetek 2	21,57	5800	0,38
-	Cetek 3	47,15	7758	0,37
7	N 215 E / 12			
-	Cetek 1	48,32	10327	0,23
-	Cetek 2	24,87	5739	0,12
-	Cetek 3	33,49	5461	0,16

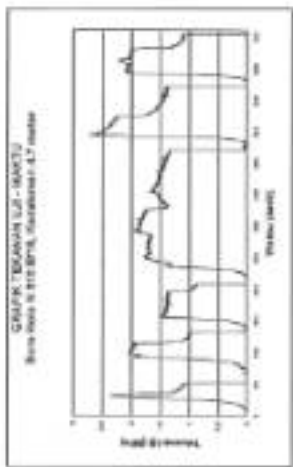
C.2. Paneymas

No	Lubang Bar	Kuat Tahan Uniaxial (MPa)	Modulus Young (MPa)	Nisbah - Pekasa
1	N 100 E/-1			
	- Contoh 1	41,29	8667	0,24
	- Contoh 2	51,69	10415	0,24
	- Contoh 3	37,82	8821	0,28
	- Contoh 4	47,43	13000	0,35
	- Contoh 5	45,97	11000	0,34
2	N 201 E/-5			
	- Contoh 1	52,56	8667	0,27
	- Contoh 2	54,97	13000	0,32
	- Contoh 3	46,85	9300	0,24
	- Contoh 4	39,83	8446	0,28
3	N 247 E/-4			
	- Contoh 1	46,61	8263	0,22
	- Contoh 2	29,04	6000	0,33
	- Contoh 3	29,24	5860	0,26
	- Contoh 4	38,77	6786	0,21
	- Contoh 5	35,11	6667	0,21
	- Contoh 6	36,4	5158	0,10
4	Vorikal			
	- Contoh 1	49,83	3738	0,39
	- Contoh 2	34,50	6348	0,25
	- Contoh 3	36,23	8656	0,22
	- Contoh 4	29,32	7200	0,29
	- Contoh 5	23,14	3124	0,06
5	N 160 E/-10			
	- Contoh 1	47,67	7908	0,25
	- Contoh 2	55,21	15417	0,36
	- Contoh 3	33,83	3000	0,24
	- Contoh 4	39,38	8808	0,25
6	N 245 E/-10			
	- Contoh 1	38,50	13000	0,25
	- Contoh 2	22,58	12200	0,16
	- Contoh 3	38,38	7145	0,26
	- Contoh 4	34,54	5556	0,25
7	N 241 E/-16			
	- Contoh 1	42,8	8621	0,20
	- Contoh 2	38,54	7714	0,23
	- Contoh 3	26,00	3846	0,20
	- Contoh 4	21,89	4951	0,71

LAMPIRAN E
Data Pengujian Rekah Hidrolik

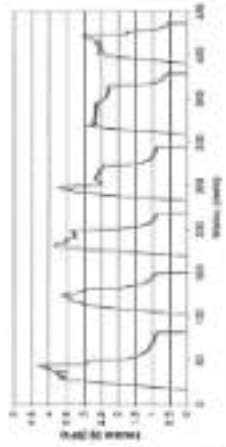


STIMULUS	TRANSMISSION FACTOR (T_{trans})
1	0.00
2	0.00
3	0.00
4	0.00
5	0.00
6	0.00
7	0.00
8	0.00
9	0.00
10	0.00
11	0.00
12	0.00



STIMULUS	TRANSMISSION FACTOR (T_{trans})
1	0.00
2	0.00
3	0.00
4	0.00
5	0.00
6	0.00
7	0.00
8	0.00
9	0.00
10	0.00
11	0.00
12	0.00

GRAFIK TEGANGAN UJL - WATTU
Batu Beton M 200 S/25, diameternya 17 mm



GRAFIK TEGANGAN UJL - WATTU
Batu Beton M 200 S/25, diameternya 16 mm

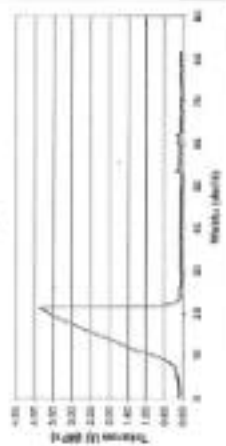
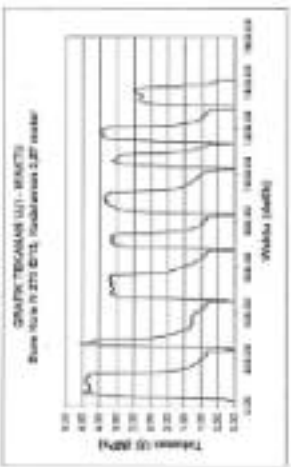
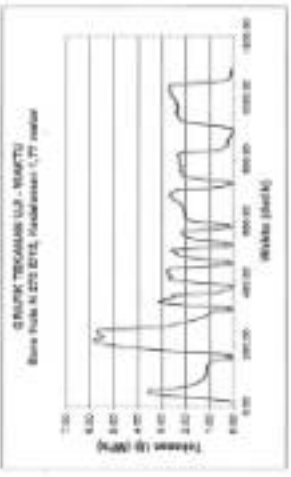


TABELA RINGKAS	
ENDELE	(MPa)
1	0
2	0
3	0
4	0
5	0

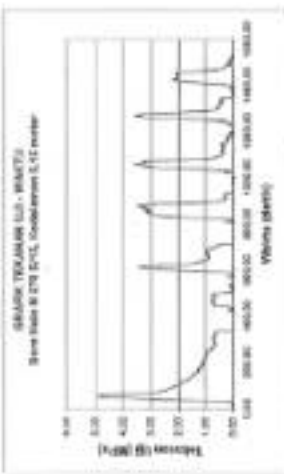
Catatan :

Pada ketika under test ini terkena ejekan pada
tekanan tahan dengan berlalu sistem tahan pada bentuk
struktural,
Peringatan (pada momen ejekan) dalam hal yang ber-



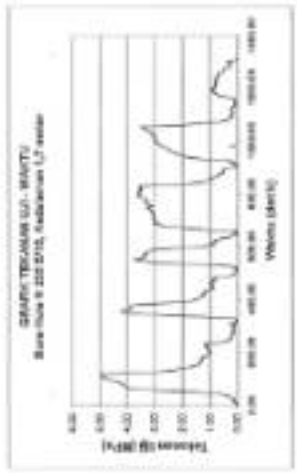
SOLUSI	TEGAKAN PADA (MPa)
1	0.10
2	0.10
3	0.10
4	0.10
5	0.10
6	0.10
7	0.10
8	0.10
9	0.10
10	0.10
11	0.10
12	0.10
13	0.10
14	0.10
15	0.10
16	0.10
17	0.10
18	0.10
19	0.10
20	0.10

SOLUSI	TEGAKAN PADA (MPa)
1	0.10
2	0.10
3	0.10
4	0.10
5	0.10
6	0.10
7	0.10
8	0.10
9	0.10
10	0.10
11	0.10
12	0.10
13	0.10
14	0.10
15	0.10
16	0.10
17	0.10
18	0.10
19	0.10
20	0.10



SEASCAPE	WATERFALL POSITION
1	1
2	1
3	1
4	1
5	1
6	1
7	1
8	1
9	1
10	1
11	1
12	1
13	1
14	1
15	1
16	1
17	1
18	1
19	1
20	1
21	1
22	1
23	1
24	1
25	1
26	1
27	1
28	1
29	1
30	1
31	1
32	1
33	1
34	1
35	1
36	1
37	1
38	1
39	1
40	1
41	1
42	1
43	1
44	1
45	1
46	1
47	1
48	1
49	1
50	1
51	1
52	1
53	1
54	1
55	1
56	1
57	1
58	1
59	1
60	1
61	1
62	1
63	1
64	1
65	1
66	1
67	1
68	1
69	1
70	1
71	1
72	1
73	1
74	1
75	1
76	1
77	1
78	1
79	1
80	1
81	1
82	1
83	1
84	1
85	1
86	1
87	1
88	1
89	1
90	1
91	1
92	1
93	1
94	1
95	1
96	1
97	1
98	1
99	1
100	1
101	1
102	1
103	1
104	1
105	1
106	1
107	1
108	1
109	1
110	1
111	1
112	1
113	1
114	1
115	1
116	1
117	1
118	1
119	1
120	1
121	1
122	1
123	1
124	1
125	1
126	1
127	1
128	1
129	1
130	1
131	1
132	1
133	1
134	1
135	1
136	1
137	1
138	1
139	1
140	1
141	1
142	1
143	1
144	1
145	1
146	1
147	1
148	1
149	1
150	1
151	1
152	1
153	1
154	1
155	1
156	1
157	1
158	1
159	1
160	1
161	1
162	1
163	1
164	1
165	1
166	1
167	1
168	1
169	1
170	1
171	1
172	1
173	1
174	1
175	1
176	1
177	1
178	1
179	1
180	1
181	1
182	1
183	1
184	1
185	1
186	1
187	1
188	1
189	1
190	1
191	1
192	1
193	1
194	1
195	1
196	1
197	1
198	1
199	1
200	1
201	1
202	1
203	1
204	1
205	1
206	1
207	1
208	1
209	1
210	1
211	1
212	1
213	1
214	1
215	1
216	1
217	1
218	1
219	1
220	1
221	1
222	1
223	1
224	1
225	1
226	1
227	1
228	1
229	1
230	1
231	1
232	1
233	1
234	1
235	1
236	1
237	1
238	1
239	1
240	1
241	1
242	1
243	1
244	1
245	1
246	1
247	1
248	1
249	1
250	1
251	1
252	1
253	1
254	1
255	1
256	1
257	1
258	1
259	1
260	1
261	1
262	1
263	1
264	1
265	1
266	1
267	1
268	1
269	1
270	1
271	1
272	1
273	1
274	1
275	1
276	1
277	1
278	1
279	1
280	1
281	1
282	1
283	1
284	1
285	1
286	1
287	1
288	1
289	1
290	1
291	1
292	1
293	1
294	1
295	1
296	1
297	1
298	1
299	1
300	1
301	1
302	1
303	1
304	1
305	1
306	1
307	1
308	1
309	1
310	1
311	1
312	1
313	1
314	1
315	1
316	1
317	1
318	1
319	1
320	1
321	1
322	1
323	1
324	1
325	1
326	1
327	1
328	1
329	1
330	1
331	1
332	1
333	1
334	1
335	1
336	1
337	1
338	1
339	1
340	1
341	1
342	1
343	1
344	1
345	1
346	1
347	1
348	1
349	1
350	1
351	1
352	1
353	1
354	1
355	1
356	1
357	1
358	1
359	1
360	1
361	1
362	1
363	1
364	1
365	1
366	1
367	1
368	1
369	1
370	1
371	1
372	1
373	1
374	1
375	1
376	1
377	1
378	1
379	1
380	1
381	1
382	1
383	1
384	1
385	1
386	1
387	1
388	1
389	1
390	1
391	1
392	1
393	1
394	1
395	1
396	1
397	1
398	1
399	1
400	1
401	1
402	1
403	1
404	1
405	1
406	1
407	1
408	1
409	1
410	1
411	1
412	1
413	1
414	1
415	1
416	1
417	1
418	1
419	1
420	1
421	1
422	1
423	1
424	1
425	1
426	1
427	1
428	1
429	1
430	1
431	1
432	1
433	1
434	1
435	1
436	1
437	1
438	1
439	1
440	1
441	1
442	1
443	1
444	1
445	1
446	1
447	1
448	1
449	1
450	1
451	1
452	1
453	1
454	1
455	1
456	1
457	1
458	1
459	1
460	1
461	1
462	1
463	1
464	1
465	1
466	1
467	1
468	1
469	1
470	1
471	1
472	1
473	1
474	1
475	1
476	1
477	1
478	1
479	1
480	1
481	1
482	1
483	1
484	1
485	1
486	1
487	1
488	1
489	1
490	1
491	1
492	1
493	1
494	1
495	1
496	1
497	1
498	1
499	1
500	1

Fig. 2. Panjangan

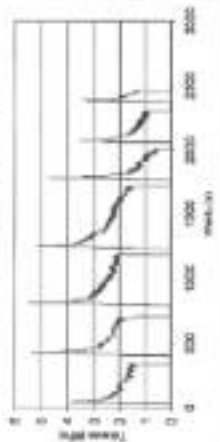


SERIUS	TEKANAN UDARA (MPa)
1	0.00
2	0.00
3	0.00
4	0.00
5	0.00
6	0.00
7	0.00
8	0.00
9	0.00
10	0.00



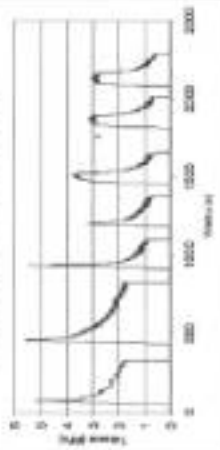
TRAILER	TEKANAN UDARA (DIN)
1	4.5
2	5
3	4.5
4	6
5	3.5
6	3.5
7	3.5
8	3.5

GRAFIC TEORICO DEL - WATTU
LUBRIFICACION 4 HLD EN 1. REFRIGERACION A 50 °C



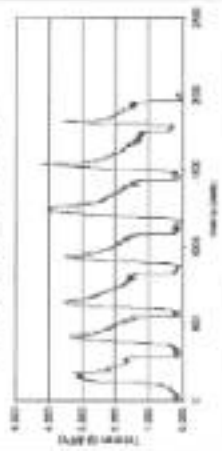
SIGLA	TENSAMAN FATOR (MPa)
1	1,5
2	1,5
3	1,5
4	1,5
5	1,5
6	1,5
7	1,5
8	1,5
9	1,5
10	1,5

GRAFIC TEORICO DEL - WATTU
LUBRIFICACION 4 HLD EN 1. REFRIGERACION A 50 °C



SIGLA	TENSAMAN FATOR (MPa)
1	6
2	7
3	8
4	9
5	10
6	11
7	12
8	13
9	14
10	15

CHARGE THERMOMETER 221 - THERMOCOUPLE
LUDWIG 800N 1400-0-4, READING 2000.5°C

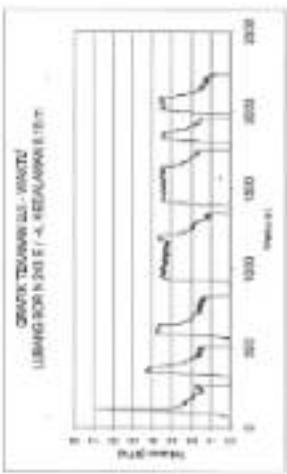


STOKE	TEMPERATURE (°K)
1-4	4.5
5-8	4.5
9-12	4.5
13-16	4.5
17-20	4.5
21-24	4.5
25-28	4.5
29-32	4.5
33-36	4.5
37-40	4.5
41-44	4.5
45-48	4.5
49-52	4.5
53-56	4.5
57-60	4.5
61-64	4.5
65-68	4.5
69-72	4.5
73-76	4.5
77-80	4.5
81-84	4.5
85-88	4.5
89-92	4.5
93-96	4.5
97-100	4.5
101-104	4.5
105-108	4.5
109-112	4.5
113-116	4.5
117-120	4.5
121-124	4.5
125-128	4.5
129-132	4.5
133-136	4.5
137-140	4.5

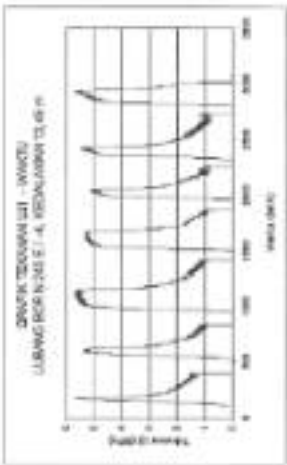
CHARGE THERMOMETER 221 - THERMOCOUPLE
LUDWIG 800N 1400-0-4, READING 2000.5°C



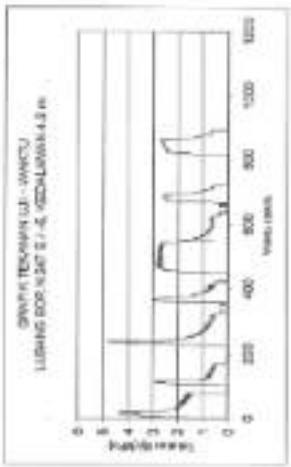
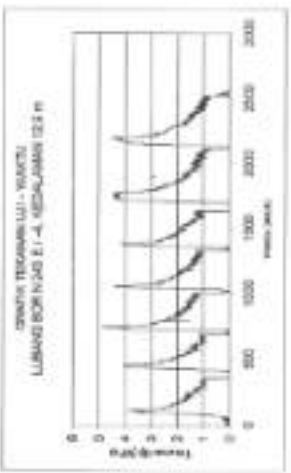
STOKE	TEMPERATURE (°K)
1-4	7.5
5-8	2.0
9-12	1.5
13-16	1.5
17-20	1.5
21-24	1.5
25-28	1.5
29-32	1.5
33-36	1.5
37-40	1.5
41-44	1.5
45-48	1.5
49-52	1.5
53-56	1.5
57-60	1.5
61-64	1.5
65-68	1.5
69-72	1.5
73-76	1.5
77-80	1.5
81-84	1.5
85-88	1.5
89-92	1.5
93-96	1.5
97-100	1.5
101-104	1.5
105-108	1.5
109-112	1.5
113-116	1.5
117-120	1.5
121-124	1.5
125-128	1.5
129-132	1.5
133-136	1.5
137-140	1.5



SKILL	TERAKHIR PADA (HRS)
1	5
2	4
3	3.5
4	5
5	4.5
6	3.5
7	4
8	4.5
9	4.5
10	4



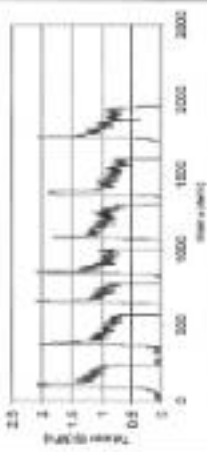
SKILL	TERAKHIR PADA (HRS)
1	5.5
2	6
3	5.5
4	6
5	6
6	5.5
7	5.5
8	6
9	6
10	6



Sample	TESTS IN VITRO (VITRO)
1	~100
2	~100
3	~100
4	~100
5	~400
6	~400
7	~400
8	~500

Sample	TESTS IN VITRO (VITRO)
1	~100
2	~100
3	~100
4	~100
5	~400
6	~400
7	~400
8	~500

GRAFIK TEKANAN UU - VAKUUM
LAMING ROR KAT 67.5, KEDALAMAN 18 m



GRAFIK TEKANAN UU - VAKUUM
LAMING ROR KAT 67.5, KEDALAMAN 18 m



SIRIUS	TEKANAN PADA (MMHg)
1	1.8
2	1.8
3	1.8
4	1.8
5	1.8
6	1.8
7	1.8
8	1.8
9	1.8
10	1.8
11	1.8
12	1.8
13	1.8
14	1.8
15	1.8
16	1.8
17	1.8
18	1.8
19	1.8
20	1.8

SIRIUS	TEKANAN PADA (MMHg)
1	-0.5
2	-0.5
3	-0.5
4	-0.5
5	-0.5
6	-0.5
7	-0.5
8	-0.5
9	-0.5
10	-0.5
11	-0.5
12	-0.5
13	-0.5
14	-0.5
15	-0.5
16	-0.5
17	-0.5
18	-0.5
19	-0.5
20	-0.5

LAMPIRAN F

Data Pengujian Emisi Akustik

E.I. CIRURUG

F.I.1. Loheng Bor N 310 K /15, Contoh I, Siklus 2, 3, 4, dan 5.

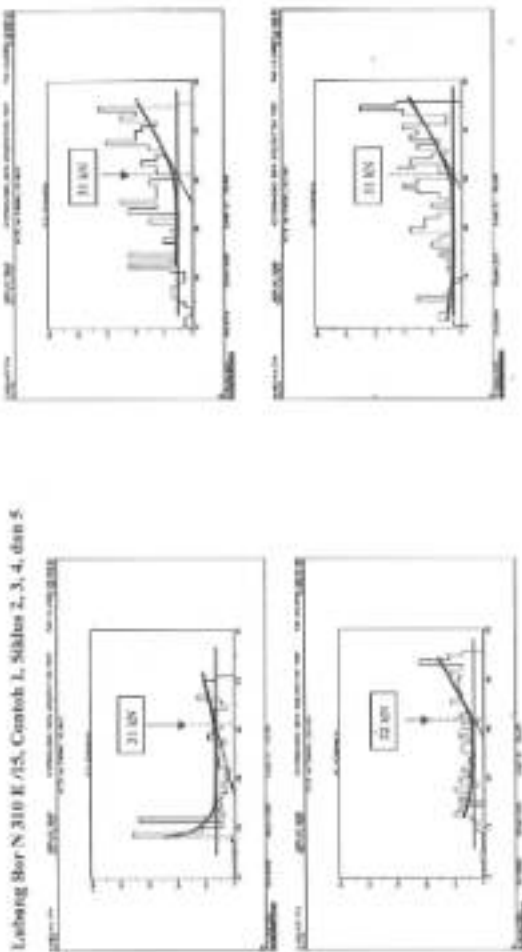
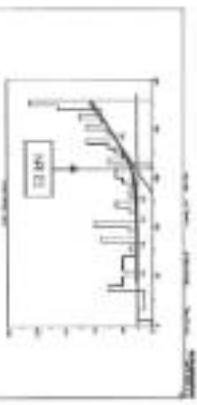


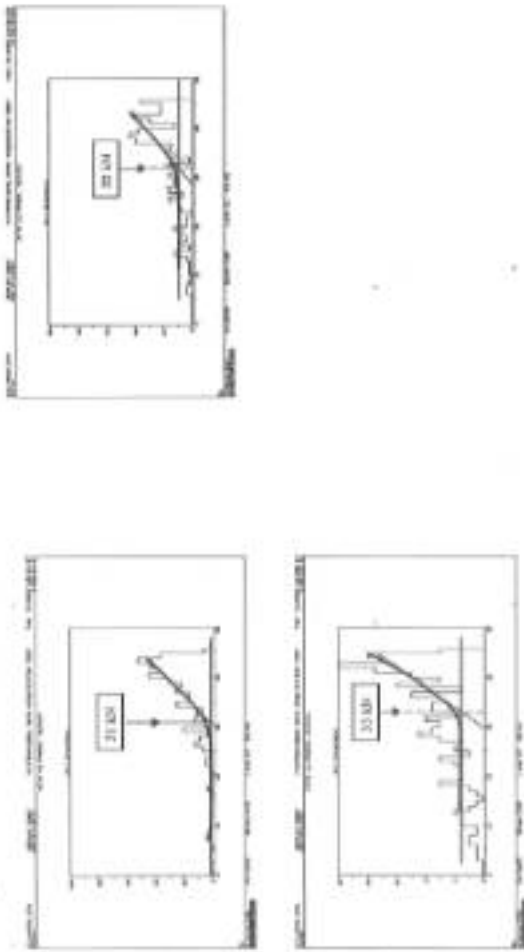
Fig. 2. Lösung über N 310 E/15, Cennh. S, Stufen 3, 4, 5, dian 7



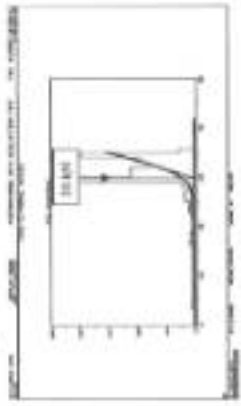
Fig. 2. Lösung über N 310 E/15, Cennh. S, Stufen 3, 4, 5, dian 7



F.13. Lubang Bar N 310 E / 15, Caweh 9, Station 2.3 (line 4)



F.I.A. Lubang Bier N 310 E / 15, Cretich 11, Sidoarjo 2, 3 dan 5



F1.5. Liebherr R9 N 310 E / 15, Container 12, Sicht 1.2, dam 3

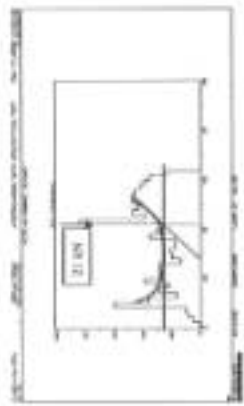


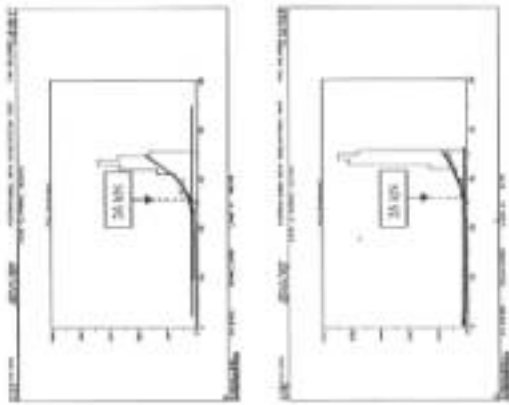
Fig. 6. Lebong River N 270 E / 15 Cuvier & Sauvage 5



Fig. 7. Lubang River N 270 E / 15 Cuvier & Sauvage 2



F1.8. Lubang Bar N 235 E/114, Cimbah 6, Sifan 1 dan 2



F1.9. Lubang Bar N 235 E/114, Cimbah 6, Sifan 1 dan 2

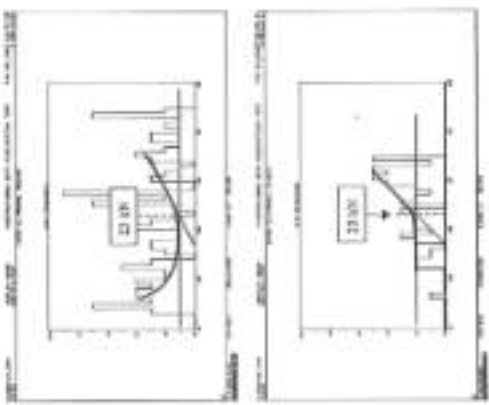
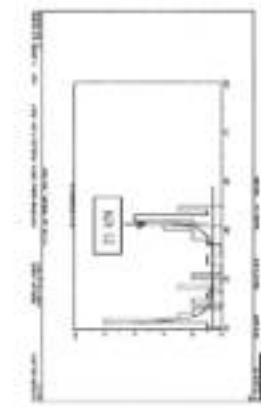


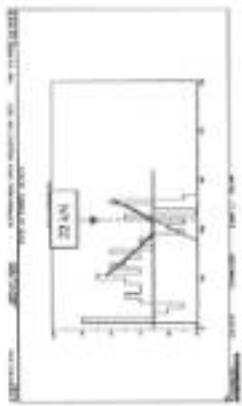
Fig. 11. Lohengrin N 225 E/5, Contoh 8, Sistim 1 dan 2



Fig. 11. Lohengrin N 225 E/5, Contoh 7, Sistim 1 dan 2



Fall 12, Lösung über N 233 E / 0, Cretzsch 2, Stufen 6 dan 7



Fall 13, Lösung über Vertical, Cretzsch 2, Stufen 4 dan 5



Fig.1.4. Lubang Ilor Vertical, Contoh 2, Skidim 2, 3, dan 4



Fig.1.5. Lubang Baris Vertical, Contoh Cadieng, Skidim 2



Fig.1.6. Lubang Baris Vertical, Contoh 2, Skidim 2, 3, dan 4

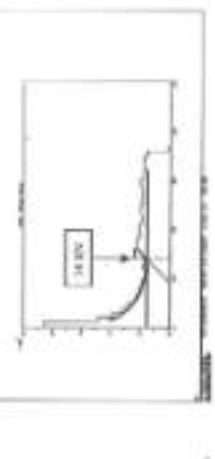


Fig. 1.16. Leitung für Vertikal. Cemib 4, Silihas 2

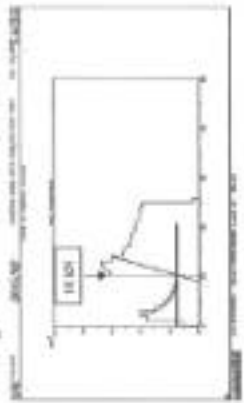
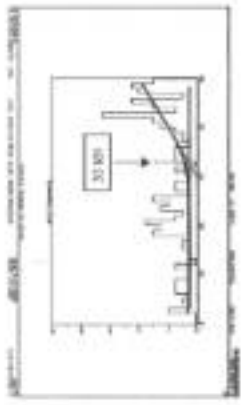


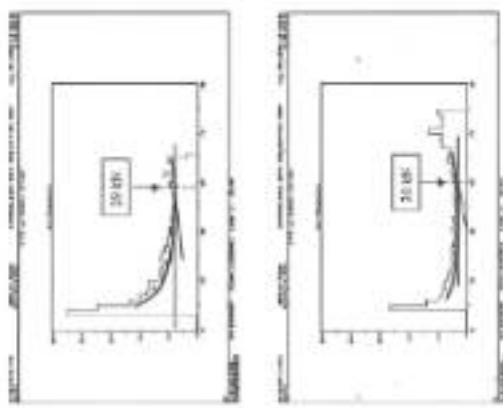
Fig. 1.17. Leitung Dur N 310 Z / 0, Cemib 3, Silihas 3, 4, 5 dan 6



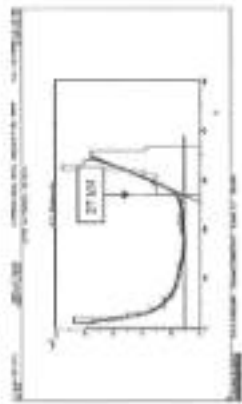
F.1.18. Lüftung Dose N 310 E/6, Cestech Cest.1, Stahlv. 2



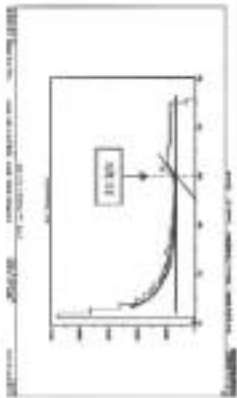
F.1.19. Lüftung Dose N 310 E/6, Cestech Cest.1, Stahlv. 3 dene 4



F.1.20. Lubreg Bar N 270 E / % Cetene Crd.1. Sliding 2 dim.3

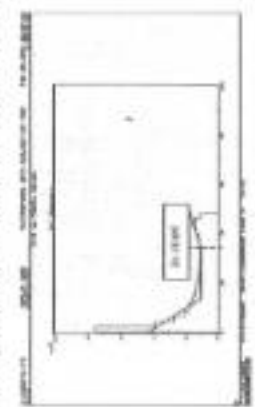


F.1.21. Lubreg Bar N 270 E / % Cetene Crd.2. Sliding 2 dim.3



F.2. PAMOYANAS

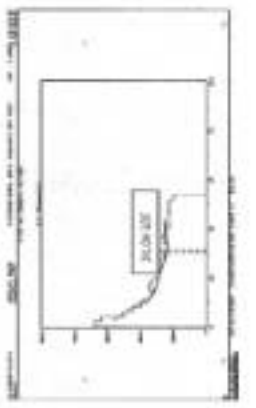
F.2.1. Lubang Bar N 160° E / -4°, Candi 2, Stiklus 3 dan 4



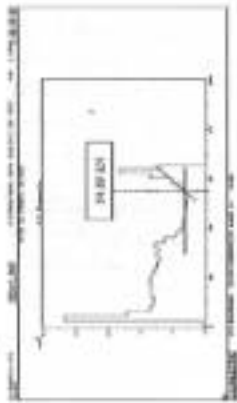
F.2.2. Lubang Bar N 160° E / -4°, Candi 3, Stiklus 6



F.2.3. Lubang Bar N 160° E / -4°, Candi 5, Stiklus 4



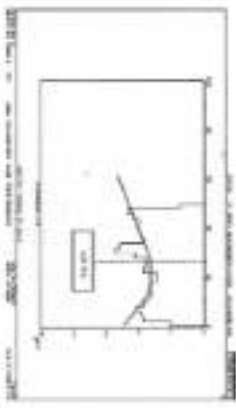
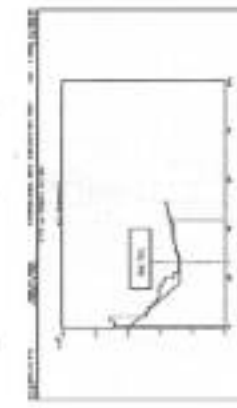
F.2.4. Lubang Bar N 160° T / -1°, Cantih 9, silibus 5 dan 6



F.2.5. Lubang Bar N 160° T / -1°, Cantih 10, silibus 5 dan 6



F.2.6. Lubang Bar N 160° T / -1°, Cantih 11, silibus 5 dan 4



T.2.7. Lubang Baru N 160° E / -P ; Contoh 14, aliran 2, 3 dan 4

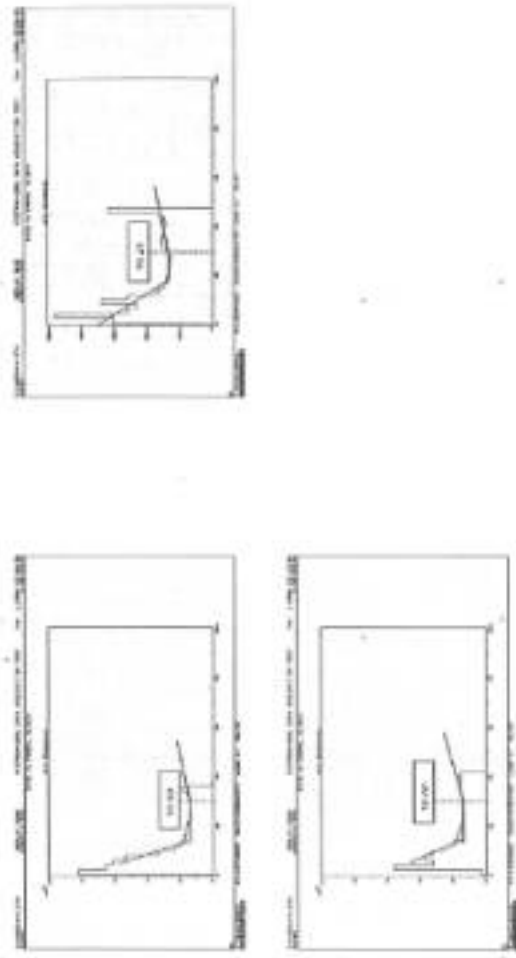


FIG. 6. Lubricant Film Thickness, Comb 1, Alkin 5, 6 dan 7

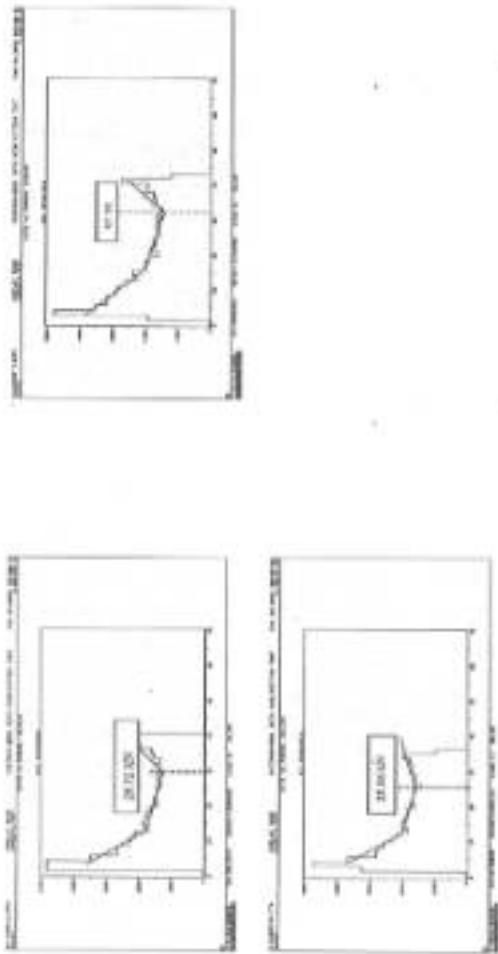


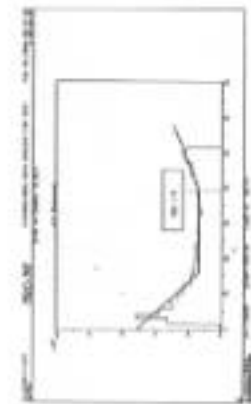
Fig. 4: Lahan Bar Vertical, Cemah 4, titik 5, 6 dm?



Fig. 10. Lubricant Viscosity Contour 5, & 7



F.2.11. Lahang Bay Vertical Contour 6 within 6 dam 7



F.2.12. Lahang Bay N 160° E / 10°, Contour 1, within 6 dam 7

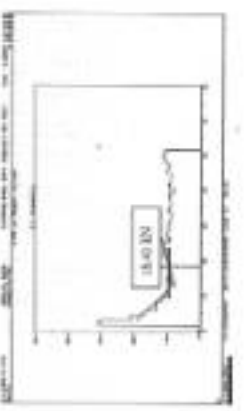


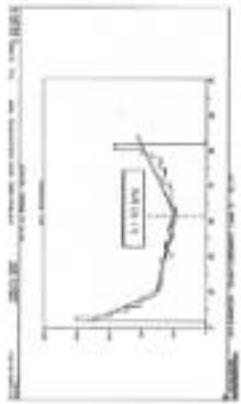
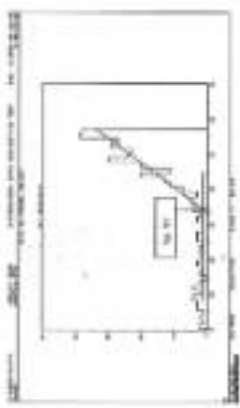
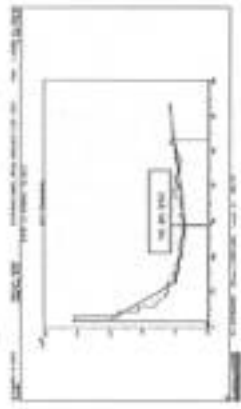
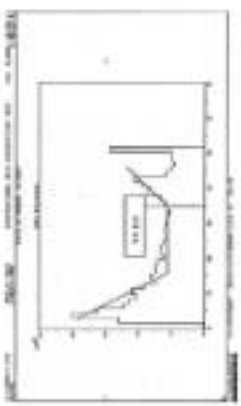
Fig. 13. Lubang Bar N 16° E / 10⁶, Canto 4, silice 5 dan 6Fig. 14. Lubang Bar N 16° E / 10⁶, Canto 4, silice 5 dan 6

Fig. 2.15. Laheng Bar N 160° E / 10⁶, Cemah 5, titik 5 dan 6Fig. 2.16. Laheng Bar N 160° E / 10⁶, Cemah 9, titik 4 dan 7

F.2.17. Løftning Bør N 160° E / 10° Cennoh 3, 4 dan 5



F.2.18. Løftning Bør N 240° E / 10° Cennoh 1, eksempl 4 dan 6



F.2.19. Lüding Dor N 243° E / -S^o, Cintek 6, skala 3



F.2.20. Lubing Dor N 243° E / -S°, Cintek 6, skala 3, 6 dm. ?

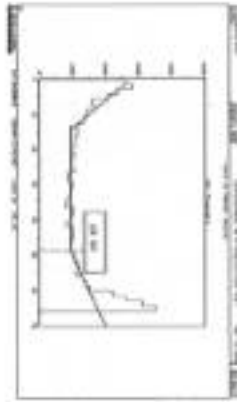


Fig. 2.21. Lathang River N 243° E / -8°; Crossh 10, altitude 7 dan 6

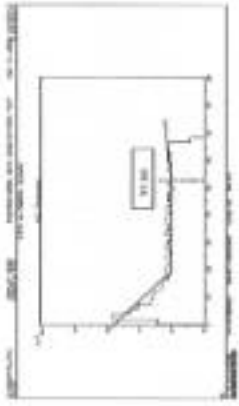
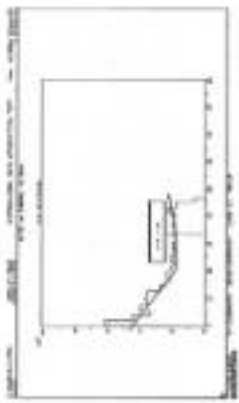
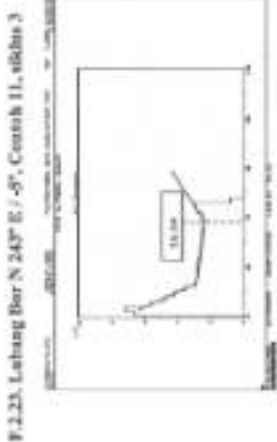
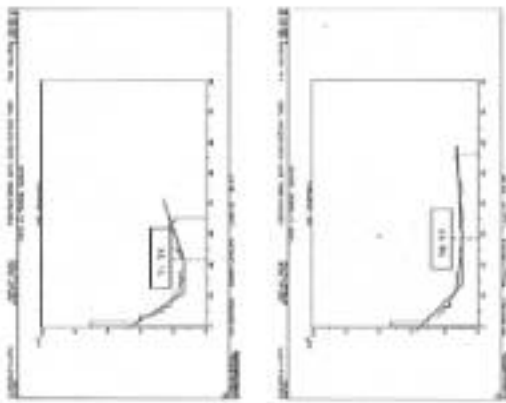


Fig. 2.22. Lathang River N 243° E / -8°; Crossh 10, altitude 7 dan 4





F 2.24. Lahang Bar N 243° E / -8°, Contoh 12, titik 2 dan 4



F.2.25. Laiung Bar N 20° E / 6° Corte 17, tablas 2, 4 dan 5

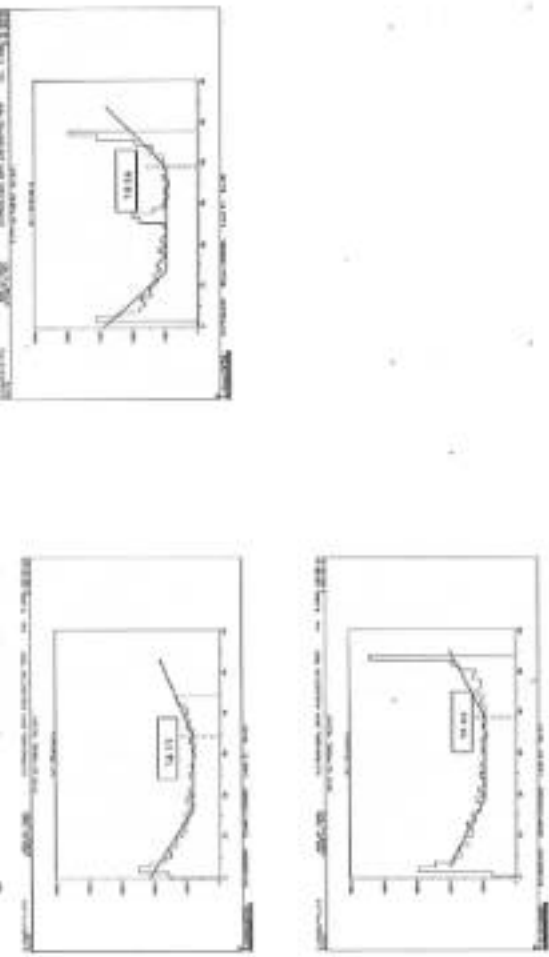


Fig. 2.26. Lutong River N 243° E, -5°, Contour 18, elevation 2, 4 times 5.

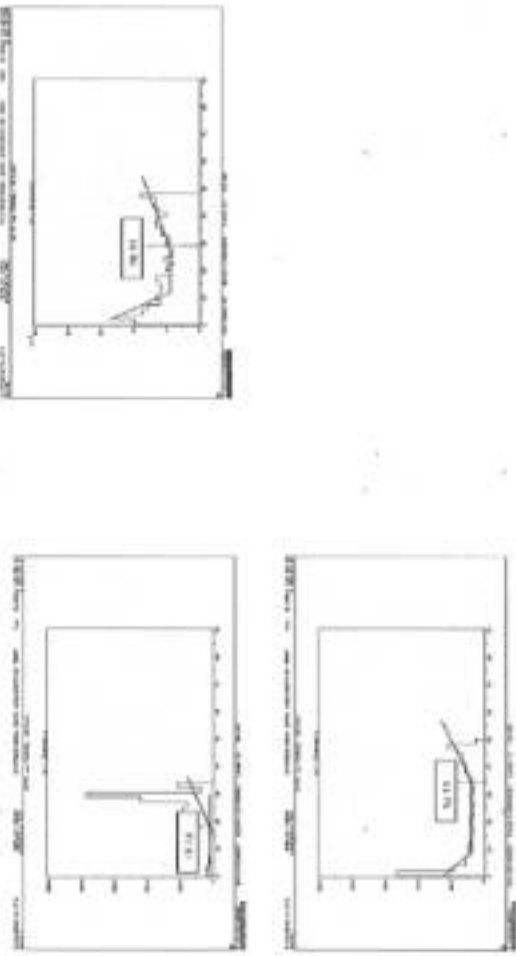


Fig. 2.27. Lahang Bar N 243° E / 10°, Cemah I, silika 5 dm 6



Fig. 2.28. Lahang Bar N 243° E / 10°, Cemah I, silika 2, alitite 6 dm 7

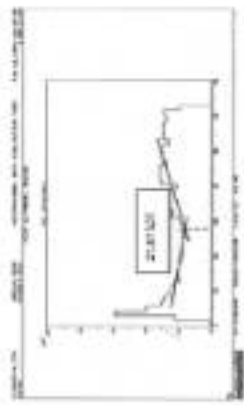


Fig. 2.29. Lahang Bar N 243° E : 30°; Canon 5, station 3, dam 4.

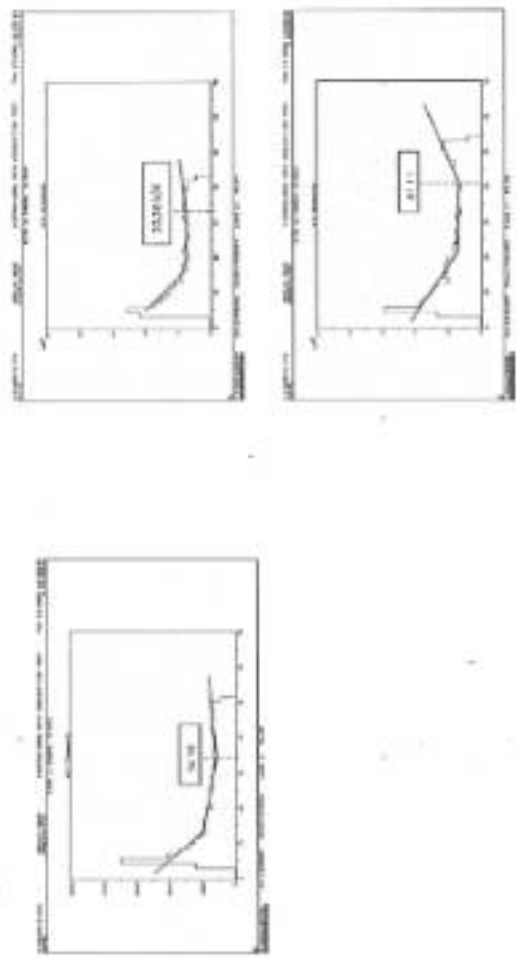


Fig. 2.30. Lahang Bar N 243° E : 30°; Canon 5, station 5, dam 4.

Fig. 2.31. Lahang Baru N 243° E / 10°, Cemah 7, sifat 4 dan 5



Fig. 2.32. Lahang Baru N 243° E / 10°, Cemah 8, sifat 5 dan 6



Fig. 223. Lubang Bar N 277° E / -4°; Contact 1, silts & clays



Fig. 224. Lubang Bar N 277° E / -4°; Contact 2, silts & clays

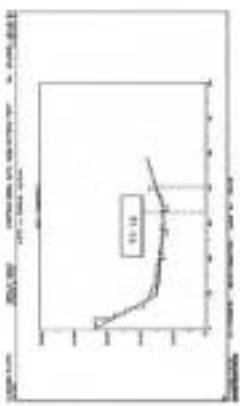


Fig. 236. Lubang Bar N 27° E / -4°; Contour 7, elevation 9.2 km T.



Fig. 237. Lubang Bar N 27° E / -4°; Contour 7, elevation 9.2 km T.



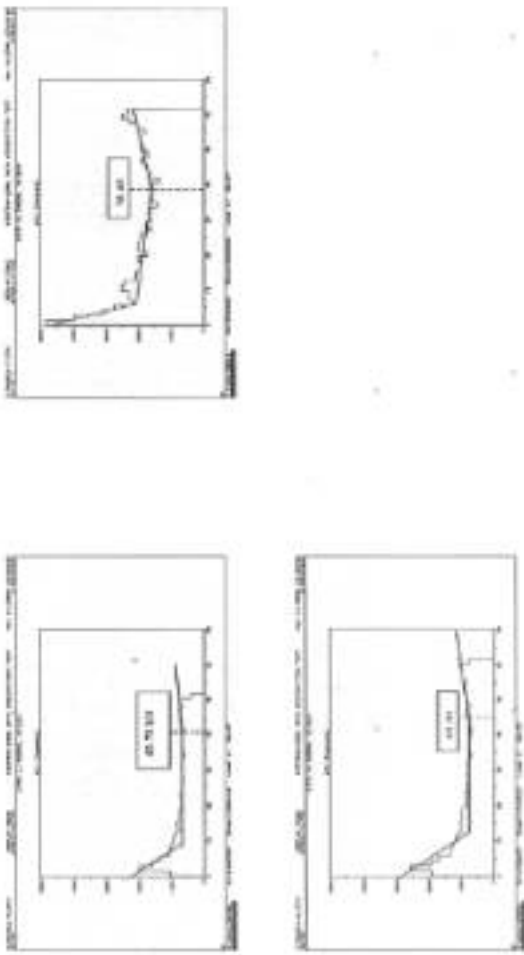
Fig. 2.37. Lahang Bar N 27° E / 4° Cottbus 6, Silica 6 dm 7



Fig. 2.38. Lahang Bar N 27° E / 4° Cottbus 10, Silica 10 5 dm 6



F 2.39. Løshavn Bar N 27° E / -4°, Constab T1, aktører 5, 6 dan 7.



F.2.40. Lahang Bar N 277° E : 10', Control 2, titik 4 dan 5



F.2.41. Lahang Bar N 277° E : 10', Control 3, titik 5



F.2.42. Lahang Bar N 277° E : 10', Control 4, titik 5



Fig. 2.40. Lahong River N 27° E / 10° N, Cemah 5, station 3

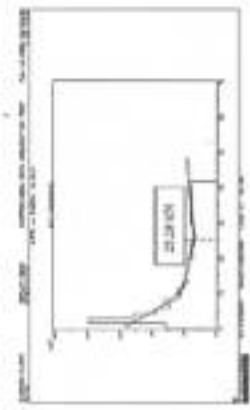
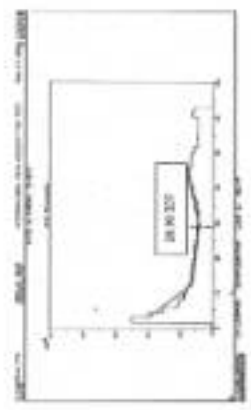
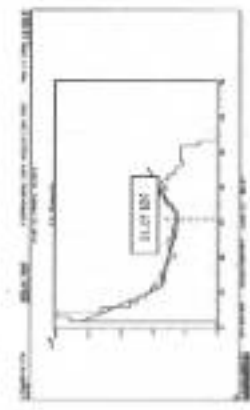


Fig. 2.44. Lahong River N 27° E / 10° N, Cemah 5, station 5



LAMPIRAN G
Pembacauan Data Rekahan

Lampiran G. Rekaman dari Barcode Camera

G. 1. Ciurug

Lokasi Box N 210 E / 15 , Kedalaman 770 cm



Lokasi Box N 270 E / 15, Kedalaman 350 cm



Lubung Bor N 235 E / 15, Kohlamine 135 cm

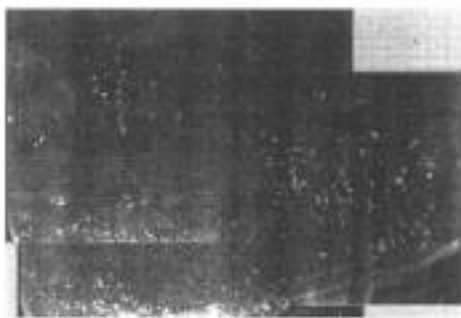


G. L. Paneyama

Lubung Bor N 160 E / -1, Kohlamine 1162 cm



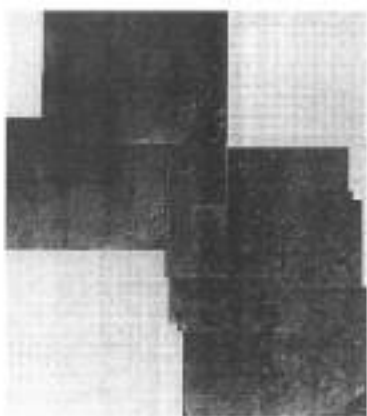
Lubang Bar N 247 E / -4 , kedalaman 815 cm



Lubang Bar N 247 E / -4 , kedalaman 1299 cm



Lubang Bor N 243 E / -5, kedalaman 795 cm



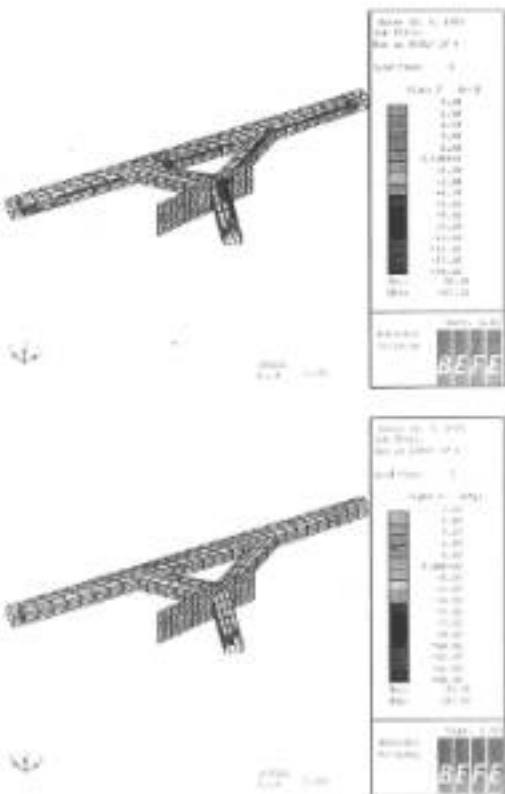
Lubang Bor N 243 E / -5, kedalaman 950 cm

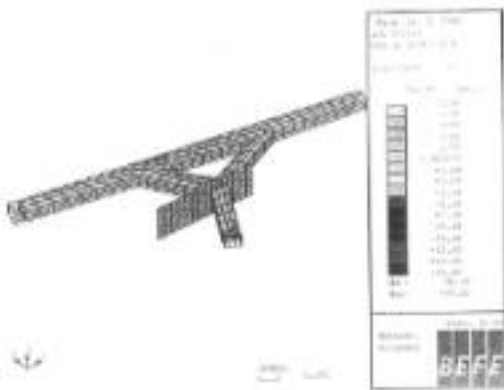
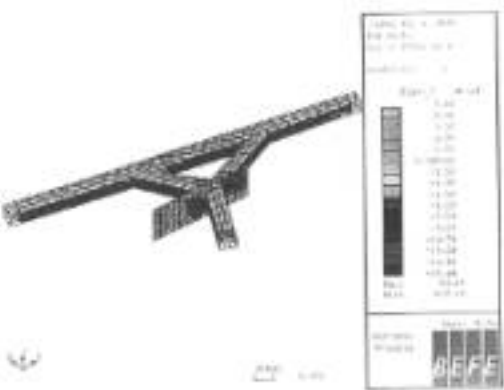


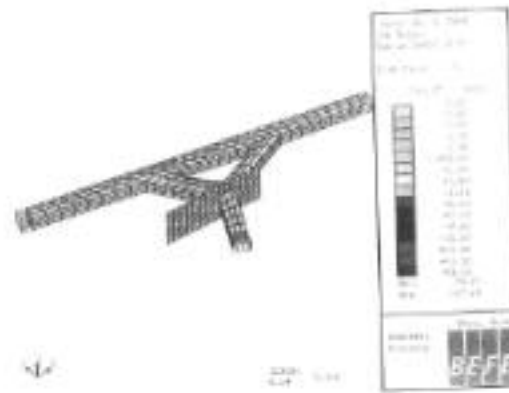
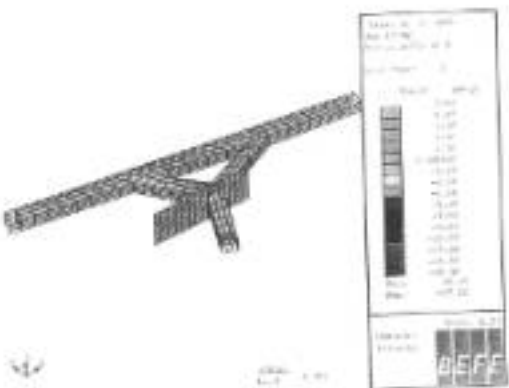
LAMPIRAN II
Hasil Permodelan Numerik

Lamprisus II Black Periaddas Novarii

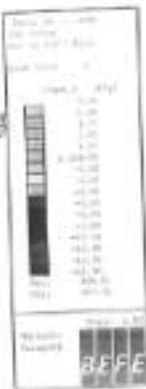
R. L. Clark

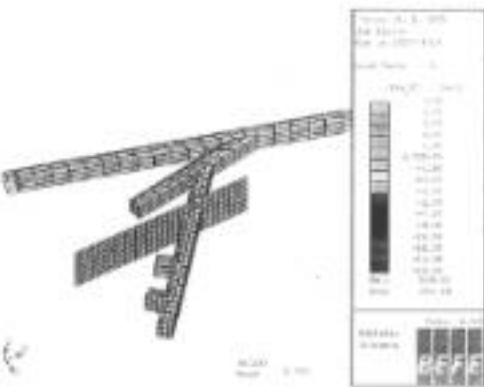
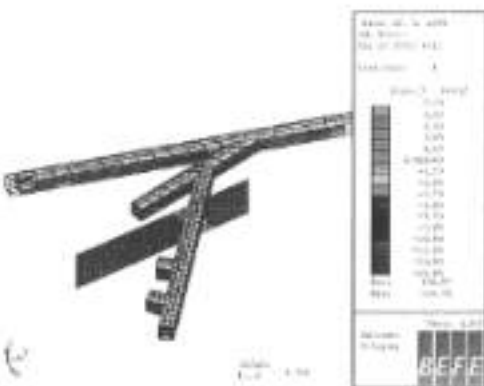


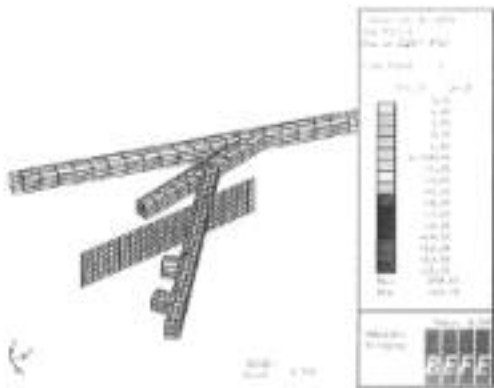
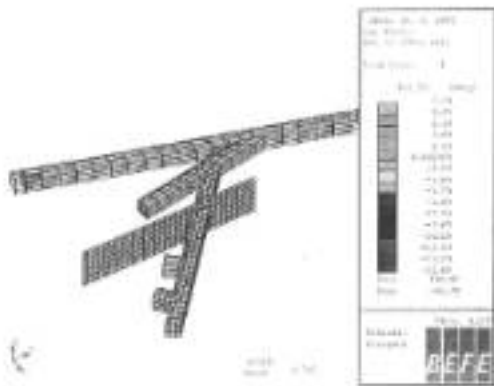




2. Testimony







LAMPIRAN I

**Prinsip Dasar perhitungan Tegangan dalam
Uji Rekah Hidrolik**

Lembaran I Prinsip Dasar Perhitungan Tegangan dalam Uji Rekak Hidrolik

Analisis metode rekak hidrolik dapat dilakukan dengan menggunakan dasar perhitungan, yaitu teori klasik dan teori mekanika rekakan. Teori klasik mengasumsikan bahwa dalam massa batuan tidak terdapat bidang lemah (juntiyu) sehingga perhitungannya dibakukan pada rekakan yang terbentuk karena uji rekak hidrolik. Perhitungan statis dalam teori ini adalah rekakan yang ditinjaukan karena tektonik hidrolik yang terjadi pada dinding lubang ber sifat-sifat kimia tersebut yang mengakibatkan kerusakan pada rekakan.

Berdasarkan teori mekanika rekakan memungkinkan untuk dilakukan pengalaman pada massa batuan yang terkikuk. Pada teori ini, keberadaan rekakan dalam batuan menyebabkan muncul konsekuensi uji yang rekakan yang ada (pre-existing crack) dan perhitungan dilakukan dengan mempertimbangkan perilaku seharusnya. Besar dan arah tegangan tersebut dengan rekak hidrolik ditentukan dengan mempertimbangkan pengaruh karakteristik propagasi rekakan, yang berhubungan langsung dengan tegangan prinsipalnya.

Prinsip dasar perhitungan tegangan dalam uji rekak hidrolik dibakukan pada perhitungan tegangan di sekitar dinding lubang ber vertikal.

2.1. Tegangan pada dinding lubang ber

Seperi diketahui bahwa rekakan di dinding lubang ber berasal dari titik yang menyebabkan tegangan melebihi maksimum. Berdasarkan teori elastis linear, distribusi tegangan di luar lubang ber dapat dicakupkan dengan menggunakan prinsip superposisi dan transformasi koordinat (Kirch, 1998). Fairhurst (1966) memberikan persamaan tegangan di dinding lubang ber sebagai berikut:

$$\sigma_x = P \quad (1.1)$$

$$\sigma_z = \sigma_x^* + \sigma_y^* - 2(\sigma_x^* - \sigma_y^*)\cos 2\theta - 4\sigma_{xy}^* \sin 2\theta - P \quad (1.2)$$

$$\sigma_y = \sigma_y^* - 2\nu(\sigma_x^* - \sigma_y^*)\cos 2\theta - 4\sigma_{xy}^* \sin 2\theta \quad (1.3)$$

$$\sigma_{xy} = 0 \quad (1.4)$$

$$\sigma_x = 2(\sigma_y^2 \cos \theta - \sigma_z^2 \sin \theta) \quad (1.5)$$

$$\sigma_z = 0 \quad (1.6)$$

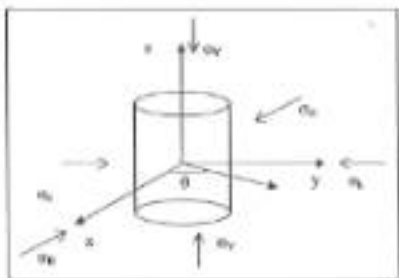
Keterangan:

$\sigma_x(i, j = x, y, z)$ = komponen tegangan masing-masing pada sistem koordinat paku
Gambar 1.1.

$\sigma_y(i, j = x, y, z)$ = komponen tegangan pada dinding lubang bor

v = nisbah Poisson

P = tekanan hidrostatis fluida pada dinding lubang bor



Gambar 1.1. Koordinasi sistem dasar tegangan prinsipal (Whittaker, dkk, 1992.)

Jika lubang bor tersebut ditar secara vertikal dan tegangan prinsipal yang diberikan adalah tegangan vertikal (σ_v) yang berimpit dengan sumbu-z sebagai sumbu lubang bor, das tegangan horisontal (σ_x dan σ_y) berimpit dengan sumbu-x dan sumbu-y, maka tegangan di sekitar lubang bor dapat dianderlaskan menjadi persamaan sebagai berikut (Jaeger & Cook, 1979).

$$\sigma_v = P \quad (1.7)$$

$$\sigma_x = \sigma_y + 2(\sigma_z - \sigma_v) \cos 2\theta - P \quad (1.8)$$

$$\sigma_z = \sigma_v - 2v(\sigma_x - \sigma_y) \cos 2\theta \quad (1.9)$$

$$\sigma_{xy} = \sigma_{yz} = \sigma_{xz} = 0 \quad (1.10)$$

1.2. Tegangan tangensial dan relaksasi sark

Tegangan tangensial (σ_3) dalam lubang bor merupakan hal yang penting, karena pada titik-titik tertentu dapat terjadi tegangan tarik yang menyebabkan terbentuknya relaksasi pada saat diketahui fluida meningkat. Titik di mana tegangan tangensial berubah dari tegangan tarik menjadi tegangan raksas disebut sebagai *point point* ($\theta = \theta_0$) dengan sudut θ dan dilihat dengan persamaan 1.11.

$$\theta_0 = \arccos \frac{\sigma_3 - 3\sigma_1 + P}{\sqrt{4(\sigma_1 - \sigma_3)}} \quad (1.11)$$

dengan σ_1 = tegangan tarik untuk $0 \leq \theta \leq \theta_0$ dan σ_3 = tegangan tekan untuk $\theta_0 \leq 0 \leq 90^\circ$. Dengan demikian tegangan tarik maksimum terjadi pada saat $\theta = 0^\circ$ dan bawanya dapat dilihat dengan persamaan 1.12.

$$\sigma_{1,\text{max,max}} = 3\sigma_1 - \sigma_3 - P \quad (1.12)$$

Sedangkan tegangan tekan maksimum terjadi pada $\theta = 90^\circ$ yaitu,

$$\sigma_{3,\text{max,max}} = 3\sigma_1 + \sigma_3 - P \quad (1.13)$$

Jika $P > 3\sigma_1 - \sigma_3$, σ_3 di dinding lubang bor akan selalu tarik dan $\sigma_{3,\text{max}}$ tetap terjadi di $\theta = 0^\circ$. Hibbert dan Willis (1957) menyatakan bahwa kemungkinan besar tegangan tarik akan terjadi di $\theta = 0^\circ$, yaitu arah yang sejajar dengan tegangan horizontal maksimum (σ_1) atau tegak lurus tegangan horizontal minimum (σ_3). Hal merupakan hal paling mendekat dan seberantai dari prinsip relaks hidrolik di lubang bor dengan tekanan internal.

1.3. Teknik relaks hidrolik klasik

Sebagian besar perhitungan teknik hidrolik klasik berdimensian rusia Kirch (1858) untuk distribusi tegangan di sekitar tressongte. Untuk mengaplikasikan metode ini ada beberapa antara yang dituliskan oleh Zeluck dan Pollard (1938) dan Kafekis (1986).

- Perluas massa batuan di sekitar lingkung ber sifat elastis, isotrop, homogen, tidak ada reaksi dan impermeable, yaitu tidak ada ketercampuran fluida di dalam batuan.
- Dalam lapisan lingkung ber vertikal, tegangan intermadiat sejajar dengan sumbu xoy. Biasanya tegangan vertikalnya sama dengan tegangan overburden.
- Rakaman horisontal dari titik di dinding lingkung ber yang mempunyai tegangan tangensial maksimum dan mencapai kuadur tutupiannya (σ_3). Rakaman akan berproporsi tegang sumbu tegangan tangensial maksimum.
- Tekanan pecah (breakdown pressure) adalah teknanan saat rakaman terbentuk.

1.4. Batasan teknanan dan teknanan pecah

Berdasarkan estimasi di atas, teknanan terjadi ketika tekanan intiannya (P) mencapai nilai kritis (σ_3) yang disebut dengan *breakdown pressure* yang mendekati $\sigma_{3, \text{max}} = \sigma_1$ yang dinyatakan oleh Hubbert dan Willis (1957) sebagai berikut.

$$\sigma_{3, \text{max}} = -\sigma_1 \quad (1.14)$$

Dengan mensubstitusikan persamaan 1.14 ke persamaan 1.12 akan menghasilkan persamaan untuk *breakdown pressure* sebagai berikut.

$$P_b = 3\sigma_3 - \sigma_1 + \sigma_T \quad (1.15)$$

Breakdown pressure, P_b , adalah teknanan puncak pada silsilah pertama teknanan terhadap waktu yang didepan dalam proses olah hidrolik. Ini dicapai saat fluida dinaikkan ke dalam lingkung ber hingga titiknya terjadi. Hal ini bisa diamati pada saat $P = P_b$ berhubungan dengan proporsi teknanan yang tidak stabil dan yang sering ditandai dengan teknanan yang tiba-tiba menurun (Ingiarra & Roegiers, 1983).

1.5. Penetrasi tegangan prinsipal horizontal

Dari data teknanan penelitian dalam uji teknik hidrolik, tegangan prinsipal horizontal dapat ditentukan dari persamaan (1.15). Setelah pecah, teknanan condong untuk meningkat kembali dan tegangan tutupinya menjadi naik. Menurut Abou-Sayed (1982),

karena $\sigma_0 = \sigma_3$, sejajar dengan σ_3 dan tegak lurus dengan σ_3 , maka agar relakan tetap terbuka tanpa merubah relahan, diperlukan tekanan untuk mengimbangi tekanan ini yang berarti menggunakan tegangan prinsip maksimumnya. Tekanan ini disebut sebagai tekanan penutupan relahan (*sat-in pressure*), P_s , yang besarnya diberikan dengan persamaan 1.16.

$$P_s = \sigma_3 \quad (1.16)$$

Sementara itu tekanan yang diperlukan untuk membuka kembali relahan yang telah terbentuk disebut dengan *resisting pressure*, P_r , dan dapat dituliskan sebagai berikut:

$$P_r = 3\sigma_3 - \sigma_{11} \quad (1.17)$$

Dengan persamaan-persamaan tersebut di atas, tegangan horizontal maksimum (σ_3) dapat dituliskan menggunakan *sat-in pressure* (P_s) dan *resisting pressure* (P_r)

$$\sigma_3 = 3P_s - P_r \quad (1.18)$$

Selanjutnya tegangan tutik intis, σ_3 , dapat diperoleh dari *breakdown pressure* dan *resisting pressure* (Zoback & Pollard, 1978).

$$\sigma_3 = P_s - P_r \quad (1.19)$$

Perhitungan tegangan intis pada lbulang horisontal atau digunakan sebagai dasar perhitungan untuk lbulang horisontal miring dengan menggunakan transformasi tegangan.

LAMPIRAN J
Perhitungan Tegangan Prinsipal

Lampiran J Perhitungan Tegangan Principal

J.1. Hasil Uji Rokak Hidrolik

Sebagai contoh perhitungan, akan diambil kombinasi tiga sekrab dari ST1-116cm (longitudinal), ST2-0815cm (transversal), ST3-0950cm (longitudinal).

J.1.1. Perhitungan Rokak Longitudinal

Untuk persamaan rokak longitudinal, yaitu ST1-1162cm dan ST3-0950cm, diskusi perhitungan sebagai berikut :

1. Mencari nilai σ_x dan σ_y .

Nilai P_x dan P_y diperlukan dari grafik tekanan terhadap waktu. Dengan menggunakan persamaan (J.6) – persamaan (J.8)

$$\sigma_x = \frac{1}{2} P_x + \bar{\sigma}, \quad (J.6)$$

$$\sigma_y = \bar{P}_y \quad (J.7)$$

$$\tau_{xy} = 0 \quad (J.8)$$

maka besar σ_x dan σ_y dapat dihitung.

- Pada ST1-076cm, $\sigma_x = 2,85 \text{ MPa}$; $\sigma_y = 1,45 \text{ MPa}$ dan $\tau_{xy} = 0$
- Pada ST2-535cm, $\sigma_x = 7 \text{ MPa}$; $\sigma_y = 2,8 \text{ MPa}$ dan $\tau_{xy} = 0$

2. Mencari nilai σ_{3x} , σ_{3y} , σ_{3xy} .

Dengan menggunakan persamaan (J.1) – persamaan (J.5) sebagai berikut,

$$\sigma_{3x} = \sigma_{30} \cos^2 \theta_i + \sigma_{31} \sin^2 \theta_i + \sigma_{321} \sin 2\theta_i \quad (J.7)$$

$$\sigma_{3y} = \sigma_{30} \sin^2 \theta_i + \sigma_{31} \cos^2 \theta_i - \sigma_{321} \sin 2\theta_i \quad (J.8)$$

$$\sigma_{3xy} = -0,5 (\sigma_{30} + \sigma_{31}) \sin 2\theta_i + \sigma_{321} \cos 2\theta_i \quad (J.5)$$

nilai σ_{3x} , σ_{3y} , σ_{3xy} dapat dihitung dalam bentuk persamaan matriks berikut :

$$\begin{bmatrix} \sigma_x \\ \sigma_y \\ \sigma_{xy} \end{bmatrix} = \begin{bmatrix} \cos^2 \theta_i & \sin^2 \theta_i & \sin 2\theta_i \\ \sin^2 \theta_i & \cos^2 \theta_i & -\sin 2\theta_i \\ -\sin 2\theta_i & \sin 2\theta_i & \cos 2\theta_i \end{bmatrix} \times \begin{bmatrix} \sigma_{3x} \\ \sigma_{3y} \\ \sigma_{3xy} \end{bmatrix}$$

Sekringan

$$\begin{bmatrix} \sigma_{xx} \\ \sigma_{yy} \\ \sigma_{zz} \end{bmatrix} = \begin{bmatrix} \cos^2 \theta_i & \sin^2 \theta_i & \sin 2\theta_i \\ \sin^2 \theta_i & \cos^2 \theta_i & -\sin 2\theta_i \\ -\sin 2\theta_i & \sin 2\theta_i & \cos 2\theta_i \end{bmatrix}^{-1} \times \begin{bmatrix} \sigma_x \\ \sigma_y \\ \sigma_z \end{bmatrix}$$

Dari perhitungan tersebut, besarnya nilai σ_{xx} , σ_{yy} , σ_{zz} , untuk tiap tiga persamaan relaksasi longitudinal adalah sebagai berikut :

- Pada ST1-1200m, $\sigma_{xx} = 7,05 \text{ MPa}$; $\sigma_{yy} = 3,85 \text{ MPa}$ dan $\tau_{xy} = 0,93$
- Pada ST2-1290m, $\sigma_{xx} = 5,95 \text{ MPa}$; $\sigma_{yy} = 5,95 \text{ MPa}$ dan $\tau_{xy} = 2,75$

3. Memutalkan nilai σ_{xx} , σ_{yy} , σ_{zz} , ke dalam persamaan relaksasi

Dengan menggunakan persamaan (II.9) sampai dengan persamaan (II.11) sebagai berikut :

$$\begin{aligned} \sigma_{xx} &= \sigma_0 \sin^2 \alpha_i \cos^2 \beta_i + \sigma_1 \sin^2 \alpha_i \sin^2 \beta_i + \sigma_2 \cos^2 \alpha_i + \\ &\quad \tau_{xy} \sin^2 \alpha_i \sin 2\beta_i - \tau_{yz} \sin 2\alpha_i \sin \beta_i - \tau_{xz} \sin 2\alpha_i \cos \beta_i \end{aligned} \quad (II.9)$$

$$\sigma_{yy} = \sigma_0 \sin^2 \beta_i + \sigma_1 \cos^2 \beta_i - \tau_{yz} \sin 2\beta_i \quad (II.10)$$

$$\begin{aligned} \sigma_{zz} &= -0,5 (\sigma_0 - \sigma_1) \sin \alpha_i \sin 2\beta_i + \tau_{xy} \sin \alpha_i \cos 2\beta_i - \\ &\quad \tau_{yz} \cos \alpha_i \cos \beta_i + \tau_{xz} \cos \alpha_i \sin 2\beta_i \end{aligned} \quad (II.11)$$

maka diperoleh 6 persamaan relaksasi untuk 2 buah relaksasi longitudinal dan jika diambil ke dalam bentuk matrik akan menghasilkan persamaan berikut :

$$\begin{bmatrix} \sigma_{xx} \\ \sigma_{yy} \\ \sigma_{zz} \\ \tau_{xy} \\ \tau_{yz} \\ \tau_{xz} \end{bmatrix} = \begin{bmatrix} \sin^2 \alpha_i \cos^2 \beta_i & \sin^2 \alpha_i \sin^2 \beta_i & \cos^2 \alpha_i & \tau_{xy} \sin \alpha_i \sin 2\beta_i & \tau_{yz} \sin \alpha_i \cos 2\beta_i & \tau_{xz} \cos \alpha_i \cos 2\beta_i \\ \sin^2 \beta_i & \cos^2 \beta_i & 0,000 & -0,5 \sin \alpha_i \sin 2\beta_i & 0,000 & 0,000 \\ -0,5 \sin \alpha_i \sin 2\beta_i & 0,5 \sin \alpha_i \cos 2\beta_i & 0,000 & \cos \alpha_i \sin 2\beta_i & \cos \alpha_i \cos 2\beta_i & 0,000 \\ \cos^2 \alpha_i \cos^2 \beta_i & \cos^2 \alpha_i \sin^2 \beta_i & \sin^2 \alpha_i & \sin^2 \alpha_i \sin 2\beta_i & \sin^2 \alpha_i \cos 2\beta_i & \sin^2 \alpha_i \cos 2\beta_i \\ \cos^2 \beta_i & \sin^2 \beta_i & 0,000 & 0,5 \beta_i & 0,000 & 0,000 \\ -0,5 \sin \alpha_i \cos 2\beta_i & 0,5 \sin \alpha_i \sin 2\beta_i & 0,000 & -\sin \alpha_i \sin 2\beta_i & \sin \alpha_i \cos 2\beta_i & 0,000 \end{bmatrix} \times \begin{bmatrix} \sigma_x \\ \sigma_y \\ \sigma_z \\ \tau_{xy} \\ \tau_{yz} \\ \tau_{xz} \end{bmatrix}$$

Dengan cara memasukkan nilai σ_{xx} , σ_{yy} , σ_{zz} , β_i (aristath lurang ber), α_i (keringan lurang ber) untuk tiap relaksasi, ke dalam persamaan matrik tersebut, diperoleh hasil sebagai berikut :

$$\begin{bmatrix} 1,00 \\ 2,00 \\ 0,00 \\ 0,00 \\ 3,00 \\ 1,00 \end{bmatrix} \begin{bmatrix} 0,007 & 0,039 & 0,003 & -0,066 & 0,384 & -0,329 \\ 0,039 & 0,001 & 0,000 & 0,381 & 0,000 & 0,000 \\ 0,003 & 0,000 & 0,000 & -0,046 & -0,071 & -0,142 \\ -0,066 & 0,381 & -0,046 & 0,000 & 0,000 & 0,000 \\ 0,384 & 0,000 & 0,000 & 0,000 & 0,000 & 0,000 \\ -0,329 & 0,000 & 0,000 & 0,000 & 0,000 & 0,000 \end{bmatrix} \begin{bmatrix} \sigma_N \\ \sigma_R \\ \sigma_Y \\ \sigma_{NR} \\ \sigma_{RY} \\ \sigma_{EF} \\ \sigma_{NF} \end{bmatrix}$$

3.1.2. Perhitungan Rekahan Transversal

Perhitungan untuk rekahan transversal, pada ST2-0815cm, dilakukan dengan tahapan sebagai berikut:

- Menentukan nilai σ_y

Dengan menggunakan persamaan (II.12) berikut ini,

$$\sigma_y = F_2 \quad (II.12)$$

di mana rekahan transversal hanya akan menggunakan satu persamaan rekahan saja, akan diperoleh nilai σ_y untuk 5 rekahan transversal adalah :

- Pada ST1-175cm, $\sigma_y = 3,4$ MPa
- Pada ST1-776cm, $\sigma_y = 1,8$ MPa
- Pada ST2-177cm, $\sigma_y = 1,9$ MPa
- Pada ST2-357cm, $\sigma_y = 2,15$ MPa
- Pada ST3-478cm, $\sigma_y = 2,50$ MPa

- Menentukan nilai σ_{xy} , ϕ , ψ_1 ke dalam persamaan rekahan

Sedikit nilai σ_{xy} , ϕ , ψ_1 ukuran diketahui dan dengan menggunakan persamaan (II.13).

$$\begin{aligned} \sigma_{xy} &= \sigma_1 \cos^2 \phi \cos^2 \psi_1 + \sigma_2 \cos^2 \phi \sin^2 \psi_1 + \tau_{xy} \sin^2 \phi + \\ &\quad \tau_{xy} \cos^2 \phi \sin 2\psi_1 + \tau_{xy} \sin 2\psi_1 \sin \psi_1 + \tau_{xy} \sin 2\phi \cos \psi_1 \end{aligned} \quad (II.13)$$

maka akan terbentuk persamaan matriks berikut:

$$\begin{bmatrix} 1,00 \\ 1,00 \\ 1,00 \\ 2,19 \\ 2,00 \end{bmatrix} = \begin{bmatrix} 0,645 & 0,797 & 0,018 & -0,275 & -0,261 & 0,188 \\ 0,203 & 0,794 & 0,001 & -0,007 & 0,002 & -0,022 \\ 0,000 & 0,003 & 0,117 & 0,001 & 0,043 & 0,001 \\ 0,200 & 0,719 & 0,281 & 0,001 & 0,189 & 0,001 \\ 0,001 & 0,271 & 0,677 & 0,311 & -0,032 & -0,001 \end{bmatrix} \times \begin{bmatrix} \sigma_1 \\ \sigma_2 \\ \sigma_3 \\ \sigma_{12} \\ \sigma_{13} \\ \sigma_{23} \end{bmatrix}$$

2.1.3. Mencari nilai tegangan σ_1 , σ_2 , σ_3 , σ_{12} , σ_{13} , dan σ_{23}

Selanjutnya, perhitungan dilanjutkan dengan menggunakan persamaan relatif longitudinal dari ST1-1162cm dan ST3-0950cm, dan persamaan relatif transversal ST2-0835cm, sehingga menjadi:

$$\begin{bmatrix} 1,93 \\ 2,07 \\ 4,09 \\ 4,42 \\ 1,58 \\ 1,63 \\ 1,60 \\ 1,00 \\ 1,00 \\ 2,50 \\ 2,00 \end{bmatrix} = \begin{bmatrix} 0,277 & 0,039 & 0,933 & -0,046 & 0,184 & -0,239 \\ 0,799 & 0,410 & 0,009 & 0,001 & 0,000 & 0,000 \\ 0,277 & -0,127 & 0,803 & -0,046 & -0,019 & -0,743 \\ 0,000 & 0,007 & 0,931 & 0,009 & 0,100 & 0,001 \\ 1,000 & 1,00 & 0,800 & -0,045 & 0,000 & 0,000 \\ -0,000 & 0,001 & 0,800 & -0,049 & 0,002 & -0,765 \\ 0,645 & 0,277 & 0,858 & -0,075 & -0,264 & 0,388 \\ 0,200 & 0,794 & 0,001 & -0,007 & 0,002 & -0,002 \\ 0,008 & 0,003 & 0,117 & 0,001 & 0,043 & 0,001 \\ 0,000 & 0,719 & 0,281 & 0,001 & 0,189 & 0,001 \\ 0,001 & 0,271 & 0,677 & 0,311 & -0,032 & -0,001 \end{bmatrix} \times \begin{bmatrix} \sigma_1 \\ \sigma_2 \\ \sigma_3 \\ \sigma_{12} \\ \sigma_{13} \\ \sigma_{23} \end{bmatrix}$$

dengan menganggap perkalian matrik tersebut merupakan perkalian matrik

$$[B] = [A] \times [C]$$

Jika matrik [B] adalah matrik 7×1 , matrik [A] adalah matrik 7×6 , dan matrik [C] adalah matrik 6×1 , maka untuk mencari nilai matrik [C] diperlukan beberapa tahap, yaitu:

1. Mencari invers matrik [A]

$$[A]^T = \begin{bmatrix} 0,007 & 0,286 & 0,177 & 0,180 & 1,000 & -0,001 & 0,451 & 0,205 & 0,980 & 0,989 & 0,981 \\ 0,009 & 0,410 & -0,117 & 0,107 & 1,000 & 0,001 & 0,291 & 0,744 & 0,981 & 0,779 & 0,271 \\ 0,003 & 0,000 & 0,000 & 0,113 & 0,008 & 0,000 & 0,051 & 0,684 & 0,117 & 0,288 & 0,631 \\ -0,104 & 0,184 & -0,006 & 0,006 & -0,005 & 0,259 & -0,825 & -0,987 & 0,081 & 0,988 & 0,312 \\ 0,301 & 0,000 & -0,019 & 0,208 & 0,008 & 0,001 & -0,264 & 0,062 & 0,943 & 0,999 & -0,033 \\ -0,328 & 0,000 & -0,702 & 0,001 & 0,009 & -0,966 & 0,386 & -0,012 & 0,081 & 0,001 & -0,413 \end{bmatrix}$$

2. Mengalikan matrik $[A]^T$ dengan matrik $[A]$

$$[A]^T [A] = \begin{bmatrix} 1,000 & 1,000 & 0,122 & -0,131 & -0,301 & 0,997 \\ 1,000 & 1,280 & 0,195 & -0,411 & 0,987 & 0,942 \\ 0,122 & 0,196 & 2,343 & 0,038 & 0,008 & -0,382 \\ -0,131 & -0,411 & 0,008 & 2,557 & -0,078 & -0,161 \\ -0,301 & 0,987 & 0,006 & -0,076 & 2,763 & 0,932 \\ 0,997 & 0,942 & -0,582 & -0,041 & 0,672 & 1,97 \end{bmatrix}$$

3. Membuat inverse matrik dari matrik $[A]^T \times [A]$

$$[A]^T [A]^{-1} = \begin{bmatrix} 1,425 & -0,003 & -0,001 & -0,001 & 0,374 & -0,248 \\ -0,003 & 0,913 & -0,018 & 0,018 & -0,491 & 0,145 \\ -0,001 & -0,018 & 0,360 & -0,017 & -0,274 & 0,223 \\ -0,001 & 0,018 & -0,017 & 0,404 & -0,340 & 0,942 \\ 0,374 & -0,491 & -0,018 & -0,044 & 0,724 & -0,300 \\ -0,248 & 0,145 & 0,223 & 0,012 & -0,341 & 0,384 \end{bmatrix}$$

4. Mencari perkalian matrik antara $[A]^T$ dan matrik $[B]$

$$[A]^T [B] = \begin{bmatrix} 7,837 \\ 11,228 \\ 16,397 \\ -2,289 \\ 3,772 \\ -2,789 \end{bmatrix}$$

5. Menjadi nilai matrik $[C]$, yaitu perkalian antara matrik $[[A]^T \times [A]]^{-1}$ dengan matrik $[[A]^T \times [B]]$, sehingga :

$$[C] = \begin{bmatrix} \sigma_3 \\ \sigma_1 \\ \sigma_2 \\ r_{41} \\ r_{42} \\ r_{43} \end{bmatrix} = \begin{bmatrix} 5,618 \\ 0,605 \\ 3,878 \\ -0,739 \\ 0,039 \\ -0,787 \end{bmatrix}$$

3.3.4. Mencari Nilai Eigen dan Vektor Eigen

3.3.4.1. Nilai Eigen

Untuk mencari nilai tegangan prinsipal, maka nilai tegangan σ_x , σ_y , σ_z , σ_M , σ_T , dan σ_{xy} yang diperoleh dari perhitungan di atas menjadi tensor tegangan untuk perhitungan nilai Eigen dan vektor Eigennya. Dengan menggunakan persamaan (VIII.2) berikut,

$$\begin{bmatrix} \sigma_x & \tau_{xy} & \tau_{xz} \\ \tau_{xy} & \sigma_y & \tau_{yz} \\ \tau_{xz} & \tau_{yz} & \sigma_z \end{bmatrix} = \begin{bmatrix} \sigma_A & \tau_{AB} & \tau_{AC} \\ \tau_{BA} & \sigma_B & \tau_{BC} \\ \tau_{CA} & \tau_{CB} & \sigma_C \end{bmatrix} \quad (\text{VIII.2})$$

diperoleh tensor tegangannya adalah :

$$[A] = \begin{bmatrix} 3,618 & -0,730 & 0,830 \\ -0,730 & 0,685 & -0,787 \\ 0,830 & -0,787 & 3,878 \end{bmatrix}$$

Untuk menentukan nilai Eigen dan vektor Eigen dari tensor tegangan tersebut, digunakan persamaan (VIII.3) – persamaan (VIII.6).

$$[\sigma][I] - [A][\varphi] = [0] \quad (\text{VIII.3})$$

$$[\varphi] = \begin{bmatrix} \sigma - \sigma_A & -\tau_{AB} & -\tau_{AC} \\ -\tau_{BA} & \sigma - \sigma_B & -\tau_{BC} \\ -\tau_{CA} & -\tau_{CB} & \sigma - \sigma_C \end{bmatrix} \quad (\text{VIII.4})$$

$$[\varphi][\varphi] = [0] \quad (\text{VIII.5})$$

$$[\varphi] = [\sigma]^{-1}[\theta] \quad (\text{VIII.6})$$

sehingga diperoleh hasil:

$$[\theta] = \left(\begin{bmatrix} 1 & 0 & 0 \\ 0 & 1 & 0 \\ 0 & 0 & 1 \end{bmatrix} - \begin{bmatrix} 3,618 & -0,730 & 0,830 \\ -0,730 & 0,685 & -0,787 \\ 0,830 & -0,787 & 3,878 \end{bmatrix} \right) \cdot [\varphi] = [0]$$

$$[\theta] = \begin{bmatrix} \sigma - 3,618 & 0,730 & 0,830 \\ 0,730 & \sigma - 0,685 & 0,787 \\ 0,830 & 0,787 & \sigma - 3,878 \end{bmatrix}$$

Nilai Eigen dan vektornya dapat diperoleh jika matrik [B] tersebut mempunyai nilai determinan nol. Penentuan determinan matrik tersebut akan menghasilkan suatu persamaan pangkat tiga yang akar-akaranya merupakan nilai Eigenya.

$$\text{Det}[B] = \sigma^3 - 8,101\sigma^2 + 16,725\sigma - 4,718 = 0$$

Nilai Eigen yang diperoleh menggunakan bantuan tegangan prinsipal ini adalah sebagai berikut ($\sigma_1, \sigma_2, \sigma_3$): Akar persamaan pangkat tiga di atas adalah

$$\sigma_1 = 4,83 \text{ MPa}$$

$$\sigma_2 = 2,92 \text{ MPa}$$

$$\sigma_3 = 0,32 \text{ MPa}$$

3.3.4.2. Vektor Eigen

Untuk mencari arah dari tegangan ini yang bekerja pada manus batuan tersebut, harus dicari vektor Eigenya. Penentuan arah tegangan prinsipal dilakukan dengan memeriksa kosinus arah dari masing-masing nilai Eigen dengan menggunakan persamaan (VIII.9) – persamaan (VIII.11)

$$l(n_x - \sigma_1) + m(t_x) + n(v_x) = 0 \quad (\text{VIII.9})$$

$$l(t_y) + m(n_y - \sigma_1) + n(v_y) = 0 \quad (\text{VIII.10})$$

$$l(v_z) + m(t_z) + n(n_z - \sigma_1) = 0 \quad (\text{VIII.11})$$

- Untuk $\sigma_1 = 4,83 \text{ MPa}$:

$$l(4,83 - 3,62) + m(0,73) + n(0,023) = 0$$

$$l(0,73) + m(4,83 - 0,61) + n(0,787) = 0$$

$$l(0,023) + m(0,787) + n(4,83 - 3,88) = 0$$

Dengan cara yang sama diperoleh nilai l, m, dan n untuk σ_2 dan σ_3 , sehingga didapatkan nilai l, m, dan n

Tegangan Prinsipal	l	m	n
σ_1	-0,62	0,25	0,77
σ_2	0,73	0	0,68
σ_3	0,17	0,97	-0,19

Dengan menggunakan persamaan (VIII.13) dan (VIII.14),

$$\text{Arah kemiringan} = \tan^{-1} \left(\frac{m}{i} \right) \quad (\text{VIII.13})$$

$$\text{Kemiringan} = (\cos^{-1} i) - 90^\circ \quad (\text{VIII.14})$$

maka akan diperoleh :

$$\begin{aligned}\text{Arah kemiringan} &= \tan^{-1} \left(\frac{0.25}{-0.65} \right) \\ &= -32^\circ \text{ (kuartil II)} = N 158^\circ E\end{aligned}$$

$$\begin{aligned}\text{Kemiringan} &= [\cos^{-1} 0.72] - 90^\circ \\ &= 46^\circ\end{aligned}$$

Jadi σ_1 mempunyai arah N $158^\circ E$ dan kemiringan 46° .

Dengan cara yang sama, akan diperoleh σ_2 mempunyai arah N $0^\circ E$ dan kemiringan 42° dan σ_3 , mempunyai arah N $260^\circ E$ dan kemiringan 11° .

3.2. Hasil Uji Emisi Akustik

Sebagai contoh perhitungan, akan digunakan data hasil uji emisi akustik yang telah diketahui di Cina.

3.2.1. Menentukan nilai tegangan σ_x , σ_y , σ_z , σ_{xy} , σ_{yz} , dan σ_{xz}

Dengan menggunakan persamaan (II.14) dan (II.15) dari 7 lisung ber yang mempunyai arah (α) dan kemiringan (β) yang berbeda,

$$\begin{aligned}\sigma_{ii} &= \sigma_x \cos^2 \alpha \cos^2 \beta + \sigma_y \cos^2 \alpha \sin^2 \beta + \sigma_z \sin^2 \alpha + \sigma_{xy} \cos^2 \alpha \sin 2\beta + \\ &\quad \sigma_{yz} \sin 2\alpha \sin \beta + \sigma_{xz} \sin 2\alpha \cos \beta\end{aligned} \quad (\text{II.14})$$

$$\sigma_{ij} = \sigma_{ji} \quad (\text{II.15})$$

maka akan diperoleh persamaan dalam bentuk matiks sebagai berikut :

a_1	a_2	a_3	a_4	a_{15}	a_{25}	a_{35}
-0,76	0,185	0,548	0,067	-0,919	-0,383	0,321
4,37	0,413	0,587	1,000	-0,985	0,800	0,000
2,76	0,000	1,000	1,000	0,000	0,000	0,000
3,10	0,000	0,933	0,067	0,000	-0,100	0,000
4,23	0,000	1,000	0,000	0,000	0,000	0,000
3,75	0,387	0,626	0,067	0,877	0,410	-0,287
1,53	0,329	0,671	0,000	0,949	0,000	0,000
Matriks B				Matriks A		

Sebagaimana pada uji zelotik tidakik, maka dengan menggunakan perkalian matrik tersebut merupakan perkalian matrik.

$$[B] = [A] \times [C]$$

Jika matrik [B] adalah matrik 2×1 , matrik [A] adalah matrik 7×6 , dan matrik [C] adalah matrik 6×1 , maka untuk mencari nilai matrik [C] diperlukan beberapa tahap, yaitu:

- Menulis transpose matrik [A]

$$[A]^T = \begin{bmatrix} 0,383 & 0,185 & 0,000 & 0,000 & 0,000 & 0,387 & 0,329 \\ 0,348 & 0,587 & 0,000 & 0,933 & 1,000 & 0,676 & 0,671 \\ 0,067 & 0,933 & 1,000 & 0,067 & 0,000 & 0,067 & 0,000 \\ -0,919 & -0,585 & 0,000 & 0,000 & 0,000 & 0,877 & 0,949 \\ -0,383 & 0,319 & 0,000 & -0,100 & 0,000 & -0,410 & 0,000 \\ 0,321 & 0,319 & 0,000 & 0,000 & 0,000 & -0,287 & 0,000 \end{bmatrix}$$

- Mengalikan matrik $[A]^T$ dengan matrik [A]

$$[A]^T [A] = \begin{bmatrix} 0,512 & 0,866 & 0,000 & -0,183 & -0,273 & 0,036 \\ 0,866 & 5,357 & 0,411 & 0,098 & -0,933 & -0,004 \\ 0,000 & 0,411 & 1,013 & -0,003 & -0,087 & 0,002 \\ -0,183 & 0,098 & -0,000 & 3,666 & -0,007 & -0,547 \\ -0,273 & -0,933 & -0,087 & -0,007 & 8,161 & -0,006 \\ 0,036 & -0,004 & 0,002 & -0,547 & -0,000 & 0,186 \end{bmatrix}$$

- Membuat inverse matrik dari matrik $[A]^T \times [A]$

$$[A]^T [A]^{-1} = \begin{bmatrix} 3,513 & -0,019 & -0,016 & 0,019 & 0,161 & -0,227 \\ -0,019 & 0,741 & 0,005 & -0,019 & 0,027 & 0,025 \\ -0,016 & 0,005 & 1,000 & -0,001 & 0,153 & -0,008 \\ 0,019 & -0,019 & -0,001 & 0,550 & 0,018 & 1,084 \\ 0,161 & 0,027 & 0,153 & 0,018 & 1,118 & 0,109 \\ -0,227 & 0,025 & -0,008 & 1,084 & 0,109 & 10,084 \end{bmatrix}$$

4. Mencari perkalian matriks antara $[A]^T$ dan matrik $[B]$

$$[A]^T [B] = \begin{bmatrix} 6,941 \\ 17,34 \\ 3,540 \\ -2,230 \\ -0,913 \\ 0,454 \end{bmatrix}$$

5. Mencari nilai matrik $[C]$, yaitu perkalian antara matrik $[[A]]^T [A]]^{-1}$ dengan matrik $[[A]]^T \times [B]]$, sehingga :

$$[C] = \begin{bmatrix} \sigma_1 \\ \sigma_2 \\ \sigma_3 \\ r_{11} \\ r_{12} \\ r_{13} \end{bmatrix} = \begin{bmatrix} 5,04 \\ 3,84 \\ 2,77 \\ -0,47 \\ 0,31 \\ 0,13 \end{bmatrix}$$

3.2.2. Mencari Nilai Eigen dan Vektor Eigen

Seperi pada uji relatif hidrolik, nilai tegangan σ_1 , σ_2 , σ_3 , r_{11} , r_{12} , dan r_{13} yang diperoleh dari perhitungan di atas merupakan tensor tegangan untuk perhitungan nilai Eigen dan vektor Eigennya. Perhitungan nilai eigen dan vektor eigen dilakukan dengan tahapan-tahapan sebagai berikut :

$$[A] = \begin{bmatrix} 5,04 & -0,47 & 0,13 \\ -0,07 & 3,84 & 0,31 \\ 0,13 & 0,31 & 2,77 \end{bmatrix}$$

$$\left[\begin{matrix} 1 & 0 & 0 \\ 0 & 1 & 0 \\ 0 & 0 & 1 \end{matrix} \right] - \left[\begin{matrix} 5,94 & -0,47 & 0,13 \\ -0,47 & 3,84 & 0,31 \\ 0,13 & 0,31 & 2,77 \end{matrix} \right] \cdot [e] = [0]$$

$$[0] = \left[\begin{matrix} 4 \cdot 3,84 & -0,47 & 0,13 \\ -0,47 & 9 \cdot 3,84 & 0,31 \\ 0,13 & 0,31 & 4 \cdot 2,77 \end{matrix} \right] = 0$$

Dengan menari determinan dari matriks diatas, maka akan diperoleh persamaan pangkat tiga sebagai berikut:

$$\alpha^3 - 11,81 \alpha^2 + 43,40 \alpha - 51,16 = 0$$

Akar persamaan pangkat tiga diatas adalah:

$$\alpha_1 = 3,21 \text{ MPa}$$

$$\alpha_2 = 2,92 \text{ MPa}$$

$$\alpha_3 = 2,33 \text{ MPa}$$

Kesimpulan dari penyelesaian nilai Eigen tersebut adalah:

Tegangan Principal	1	2	3
α_1	8,94	-0,33	-0,82
α_2	8,31	0,85	-0,42
α_3	-0,12	0,39	0,91

Dengan kisaran arah tersebut, arah tegangan principal menggunakan persamaan (VIII.13) dan (VIII.14), maka akan diperoleh :

$$\text{Arah kemiringan} = \tan^{-1} \left(\frac{-0,33}{8,94} \right)$$

$$= -20^\circ \text{ (karena III)} = N 200 E$$

$$\text{Kemiringan} = \cos^{-1} (-0,82) = 90^\circ$$

$$= 1^\circ$$

Jadi α_1 mempunyai arah N 200° E dan kemiringan 1°.

Dengan cara yang sama, akan diperoleh α_2 mempunyai arah N 70° E dan kemiringan 25° dan α_3 , mempunyai arah N 253° E dan kemiringan 65°.

LAMPIRAN K
Riwayat Hidup

Lampiran K. Biografi Bidang

Pensilis dilahirkan pada tanggal 26 November 1970 di Semarang, Jawa Tengah, putri kelima dari bapak Tjoek Soeharto dan ibu Niuk Soerati.

Pensilis menyandikan pendidikan SD dan SMP di Semarang, serta lulus dari SMA Negeri 3 Semarang pada tahun 1990. Pensilis mewisuda gelar Sarjana Teknik pada tahun 1995 di Departemen Teknik Pertambangan Institut Teknologi Bandung. Pada tahun 1996 diterima sebagai mahasiswa Program Magister di Institut Teknologi Bandung, bidang Geoteknik, Departemen Teknik Pertambangan dan mendapat gelar Magister Teknik pada tahun 1998.

Sejak tahun 1995 hingga sekarang, pensilis menjadi staf pengajar di Jurusan Teknik Pertambangan Universitas Trisakti Jakarta.

Daftar Publikasi

1. PN. Hartanti, S.Kramadibrata, M.A.Rai, K.Masui. Emissi Akustik Sebagai Metode Alternatif Penentuan Terapung Isitu Secara Tidak Langsing. *Proceeding Seminar Perkimpunan dan Pertambangan Indonesia (PERHAPI)*. Palu, 9-10 Desember 2004.
2. B. Sulistianto, PN..Hartanti, MA. Rai, S. Kramadibrata, K. Masui, M.S. Sudarmas, H. Sudarmo and A. Taufik. In-situ Stress Measurements in Pangkor Underground Gold Mine, West Java, Indonesia. *Proceeding of International Workshop on Earth Science and Technology*, Kyushu University, 6 December 2004.
3. MA. Rai, PN. Hartanti, S. Kramadibrata, B. Sulistianto, K. Masui, H. Sudarmas and A. Taufik. Application Of Acoustic Emission Method to Determine Isitu Stress At Pasayasan, Pangkor Underground Gold Mine, Indonesia. *Proceeding of International Workshop on Earth Science and Technology*, Kyushu University, 6 December, 2004.

4. S. Kurniadibowo, Puspitasita Novi, M.A.Rai, B. Sulistianto, H.K. Watinem, K. Matsui, Determination of Three Dimensional In Situ Stress Regime Using Hydraulic Fracturing and Acoustic Emission Methods, Proceeding of AHVCS 2004, 10 November – 2 December 2004, Kyoto, Japan
5. PN Hartanti, Determination of Three Dimensional In-situ Stress by Means of Acoustic Emission Method in Pangkor Underground Gold Mine, Bogor, Indonesia, Proceeding of International Mining Student Conference, Brisbane, Australia, 6-7 September 2004.
6. B. Sulistianto, Puspitasita Novi, M.A.Rai, S. Kurniadibowo, K. Matsui, H.Nakagawa, ID Schiwek, E.Juse and Risomo, Determination of Initial Stress Using Hydraulic Fracturing Method at Pangkor Underground Gold Mine, West Java, Indonesia. Proceeding of the Third International Symposium On Rock Stress, RS Kumamoto'03, 4-6 November 2003, Kumamoto, Japan.
7. S. Kurniadibowo, Puspitasita Novi, M.A.Rai, B. Sulistianto, K. Matsui, H.Nakagawa, and D.Gumilar, Development of Hydraulic Fracturing Test Apparatus in Indonesia. Proceeding of the Third International Symposium On Rock Stress, RS Kumamoto'03, 4-6 November 2003, Kumamoto, Japan.

Penerapan:

1. Anggota tim peneliti, Penentuan Deformasi Masing Batuan Menggunakan Fasilitas dan Borehole Camera di Tambang Emas Pangkor, penelitian Tripartit Departemen Teknik Pertambangan ITB – Kyushu University Jepang, PT Anika Tanahabang UPIPE Pangkor , tahun 2002.
2. Konas tim peneliti, Penentuan Tegangan Inisial dengan Uji Hydraulic Fracturing untuk Keperluan Koridor Rancangan Masing Batuan dan Rancangan infrastruktur-Dokar pada Laporan Batuan Penilaian Batubara, Penelitian DCBKG-URGE, tahun 2000/2001
3. Anggota tim peneliti, Study of estimation of initial in-situ stress using Acoustic Emission method with cored rock samples for the purpose of designing stability of Underground mines and Tunnelling, The Asahi Glass Foundation, Overseas Research Grant 2001